
Traitement Numérique du Signal

Nathalie Thomas

IRIT/ENSEEIHT
Nathalie.Thomas@enseeiht.fr

Traitement Numérique du Signal

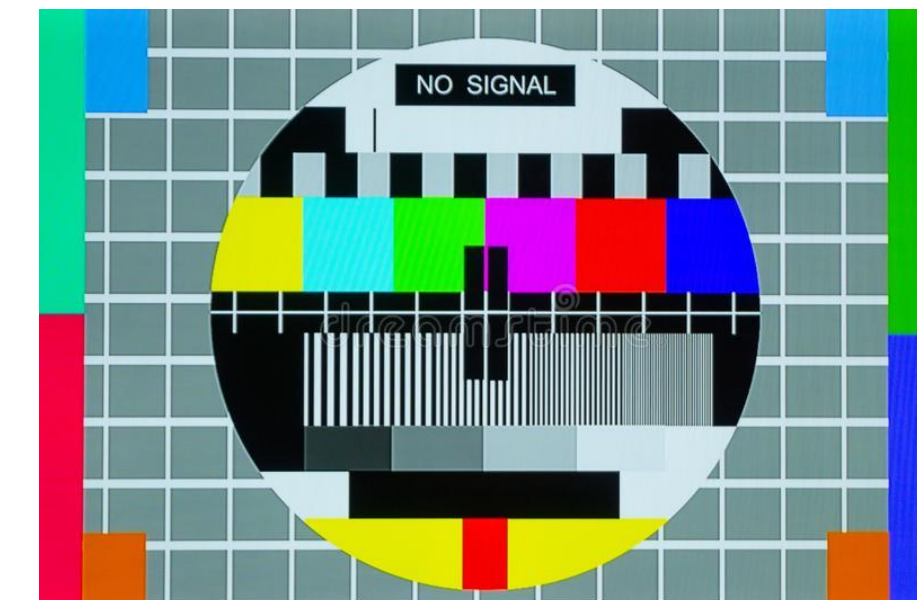
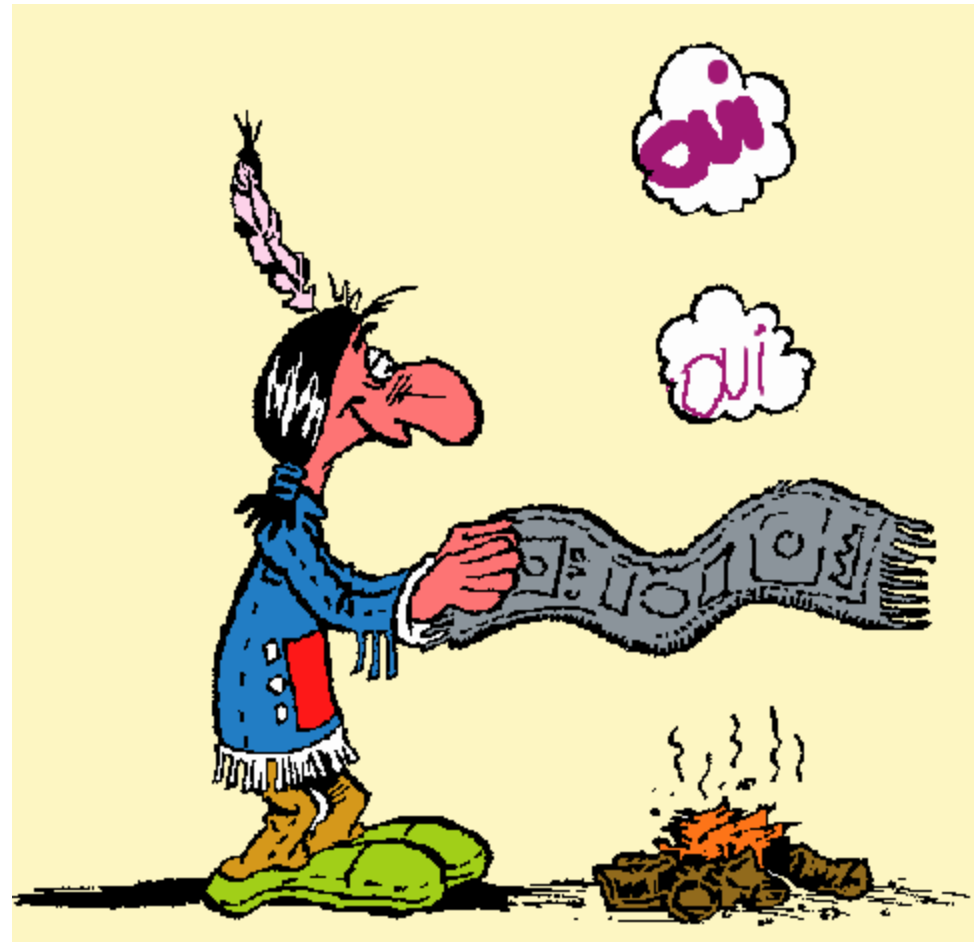
INTRODUCTION

Qu'est-ce qu'un signal ?



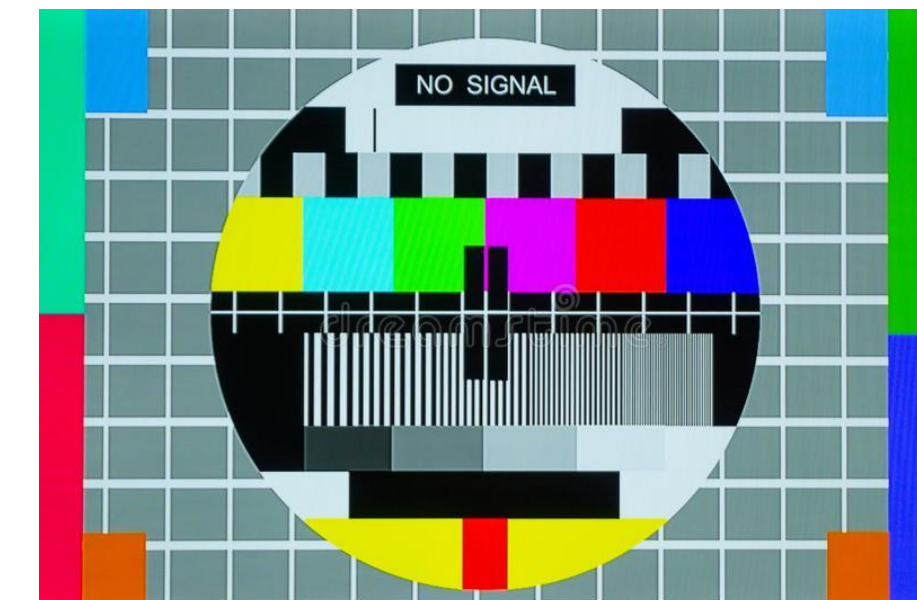
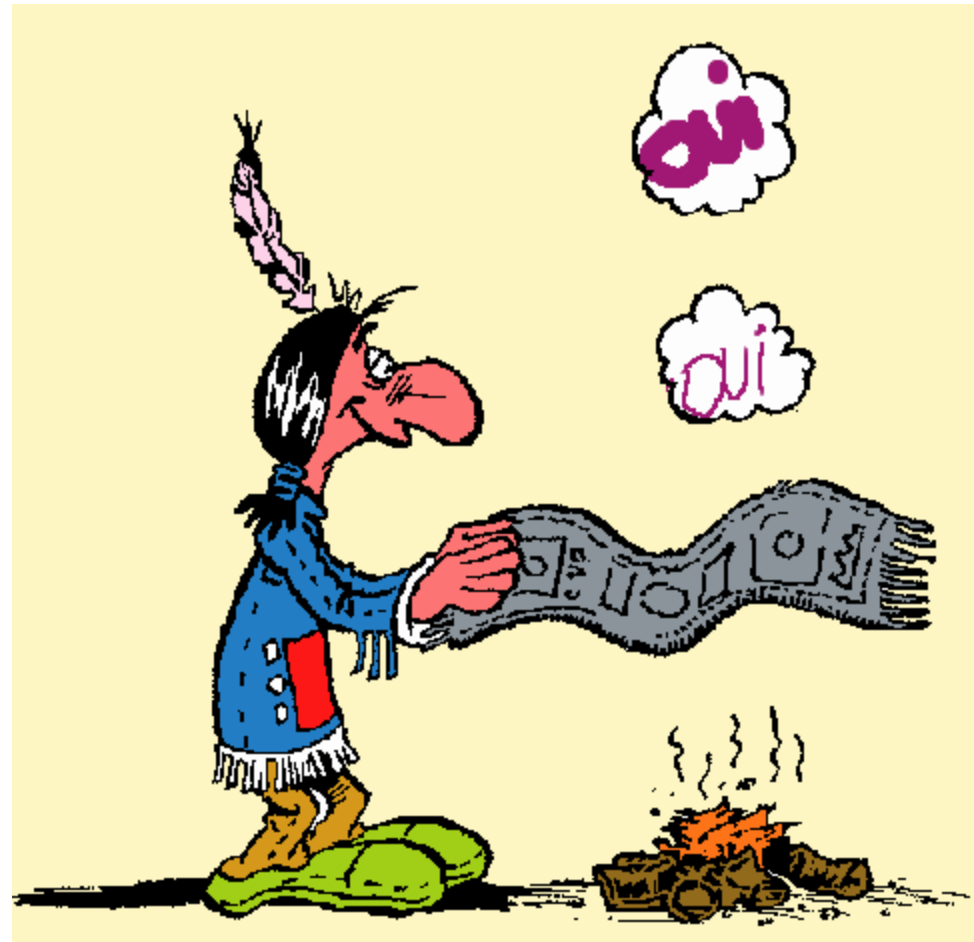
Qu'est-ce qu'un signal ?

→ Formes multiples et variées de signaux



Qu'est-ce qu'un signal ?

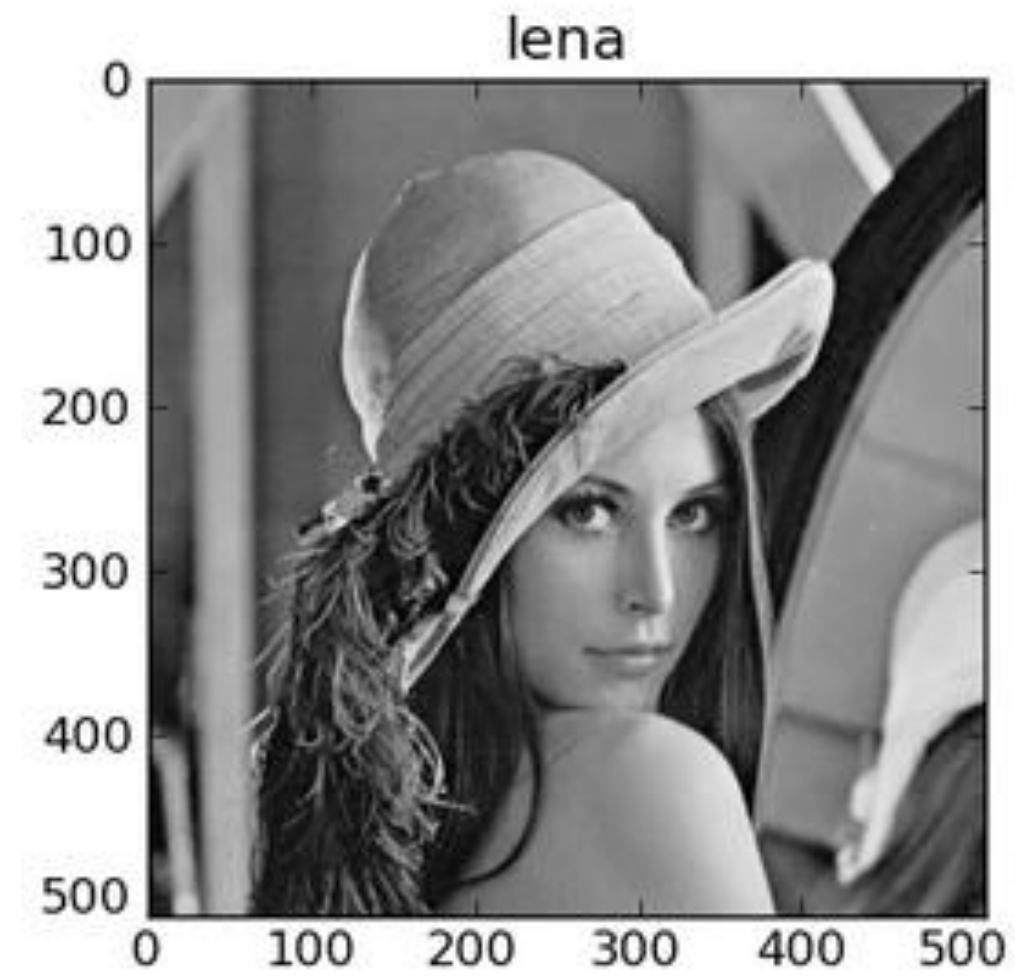
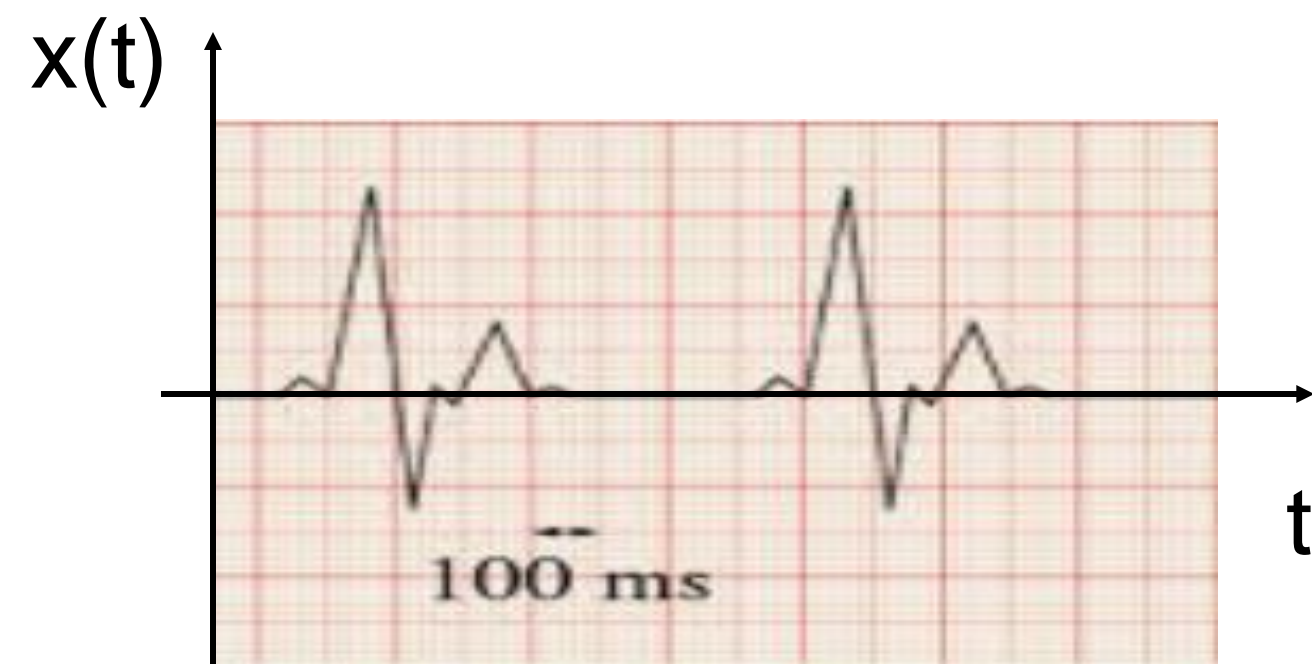
→ Formes multiples et variées de signaux



Point commun : représentent un message, contiennent une information.

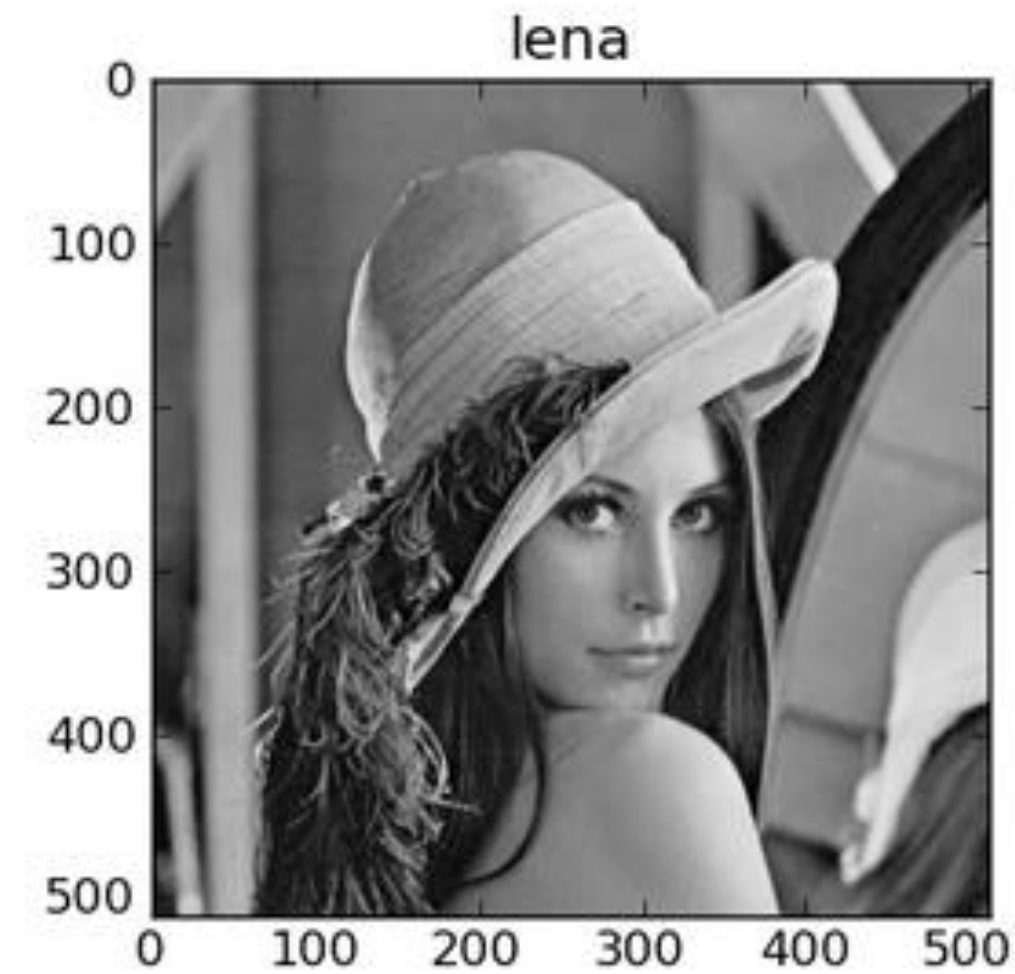
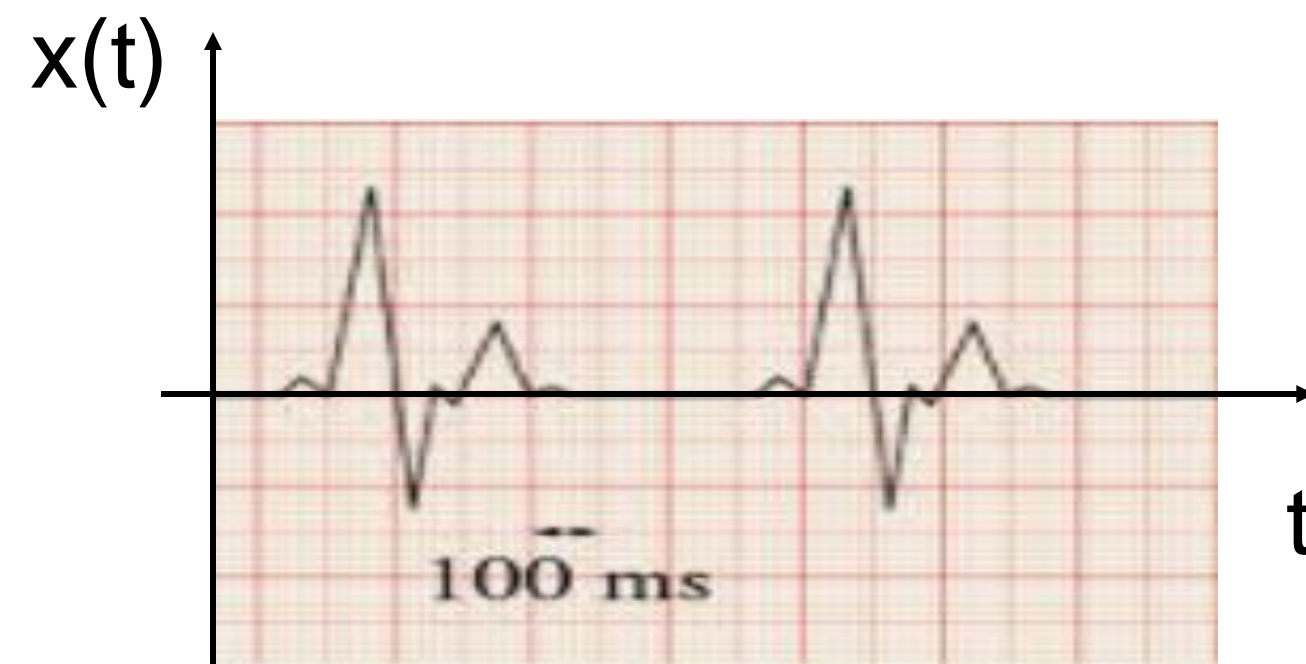
Qu'est-ce qu'un signal ?

→ Représentation théorique : $x(t)$, $I(x,y)$...

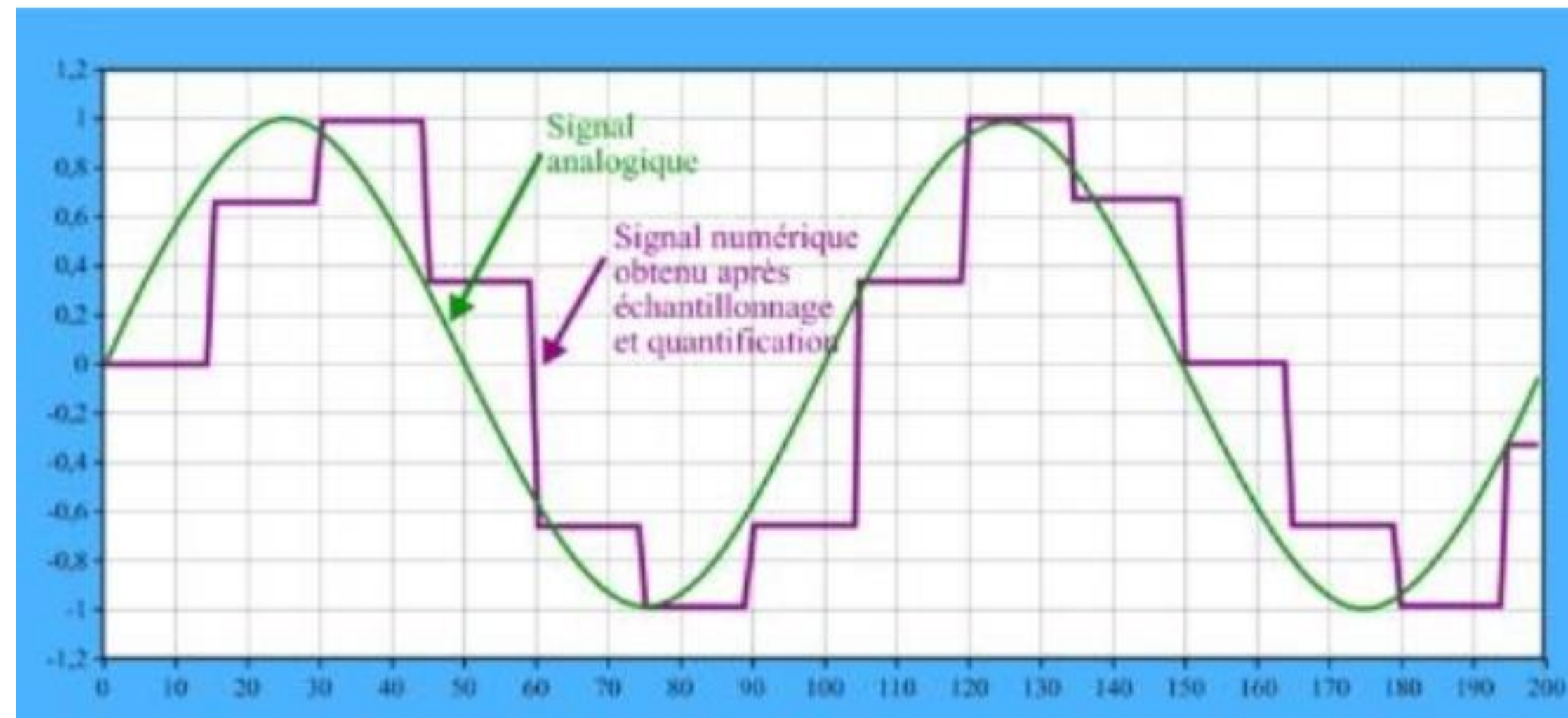


Qu'est-ce qu'un signal ?

→ Représentation théorique : $x(t)$, $I(x,y)$...



→ Signaux analogiques, signaux numériques (échantillonnage, quantification)



Le traitement du signal : pourquoi ?



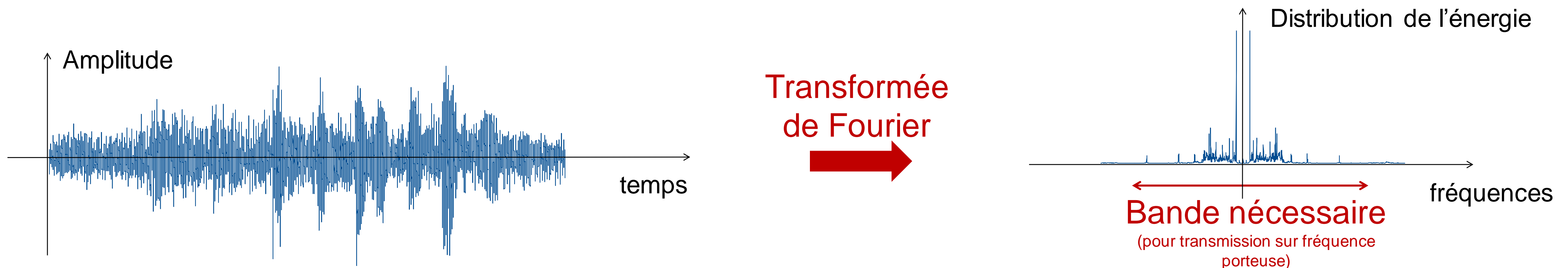
Le traitement du signal : pourquoi ?



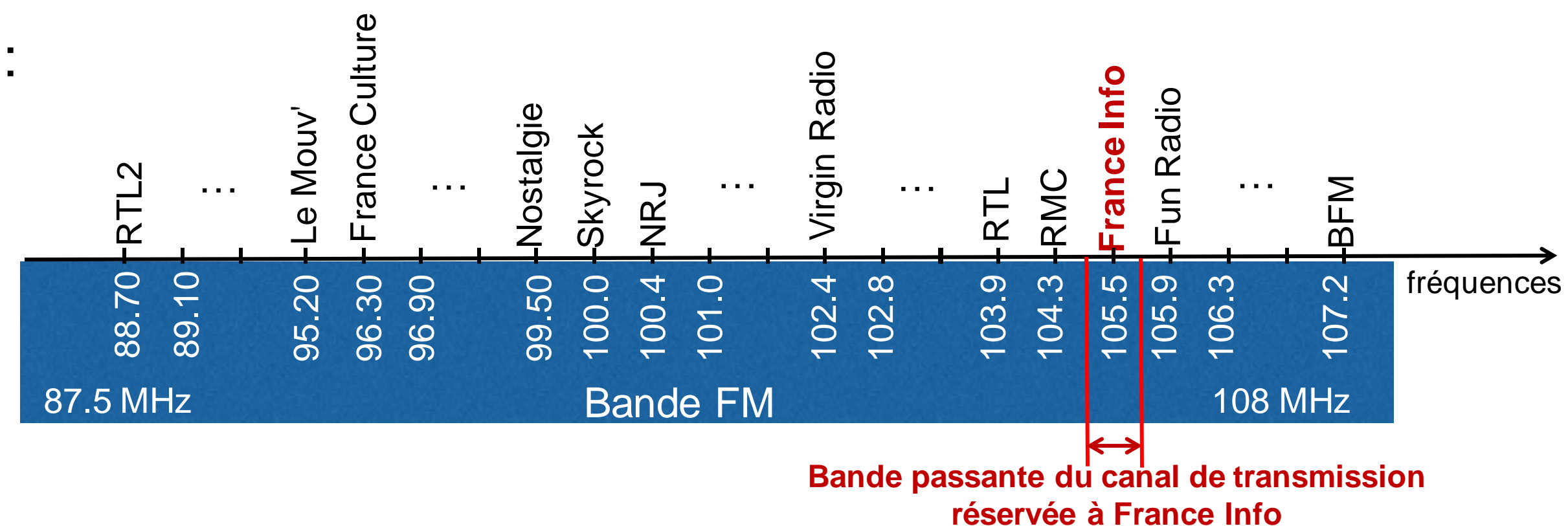
Exemple 1

→ Pour extraire de l'information des signaux :

- Identifier la bande de fréquence nécessaire à la transmission d'un signal,
- Détecter des anomalies, des défauts (ECG, Arcs électriques sur les câbles d'alimentation d'un avion, dent cassée dans un engrenage...)
- En éliminant des composantes indésirables : le bruit, certaines fréquences...



Exemple de partage de bande :
bande FM à Toulouse



Le traitement du signal : pourquoi ?



Exemple 2

→ Pour extraire de l'information des signaux :

- Identifier la bande de fréquence nécessaire à la transmission d'un signal,
- Détecter des anomalies, des défauts (ECG, Arcs électriques sur les câbles d'alimentation d'un avion, dent cassée dans un engrenage...)
- **En éliminant des composantes indésirables : le bruit**, certaines fréquences...

SNR = 0 dB

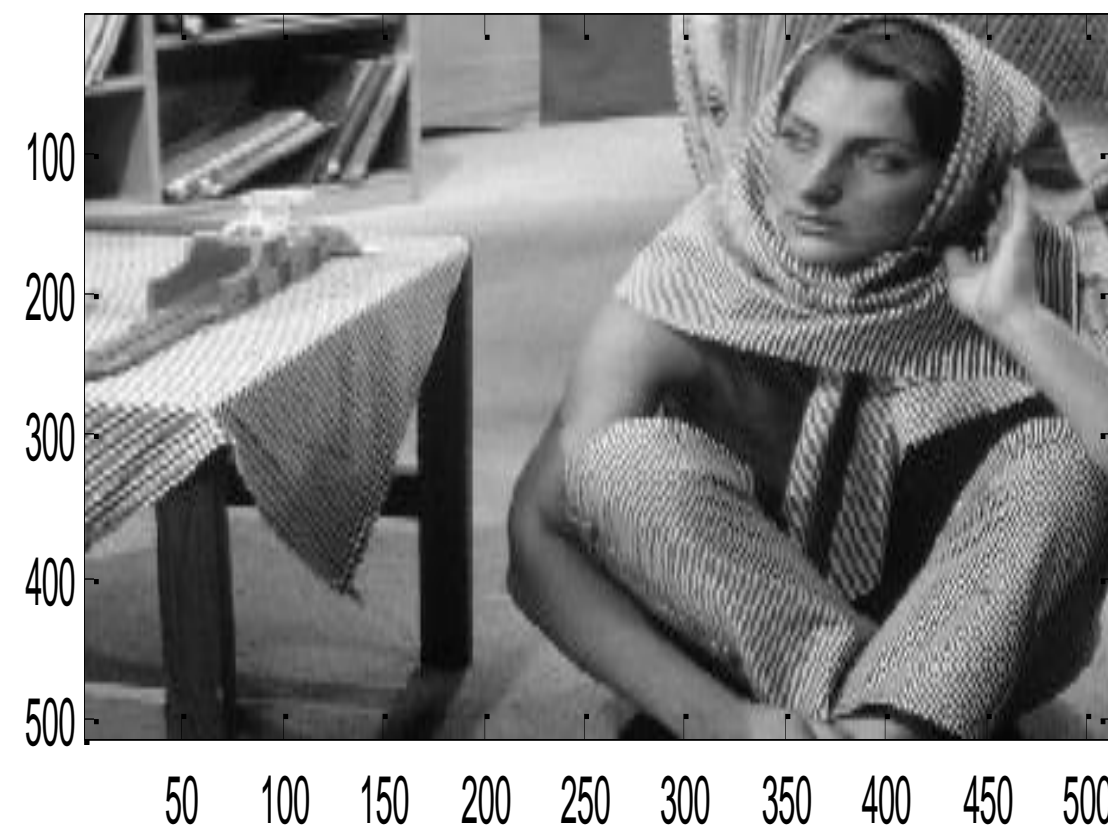


Image émise

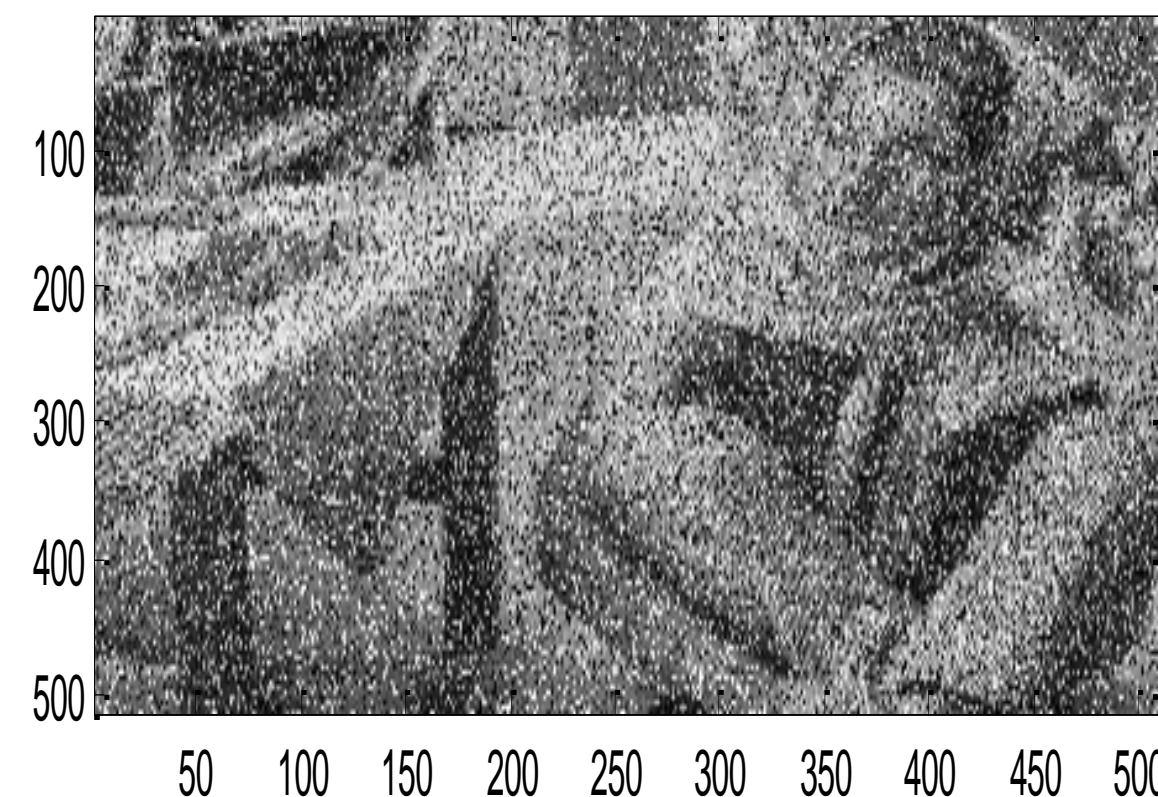


Image reçue
Avant filtrage de réception

TEB = 0.1581

Filtrage

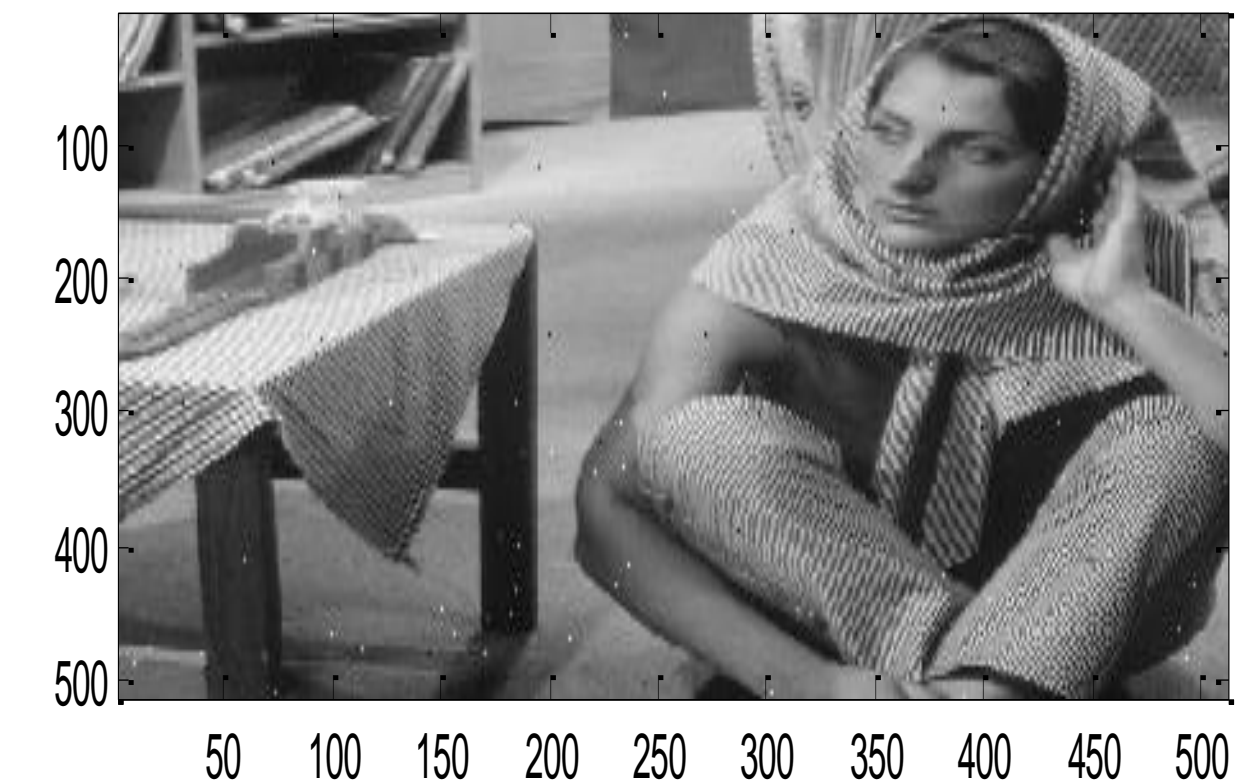


Image reçue
après filtrage de réception

TEB = 7.5483e-04

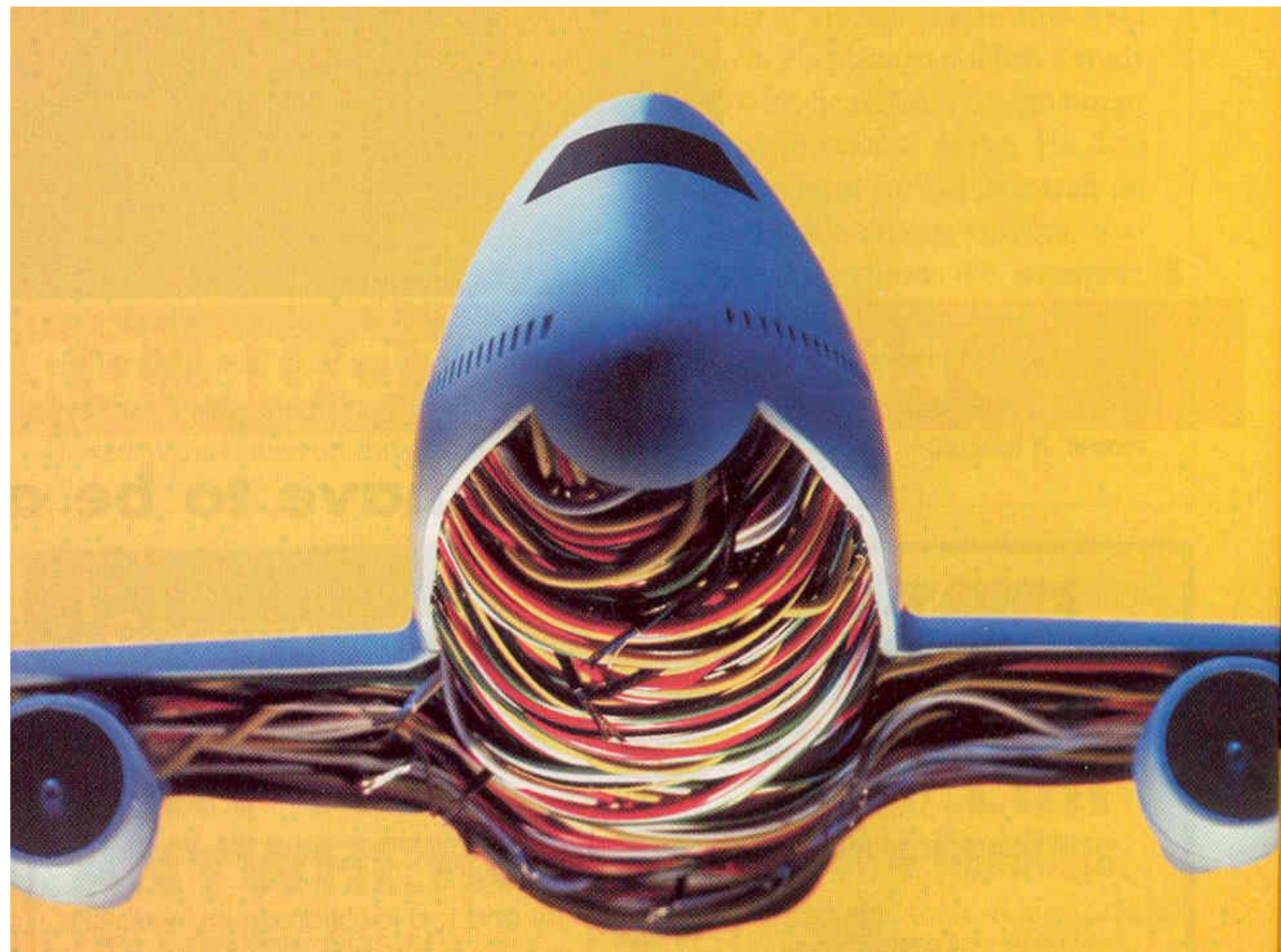
Le traitement du signal : pourquoi ?



Exemple 3

→ Pour extraire de l'information des signaux :

- Identifier la bande de fréquence nécessaire à la transmission d'un signal,
- **Détecter des anomalies**, des défauts (ECG, **Arcs électriques sur les câbles d'alimentation d'un avion**, dent cassée dans un engrenage...)
- **En éliminant des composantes indésirables** : le bruit, **certaines fréquences...**



Usure des gaines d'isolation

⇒ Arcs électriques

⇒ Possible destruction d'une partie du réseau d'alimentation de l'avion.

Le traitement du signal : pourquoi ?



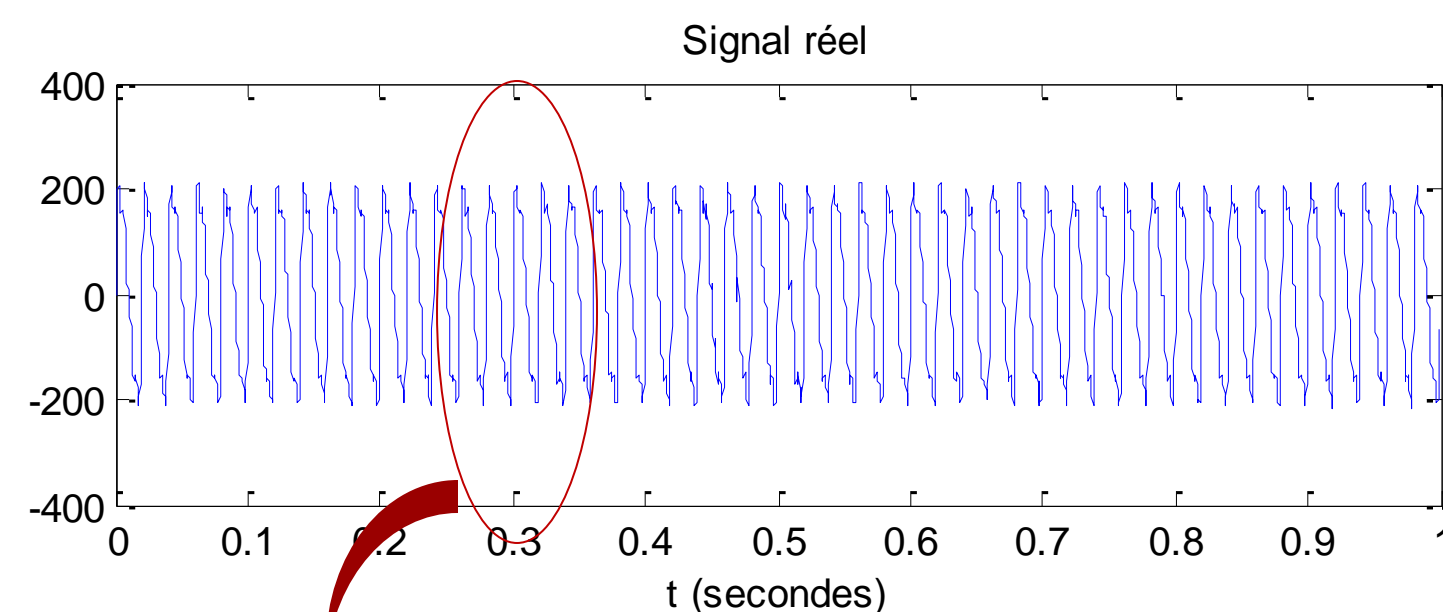
Exemple 3

→ Pour extraire de l'information des signaux :

- Identifier la bande de fréquence nécessaire à la transmission d'un signal,
- **Détecter des anomalies**, des défauts (ECG, **Arcs électriques sur les câbles d'alimentation d'un avion**, dent cassée dans un engrenage...)
- **En éliminant des composantes indésirables** : le bruit, **certaines fréquences...**

Détection de perturbations « annonciatrices »
(de fréquences > 500 Hz noyées dans le 50 Hz)

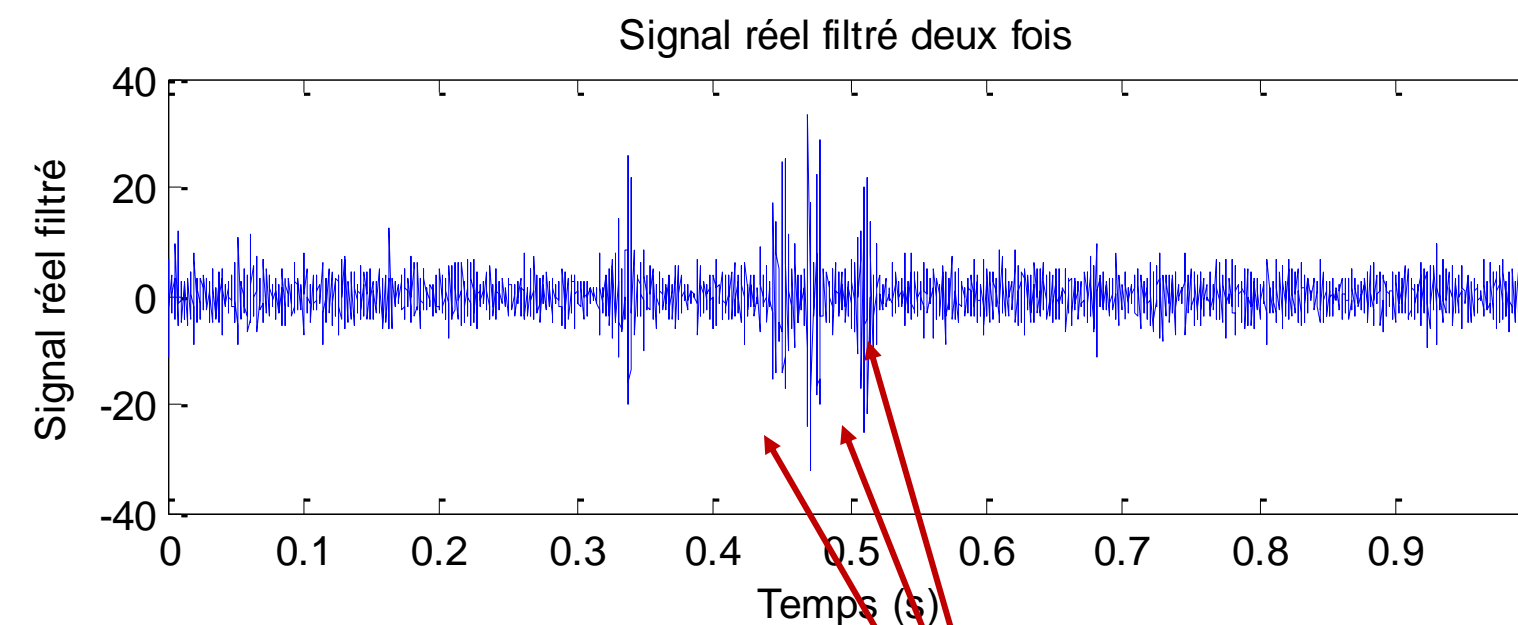
Signal d'alimentation contenant la perturbation



Filtrage

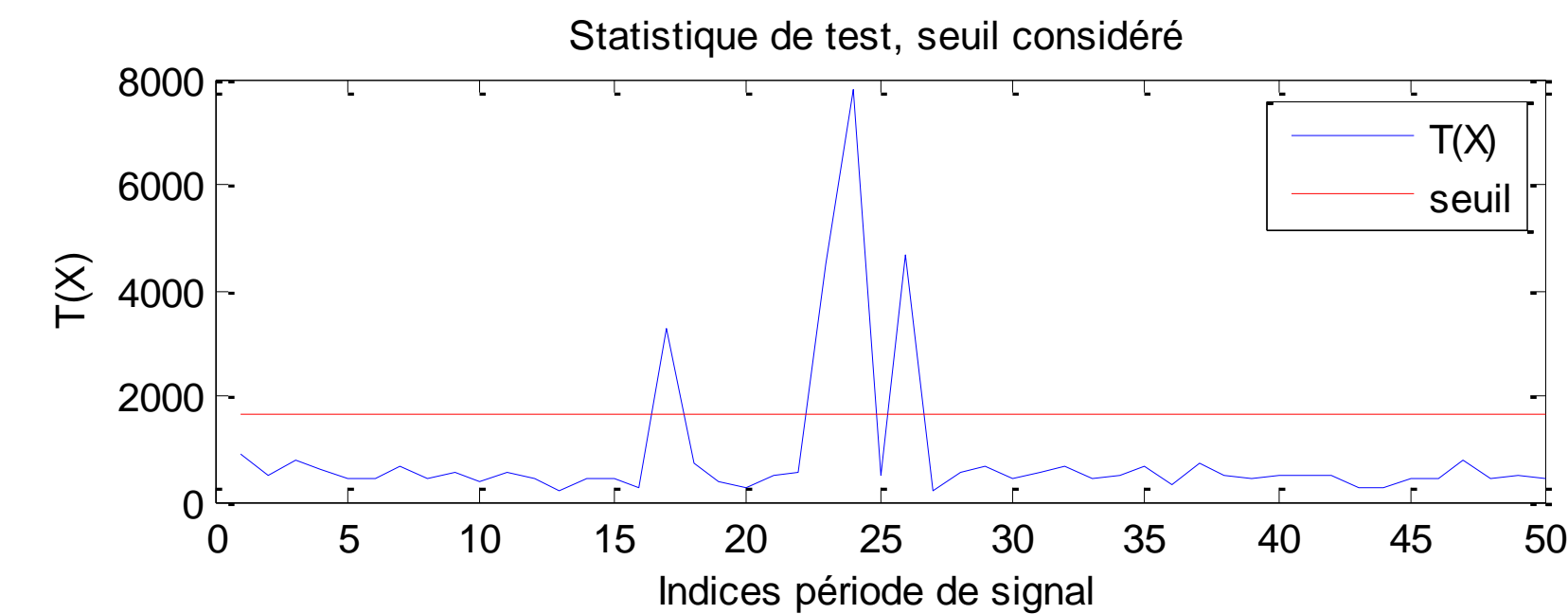


Signal après filtrage passe-haut
(élimination du 50 Hz)

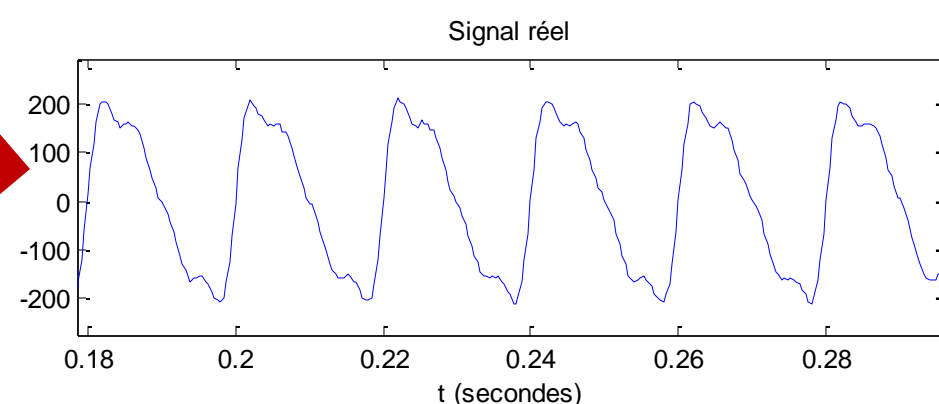


Transitoires à détecter

Détecteur d'énergie



Zoom



Le traitement du signal a besoin d'outils...



Partie 1 : Signaux et Systèmes à temps continu

Cours 1 à 4

- Modèles de signaux,
- Outils pour la représentation et l'analyse de signaux :
 - + Représentation fréquentielle ou « spectre » (Transformée de Fourier, Densité Spectrale de Puissance : DSP),
 - + Fonctions d'inter et d'autocorrélation.
 - + Filtrage (linéaire, non linéaire) des signaux à temps continu.

TD1

Etude de différentes modélisations d'un signal, calcul de fonctions d'autocorrélation et de spectres (TF, DSP)

TD2

Exercices sur le filtrage linéaire et non linéaire.

...qui doivent être implantés en numérique



Partie 2 : Signaux et Systèmes à temps discret

Cours 5 à 7

- Numérisation des signaux : échantillonnage, quantification.
- Numérisation des outils pour la représentation et l'analyse de signaux (Transformée de Fourier Discrète, DSP et fonctions d'inter et d'autocorrélation numériques).
- Définition et implantation de filtres numériques.

TD3

Etude de l'échantillonnage (impact, échantillonnage non idéal)

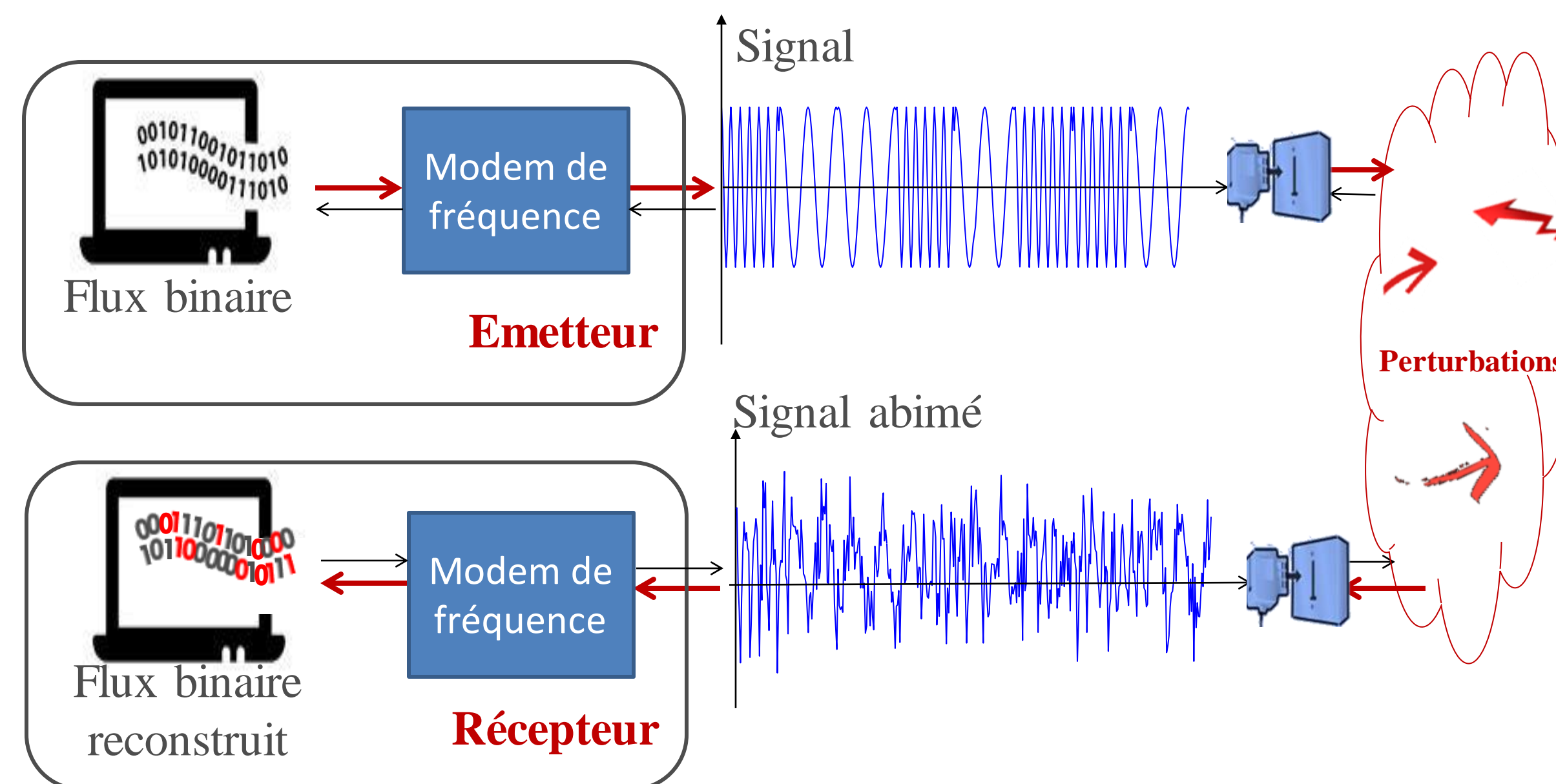
Mise en pratique (TPs et Projet)

Mise en place d'un modem de fréquence répondant à la recommandation V21 de l'Union Internationale des Télécommunications

Projet 2022 - 2023

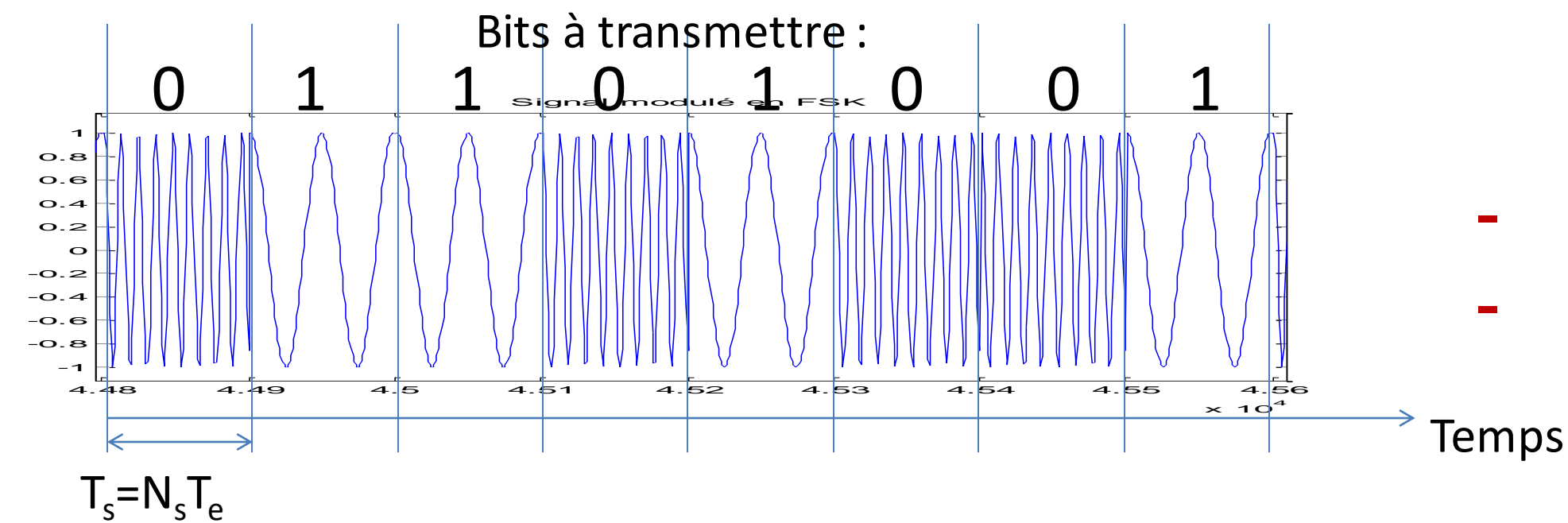
Réalisation d'un **modem** selon la **recommandation V21** de l'ITU (Union Internationale des Télécommunication)

Modem de fréquence



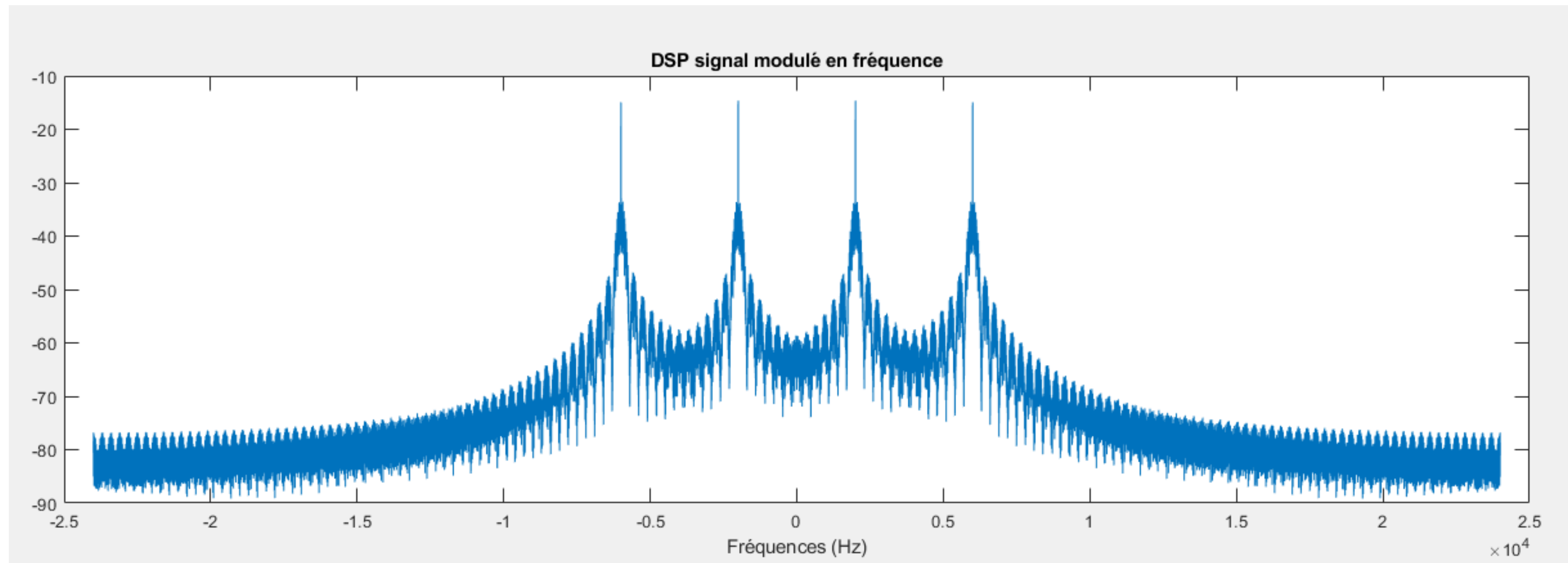
Projet 2022-2023

1- Construction du signal modulé en fréquence



- Génération d'un signal numérique
- Echelle temporelle en secondes

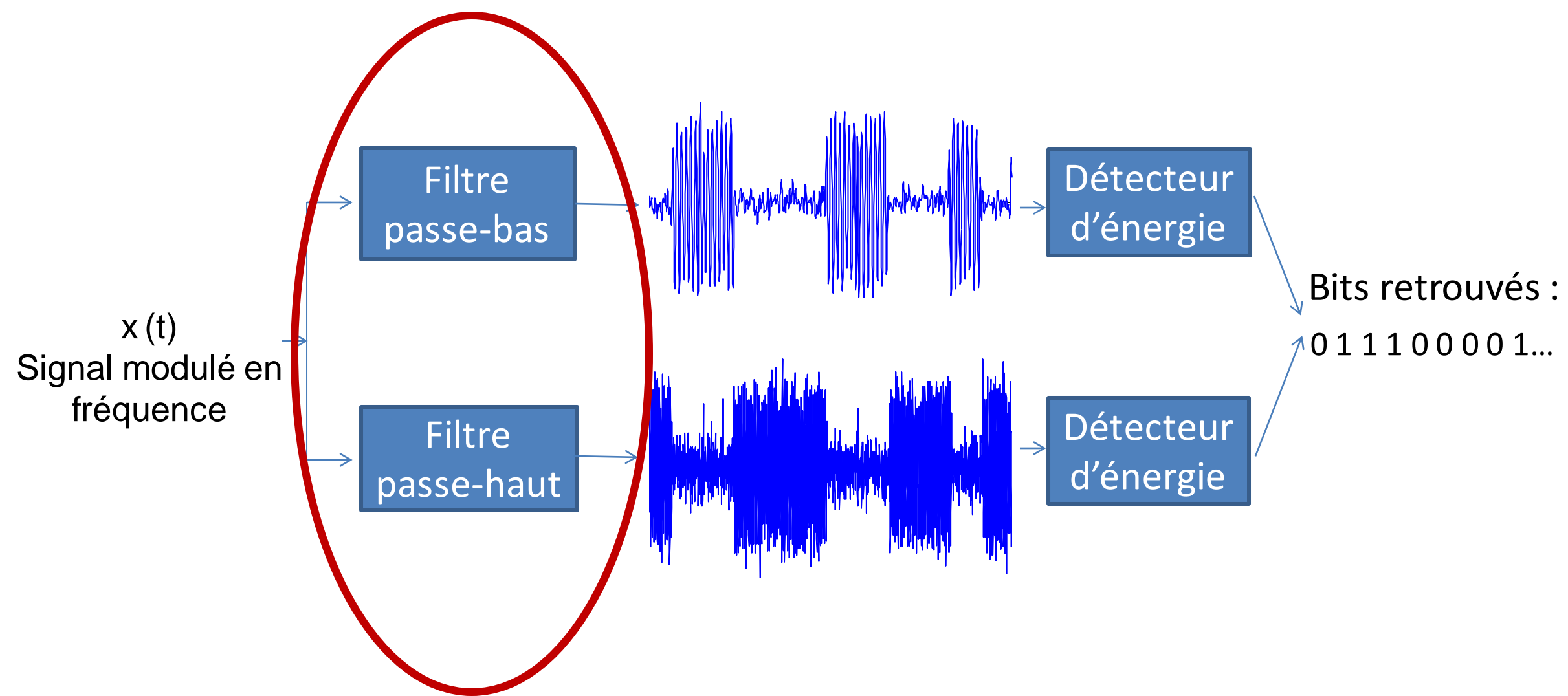
TFD ou DSP



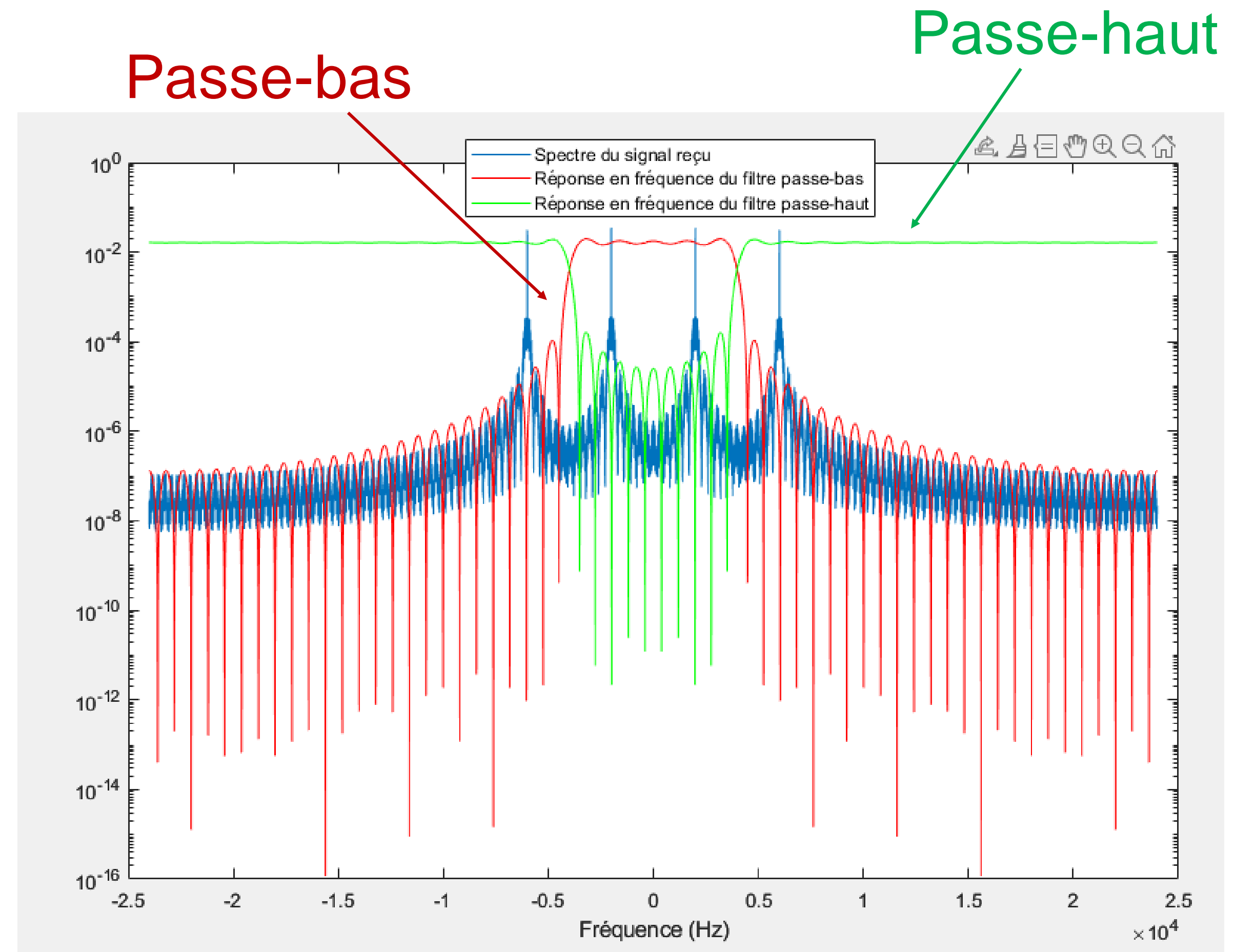
- TFD ou estimation de la DSP
- Echelle fréquentielle en Hz

Projet 2022-2023

2- Démodulation par filtrage

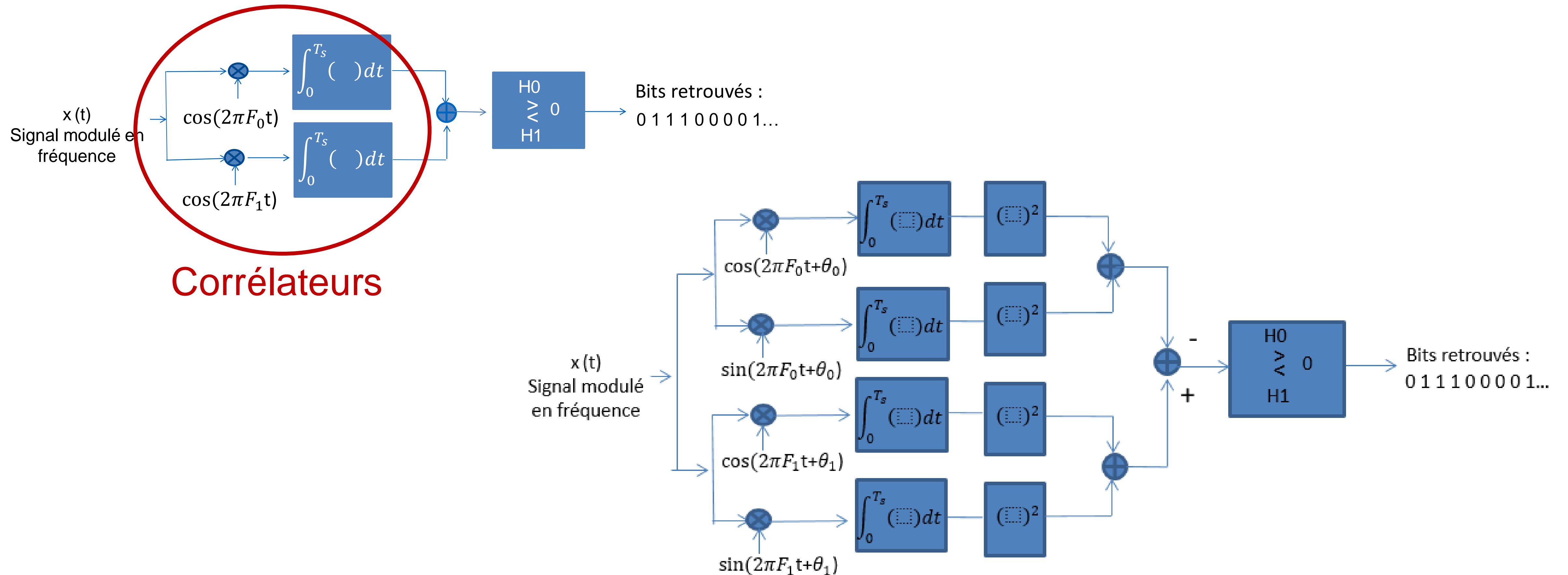


Synthèse de Filtres Numériques



Projet 2022-2023

3- Démodulateur FSK, rec. V21, sans et avec gestion d'une erreur de synchronisation



- Découverte des images cachées, calcul du TEB -



Des traitements en temps réel ?

→ Temps de calcul en traitement numérique du signal :

Nombre d'opérations d'addition/multiplication
(MAC = Multiplication Accumulation)

→ Temps réel

$y(n)$ est calculé avant que $x(n+1)$ ne se présente
(T_e secondes entre deux $x(n)$ et $x(n+1)$)



Exemples :

→ Estimation biaisée de la fonction d'autocorrélation de x :

$$y(n) = \frac{1}{N} \sum_{k=0}^{N-1} x(k) \times x^*(k-n), \quad n = 0, \dots, N-1$$

→ Transformée de Fourier Discrète (TFD) de x :

$$y(n) = \sum_{k=0}^{N-1} x(k) \times e^{-j2\pi \frac{kn}{N}}, \quad n = 0, \dots, N-1$$

→ Filtrage numérique à réponse impulsionnelle finie de x :

$$y(n) = \sum_{k=0}^{N-1} b_k \times x(n-k), \quad n = 0, \dots, N-1$$

Rappels de traitement du signal

- 1- Signaux**
 - 2- Fonctions d'inter et d'auto corrélation**
 - 3- Transformée de Fourier**
 - 4- Densité spectrale de puissance**
 - 5- Filtres linéaires invariants dans le temps**
-

Rappels de traitement du signal

- 1- Signaux**
 - 2- Fonctions d'inter et d'auto corrélation**
 - 3- Transformée de Fourier**
 - 4- Densité spectrale de puissance**
 - 5- Filtres linéaires invariants dans le temps**
-

Classes de signaux

Déterministes

Classe 1 : Déterministes, à énergie finie

$$E = \int_{\mathbb{R}} |x(t)|^2 dt = \int_{\mathbb{R}} |X(f)|^2 df < \infty$$

Classe 2 : Déterministes, à puissance moyenne finie périodiques

$$P = \frac{1}{T_0} \int_{-T_0/2}^{T_0/2} |x(t)|^2 dt < \infty$$

Classe 3 : Déterministes, à puissance moyenne finie non périodiques

$$P = \lim_{T \rightarrow \infty} \frac{1}{T} \int_{-T/2}^{T/2} |x(t)|^2 dt < \infty$$

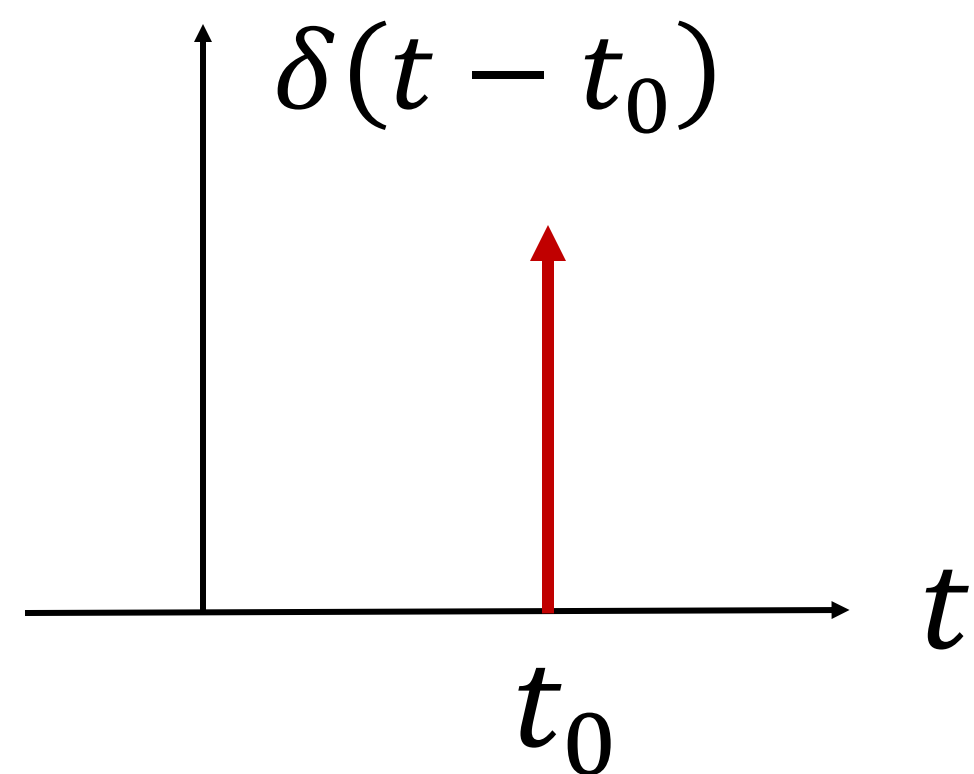
Aléatoires

Classe 4 : Aléatoires et stationnaires

Définis par des propriétés statistiques indépendantes du temps

Distributions

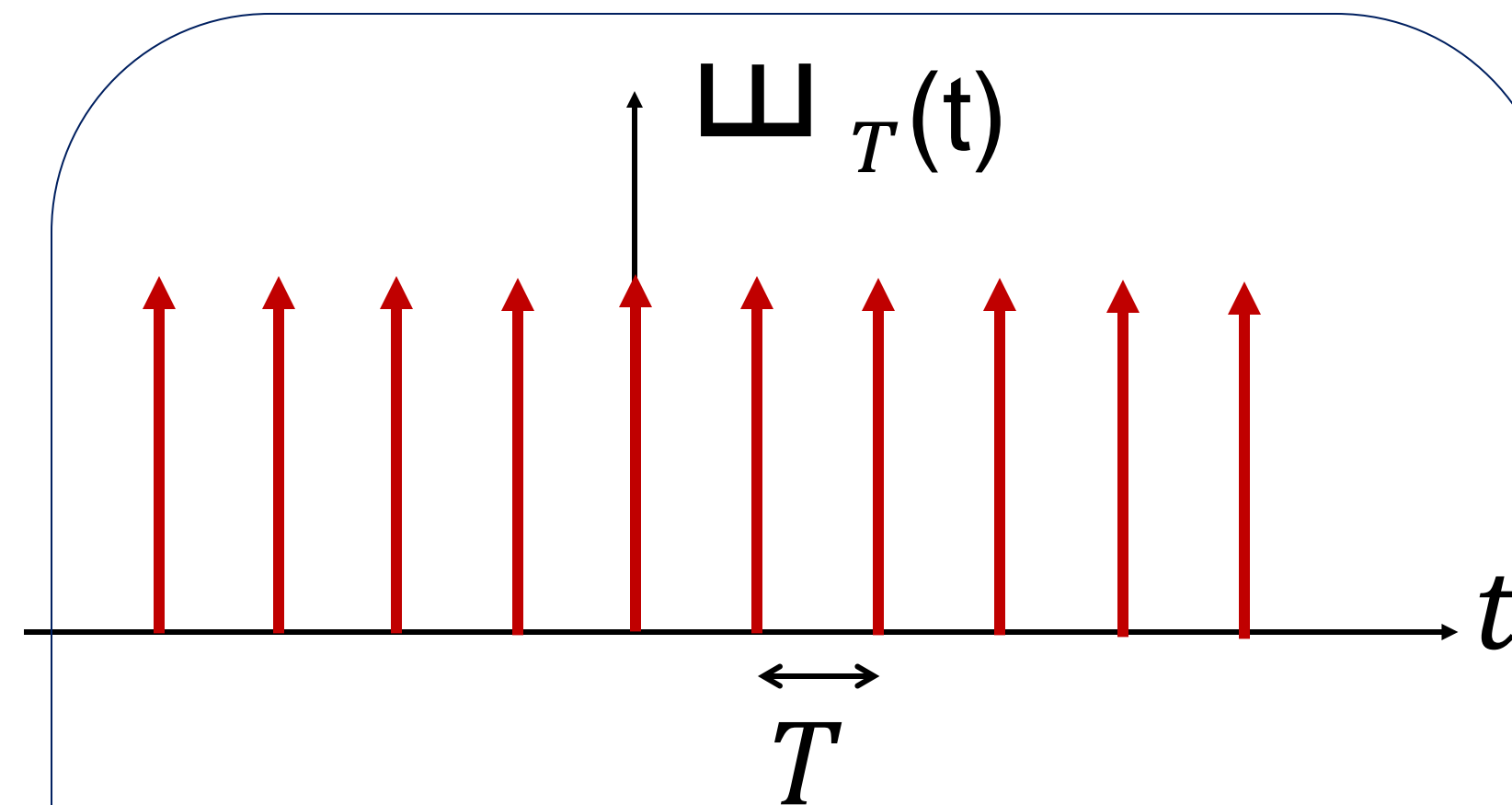
Dirac



$$\delta(t - t_0) = \begin{cases} 0 & \text{si } t \neq t_0 \\ \infty & \text{si } t = t_0 \end{cases}$$

$$\int_{-\infty}^{+\infty} \delta(t - t_0) dt = 1$$

Peigne de Dirac

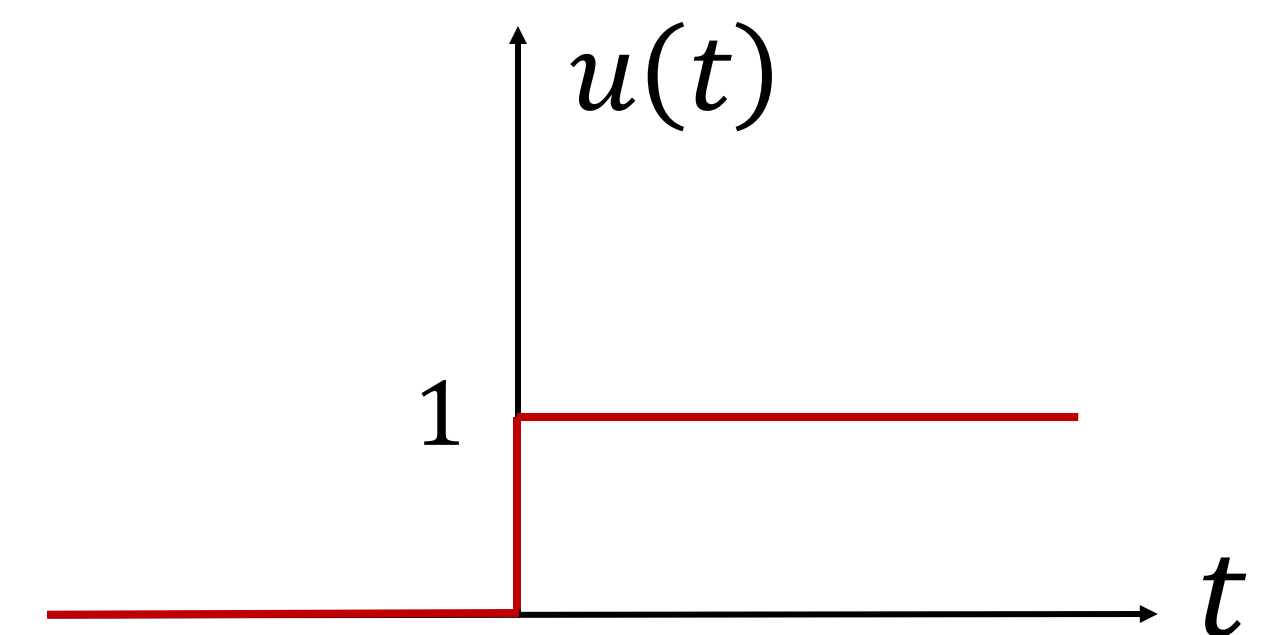


$$\Psi_T(t) = \sum_{k=-\infty}^{+\infty} \delta(t - kT)$$

Rque :

$$\begin{cases} x(t)\delta(t - t_0) = x(t_0)\delta(t - t_0) \\ x(t) * \delta(t - t_0) = x(t - t_0) \end{cases}$$

Fonction de Heaviside (ou échelon unité)



$$u(t) = \begin{cases} 1 & \text{pour } t > 0 \\ 0 & \text{pour } t < 0 \end{cases}$$

Rappels de traitement du signal

- 1- Signaux
 - 2- Fonctions d'inter et d'auto corrélation
 - 3- Transformée de Fourier
 - 4- Densité spectrale de puissance
 - 5- Filtres linéaires invariants dans le temps
-

Définitions

Fonctions d'intercorrélation

Fonctions d'autocorrélation

Classe 1 : Signaux déterministes à énergie finie

$$R_{xy}(\tau) = \int_{\mathbb{R}} x(t)y^*(t - \tau)dt$$

$$R_x(\tau) = \int_{\mathbb{R}} x(t)x^*(t - \tau)dt$$

Classe 2 : Signaux déterministes à puissance moyenne finie périodiques

$$R_{xy}(\tau) = \frac{1}{T_0} \int_{-T_0/2}^{T_0/2} x(t)y^*(t - \tau)dt$$

$$R_x(\tau) = \frac{1}{T_0} \int_{-T_0/2}^{T_0/2} x(t)x^*(t - \tau)dt$$

Classe 3 : Signaux déterministes à puissance moyenne finie non périodiques

$$R_{xy}(\tau) = \lim_{T \rightarrow \infty} \frac{1}{T} \int_{-T/2}^{T/2} x(t)y^*(t - \tau)dt$$

$$R_x(\tau) = \lim_{T \rightarrow \infty} \frac{1}{T} \int_{-T/2}^{T/2} x(t)x^*(t - \tau)dt$$

Class 4 : Signaux aléatoires stationnaires

$$R_{xy}(\tau) = E[x(t)y^*(t - \tau)]$$

$$R_x(\tau) = E[x(t)x^*(t - \tau)]$$

Quelques propriétés

Symétrie Hermitienne

$$R_x^*(-\tau) = R_x(\tau)$$

Valeur max

$$|R_x(\tau)| \leq R_x(0)$$

Distance entre $x(t)$ et $x(t-\tau)$ quand x est réel

$$d^2 [x(t), x(t - \tau)] = 2 [R_x(0) - R_x(\tau)]$$

Rappels de traitement du signal

- 1- Signaux
 - 2- Fonctions d'inter et d'auto corrélation
 - 3- Transformée de Fourier**
 - 4- Densité spectrale de puissance
 - 5- Filtres linéaires invariants dans le temps
-

Transformée de Fourier

Définition

$$X(f) = \int_{\mathbb{R}} x(t) \exp(-j2\pi ft) dt$$
$$x(t) = \int_{\mathbb{R}} X(f) \exp(j2\pi ft) df$$

Propriétés

Linéarité

$$\text{TF} [ax(t) + by(t)] = aX(f) + bY(f)$$

Translation

$$\text{TF} [x(t - t_0)] = \exp(-j2\pi ft_0)X(f)$$

Modulation

$$\text{TF} [x(t) \exp(j2\pi f_0 t)] = X(f - f_0)$$

La TF transforme un produit en produit de convolution

$$\begin{cases} \text{TF} [x(t) * y(t)] = X(f)Y(f) \\ \text{TF} [x(t)y(t)] = X(f) * Y(f) \end{cases}$$

Egalité de Parseval

$$\int_{\mathbb{R}} x(t)y^*(t)dt = \int_{\mathbb{R}} X(f)Y^*(f)df$$

Tables de Transformée de Fourier

TF	
$ax(t) + by(t)$	$\Rightarrow aX(f) + bY(f)$
$x(t - t_0)$	$\Rightarrow X(f)e^{-i2\pi ft_0}$
$x(t)e^{+i2\pi f_0 t}$	$\Rightarrow X(f - f_0)$
$x^*(t)$	$\Rightarrow X^*(-f)$
$x(t) \cdot y(t)$	$\Rightarrow X(f) * Y(f)$
$x(t) * y(t)$	$\Rightarrow X(f) \cdot Y(f)$
$x(at + b)$	$\Rightarrow \frac{1}{ a } X\left(\frac{f}{a}\right) e^{i2\pi \frac{b}{a} f}$
$\frac{dx^{(n)}(t)}{dt^n}$	$\Rightarrow (i2\pi f)^n X(f)$
$(-i2\pi t)^n x(t)$	$\Rightarrow \frac{dX^{(n)}(f)}{df^n}$

← TF⁻¹

TF	
1	$\Rightarrow \delta(f)$
$\delta(t)$	$\Rightarrow 1$
$e^{+i2\pi f_0 t}$	$\Rightarrow \delta(f - f_0)$
$\delta(t - t_0)$	$\Rightarrow e^{-i2\pi ft_0}$
$\text{III}_T(t) = \sum_{k \in \mathbb{Z}} \delta(t - kT)$	$\Rightarrow \frac{1}{T} \text{III}_{1/T}(f)$
$\cos(2\pi f_0 t)$	$\Rightarrow \frac{1}{2} [\delta(f - f_0) + \delta(f + f_0)]$
$\sin(2\pi f_0 t)$	$\Rightarrow \frac{1}{2i} [\delta(f - f_0) - \delta(f + f_0)]$
$e^{-a t }$	$\Rightarrow \frac{2a}{a^2 + 4\pi^2 f^2}$
$e^{-\pi t^2}$	$\Rightarrow e^{-\pi f^2}$
$\text{II}_T(t)$	$\Rightarrow T \frac{\sin(\pi T f)}{\pi T f} = T \text{sin } c(\pi T f)$
$\Lambda_T(t)$	$\Rightarrow T \text{sin } c^2(\pi T f)$
$B \text{sin } c(\pi B t)$	$\Rightarrow \text{II}_B(f)$
$B \text{sin } c^2(\pi B t)$	$\Rightarrow \Lambda_B(f)$

← TF⁻¹

Rappels de traitement du signal

- 1- Signaux
 - 2- Fonctions d'inter et d'auto corrélation
 - 3- Transformée de Fourier
 - 4- **Densité spectrale de puissance**
 - 5- Filtres linéaires invariants dans le temps
-

Densité Spectrale de Puissance (DSP)

Définition

$$s_x(f) = \text{TF} [R_x(\tau)]$$

Propriétés

- $S_x(f)$ est réelle
- Si x est réel alors $S_x(f)$ est réelle et paire
- $S_x(f)$ est positive

Densité Spectrale de Puissance (DSP)

Classe 1 : Signaux déterministes à énergie finie

$$s_x(f) = |X(f)|^2$$

Classe 2 : Signaux déterministes à puissance moyenne finie périodiques

$$s_x(f) = \sum_{k \in \mathbb{Z}} |c_k|^2 \delta(f - kf_0) \quad \text{avec} \quad x(t) = \sum_{k \in \mathbb{Z}} c_k \exp(j2\pi k f_0 t)$$

Classe 3 : Signaux déterministes à puissance moyenne finie non périodiques

$$s_x(f) = \lim_{T \rightarrow \infty} \frac{1}{T} |X_T(f)|^2 \quad \text{avec} \quad X_T(f) = \int_{-T/2}^{T/2} x(t) \exp(-j2\pi ft) dt$$

Class 4 : Signaux aléatoires stationnaires

$$s_x(f) = \text{TF} [R_x(\tau)]$$

Puissance/Energie d'un signal

$$P \text{ ou } E = R_x(0) = \int_{\mathbb{R}} s_x(f) df$$

Classe 1 : x déterministe à énergie finie

$$\int_{-\infty}^{+\infty} |x(t)|^2 dt = \int_{-\infty}^{+\infty} |X(f)|^2 df$$

Classe 2 : x déterministe à puissance finie périodique

$$\frac{1}{T_0} \int_{-\frac{T_0}{2}}^{\frac{T_0}{2}} |x(t)|^2 dt$$

Classe 3 : x déterministe à puissance finie non périodique

$$\lim_{t \rightarrow \infty} \frac{1}{T} \int_{-\frac{T}{2}}^{\frac{T}{2}} |x(t)|^2 dt$$

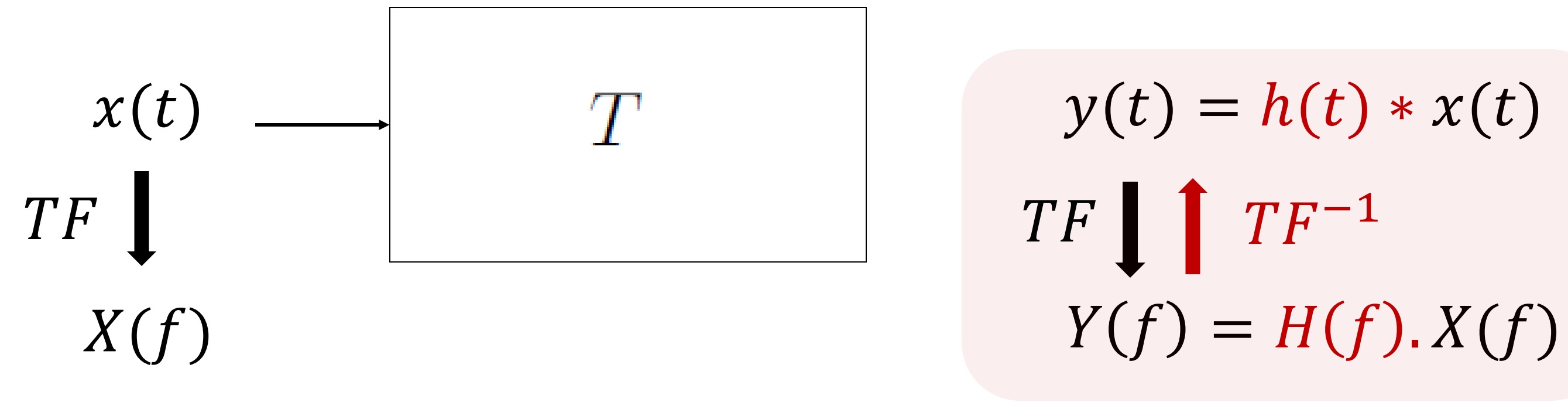
Classe 4 : x aléatoire stationnaire

$$E[|x(t)|^2]$$

Rappels de traitement du signal

- 1- Signaux
 - 2- Fonctions d'inter et d'auto corrélation
 - 3- Transformée de Fourier
 - 4- Densité spectrale de puissance
 - 5- **Filtres linéaires invariants dans le temps**
-

Filtres linéaires invariants dans le temps



Pondération de la TF du signal d'entrée

$$y(t) = h(t) * x(t) = \int_{\mathbb{R}} h(u)x(t-u)du = \int_{\mathbb{R}} x(u)h(t-u)du = x(t) * h(t)$$

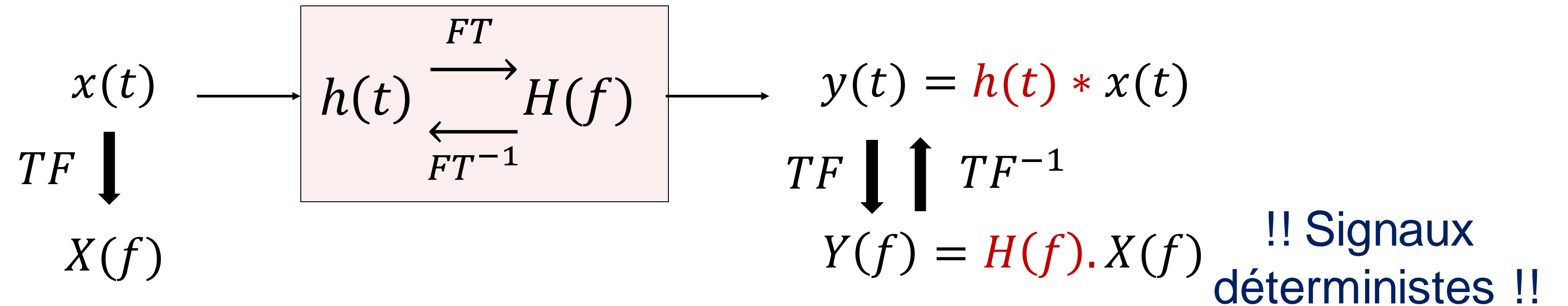
Linéarité

$$T [a_1x_1(t) + a_2x_2(t)] = a_1T [x_1(t)] + a_2T [x_2(t)]$$

Invariance dans le temps

$$\text{Si } y(t) = T [x(t)] \text{ alors } T [x(t - t_0)] = y(t - t_0)$$

Filtres linéaires invariants dans le temps



Définis par

$$\begin{cases} h(t) : \text{réponse impulsionnelle} \\ H(f) = TF[h(t)] : \text{réponse en fréquence} \end{cases}$$

Conditions de réalisabilité

→ Causalité : $h(t) = 0$ pour $t < 0$

→ Stabilité : $\int_{\mathbb{R}} |h(t)| dt < +\infty$

→ Réponse impulsionnelle réelle : $h(t) \in \mathbb{R}$

Mais aussi

$$R_{xy}(\tau) = R_x(\tau) * h(\tau)$$

$$R_y(\tau) = R_x(\tau) * h(\tau) * h^*(-\tau)$$

$$S_y(f) = S_x(f) |H(f)|^2$$

Relations de Wiener

Traitement Numérique du signal

- 1- Signaux numériques**
 - 2- Transformée de Fourier Discrète (TFD)**
 - 3- Estimation des fonctions d'inter et d'auto corrélation**
 - 4- Estimation de la densité spectrale de puissance (DSP)**
 - 5- Filtrage numérique linéaire**
-

Traitement Numérique du signal

- 1- Signaux numériques**
 - 2- Transformée de Fourier Discrète (TFD)**
 - 3- Estimation des fonctions d'inter et d'auto corrélation**
 - 4- Estimation de la densité spectrale de puissance (DSP)**
 - 5- Filtrage numérique linéaire**
-

Numérisation du signal

Signal analogique :

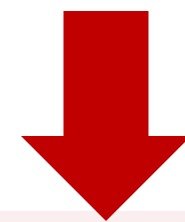
signal défini à tout instant par des valeurs réelles

Signal numérique :

signal défini à des instants discrets par un nombre fini de valeurs

Numérisation du signal

Signal analogique :
signal défini à tout instant par des
valeurs réelles



Numérisation :
Échantillonnage + quantification



Signal numérique :
signal défini à des instants discrets
par un nombre fini de valeurs

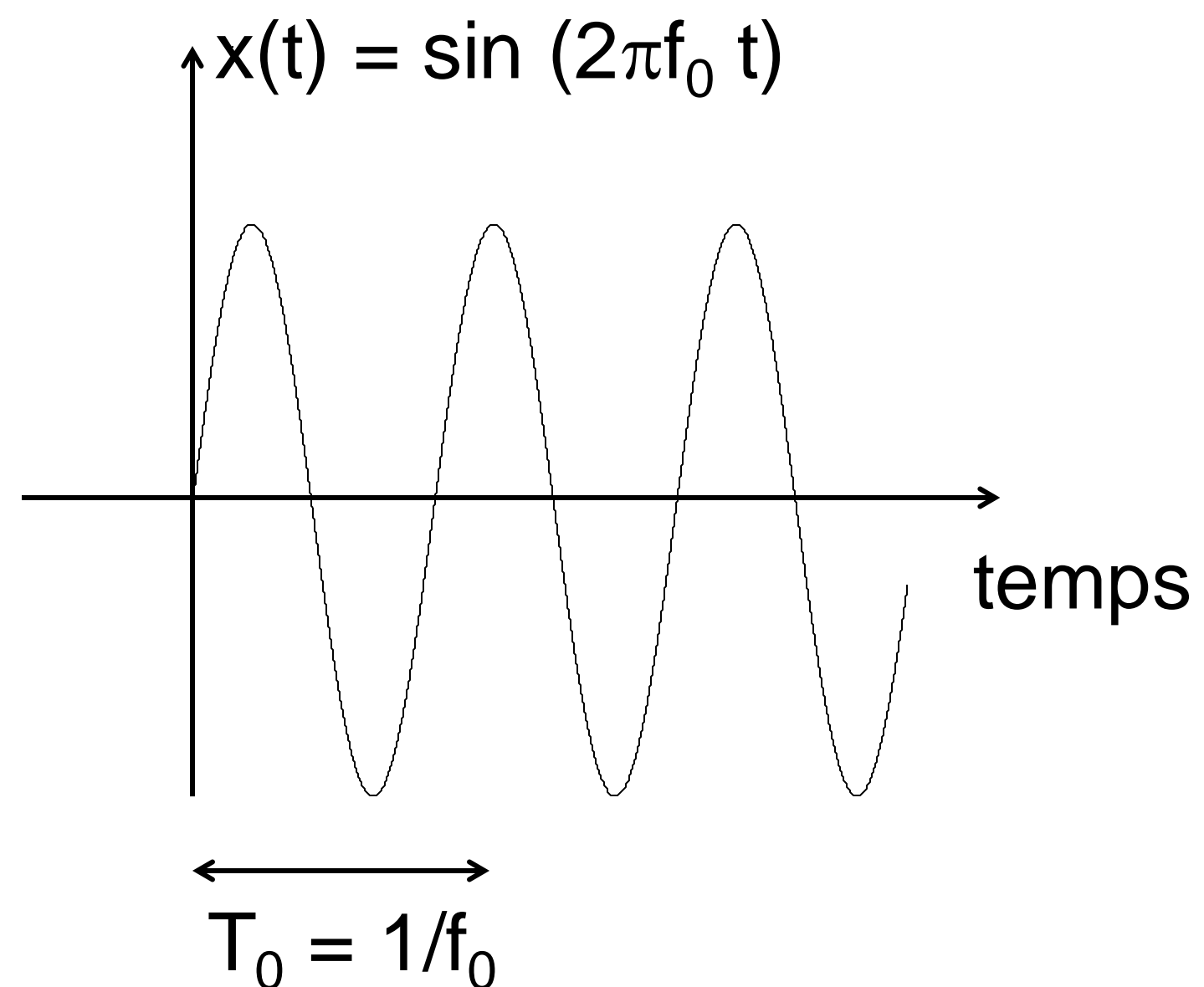
Numérisation du signal : Echantillonnage

Signal échantillonné :
signal défini à des instants discrets par des valeurs réelles

Numérisation du signal : Echantillonnage

Signal échantillonné :
signal défini à des instants discrets par des valeurs réelles

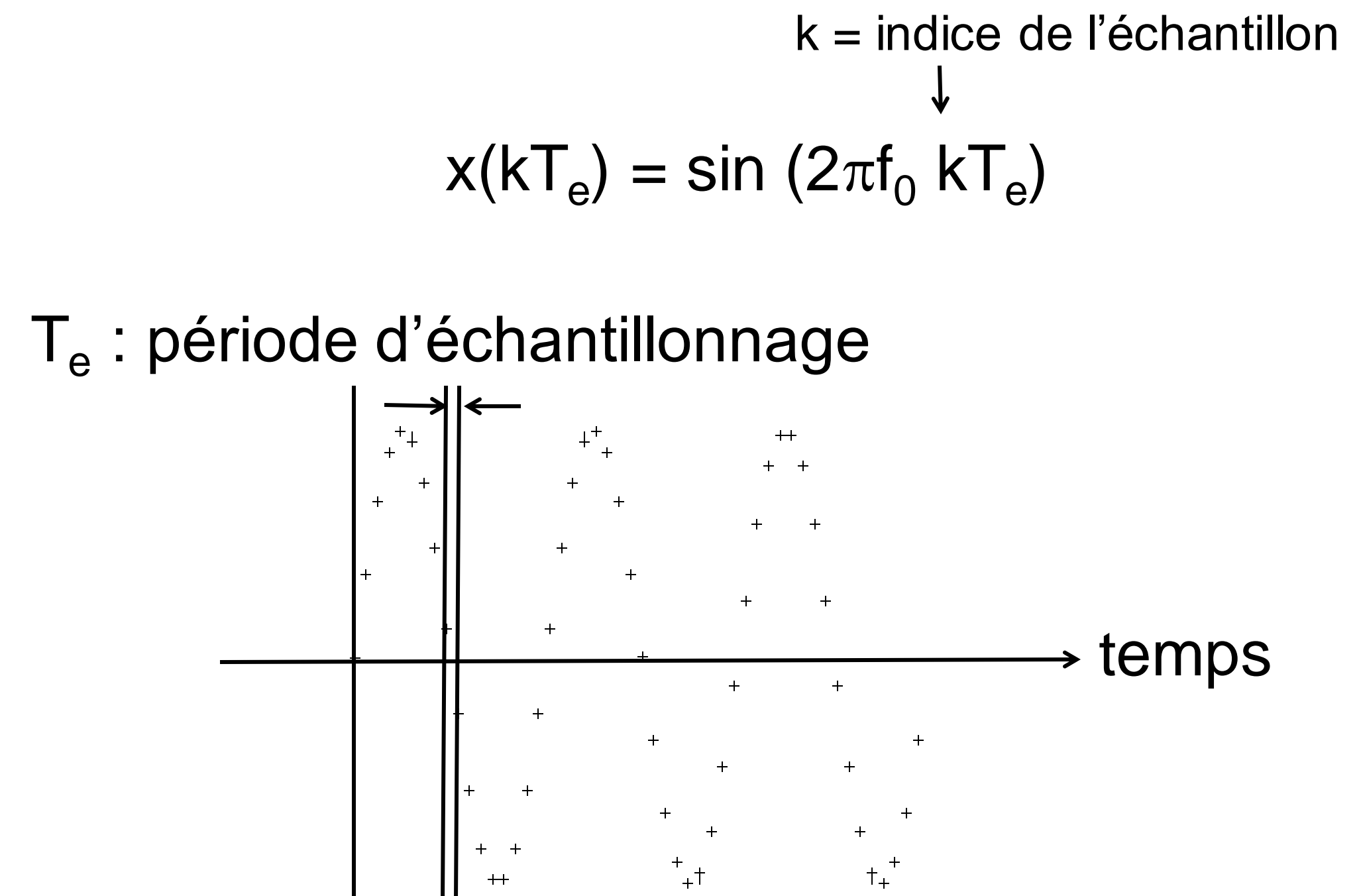
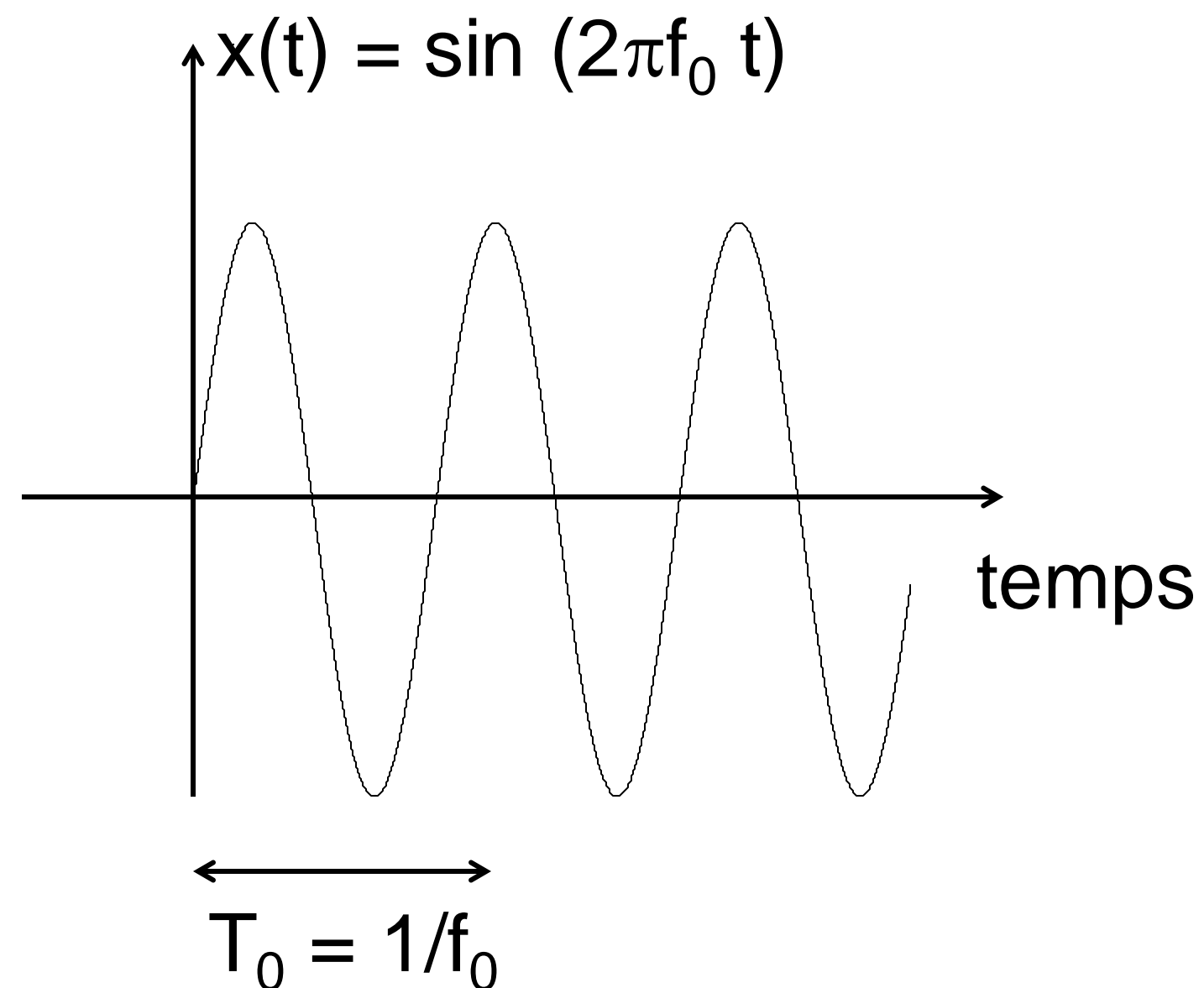
Exemple :



Numérisation du signal : Échantillonnage

Signal échantillonné :
signal défini à des instants discrets par des valeurs réelles

Exemple :



Numérisation du signal : Echantillonnage

Est-il possible de conserver toute l'information dans la suite d'échantillons prélevés ?

Numérisation du signal : Echantillonnage

Est-il possible de conserver toute l'information dans la suite d'échantillons prélevés ?

Modélisation de l'échantillonnage :

$$x_e(t) = x(t) \text{III}_{T_e}(t)$$

$$X_e(f) = \frac{1}{T_e} X(f) * \text{III}_{\frac{1}{T_e}}(f) = F_e \sum_n X(f - kF_e)$$

Numérisation du signal : Echantillonnage

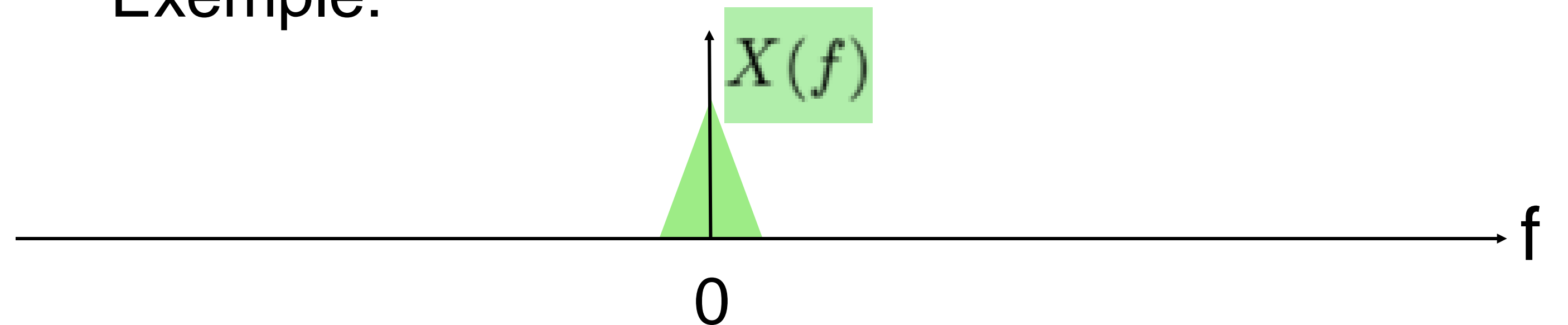
Est-il possible de conserver toute l'information dans la suite d'échantillons prélevés ?

Modélisation de l'échantillonnage :

$$x_e(t) = x(t) \text{III}_{T_e}(t)$$

$$X_e(f) = \frac{1}{T_e} X(f) * \text{III}_{\frac{1}{T_e}}(f) = F_e \sum_n X(f - kF_e)$$

Exemple:



Numérisation du signal : Echantillonnage

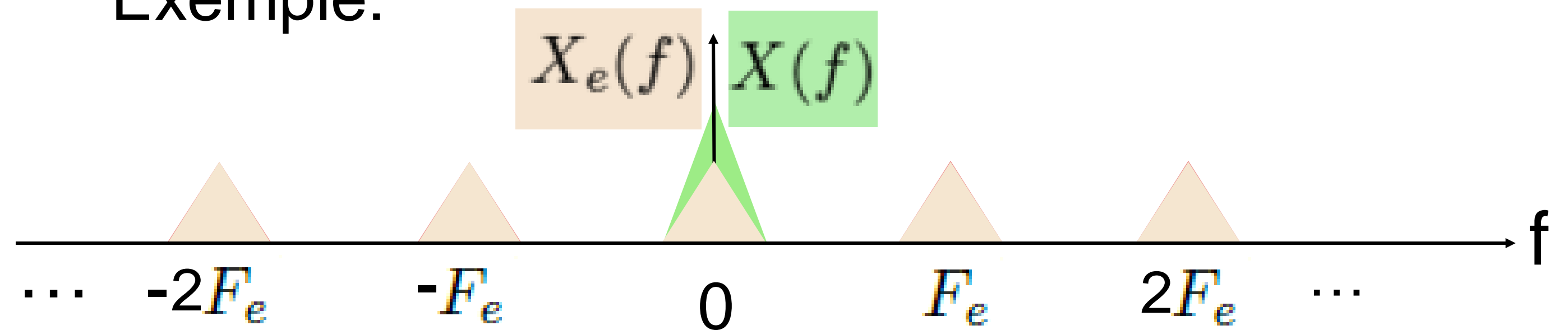
Est-il possible de conserver toute l'information dans la suite d'échantillons prélevés ?

Modélisation de l'échantillonnage :

$$x_e(t) = x(t) \text{III}_{T_e}(t)$$

$$X_e(f) = \frac{1}{T_e} X(f) * \text{III}_{\frac{1}{T_e}}(f) = F_e \sum_n X(f - kF_e)$$

Exemple:



Numérisation du signal : Echantillonnage

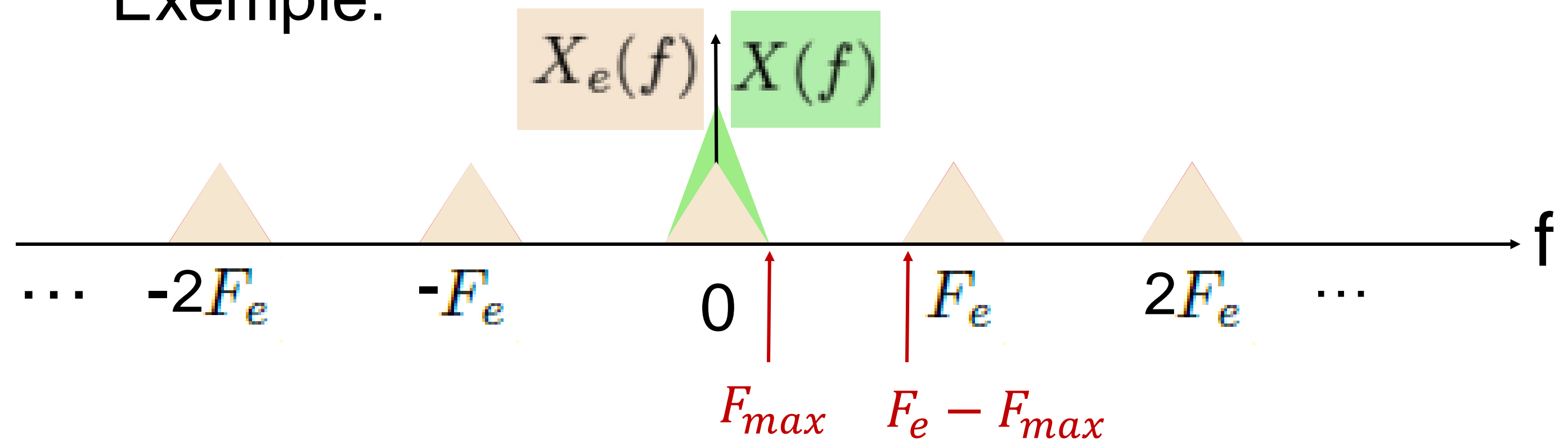
Est-il possible de conserver toute l'information dans la suite d'échantillons prélevés ?

Modélisation de l'échantillonnage :

$$x_e(t) = x(t) \text{III}_{T_e}(t)$$

$$X_e(f) = \frac{1}{T_e} X(f) * \text{III}_{\frac{1}{T_e}}(f) = F_e \sum_n X(f - kF_e)$$

Exemple:



Numérisation du signal : Echantillonnage

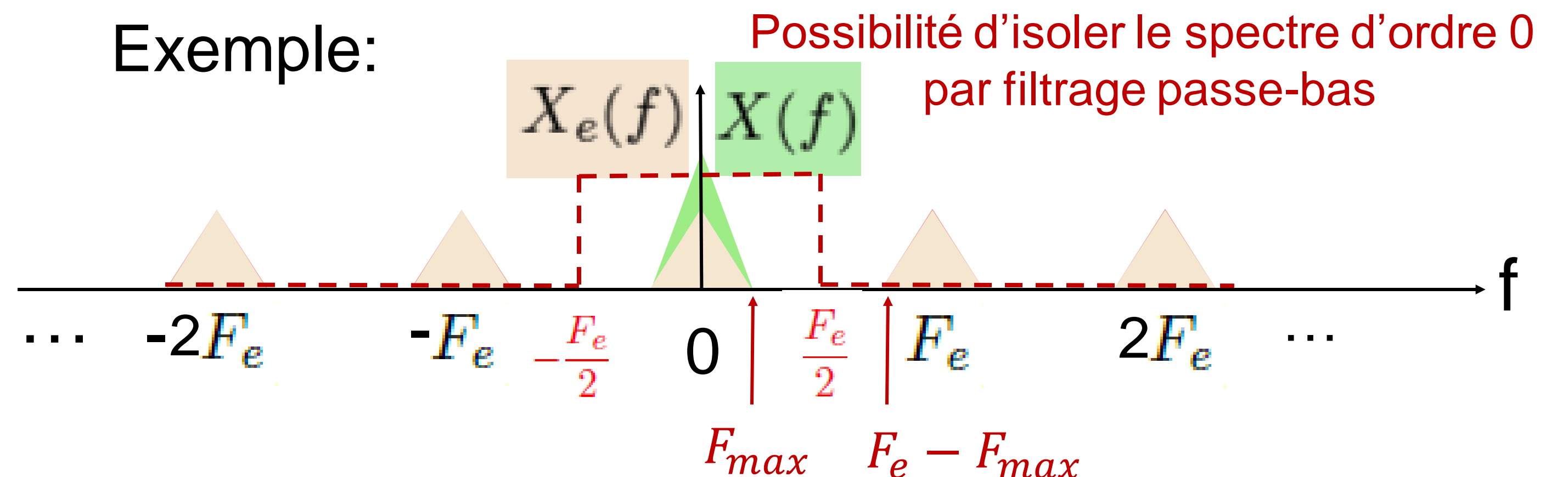
Est-il possible de conserver toute l'information dans la suite d'échantillons prélevés ?

Modélisation de l'échantillonnage :

$$x_e(t) = x(t) \text{III}_{T_e}(t)$$

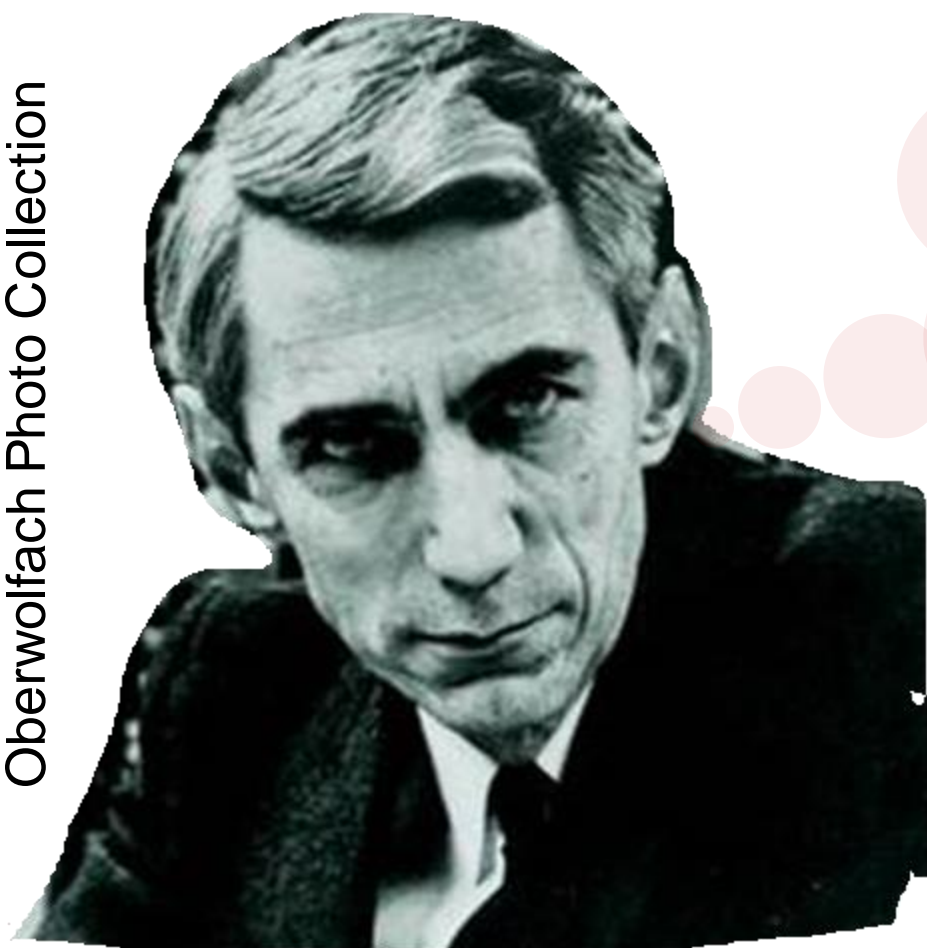
$$X_e(f) = \frac{1}{T_e} X(f) * \text{III}_{\frac{1}{T_e}}(f) = F_e \sum_n X(f - kF_e)$$

Exemple:



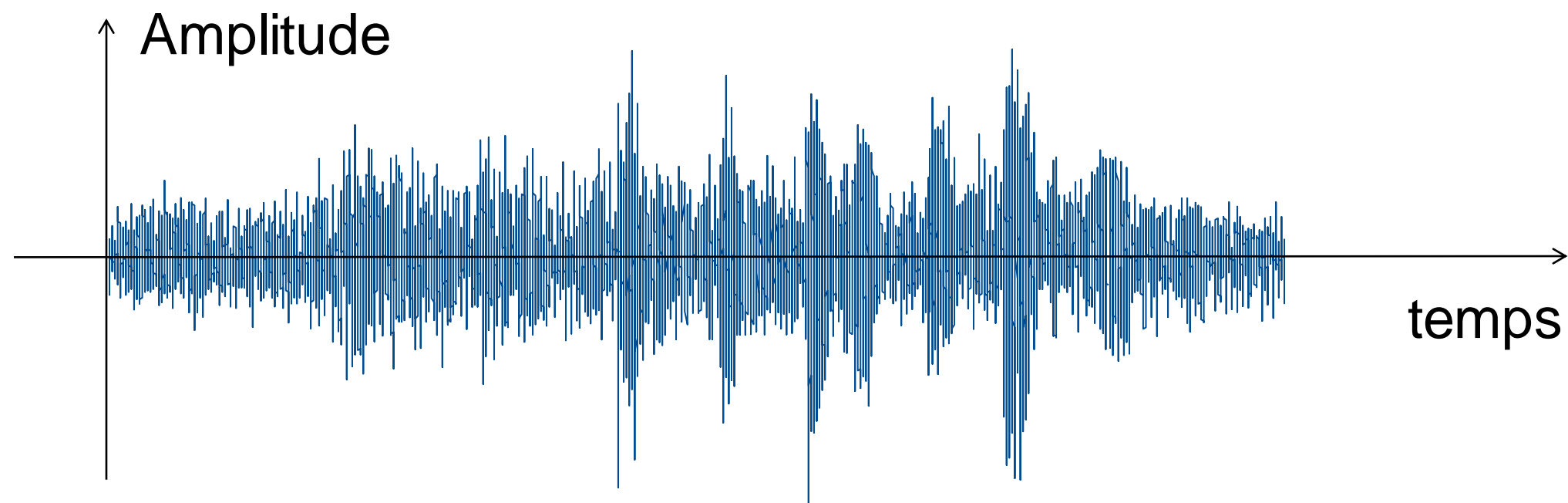
Oui ça l'est !
A une condition :
 $F_e = \frac{1}{T_e} > 2F_{max}$

Condition
de Shannon

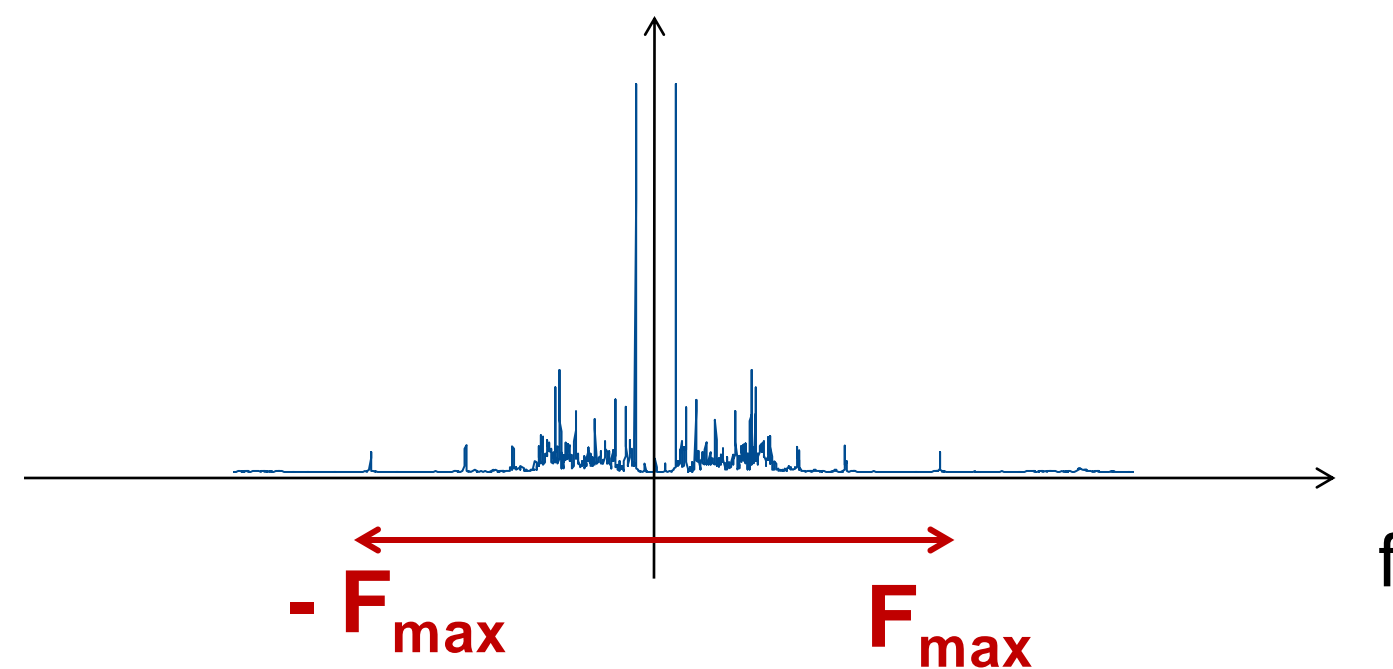


Claude Elwood Shannon
(1916 -2001)

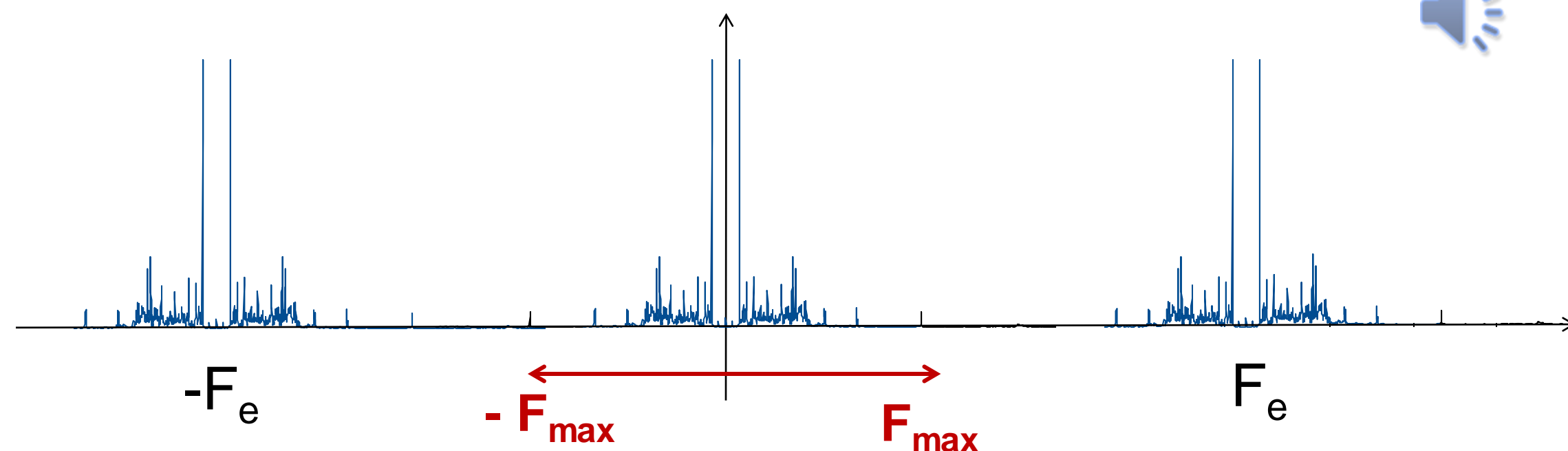
Exemple 1



Transformée de Fourier :

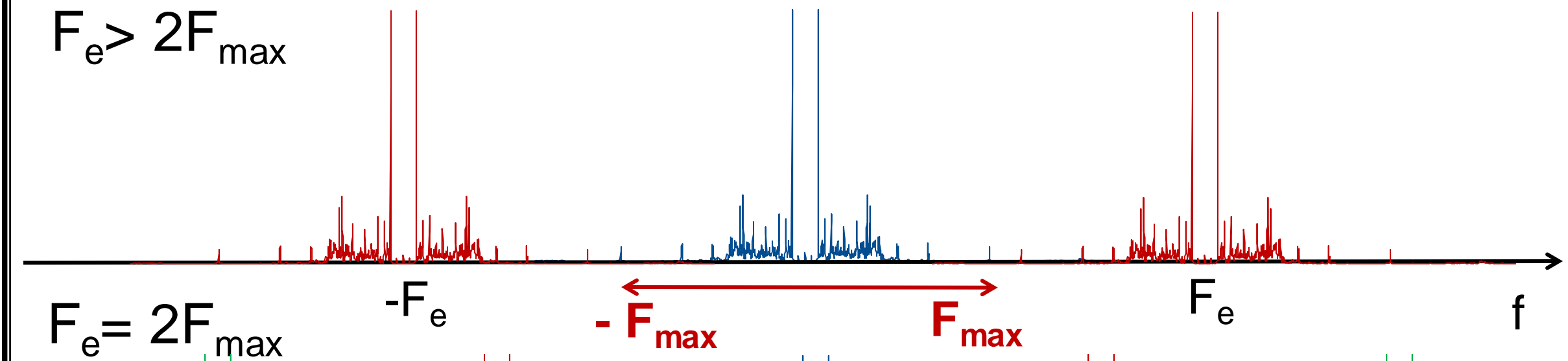


Transformée de Fourier du signal correctement échantillonné :

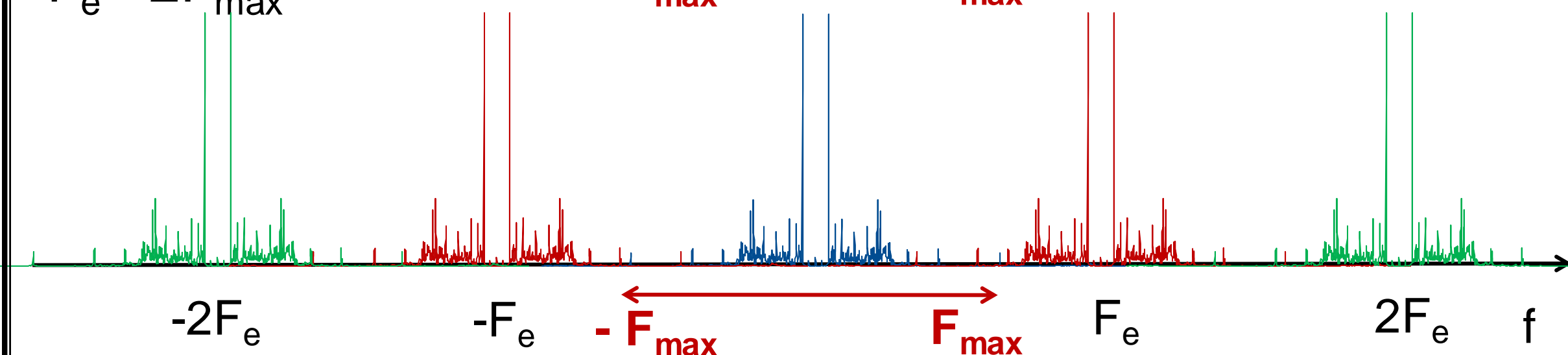


Quand on diminue la fréquence d'échantillonnage, les périodisations se rapprochent et finissent par apparaître dans la bande occupée par le signal générant du recouvrement :

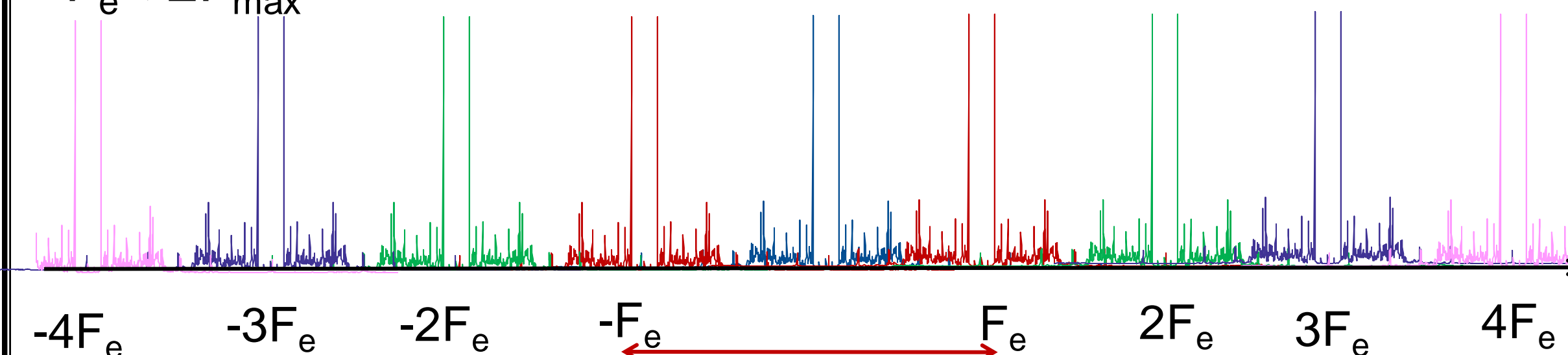
$$F_e > 2F_{\max}$$



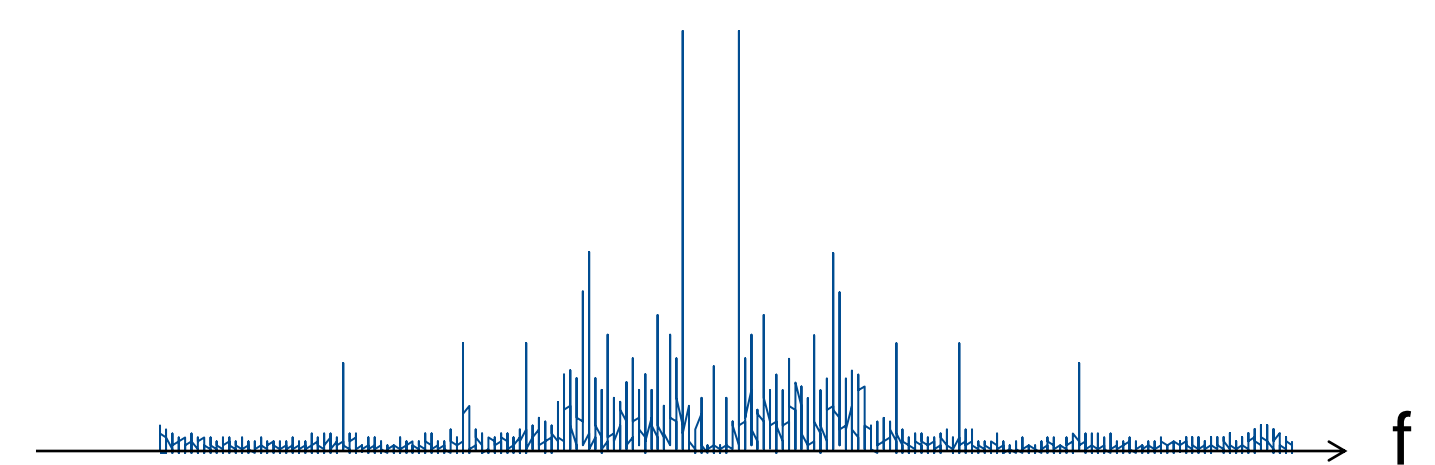
$$F_e = 2F_{\max}$$



$$F_e < 2F_{\max}$$



Transformée de Fourier du signal échantillonné à $F_e = F_{\max} / 12$:



Exemple 2

Image d'origine :
512*512 pixels, quantifiée sur 8 bits



Image sous échantillonnée d'un facteur 2 :
256*256 pixels, quantifiée sur 8 bits

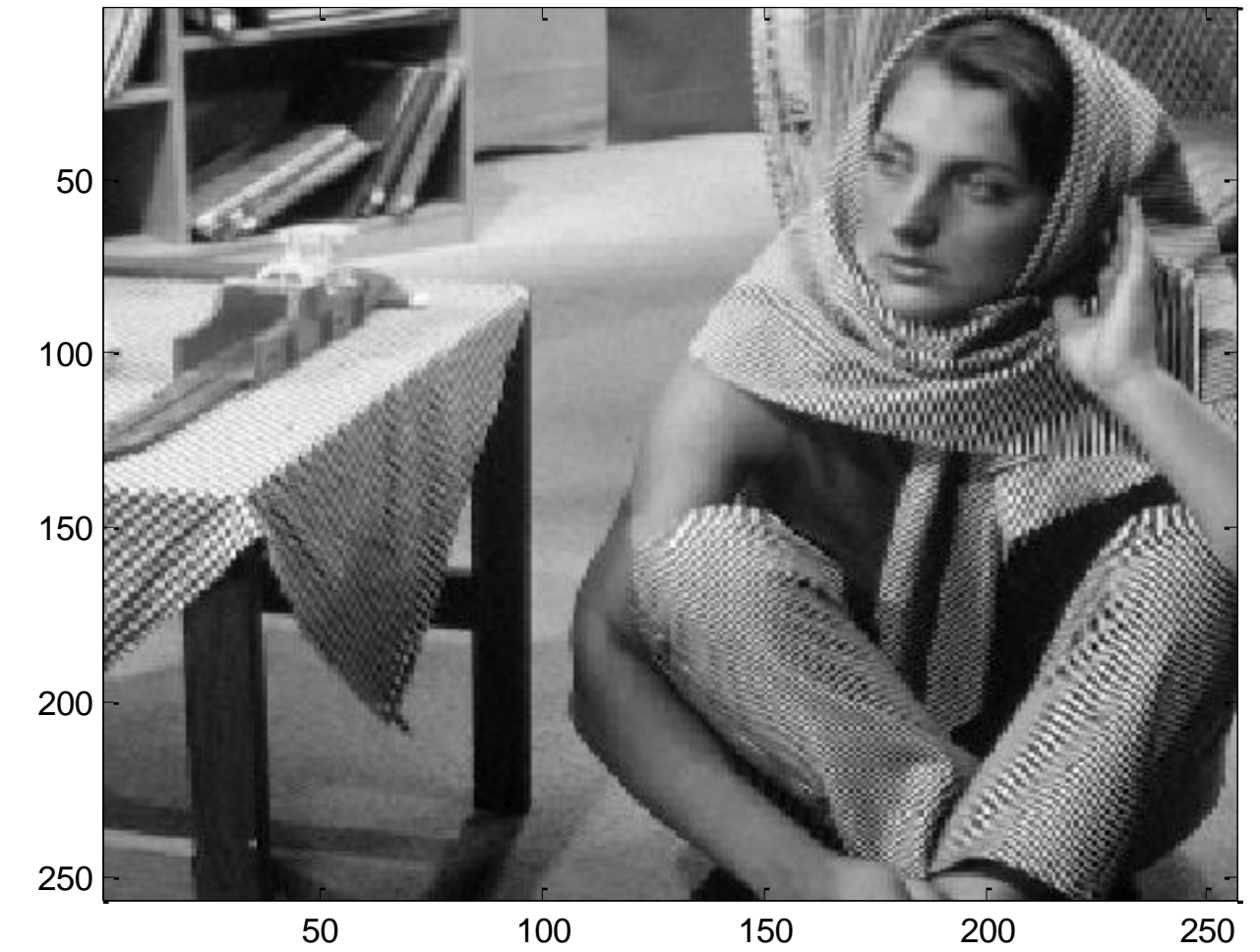
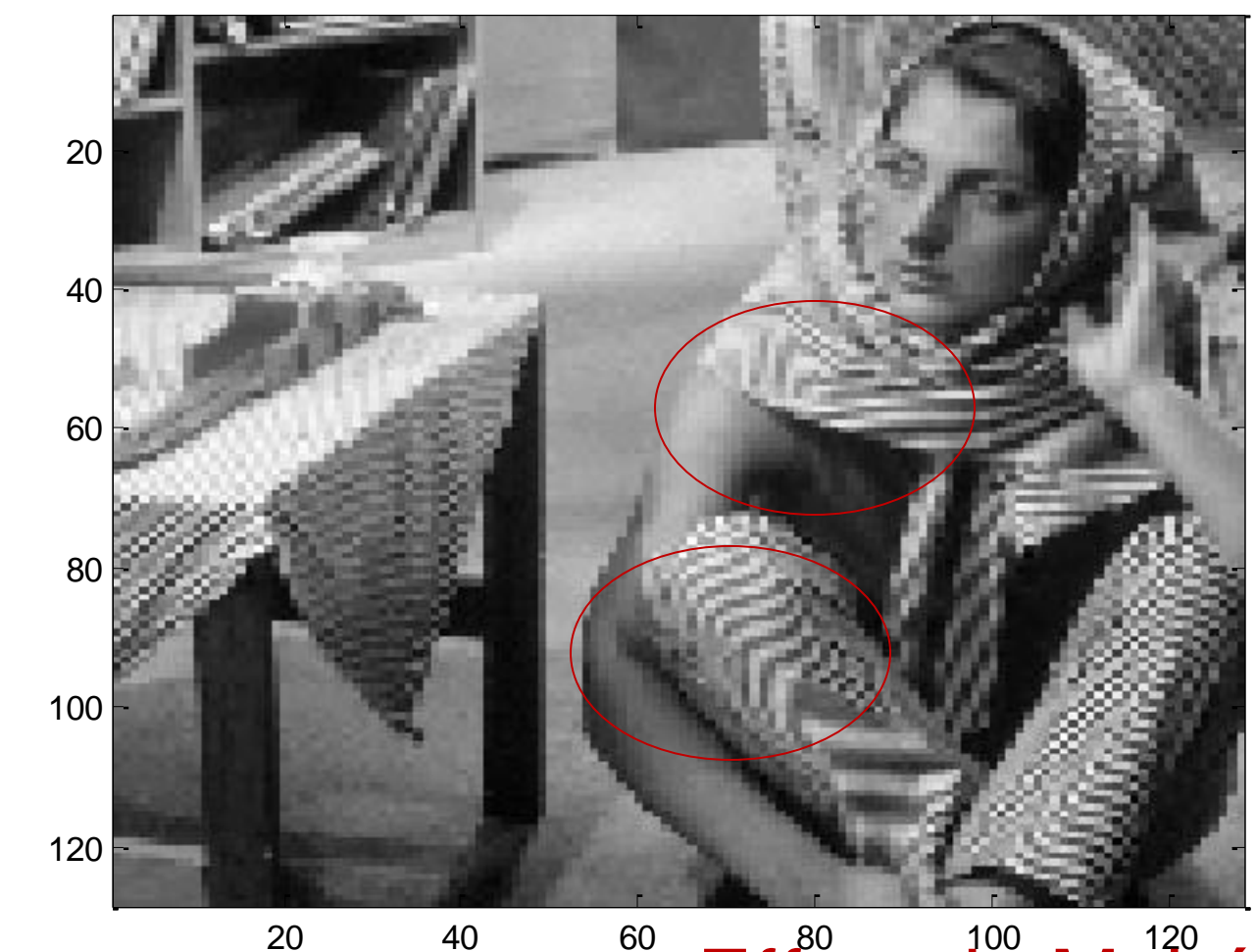


Image sous échantillonnée d'un facteur 4 :
128*128 pixels, quantifiée sur 8 bits



Effets de Moiré

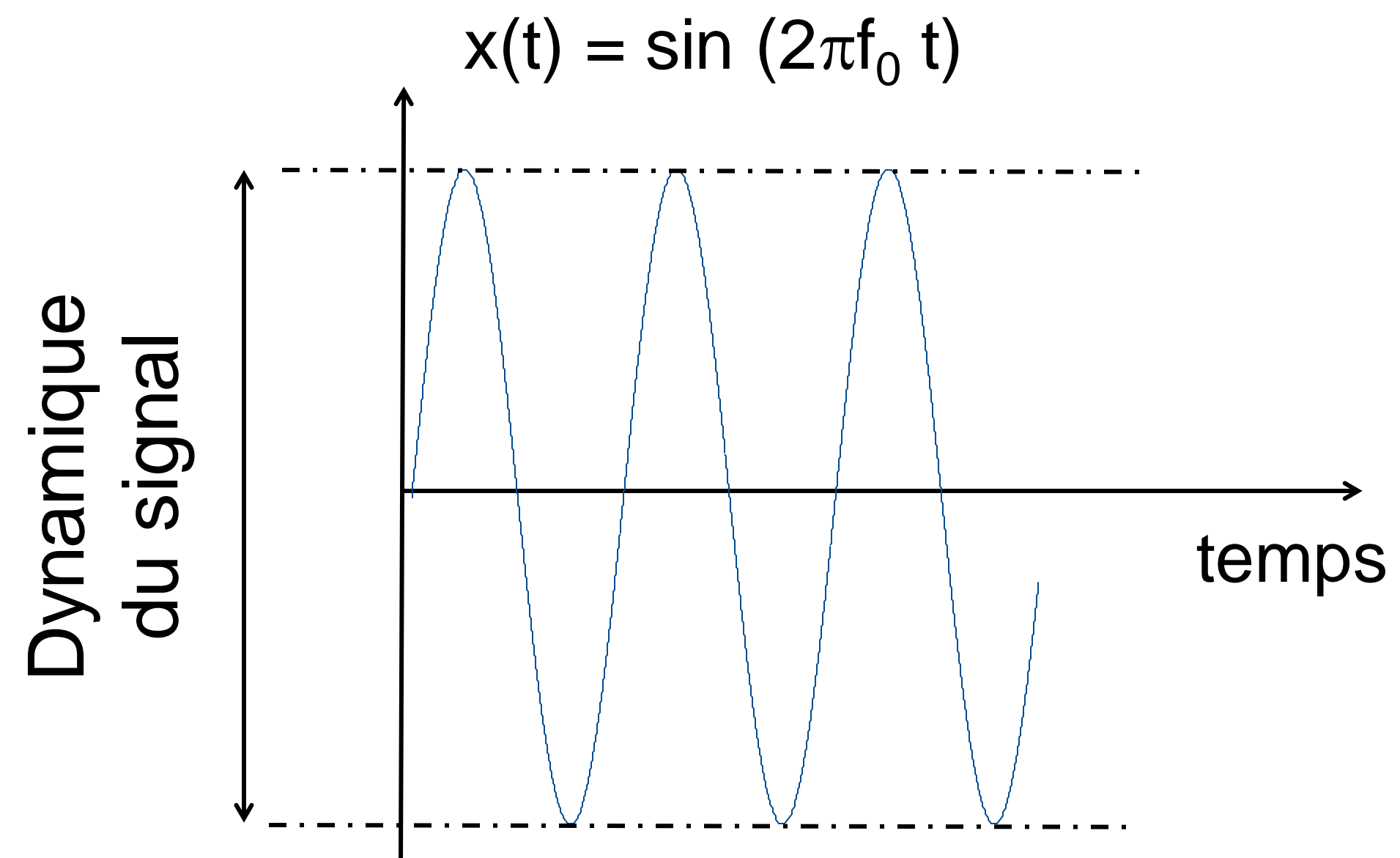
Numérisation du signal : Quantification

Signal quantifié :
signal défini à chaque instant par un nombre fini de valeurs

Numérisation du signal : Quantification

Signal quantifié :
signal défini à chaque instant par un nombre fini de valeurs

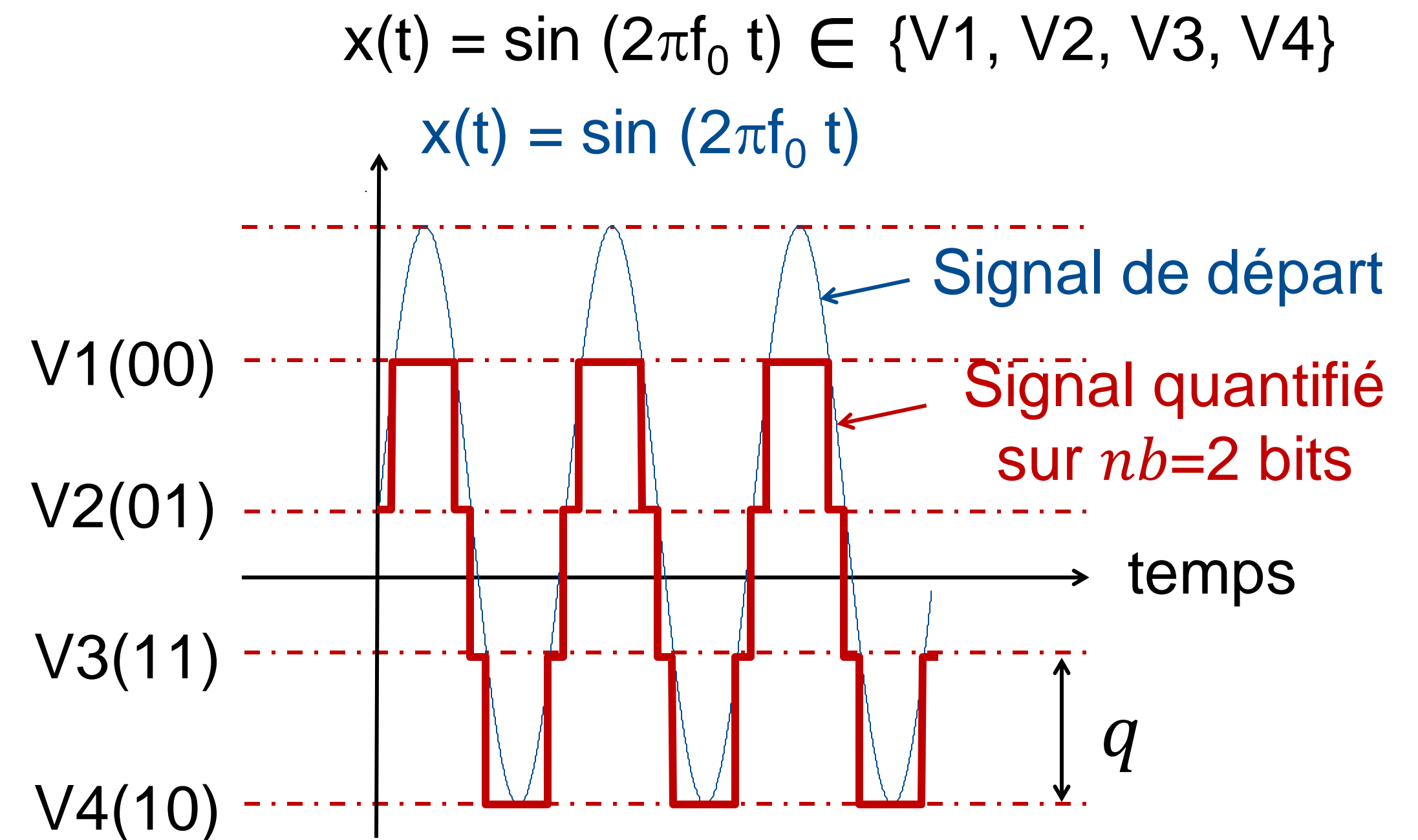
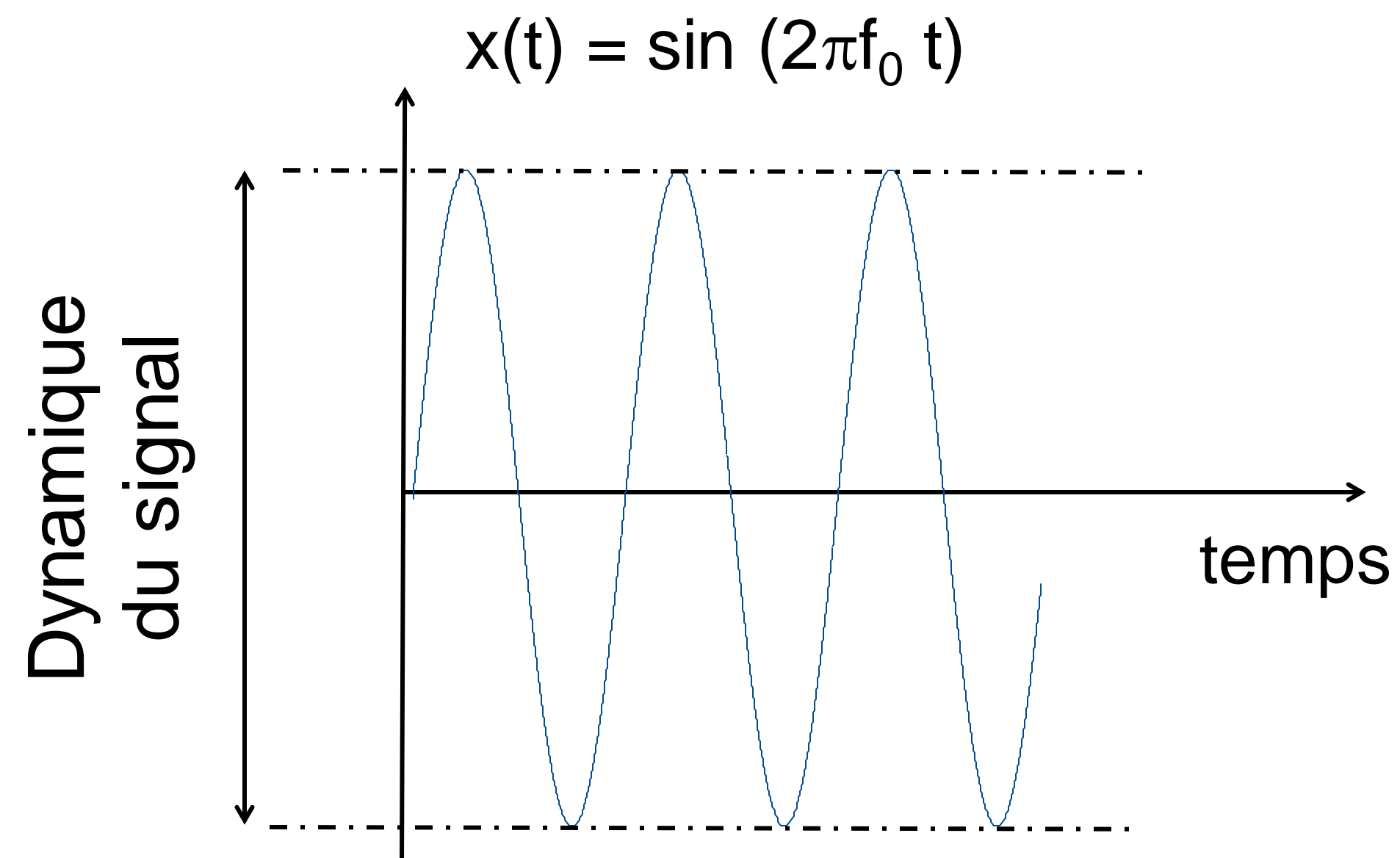
Exemple :



Numérisation du signal : Quantification

Signal quantifié :
signal défini à chaque instant par un nombre fini de valeurs

Exemple :



Pas de quantification : $q = \frac{\text{Dynamique du signal}}{2^{nb}}$

Numérisation du signal : Quantification

Peut-on conserver la même information dans le signal quantifié ?

Numérisation du signal : Quantification

Peut-on conserver la même information dans le signal quantifié ?

Non,
L'opération de
quantification est une
opération irréversible.



Numérisation du signal : Quantification

Peut-on conserver la même information dans le signal quantifié ?

Mais le signal quantifié et le signal non quantifié peuvent cependant être très proches...



Non,
L'opération de quantification est une opération irréversible.



Une opération de quantification correctement réalisée va ajouter un bruit, dit *bruit de quantification*, au signal de départ (non quantifié).

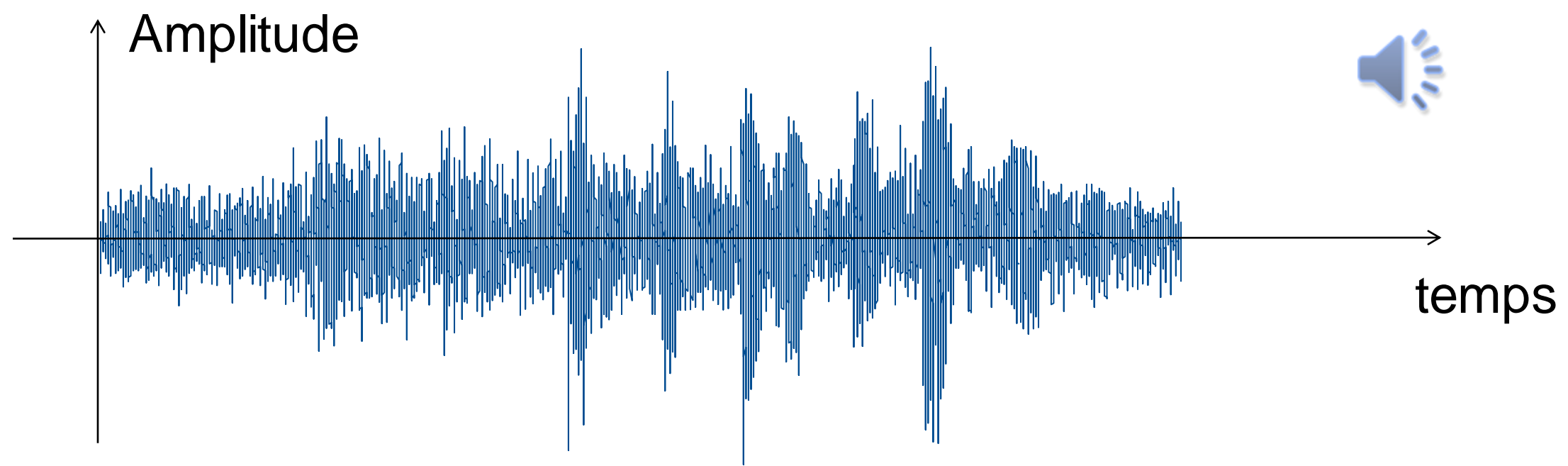
On montre que le rapport signal sur bruit (ou SNR) de quantification est donné par :

$$SNR_Q(dB) = 10 \log \frac{P_{\text{signal non quantifié}}}{P_{\text{bruit de quantification}}} = 6nb + \text{constante}$$

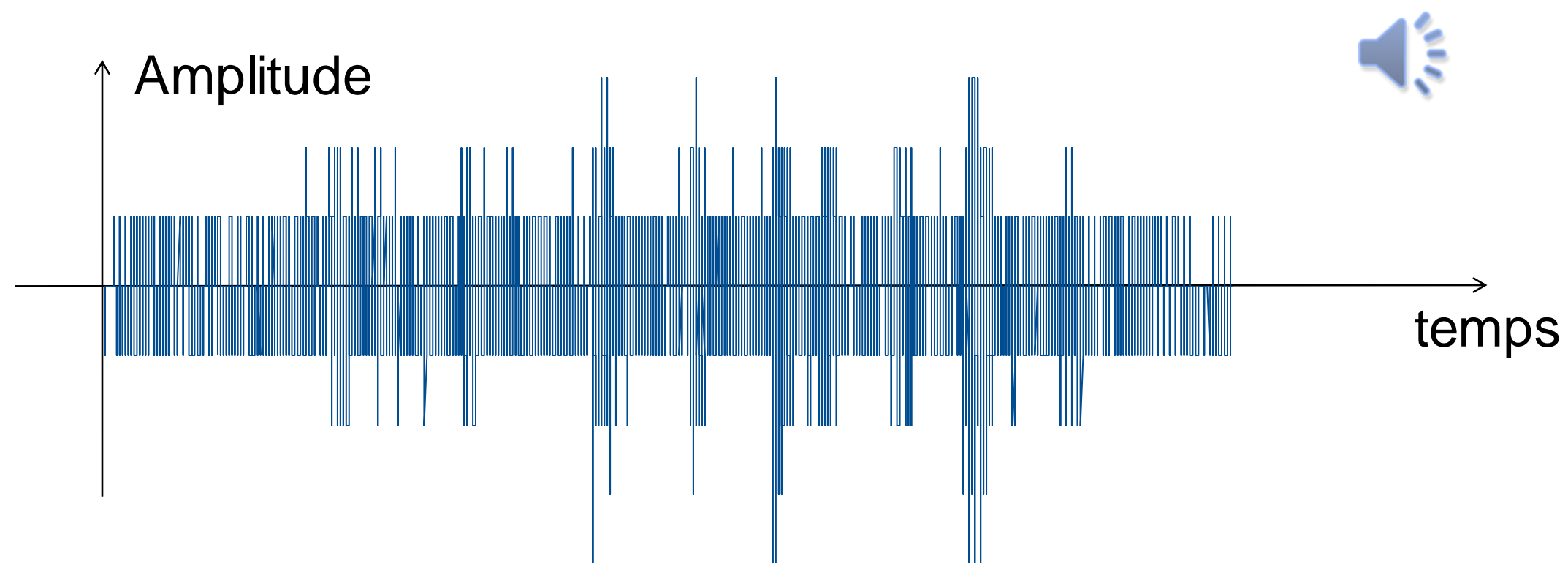
La constante dépendant du signal considéré

Exemple 1

→ Signal quantifié sur nb=16 bits => $2^{16}=65536$ niveaux :



→ Signal quantifié sur nb = 4 bits => $2^4 = 16$ niveaux :



Exemple 2

Image d'origine
512*512,
Quantifiée sur 8 bits



Image quantifiée **sur 4 bits**

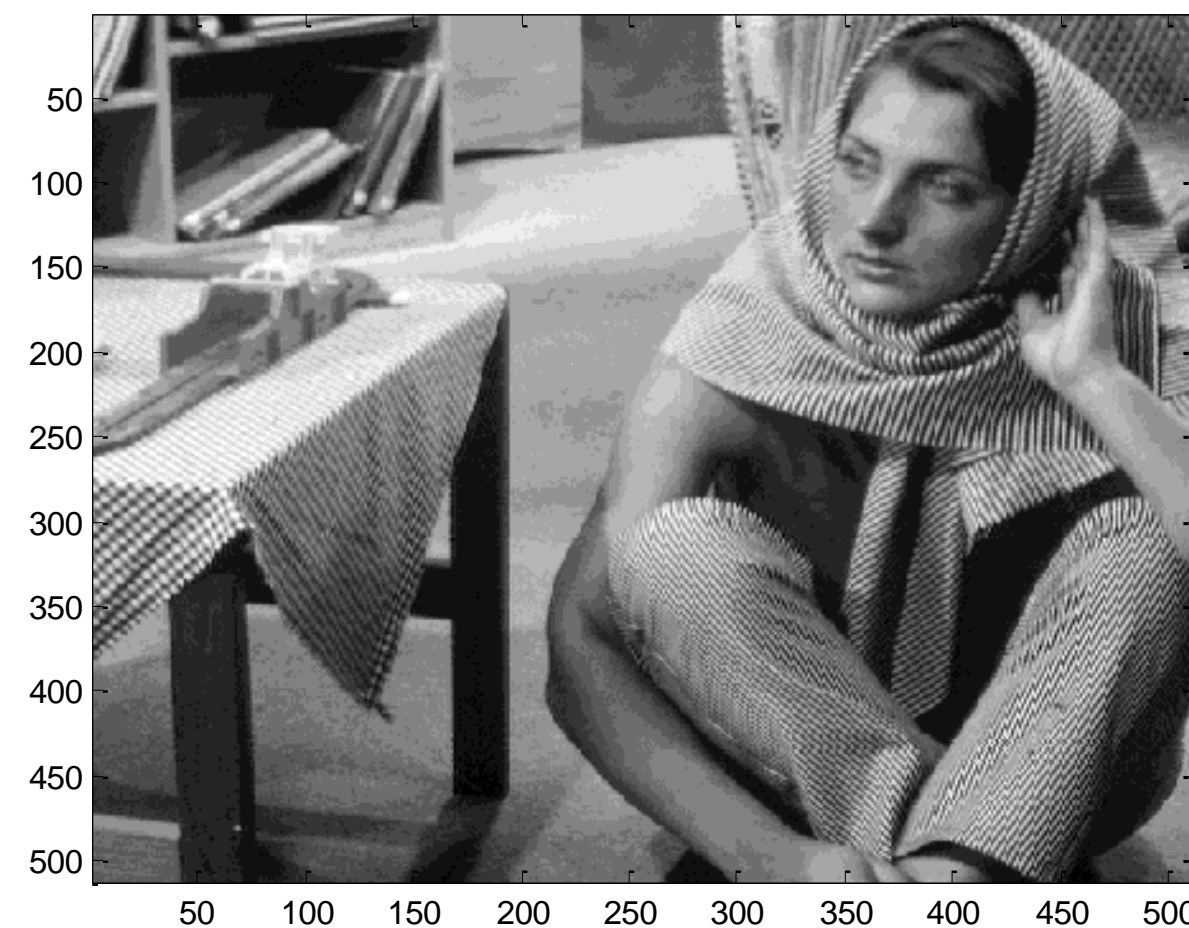
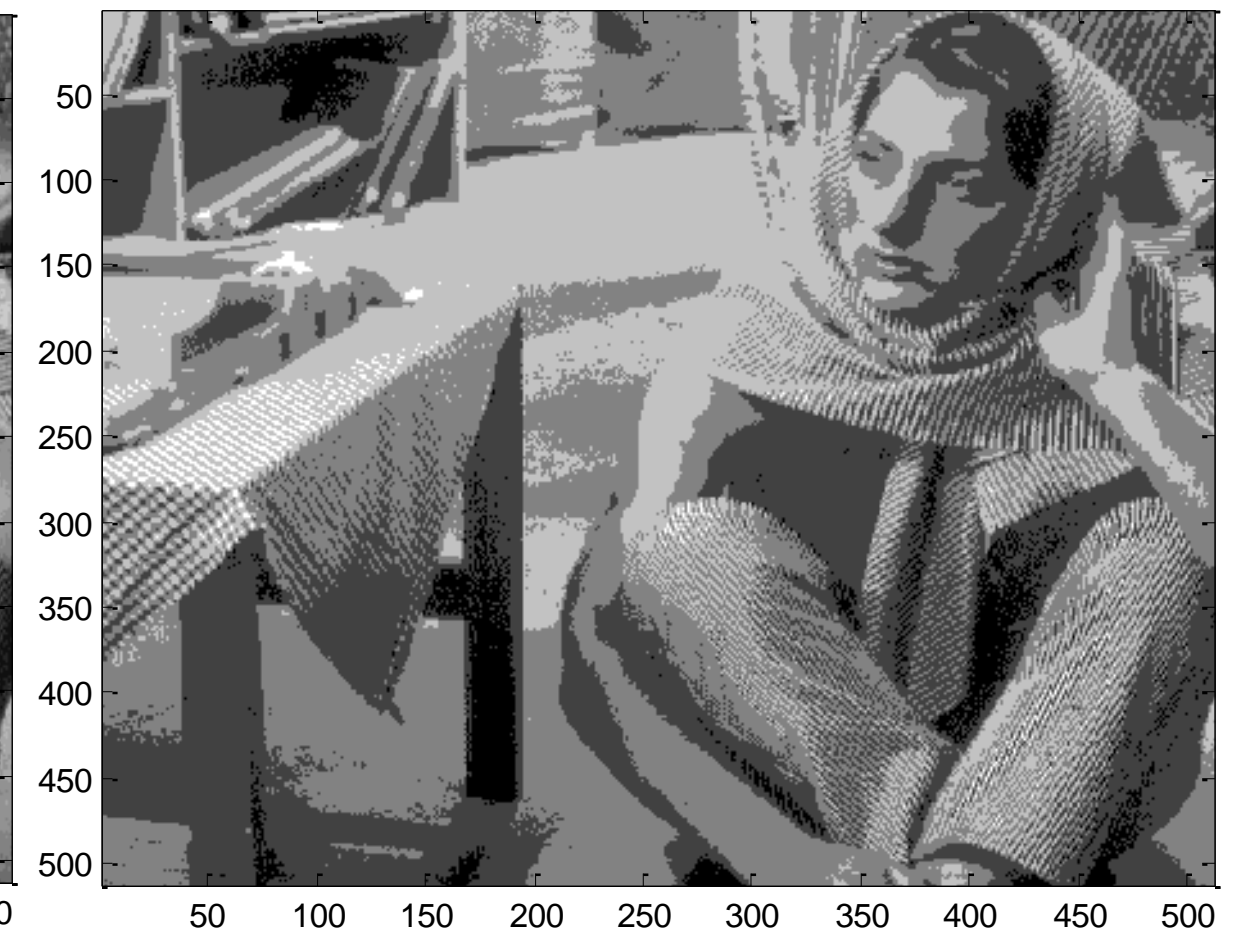


Image quantifiée **sur 2 bits**



Numérisation du signal : Echantillonnage + Quantification

Signal numérique :

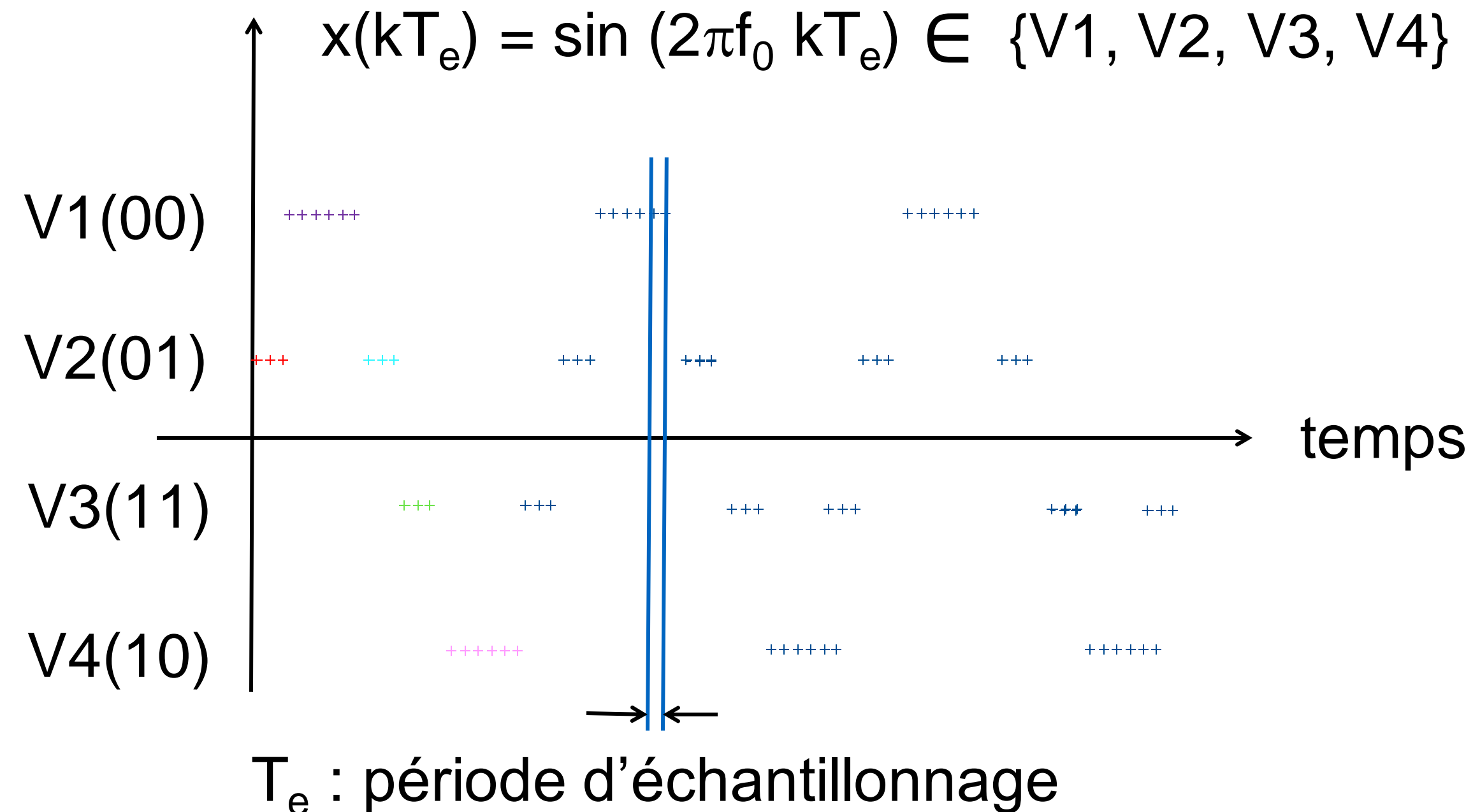
signal défini à des instants discrets par un nombre fini de valeurs
= signal échantillonné et quantifié

Numérisation du signal : Echantillonnage + Quantification

Signal numérique :

signal défini à des instants discrets par un nombre fini de valeurs
= signal échantillonné et quantifié

Exemple 1 :



Finalement l'information binaire associée à cette sinusoïde, ou sinusoïde numérisée, va être donnée par :

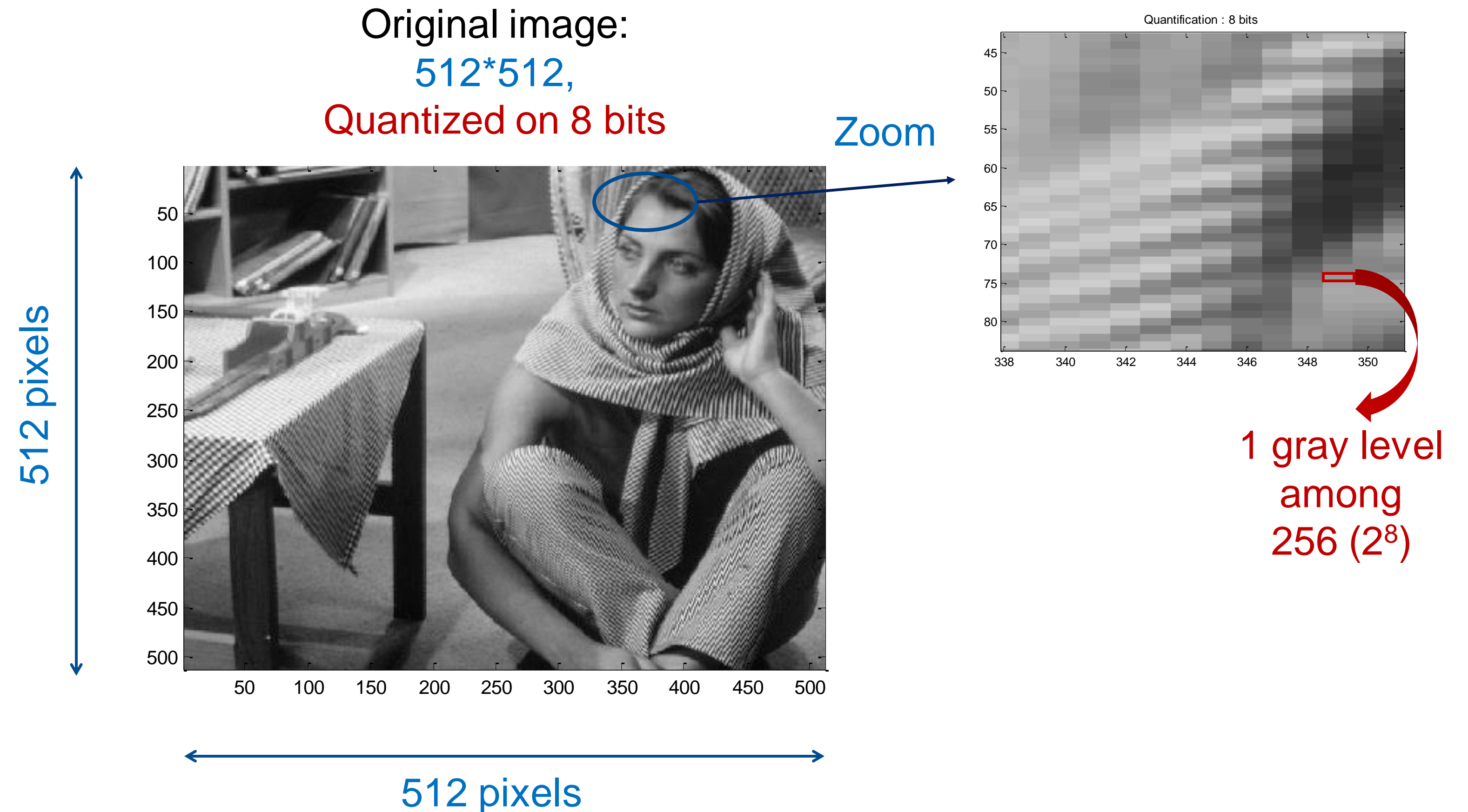
0101010000000000000001010111111101010101010

Numérisation du signal : Echantillonnage + Quantification

Signal numérique :

signal défini à des instants discrets par un nombre fini de valeurs
= signal échantillonné et quantifié

Exemple 2 :



Génération d'un signal numérique

Exemple

$$x(t) = \cos(2\pi f_0 t); \quad f_0 = 100 \text{ Hz}$$

Génération du signal :

$$t \rightarrow [0 : T_e : (N - 1) T_e]$$

T_e ?

- 1- $T_e = 100 \text{ Hz}$**
- 2- $T_e > 5 \text{ ms}$**
- 3- $T_e < 5 \text{ ms}$**

Génération d'un signal numérique

Exemple

$$x(t) = \cos(2\pi f_0 t); \quad f_0 = 100 \text{ Hz}$$

Génération du signal :

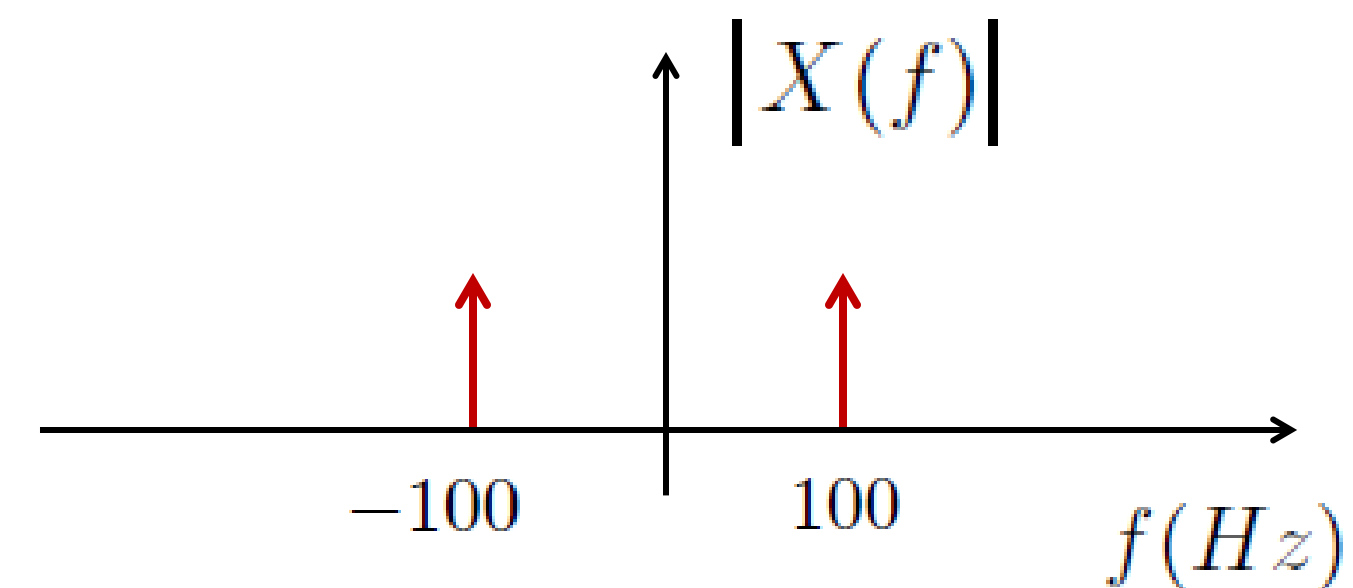
$$t \rightarrow [0 : T_e : (N - 1) T_e]$$

T_e ?

- 1- $T_e = 100 \text{ Hz}$**
- 2- $T_e > 5 \text{ ms}$**
- 3- $T_e < 5 \text{ ms}$**

Transformée de Fourier :

$$X(f) = \frac{1}{2} (\delta(f + f_0) + \delta(f - f_0))$$



Génération d'un signal numérique

Exemple

$$x(t) = \cos(2\pi f_0 t); \quad f_0 = 100 \text{ Hz}$$

Génération du signal :

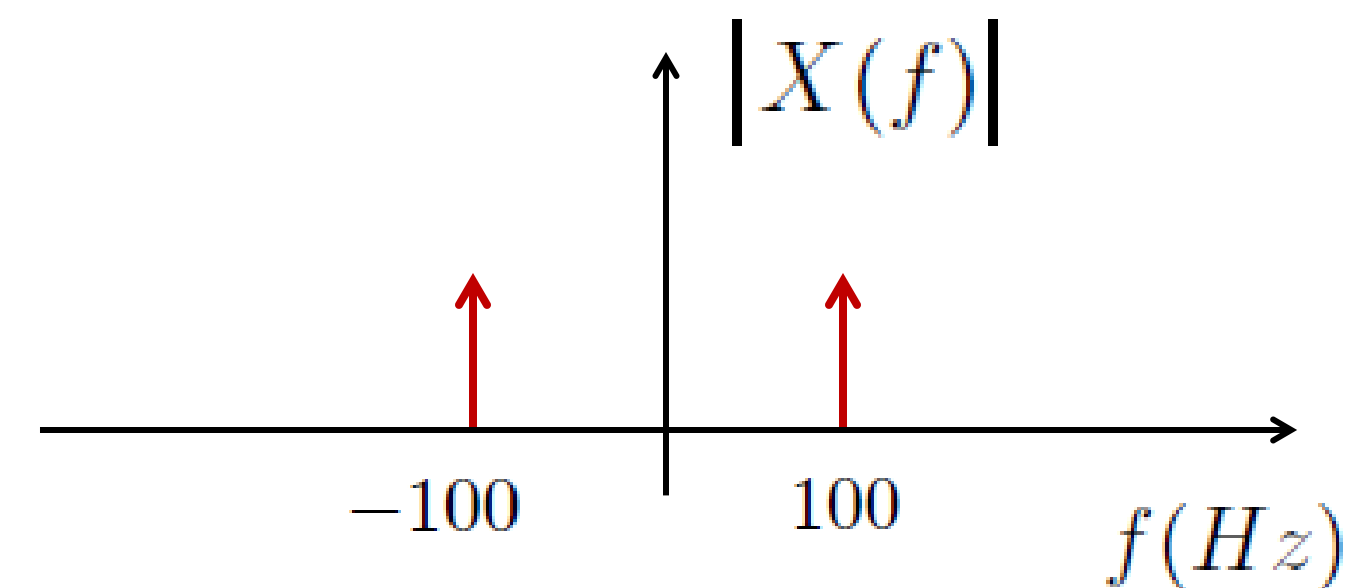
$$t \rightarrow [0 : T_e : (N - 1) T_e]$$

T_e ?

- 1- $T_e = 100 \text{ Hz}$**
- 2- $T_e > 5 \text{ ms}$**
- 3- $T_e < 5 \text{ ms}$**

Transformée de Fourier :

$$X(f) = \frac{1}{2} (\delta(f + f_0) + \delta(f - f_0))$$



$$F_{max} = 100 \text{ Hz}$$

Génération d'un signal numérique

Exemple

$$x(t) = \cos(2\pi f_0 t); \quad f_0 = 100 \text{ Hz}$$

Génération du signal :

$$t \rightarrow [0 : T_e : (N - 1) T_e]$$

T_e ?

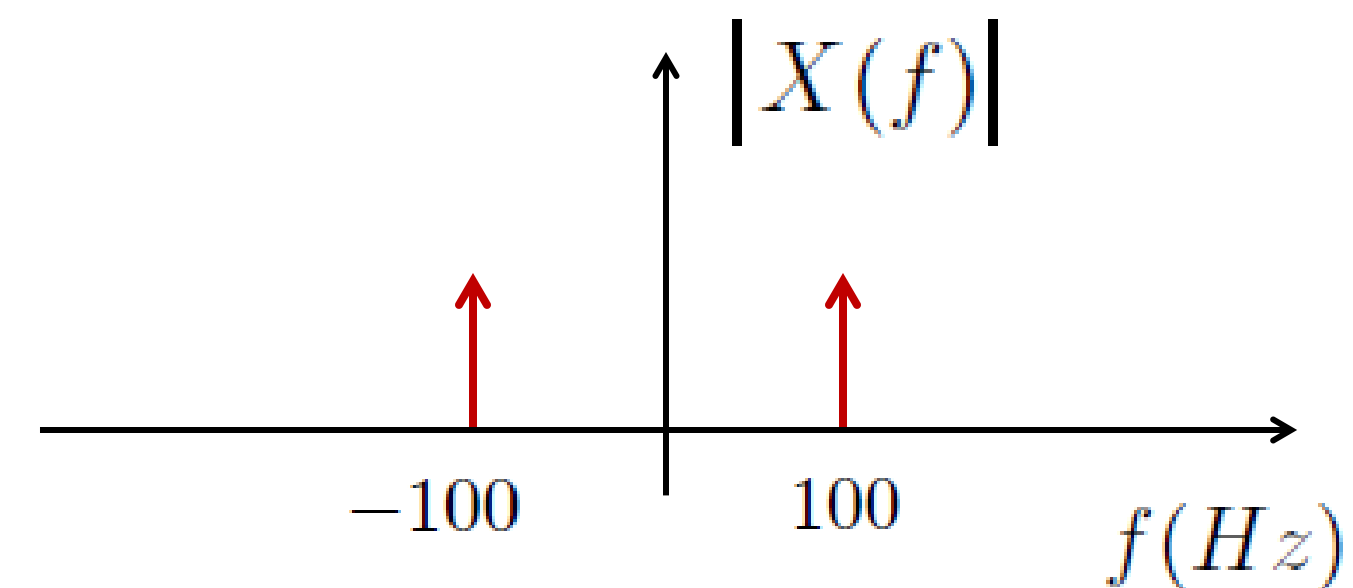
1- $T_e = 100 \text{ Hz}$

2- $T_e > 5 \text{ ms}$

3- $T_e < 5 \text{ ms}$

Transformée de Fourier :

$$X(f) = \frac{1}{2} (\delta(f + f_0) + \delta(f - f_0))$$



$$F_{max} = 100 \text{ Hz}$$

$$F_e = \frac{1}{T_e} > 2F_{max} \Rightarrow T_e < 5 \text{ ms}$$

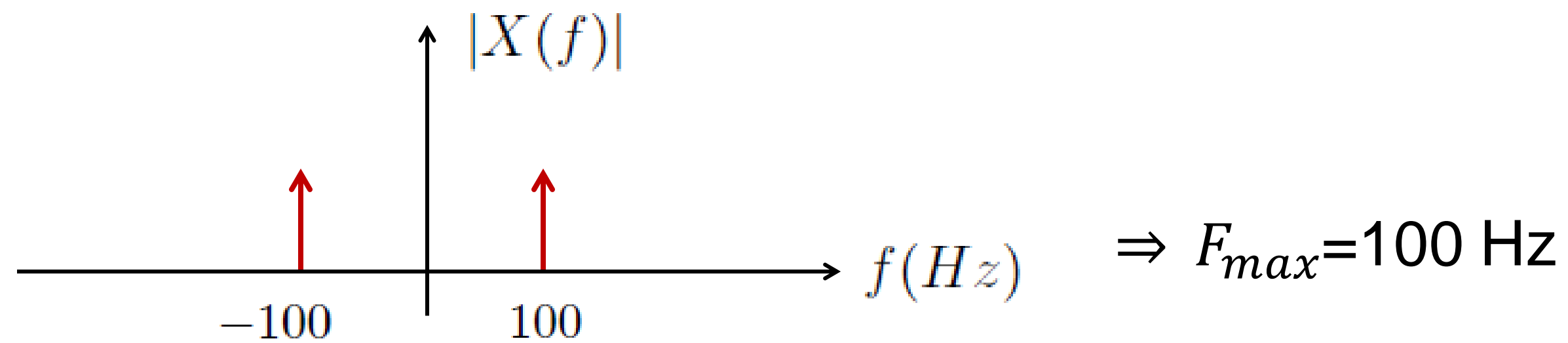
Génération d'un signal numérique

$$x(t) = \cos(2\pi f_0 t); \quad f_0 = 100 \text{ Hz}$$

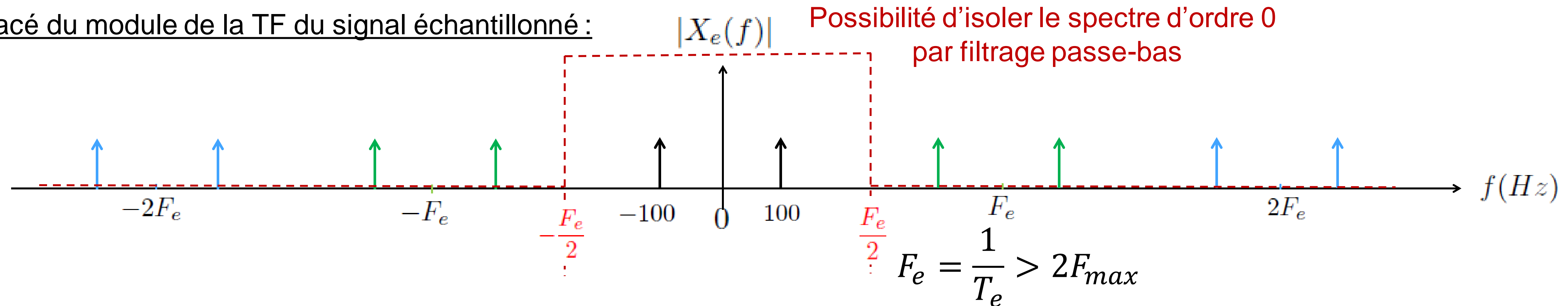
TF du signal :

$$X(f) = \frac{1}{2} (\delta(f + f_0) + \delta(f - f_0))$$

Tracé du module de la TF du signal :



Tracé du module de la TF du signal échantillonné :



Génération d'un signal numérique

Exemple

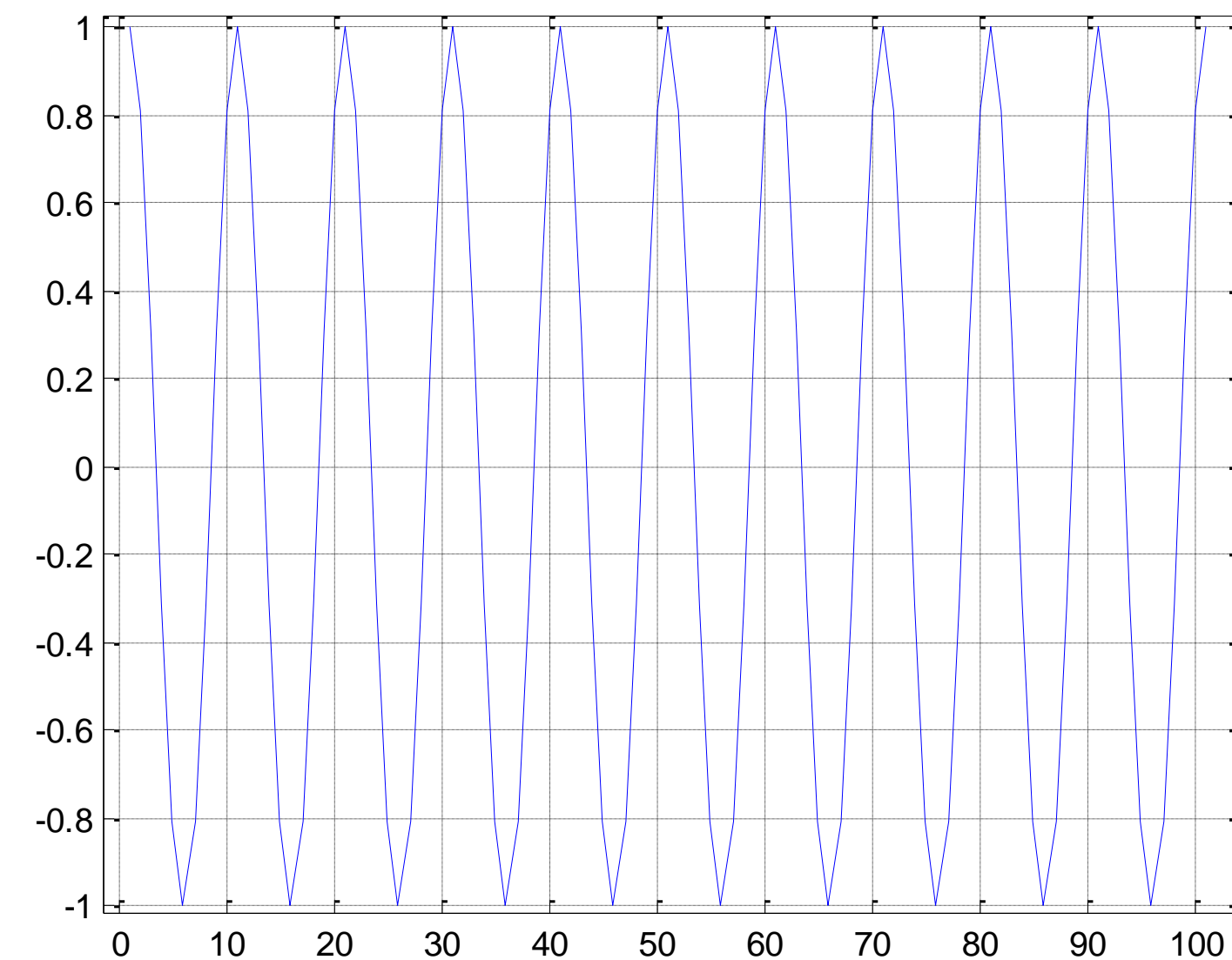
$$x(t) = \cos(2\pi f_0 t); \quad f_0 = 100 \text{ Hz}$$

Code Matlab

(Suréchantillonnage d'un facteur 5)

```
%Paramètres  
f0=100;    %fréquence du cosinus  
Fe=1000;  %fréquence d'échantillonnage  
Te=1/Fe;   %période d'échantillonnage  
N=101;     %nombre d'échantillons  
  
%Génération du signal  
x=cos(2*pi*f0*[0:Te:(N-1)*Te]);  
  
%Tracé du signal  
figure; plot(x)
```

Signal obtenu :



Génération d'un signal numérique

Exemple

$$x(t) = \cos(2\pi f_0 t); \quad f_0 = 100 \text{ Hz}$$

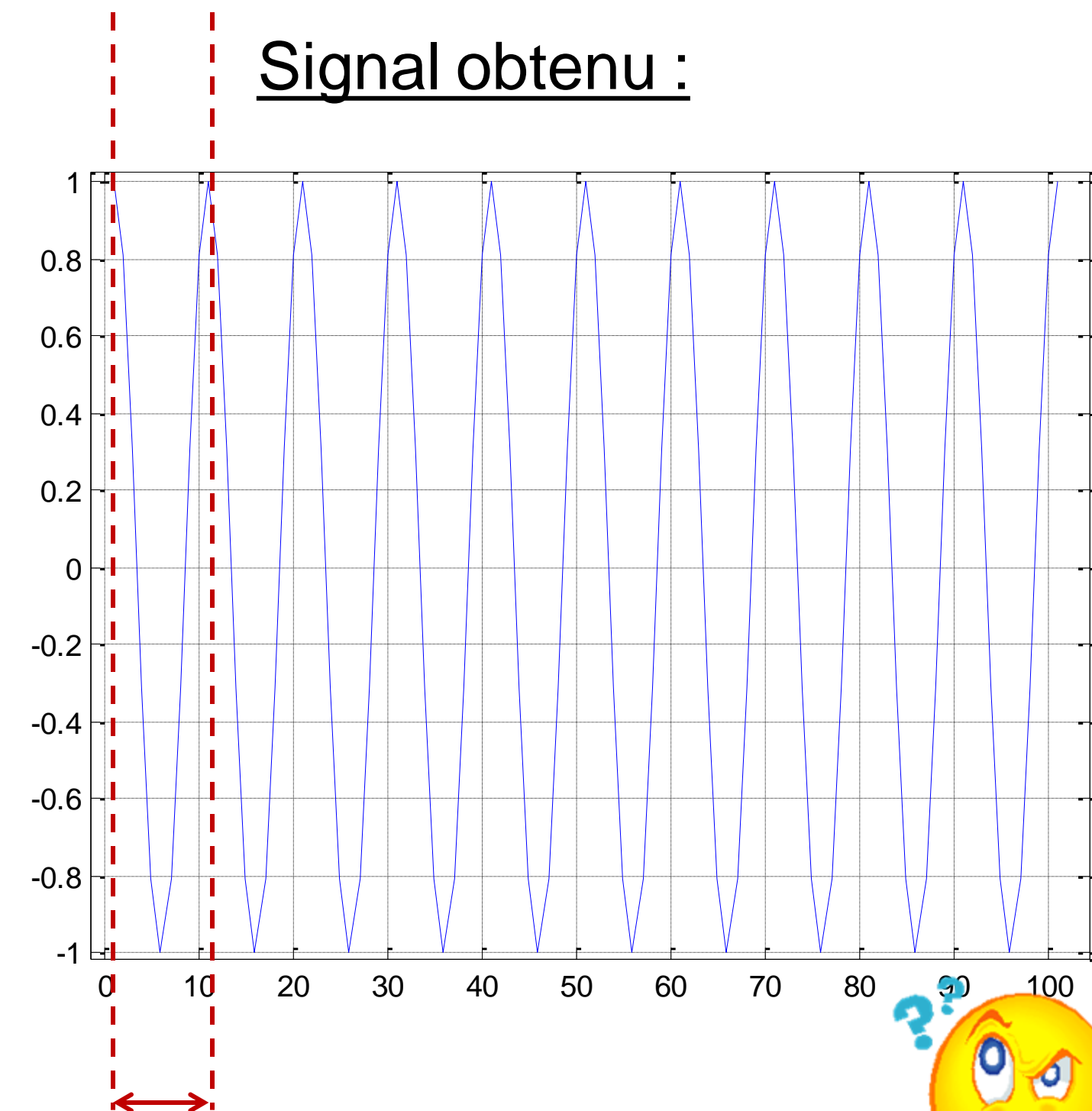
Code Matlab

(Suréchantillonnage d'un facteur 5)

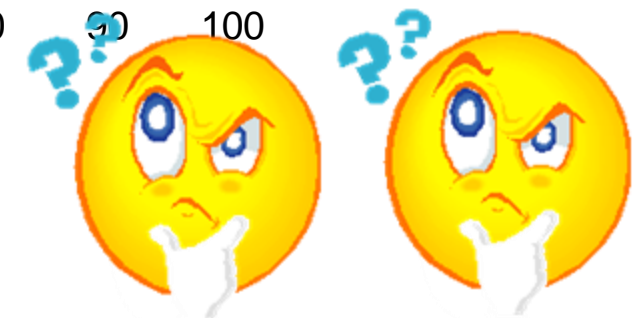
```
%Paramètres
f0=100;    %fréquence du cosinus
Fe=1000;  %fréquence d'échantillonnage
Te=1/Fe;    %période d'échantillonnage
N=101;      %nombre d'échantillons

%Génération du signal
x=cos(2*pi*f0*[0:Te:(N-1)*Te]);

%Tracé du signal
figure; plot(x)
```



Une période = 10 secondes ??



Génération d'un signal numérique

Exemple

$$x(t) = \cos(2\pi f_0 t); f_0 = 100 \text{ Hz}$$

Code Matlab

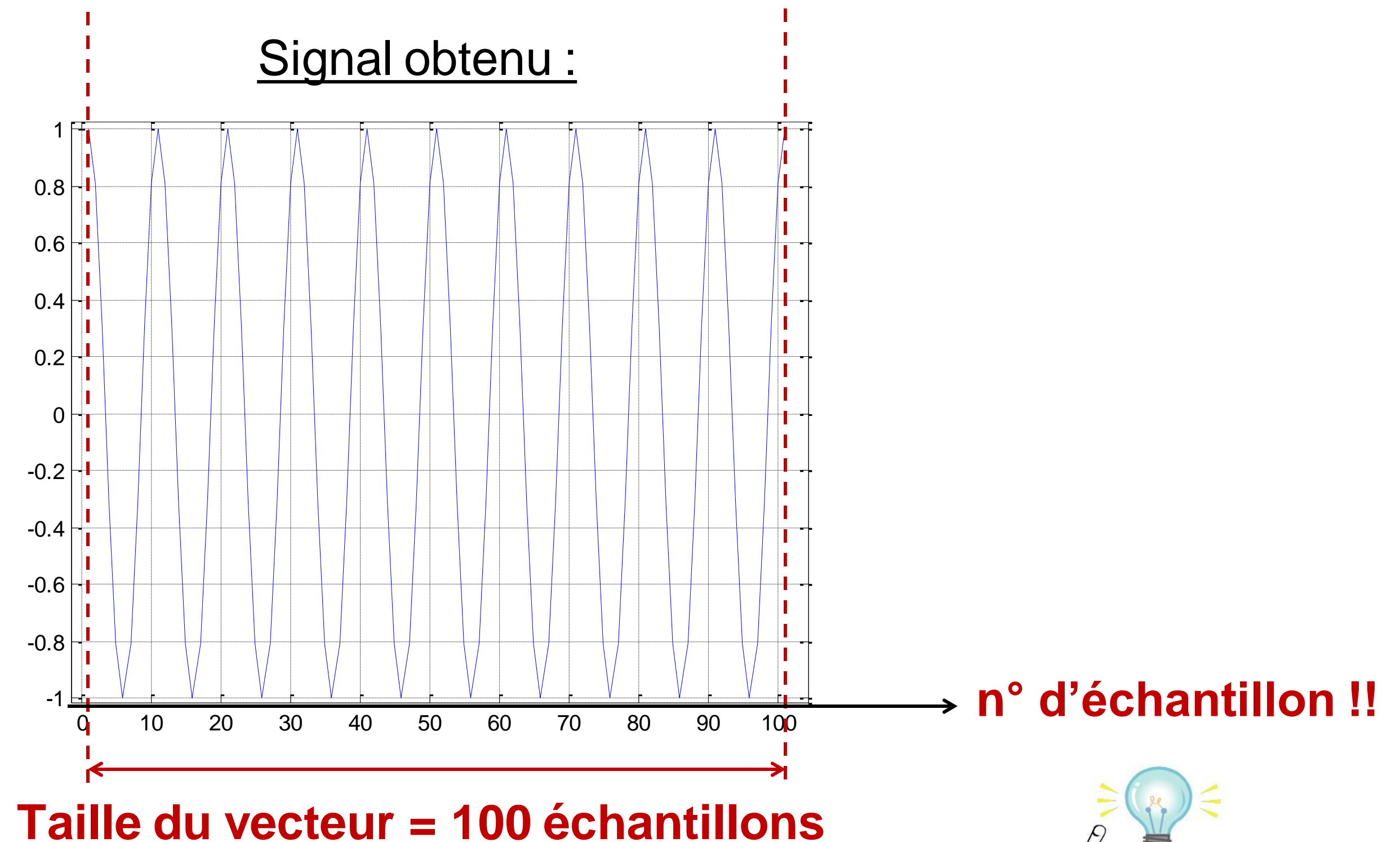
(Suréchantillonnage d'un facteur 5)

```
%Paramètres  
f0=100; %fréquence du cosinus  
Fe=1000; %fréquence d'échantillonnage  
Te=1/Fe; %période d'échantillonnage  
N=100; %nombre d'échantillons
```

```
%Génération du signal  
x=cos(2*pi*f0*[0:Te:(N-1)*Te]);
```

```
%Tracé du signal  
figure; plot(x)
```

1 période = 10 échantillons de signal



Génération d'un signal numérique

Exemple

$$x(t) = \cos(2\pi f_0 t); \quad f_0 = 100 \text{ Hz}$$

Code Matlab

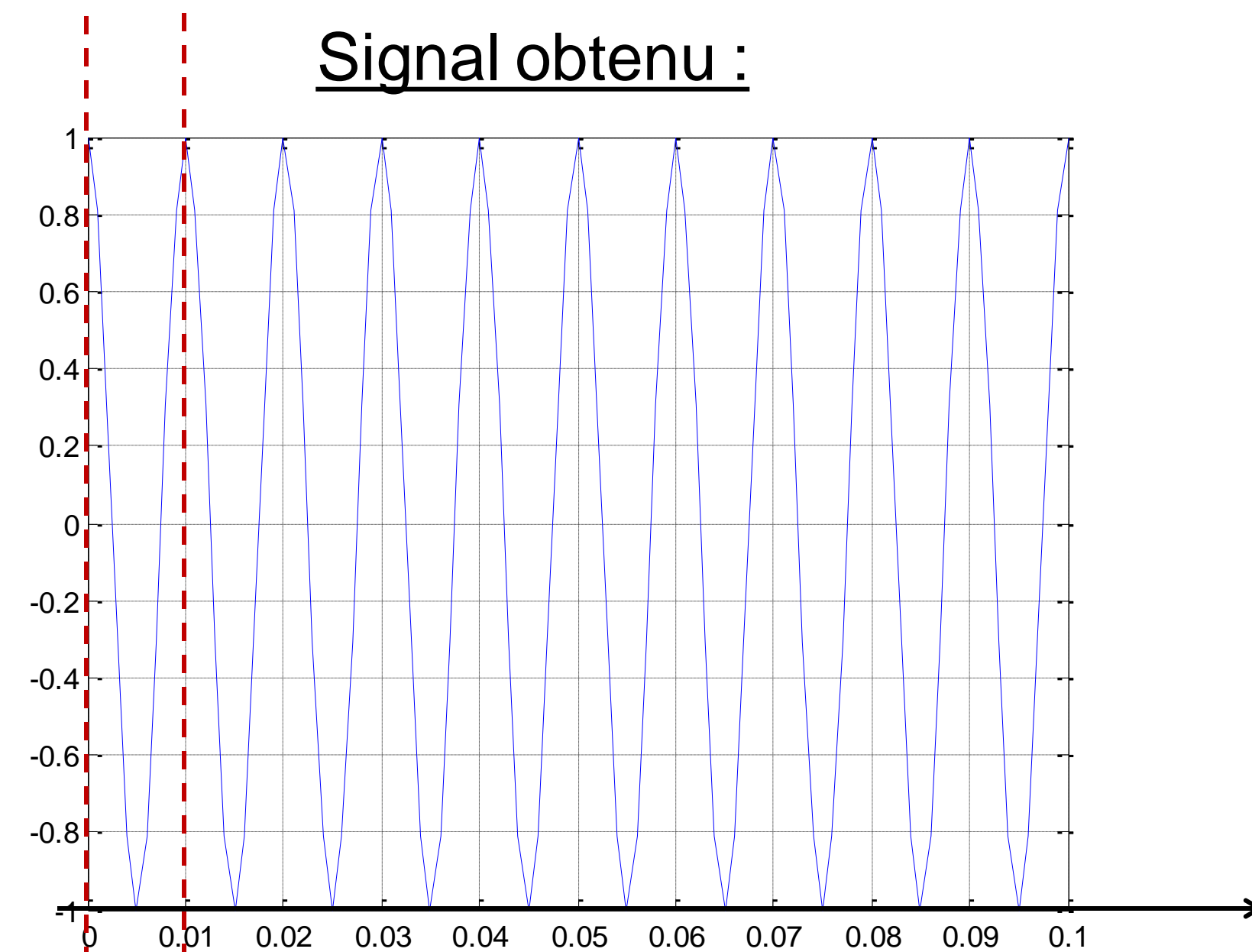
(Suréchantillonnage d'un facteur 5)

```
%Paramètres  
f0=100;    %fréquence du cosinus  
Fe=1000;  %fréquence d'échantillonnage  
Te=1/Fe;  %période d'échantillonnage  
N=100;    %nombre d'échantillons
```

```
%Génération du signal  
x=cos(2*pi*f0*[0:Te:(N-1)*Te]);
```

```
%Tracé du signal  
figure; plot([0:Te:(N-1)*Te],x)
```

!! Echelle temporelle à donner !!



Une période = 0,01 secondes

Traitement Numérique du signal

- 1- Signaux numériques
 - 2- Transformée de Fourier Discrète (TFD)
 - 3- Estimation des fonctions d'inter et d'auto corrélation
 - 4- Estimation de la densité spectrale de puissance (DSP)
 - 5- Filtrage numérique linéaire
-

Transformée de Fourier Discrète

Transformée de Fourier (TF)

$$X(f) = \int_{-\infty}^{+\infty} x(t)e^{-j2\pi ft}$$

Pourquoi ?
Comment ?

Transformée de Fourier Discrète (TFD)

$$X(n) = \sum_{k=0}^{N-1} x(k)e^{-j2\pi \frac{kn}{N}}, \quad n = 0, \dots, N - 1$$

Transformée de Fourier Discrète

Transformée de Fourier (TF)

$$X(f) = \int_{-\infty}^{+\infty} x(t)e^{-j2\pi ft}$$

Pourquoi ?
Comment ?

Transformée de Fourier Discrète (TFD)

$$X(n) = \sum_{k=0}^{N-1} x(k)e^{-j2\pi \frac{kn}{N}}, \quad n = 0, \dots, N-1$$

1- Echantillonnage temporel

$$x(t) \rightarrow \{x(kT_e)\}_{k=-\infty, \dots, +\infty}$$

Transformée de Fourier Discrète

Transformée de Fourier (TF)

$$X(f) = \int_{-\infty}^{+\infty} x(t)e^{-j2\pi ft}$$

Pourquoi ?
Comment ?

Transformée de Fourier Discrète (TFD)

$$X(n) = \sum_{k=0}^{N-1} x(k)e^{-j2\pi \frac{kn}{N}}, \quad n = 0, \dots, N-1$$

1- Echantillonnage temporel

$$x(t) \rightarrow \{x(kT_e)\}_{k=-\infty, \dots, +\infty}$$

2- Durée limitée du signal

$$x(t) \rightarrow x_L(t) = \begin{cases} x(t) & \text{pour } t \in [0, L] \\ 0 & \text{ailleurs} \end{cases}$$

Transformée de Fourier Discrète

Transformée de Fourier (TF)

$$X(f) = \int_{-\infty}^{+\infty} x(t)e^{-j2\pi ft}$$

Pourquoi ?
Comment ?

Transformée de Fourier Discrète (TFD)

$$X(n) = \sum_{k=0}^{N-1} x(k)e^{-j2\pi \frac{kn}{N}}, \quad n = 0, \dots, N-1$$

1- Echantillonnage temporel

$$x(t) \rightarrow \{x(kT_e)\}_{k=-\infty, \dots, +\infty}$$

2- Durée limitée du signal

$$x(t) \rightarrow x_L(t) = \begin{cases} x(t) & \text{pour } t \in [0, L] \\ 0 & \text{ailleurs} \end{cases}$$

1+2 => Echantillonnage temporel + durée limitée de signal

$$x(t) \rightarrow \{x(kT_e)\}_{k=0, \dots, N-1}$$

Transformée de Fourier Discrète

Transformée de Fourier (TF)

$$X(f) = \int_{-\infty}^{+\infty} x(t)e^{-j2\pi ft}$$

Pourquoi ?
Comment ?

Transformée de Fourier Discrète (TFD)

$$X(n) = \sum_{k=0}^{N-1} x(k)e^{-j2\pi \frac{kn}{N}}, \quad n = 0, \dots, N-1$$

1- Echantillonnage temporel

$$x(t) \rightarrow \{x(kT_e)\}_{k=-\infty, \dots, +\infty}$$

2- Durée limitée du signal

$$x(t) \rightarrow x_L(t) = \begin{cases} x(t) & \text{pour } t \in [0, L] \\ 0 & \text{ailleurs} \end{cases}$$

1+2 => Echantillonnage temporel + durée limitée de signal

$$x(t) \rightarrow \{x(kT_e)\}_{k=0, \dots, N-1}$$

3- Echantillonnage fréquentiel

$$X(f) \rightarrow \{X(n\Delta f)\}_{n=0, \dots, N-1}$$

Transformée de Fourier Discrète

$$X(n) = \sum_{k=0}^{N-1} x(k) e^{-j2\pi \frac{kn}{N}}, \quad n = 0, \dots, N-1$$

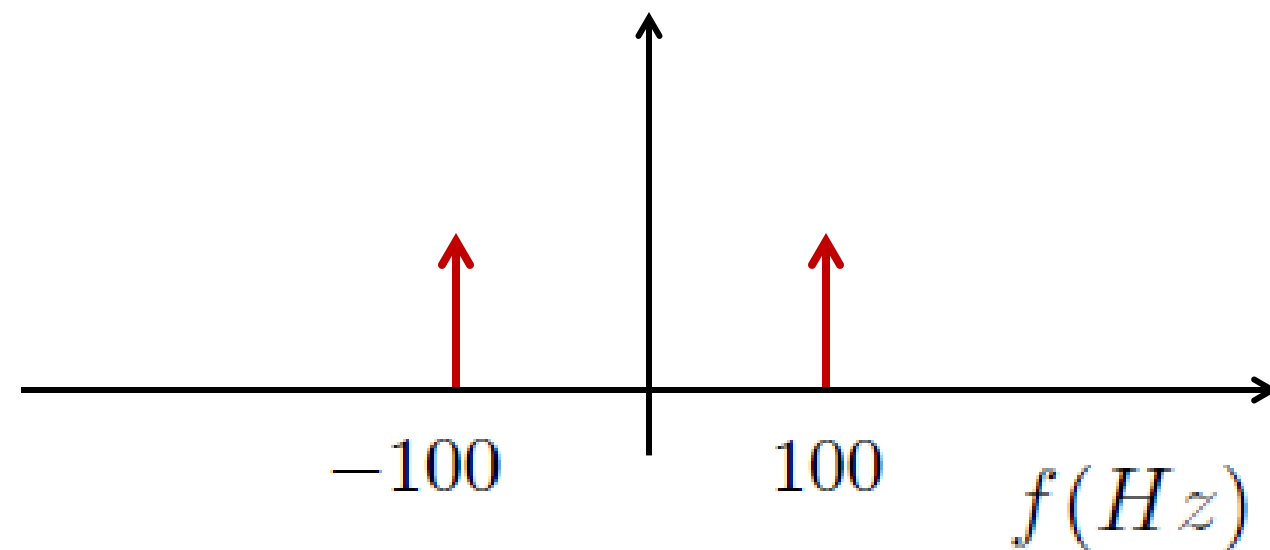
Exemple

$$x(t) = \cos(2\pi f_0 t); \quad f_0 = 100 \text{ Hz}$$

TF du signal :

$$X(f) = \frac{1}{2} (\delta(f + f_0) + \delta(f - f_0))$$

Tracé du module de la TF du signal :



Transformée de Fourier Discrète

$$X(n) = \sum_{k=0}^{N-1} x(k) e^{-j2\pi \frac{kn}{N}}, \quad n = 0, \dots, N - 1$$

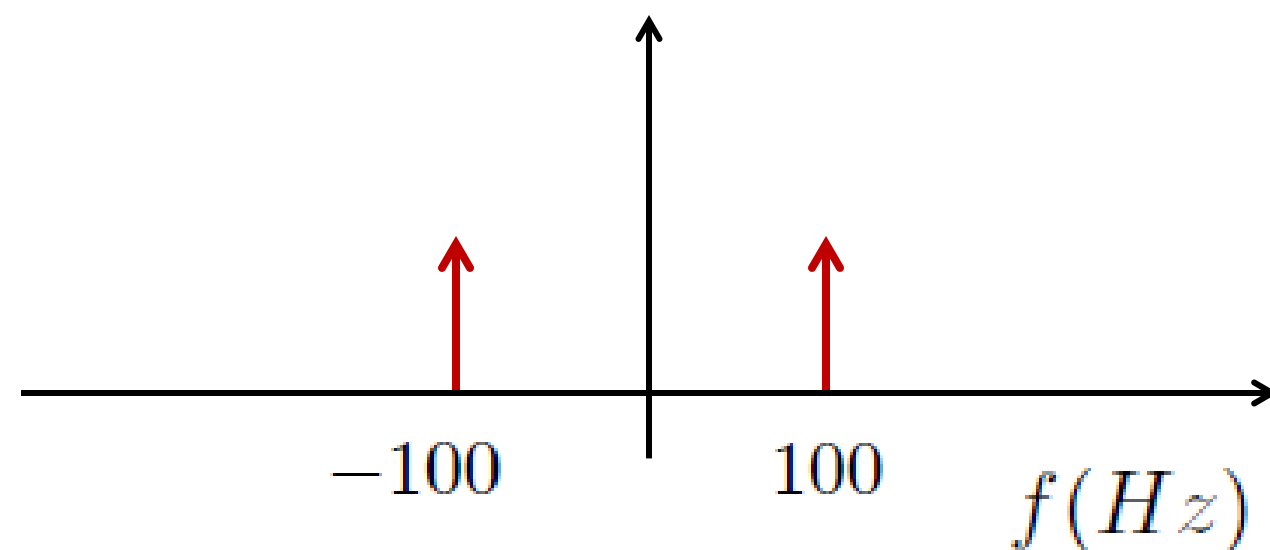
Exemple

$$x(t) = \cos(2\pi f_0 t); \quad f_0 = 100 \text{ Hz}$$

TF du signal :

$$X(f) = \frac{1}{2} (\delta(f + f_0) + \delta(f - f_0))$$

Tracé du module de la TF du signal :



Code Matlab :

```
%Paramètres
f0=100;    %fréquence du cosinus
Fe=1000;  %fréquence d'échantillonnage
Te=1/Fe;  %période d'échantillonnage
N=100;    %nombre d'échantillons

%Génération du signal
x=cos(2*pi*f0*[0:Te:(N-1)*Te]);

%Tracé du signal
figure; plot(x)

%Calcul de la TFD du signal
X=fft(x);

%Tracé du module de la TFD du signal
figure; plot(abs(X))
```


Transformée de Fourier Discrète

$$X(n) = \sum_{k=0}^{N-1} x(k) e^{-j2\pi \frac{kn}{N}}, \quad n = 0, \dots, N-1$$

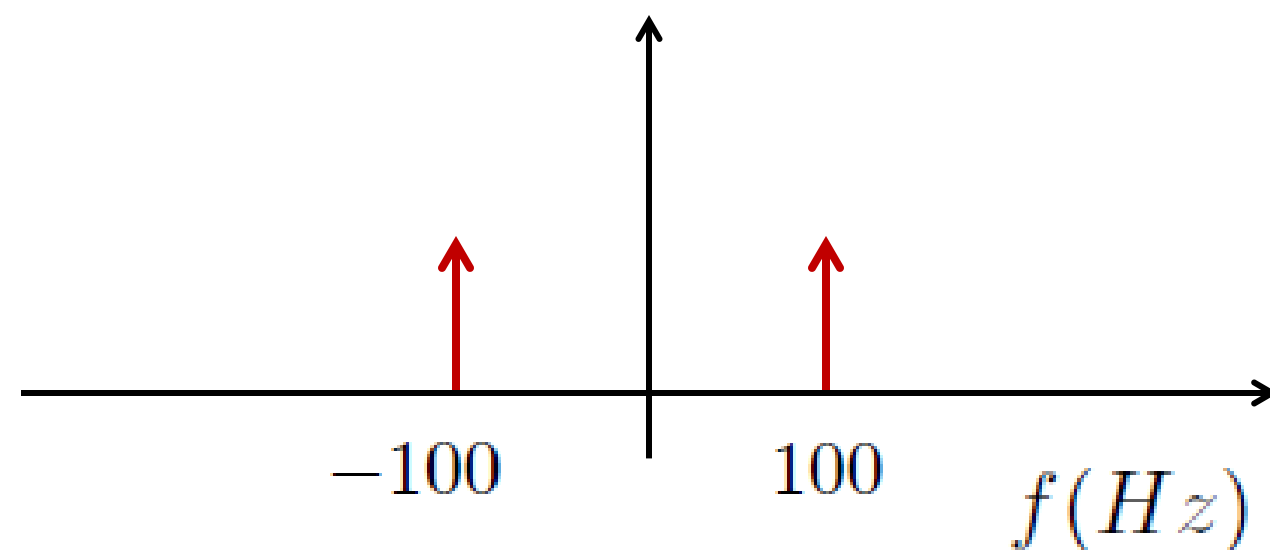
Exemple

$$x(t) = \cos(2\pi f_0 t); \quad f_0 = 100 \text{ Hz}$$

TF du signal :

$$X(f) = \frac{1}{2} (\delta(f + f_0) + \delta(f - f_0))$$

Tracé du module de la TF du signal :



Code Matlab :

```
%Paramètres
f0=100;    %fréquence du cosinus
Fe=1000;  %fréquence d'échantillonnage
Te=1/Fe;  %période d'échantillonnage
N=100;    %nombre d'échantillons

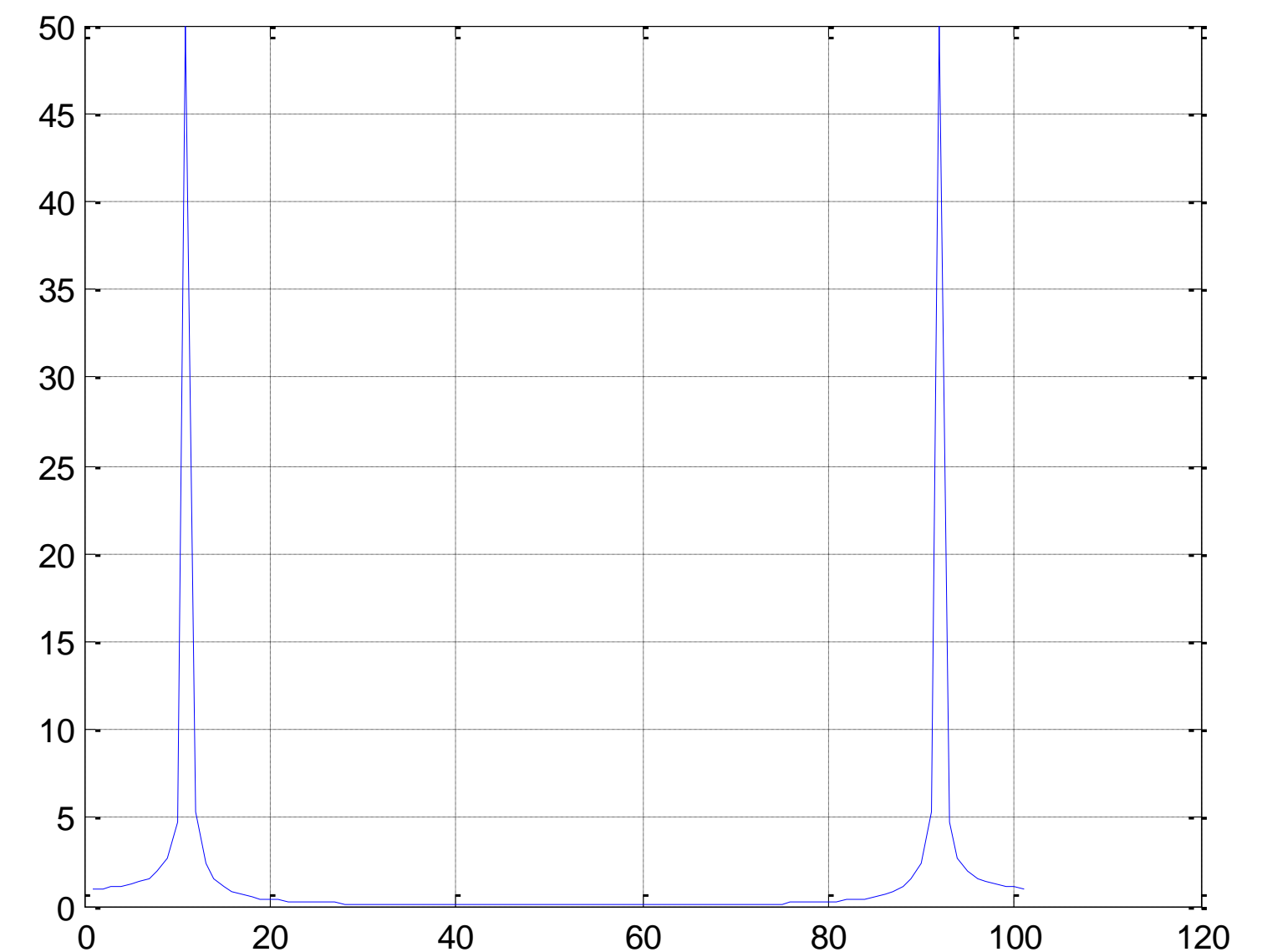
%Génération du signal
x=cos(2*pi*f0*[0:Te:(N-1)*Te]);

%Tracé du signal
figure; plot(x)

%Calcul de la TFD du signal
X=fft(x);

%Tracé du module de la TFD du signal
figure; plot(abs(X))
```

Tracé du module de la TFD obtenu :



Transformée de Fourier Discrète

$$X(n) = \sum_{k=0}^{N-1} x(k) e^{-j2\pi \frac{kn}{N}}, \quad n = 0, \dots, N-1$$

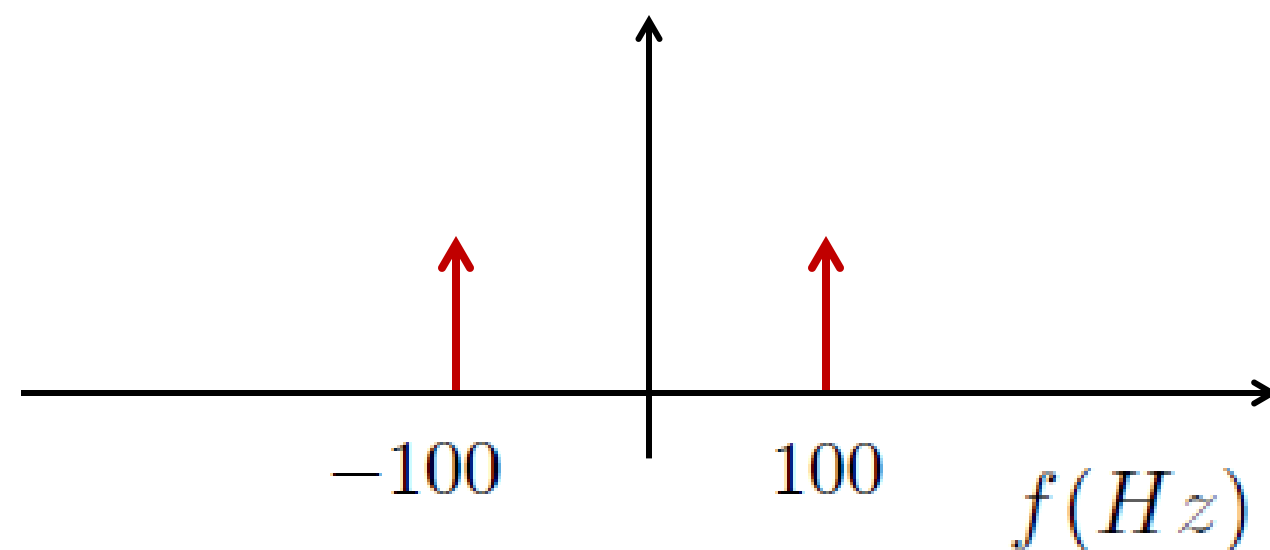
Exemple

$$x(t) = \cos(2\pi f_0 t); \quad f_0 = 100 \text{ Hz}$$

TF du signal :

$$X(f) = \frac{1}{2} (\delta(f + f_0) + \delta(f - f_0))$$

Tracé du module de la TF du signal :



Code Matlab :

```
%Paramètres
f0=100; %fréquence du cosinus
Fe=1000; %fréquence d'échantillonnage
Te=1/Fe; %période d'échantillonnage
N=100; %nombre d'échantillons

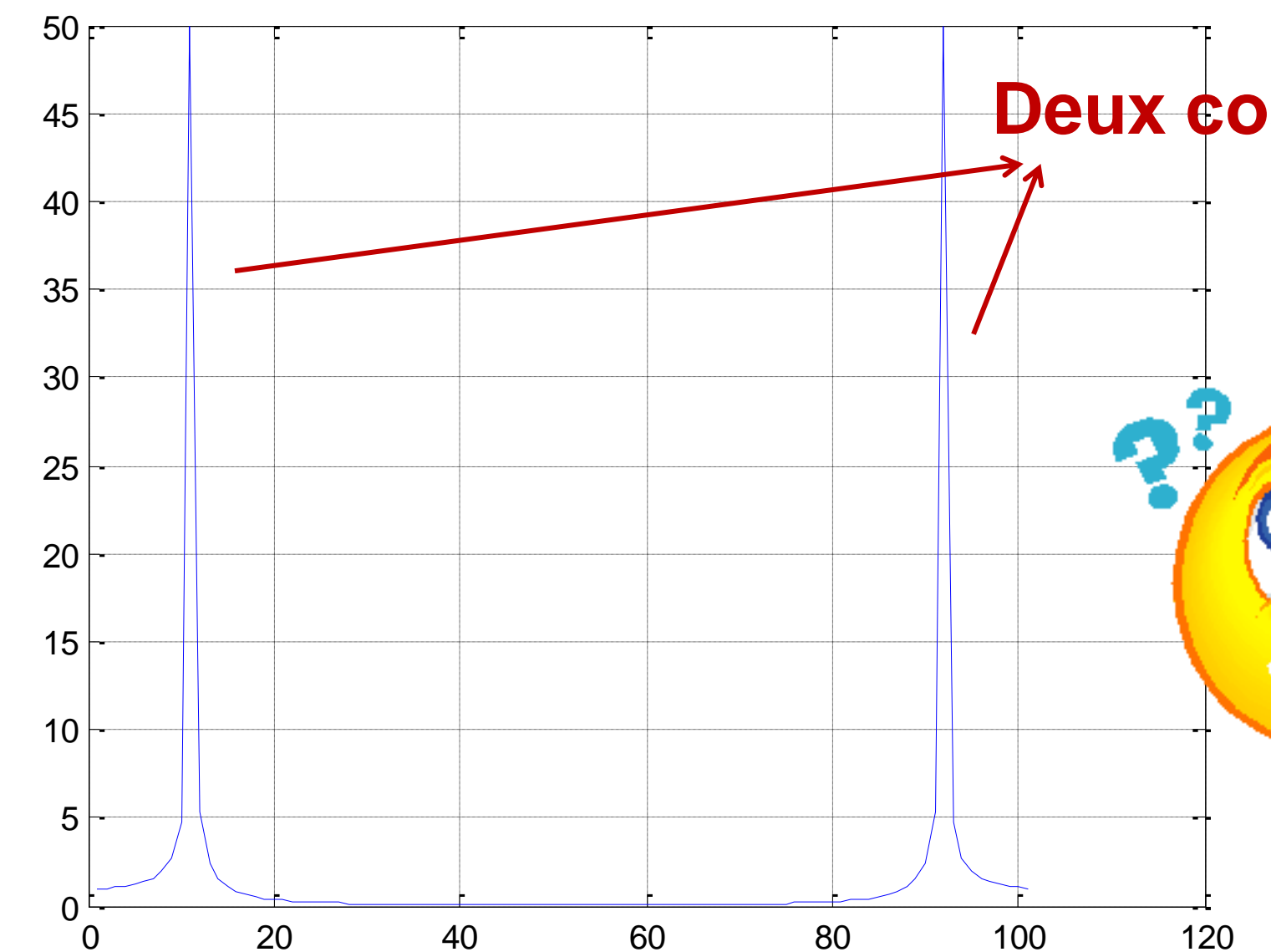
%Génération du signal
x=cos(2*pi*f0*[0:Te:(N-1)*Te]);

%Tracé du signal
figure; plot(x)

%Calcul de la TFD du signal
X=fft(x);

%Tracé du module de la TFD du signal
figure; plot(abs(X))
```

Tracé du module de la TFD obtenu :



Transformée de Fourier Discrète

$$X(n) = \sum_{k=0}^{N-1} x(k) e^{-j2\pi \frac{kn}{N}}, \quad n = 0, \dots, N-1$$

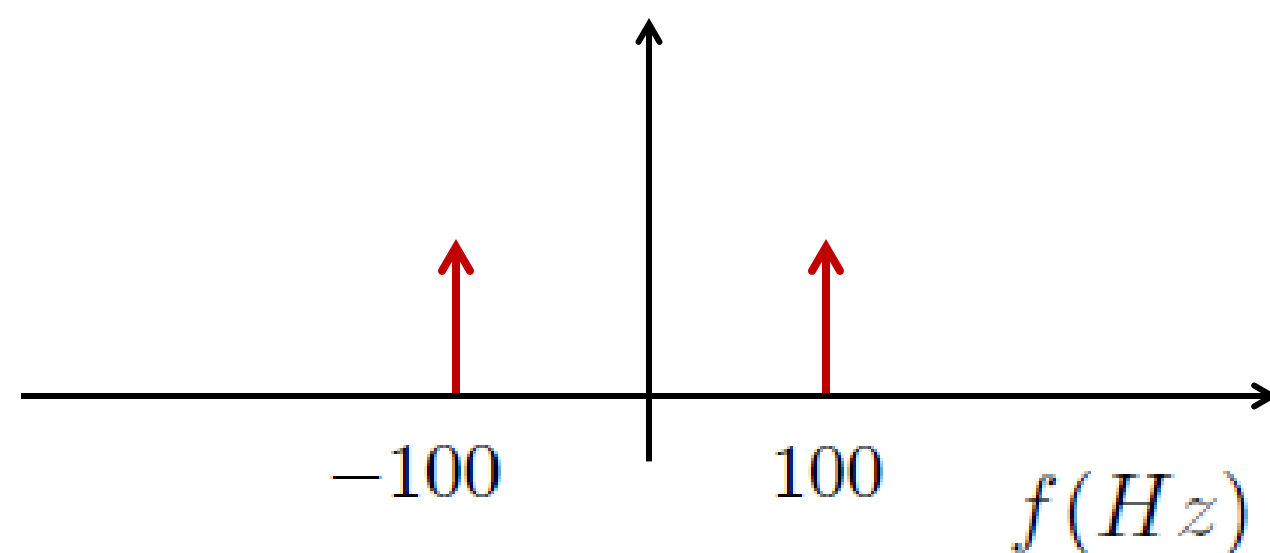
Exemple

$$x(t) = \cos(2\pi f_0 t); \quad f_0 = 100 \text{ Hz}$$

TF du signal :

$$X(f) = \frac{1}{2} (\delta(f + f_0) + \delta(f - f_0))$$

Tracé du module de la TF du signal :



Code Matlab :

```
%Paramètres
f0=100; %fréquence du cosinus
Fe=1000; %fréquence d'échantillonnage
Te=1/Fe; %période d'échantillonnage
N=100; %nombre d'échantillons

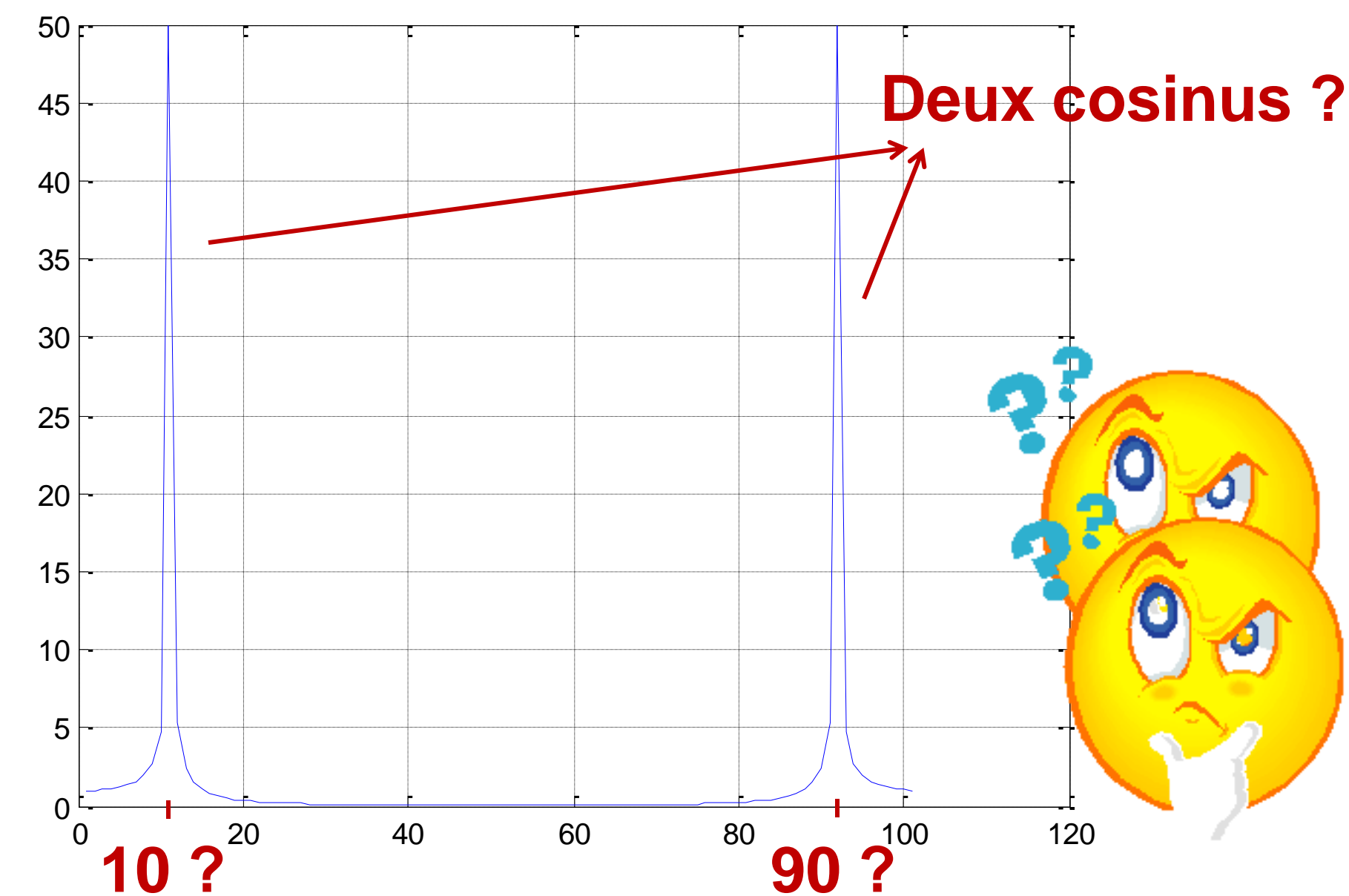
%Génération du signal
x=cos(2*pi*f0*[0:Te:(N-1)*Te]);

%Tracé du signal
figure; plot(x)

%Calcul de la TFD du signal
X=fft(x);

%Tracé du module de la TFD du signal
figure; plot(abs(X))
```

Tracé du module de la TFD obtenu :



de fréquences 10 et 90 Hz ?

Transformée de Fourier Discrète

Transformée de Fourier (TF)

$$X(f) = \int_{-\infty}^{+\infty} x(t)e^{-j2\pi ft}$$

Transformée de Fourier Discrète (TFD)

$$X(n) = \sum_{k=0}^{N-1} x(k)e^{-j2\pi \frac{kn}{N}}, \quad n = 0, \dots, N-1$$

Quels impacts ??



1- Echantillonnage temporel

$$x(t) \rightarrow \{x(kT_e)\}_{k=-\infty, \dots, +\infty}$$

2- Durée limitée du signal

$$x(t) \rightarrow x_L(t) = \begin{cases} x(t) & \text{pour } t \in [0, L] \\ 0 & \text{ailleurs} \end{cases}$$

1+2 => Echantillonnage temporel + durée de signal limitée

$$x(t) \rightarrow \{x(kT_e)\}_{k=0, \dots, N-1}$$

3- Echantillonnage fréquentiel

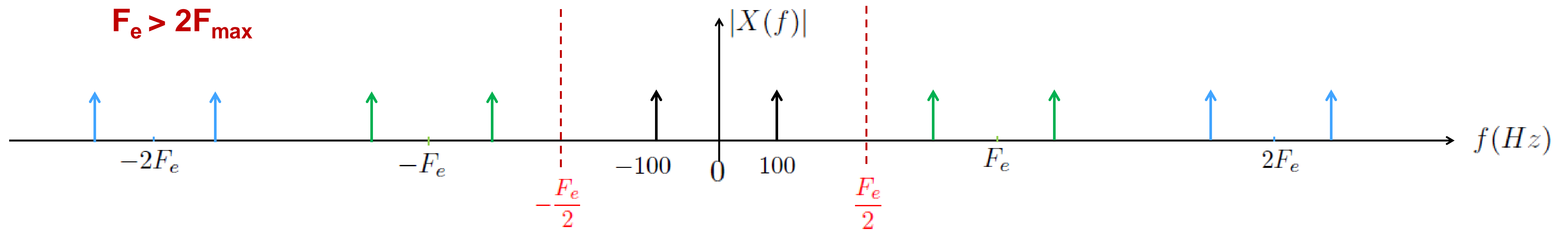
$$X(f) \rightarrow \{X(n\Delta f)\}_{n=0, \dots, N-1}$$

Transformée de Fourier Discrète

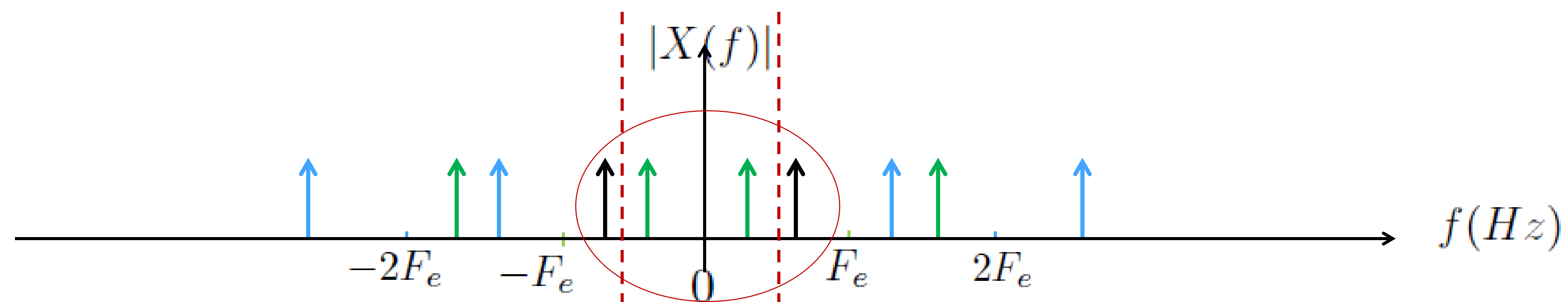
Echantillonnage temporel

Exemple

$$x(t) = \cos(2\pi f_0 t); \quad f_0 = 100 \text{ Hz}$$



$F_e < 2F_{\max}$



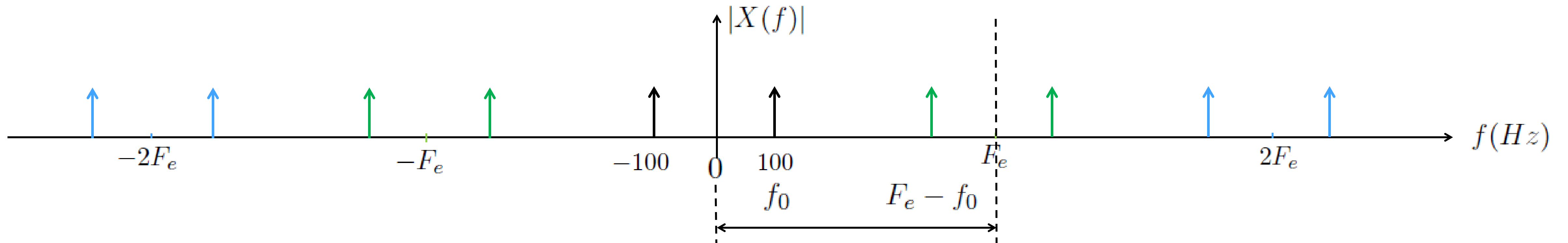
**Recouvrement spectral
(Aliasing)**

Transformée de Fourier Discrète

Echantillonnage temporel

Exemple

$$x(t) = \cos(2\pi f_0 t); \quad f_0 = 100 \text{ Hz}$$



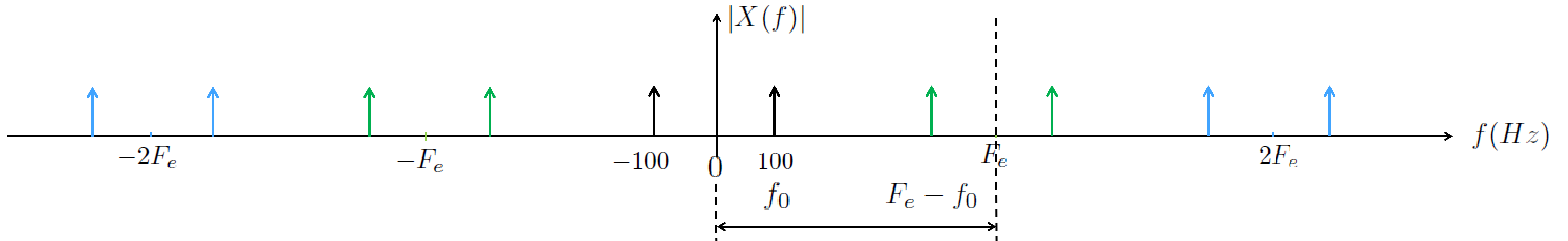
Visualisation sur $[0, F_e]$:

Transformée de Fourier Discrète

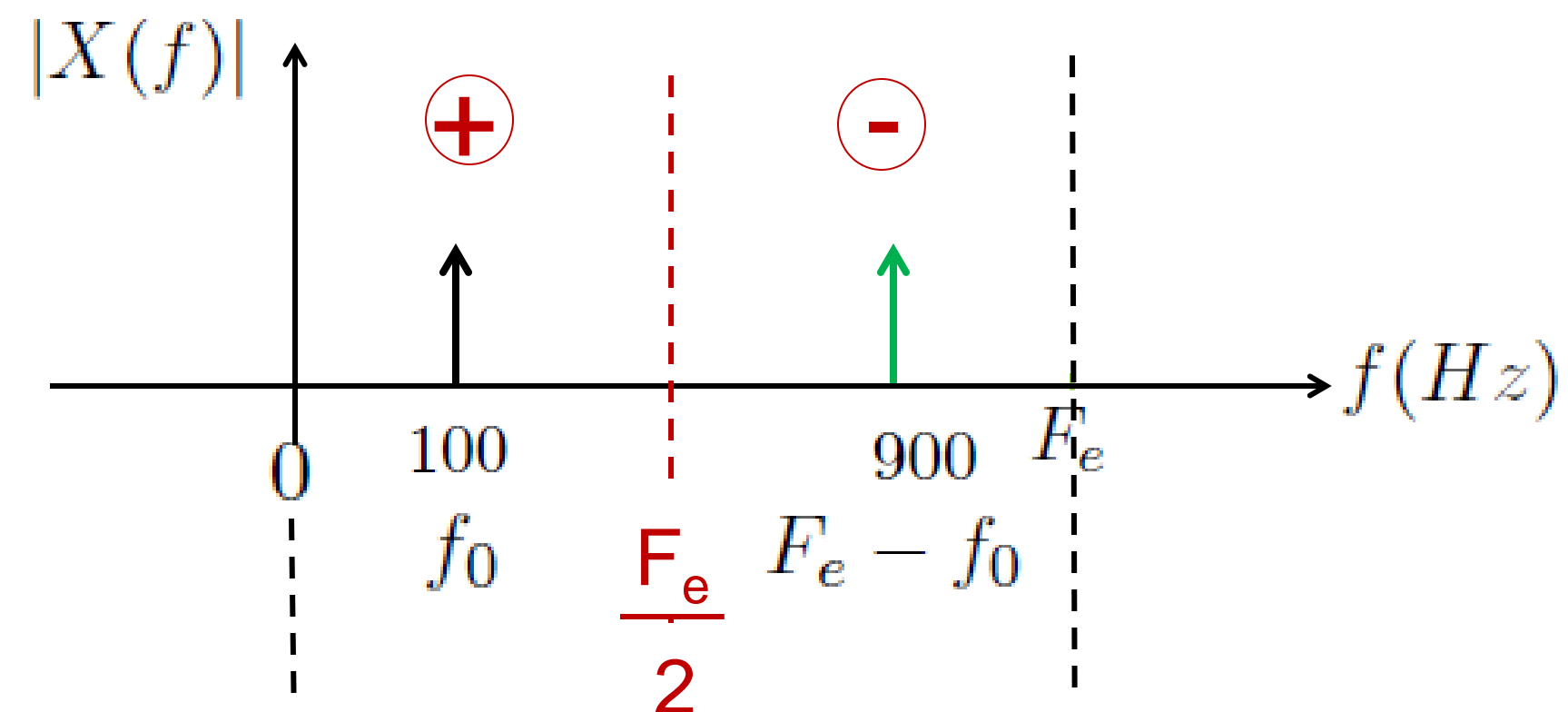
Echantillonnage temporel

Exemple

$$x(t) = \cos(2\pi f_0 t); \quad f_0 = 100 \text{ Hz}$$



Visualisation sur $[0, F_e]$:



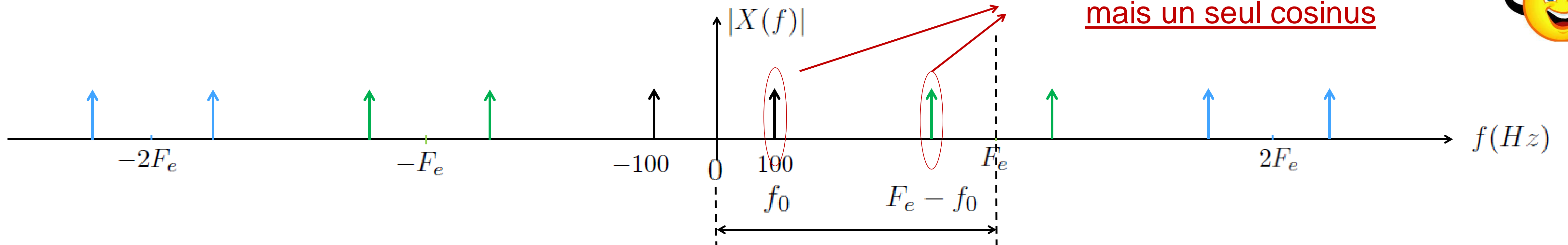
Transformée de Fourier Discrète

Echantillonnage temporel

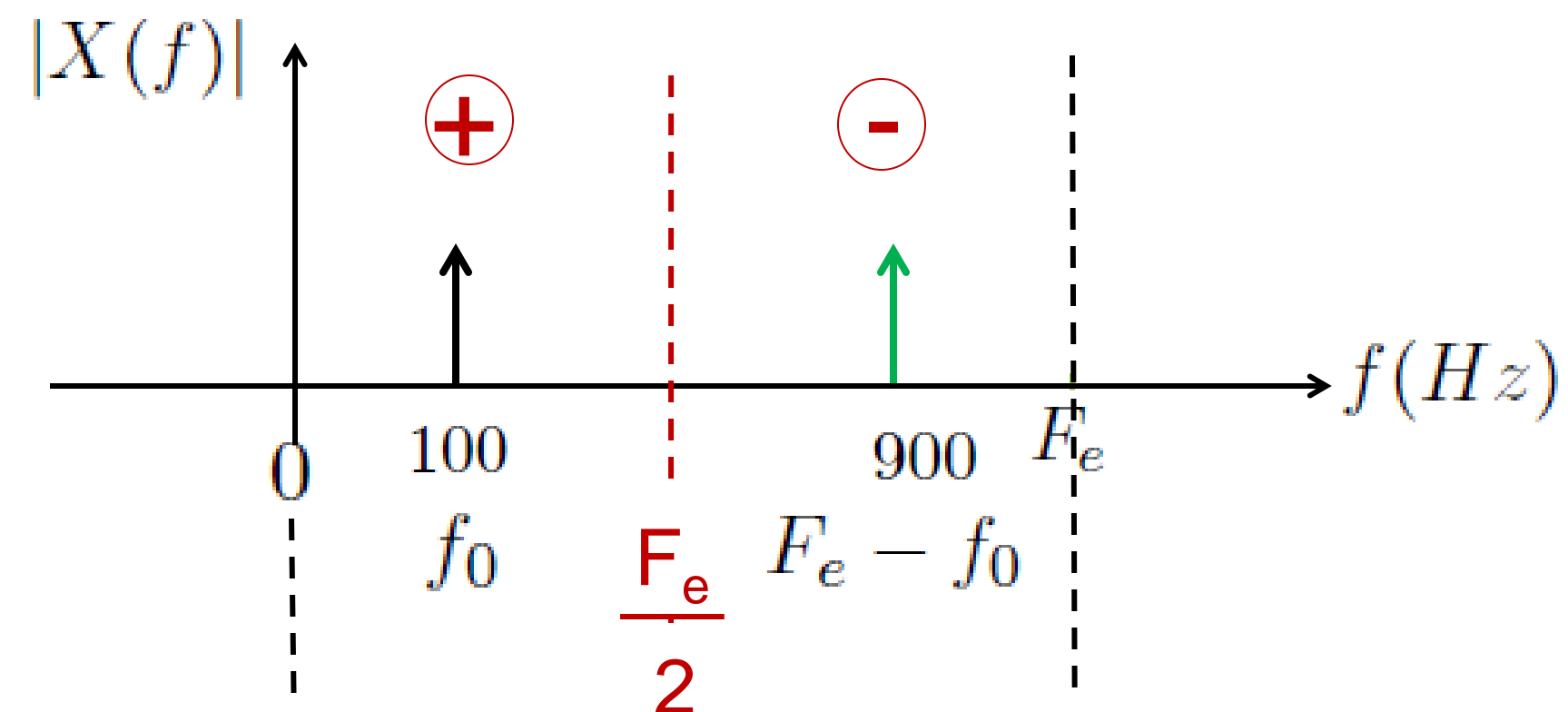
Exemple

$$x(t) = \cos(2\pi f_0 t); \quad f_0 = 100 \text{ Hz}$$

Deux diracs côté fréquences positives
mais un seul cosinus



Visualisation sur $[0, F_e]$:



Transformée de Fourier Discrète

Echantillonnage temporel

Exemple

$$x(t) = \cos(2\pi f_0 t); \quad f_0 = 100 \text{ Hz}$$

Code Matlab :

```
%Paramètres
f0=100;    %fréquence du cosinus
Fe=1000;  %fréquence d'échantillonnage
Te=1/Fe;  %période d'échantillonnage
N=100;    %nombre d'échantillons

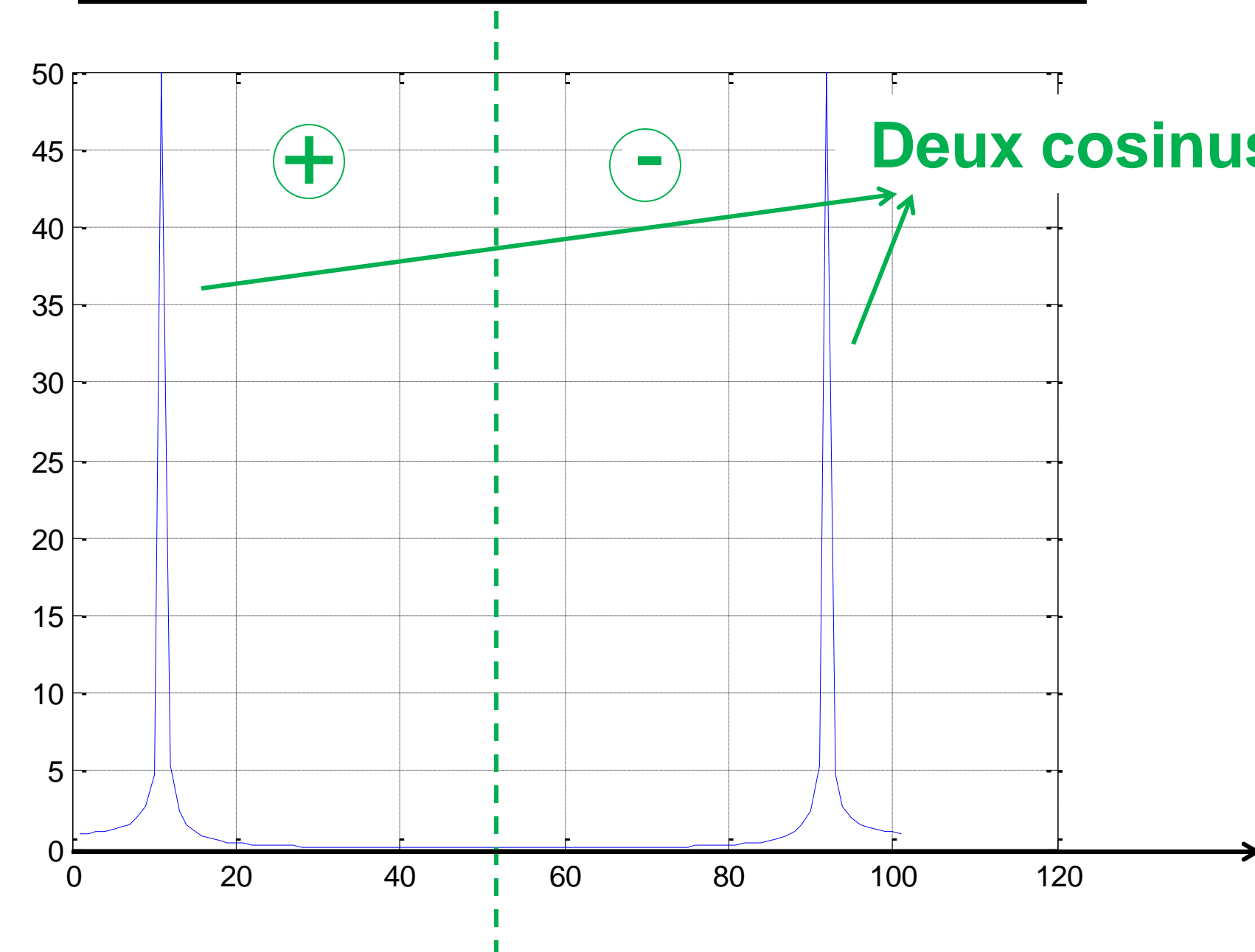
%Génération du signal
x=cos(2*pi*f0*[0:Te:(N-1)*Te]);

%Tracé du signal
figure; plot(x)

%Calcul de la TFD du signal
X=fft(x);

%Tracé du module de la TFD du signal
figure; plot(abs(X))
```

Tracé du module de la TFD obtenu :



Deux cosinus ? Non un seul !

Transformée de Fourier Discrète

Transformée de Fourier (TF)

$$X(f) = \int_{-\infty}^{+\infty} x(t)e^{-j2\pi ft}$$

Transformée de Fourier Discrète (TFD)

$$X(n) = \sum_{k=0}^{N-1} x(k)e^{-j2\pi \frac{kn}{N}}, \quad n = 0, \dots, N-1$$

Quels impacts ??



1- Echantillonnage temporel

$$x(t) \rightarrow \{x(kT_e)\}_{k=-\infty, \dots, +\infty}$$

⇒ Périodisation de la TFD

⇒ !! Respecter la condition de Shannon !!

⇒ !! Lecture des tracés !!

Transformée de Fourier Discrète

!! Echelle fréquentielle !!

Exemple

$$x(t) = \cos(2\pi f_0 t); f_0 = 100 \text{ Hz}$$

Code Matlab :

```
%Paramètres
f0=100; %fréquence du cosinus
Fe=1000; %fréquence d'échantillonnage
Te=1/Fe; %période d'échantillonnage
N=100; %nombre d'échantillons

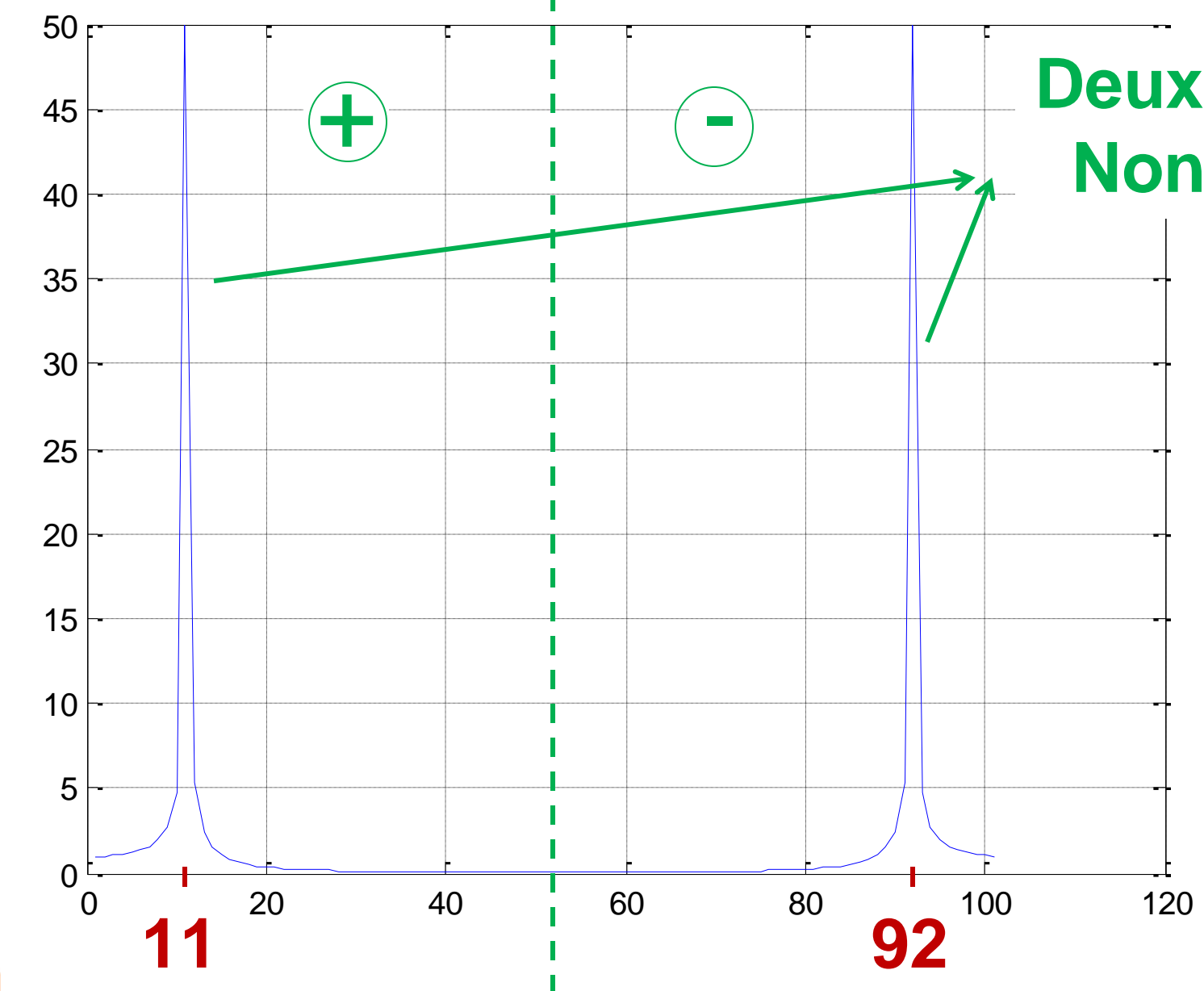
%Génération du signal
x=cos(2*pi*f0*[0:Te:(N-1)*Te]);

%Tracé du signal
figure; plot(x)

%Calcul de la TFD du signal
X=fft(x);

%Tracé du module de la TFD du signal
figure; plot(abs(X))
```

Tracé du module de la TFD obtenu :



Deux cosinus ?
Non un seul !



fréquences $f_0=11$ Hz et $F_e - f_0=92$ Hz ??

Transformée de Fourier Discrète

!! Echelle fréquentielle !!

Exemple

$$x(t) = \cos(2\pi f_0 t); f_0 = 100 \text{ Hz}$$

Code Matlab :

```
%Paramètres
f0=100; %fréquence du cosinus
Fe=1000; %fréquence d'échantillonnage
Te=1/Fe; %période d'échantillonnage
N=100; %nombre d'échantillons

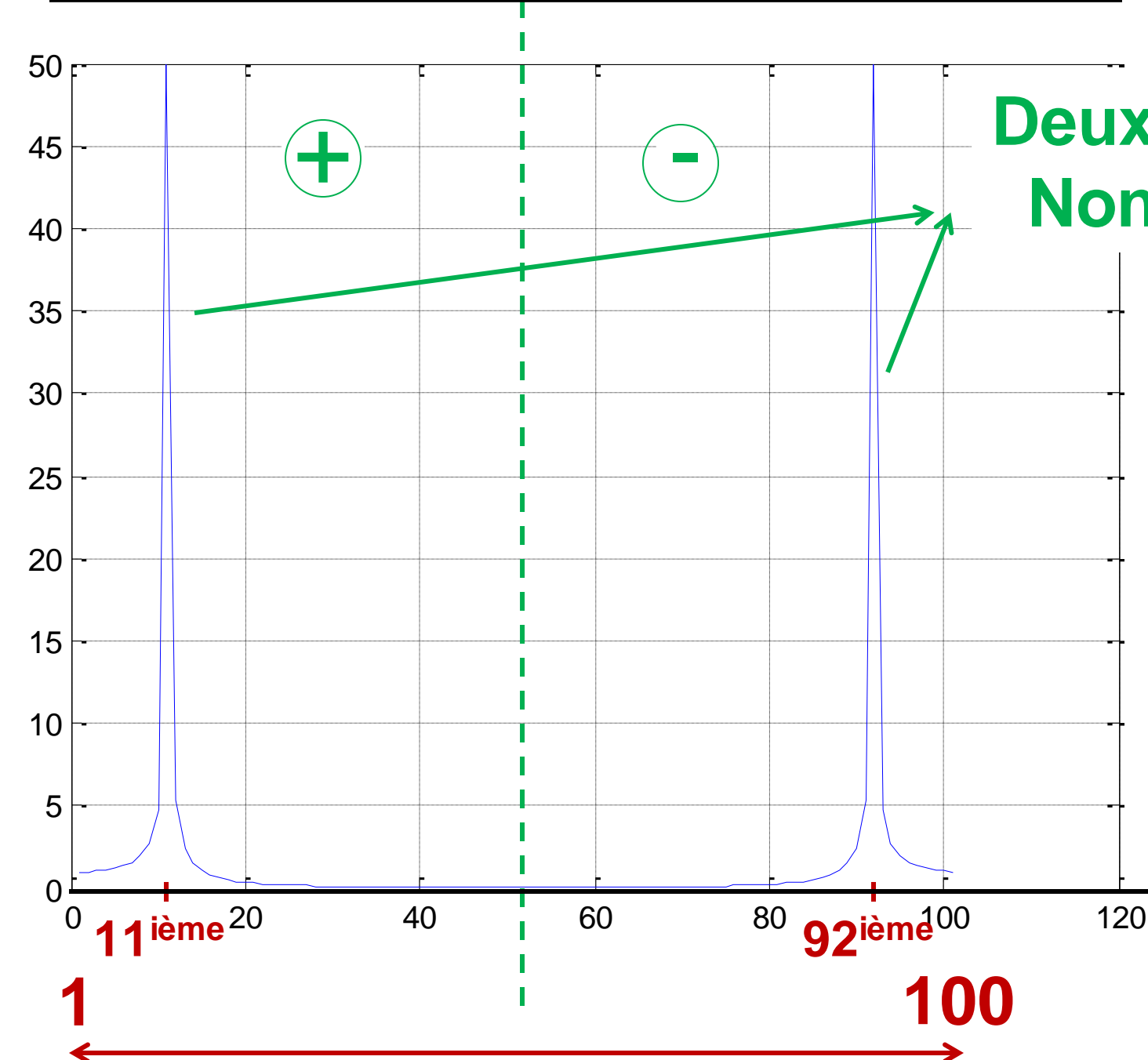
%Génération du signal
x=cos(2*pi*f0*[0:Te:(N-1)*Te]);

%Tracé du signal
figure; plot(x)

%Calcul de la TFD du signal
X=fft(x);

%Tracé du module de la TFD du signal
figure; plot(abs(X))
```

Tracé du module de la TFD obtenu :



Deux cosinus ?
Non un seul !

$f_0 \Leftrightarrow 11^{\text{ième}}$ échantillons
de la TFD



n° d'échantillon
Pas la fréquence en Hz !!

Taille du vecteur = 100 échantillons

Transformée de Fourier Discrète

!! Echelle fréquentielle !!

Exemple

$$x(t) = \cos(2\pi f_0 t); f_0 = 100 \text{ Hz}$$

Code Matlab :

```
%Paramètres
f0=100; %fréquence du cosinus
Fe=1000; %fréquence d'échantillonnage
Te=1/Fe; %période d'échantillonnage
N=100; %nombre d'échantillons

%Génération du signal
x=cos(2*pi*f0*[0:Te:N*Te]);

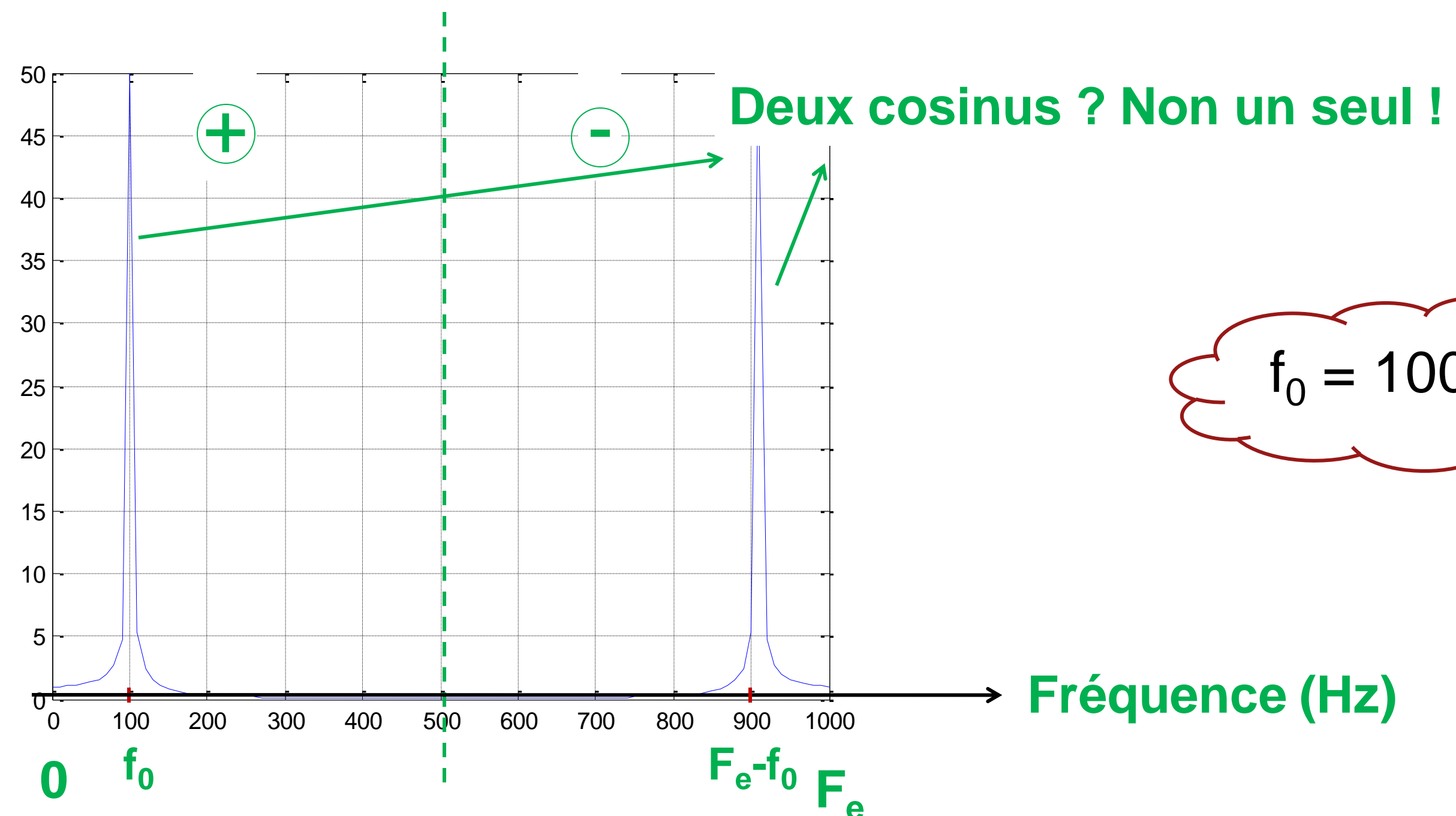
%Tracé du signal
figure; plot([0:Te:N*Te],x)

%Calcul de la TFD du signal
X=fft(x);

%Tracé du module de la TFD du signal
figure; plot(linspace(0,Fe,length(X)),abs(X))
```

!! Echelle fréquentielle à donner !!

Tracé du module de la TFD obtenu :



Transformée de Fourier Discrète

!! Echelle fréquentielle !!

Exemple

$$x(t) = \cos(2\pi f_0 t); \quad f_0 = 100 \text{ Hz}$$

Code Matlab :

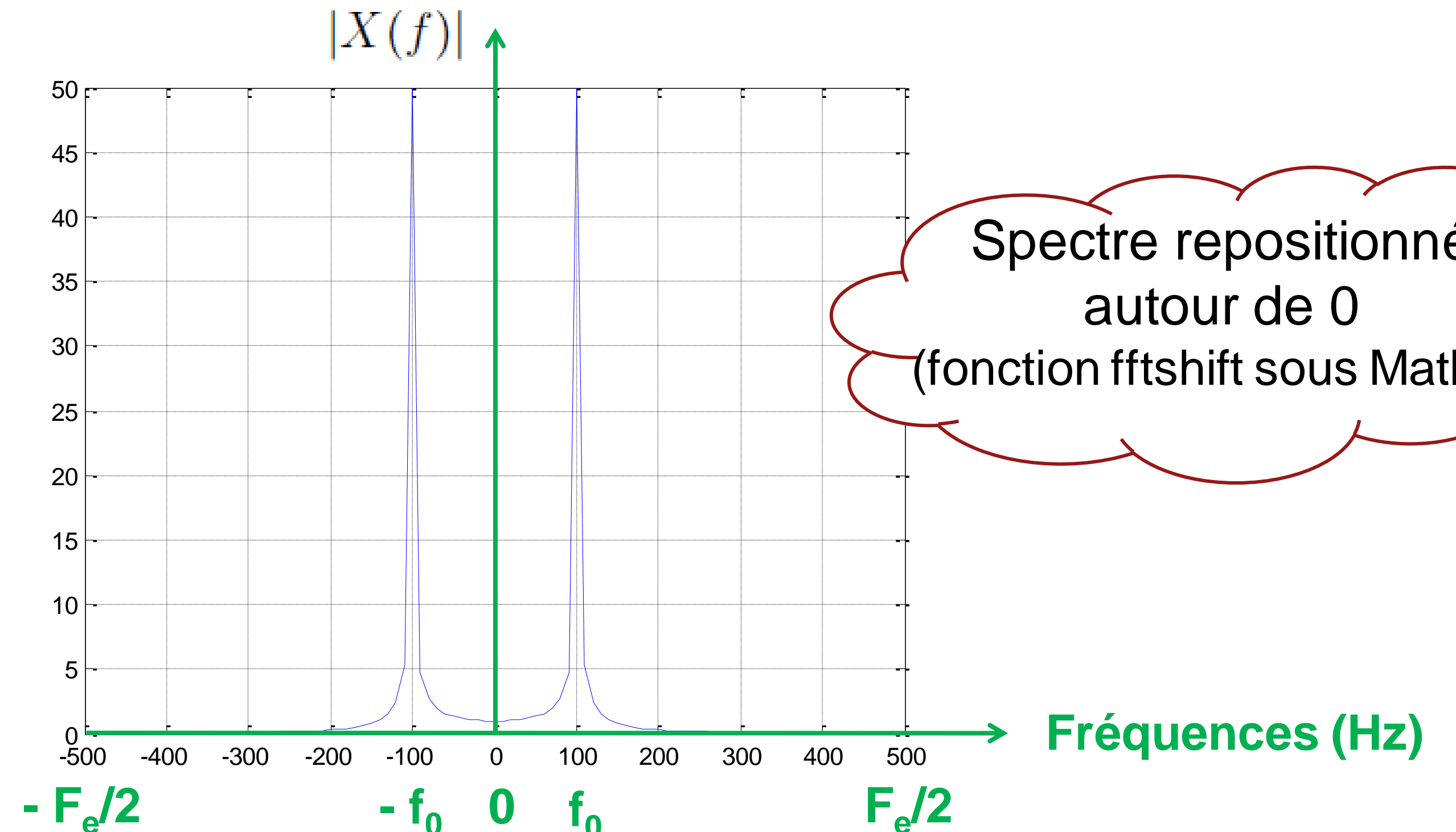
```
%Paramètres
f0=100;    %fréquence du cosinus
Fe=1000;  %fréquence d'échantillonnage
Te=1/Fe;  %période d'échantillonnage
N=100;    %nombre d'échantillons

%Génération du signal
x=cos(2*pi*f0*[0:Te:N*Te]);

%Tracé du signal
figure; plot([0:Te:N*Te],x)

%Calcul de la TFD du signal
X=fft(x);

%Tracé du module de la TFD du signal
figure; plot(linspace(-Fe/2,Fe/2,length(X)),fftshift(abs(X)))
```

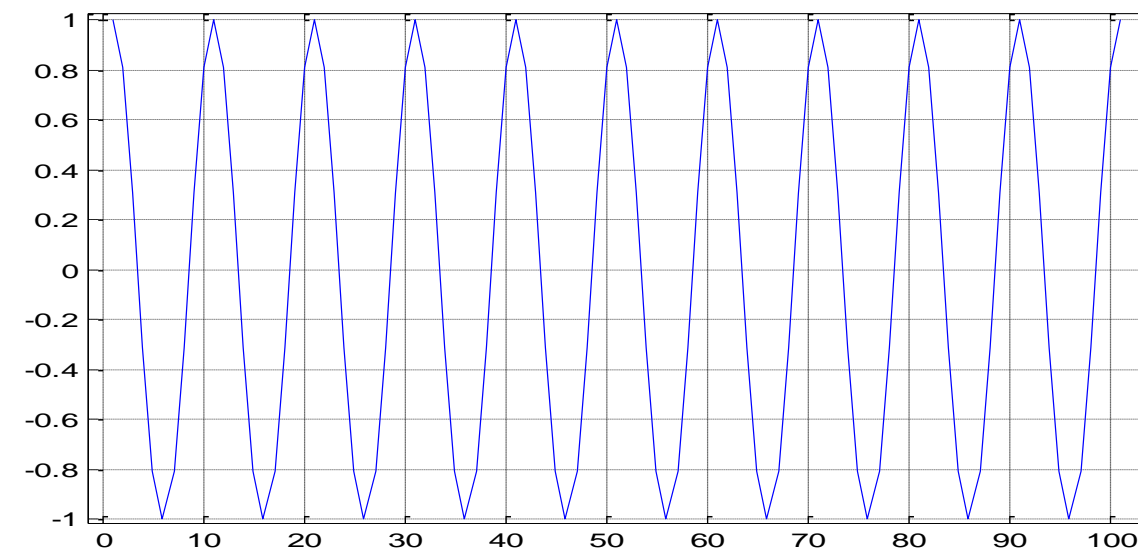


Transformée de Fourier Discrète

Signal de durée limitée

Exemple

$$x(t) = \cos(2\pi f_0 t); f_0 = 100 \text{ Hz}$$



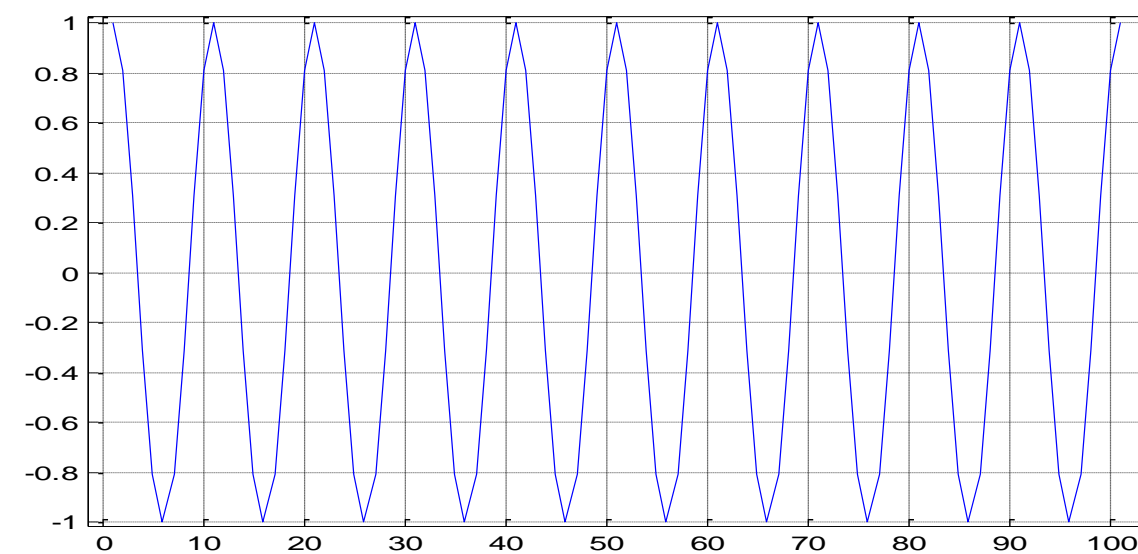
Signal de durée limitée

Transformée de Fourier Discrète

Signal de durée limitée

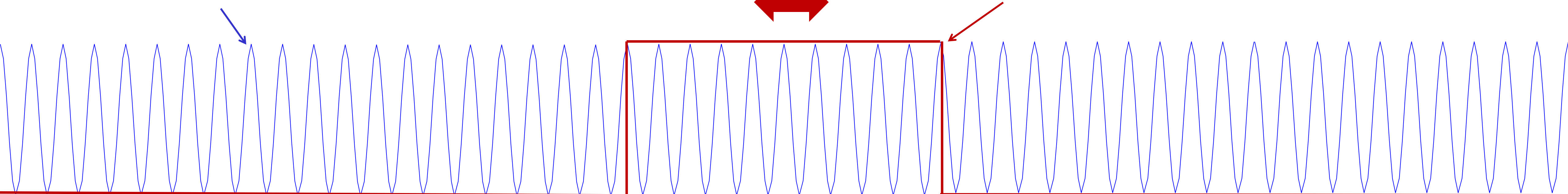
Exemple

$$x(t) = \cos(2\pi f_0 t); f_0 = 100 \text{ Hz}$$



Signal de durée limitée

Signal de durée illimitée



x Fenêtre de troncature

Transformée de Fourier Discrète

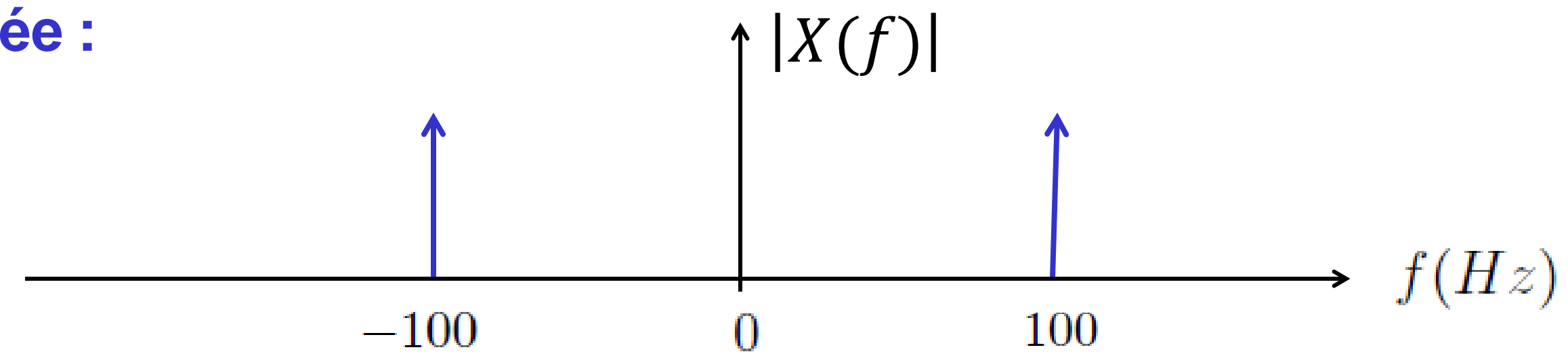
Signal de durée limitée

Exemple

$$x(t) = \cos(2\pi f_0 t); \quad f_0 = 100 \text{ Hz}$$

TF du signal de durée illimitée :

$$x(t) \xrightarrow{TF} X(f)$$



Transformée de Fourier Discrète

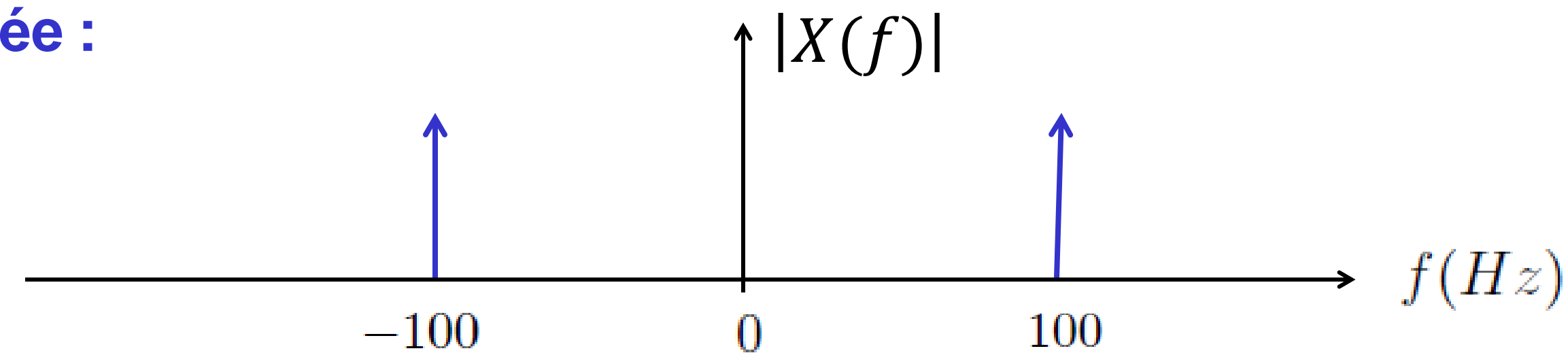
Signal de durée limitée

Exemple

$$x(t) = \cos(2\pi f_0 t); \quad f_0 = 100 \text{ Hz}$$

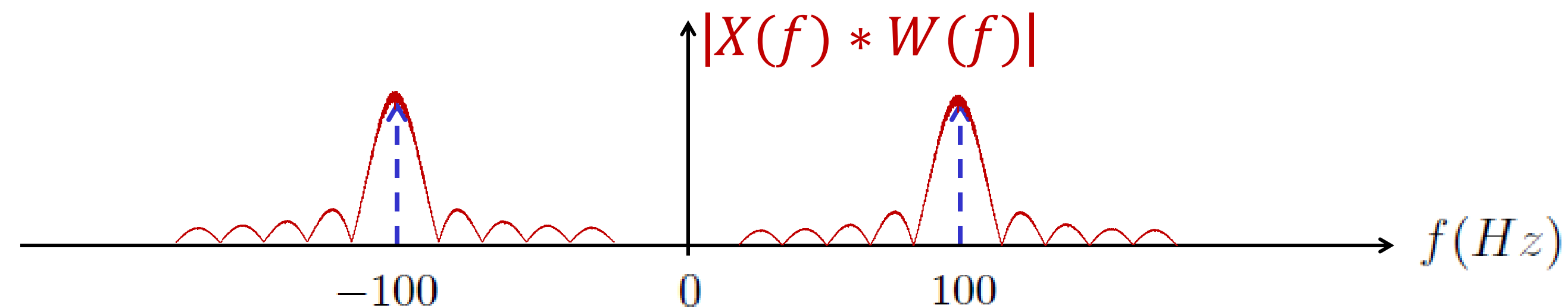
TF du signal de durée illimitée :

$$x(t) \xrightarrow{TF} X(f)$$



TF du signal à durée limitée = TF du signal à durée illimitée * TF de la fenêtre modélisant la troncature :

$$x(t)w(t) \xrightarrow{TF} X(f) * W(f)$$



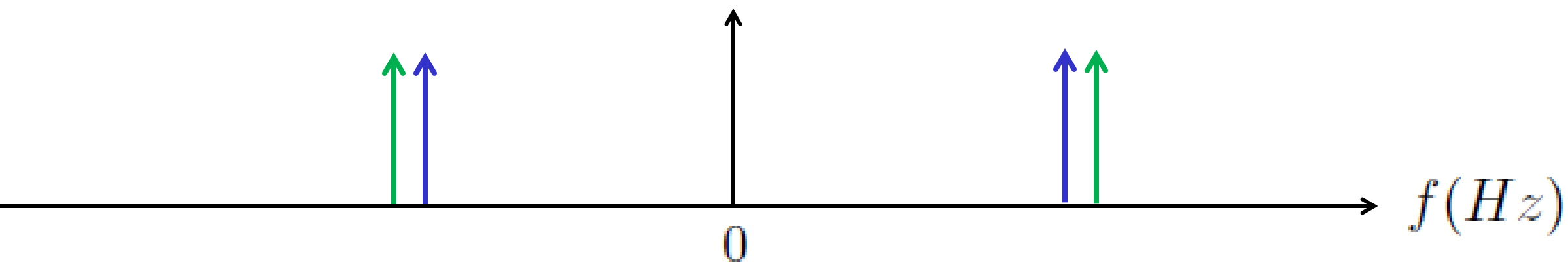
Transformée de Fourier Discrète

Signal de durée limitée

Problèmes posés :

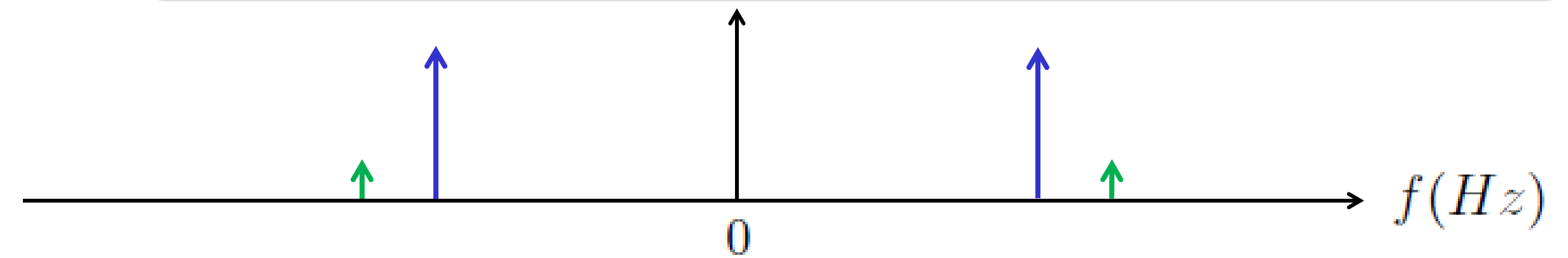
Exemple 1

Somme de deux cosinus proches en fréquences



Exemple 2

Somme de deux cosinus dont un de faible puissance



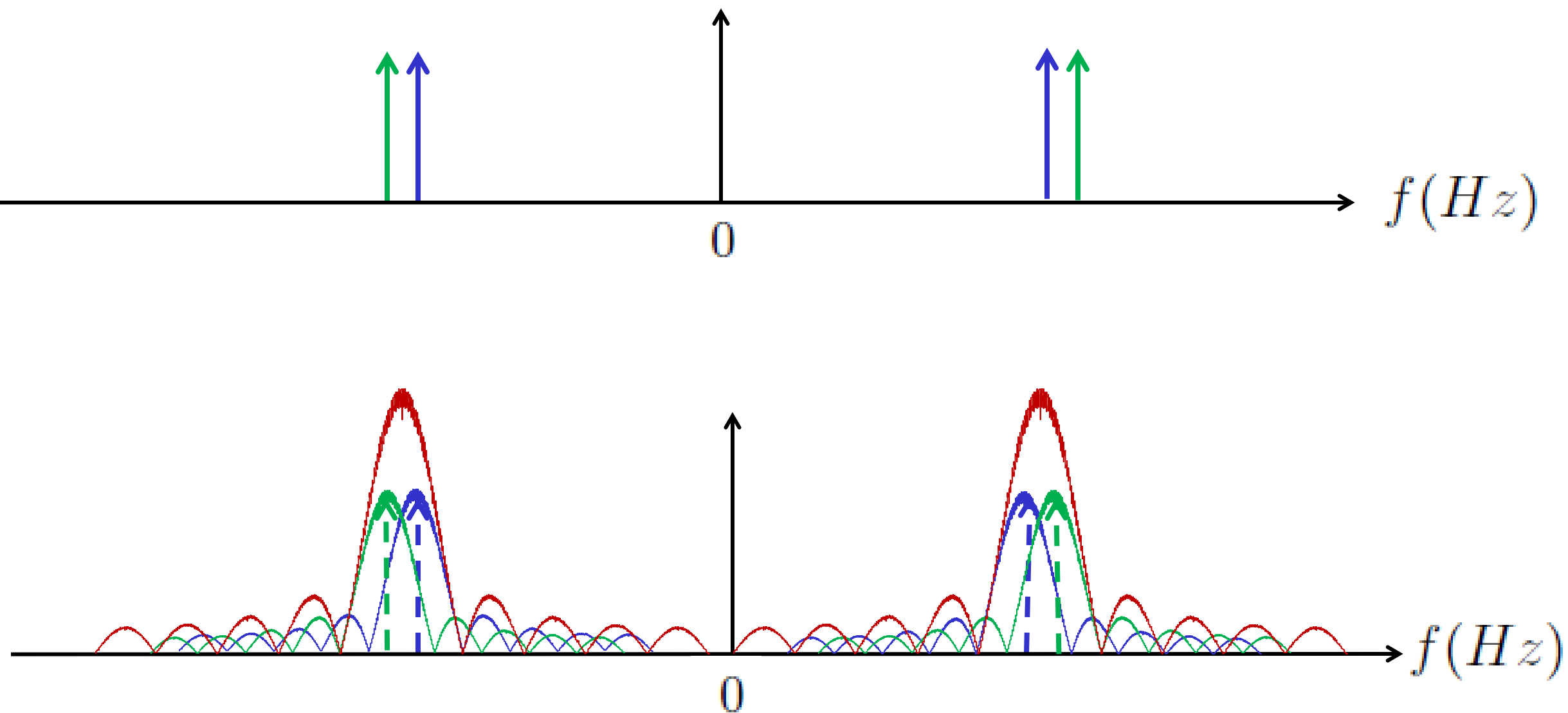
Transformée de Fourier Discrète

Signal de durée limitée

Problèmes posés :

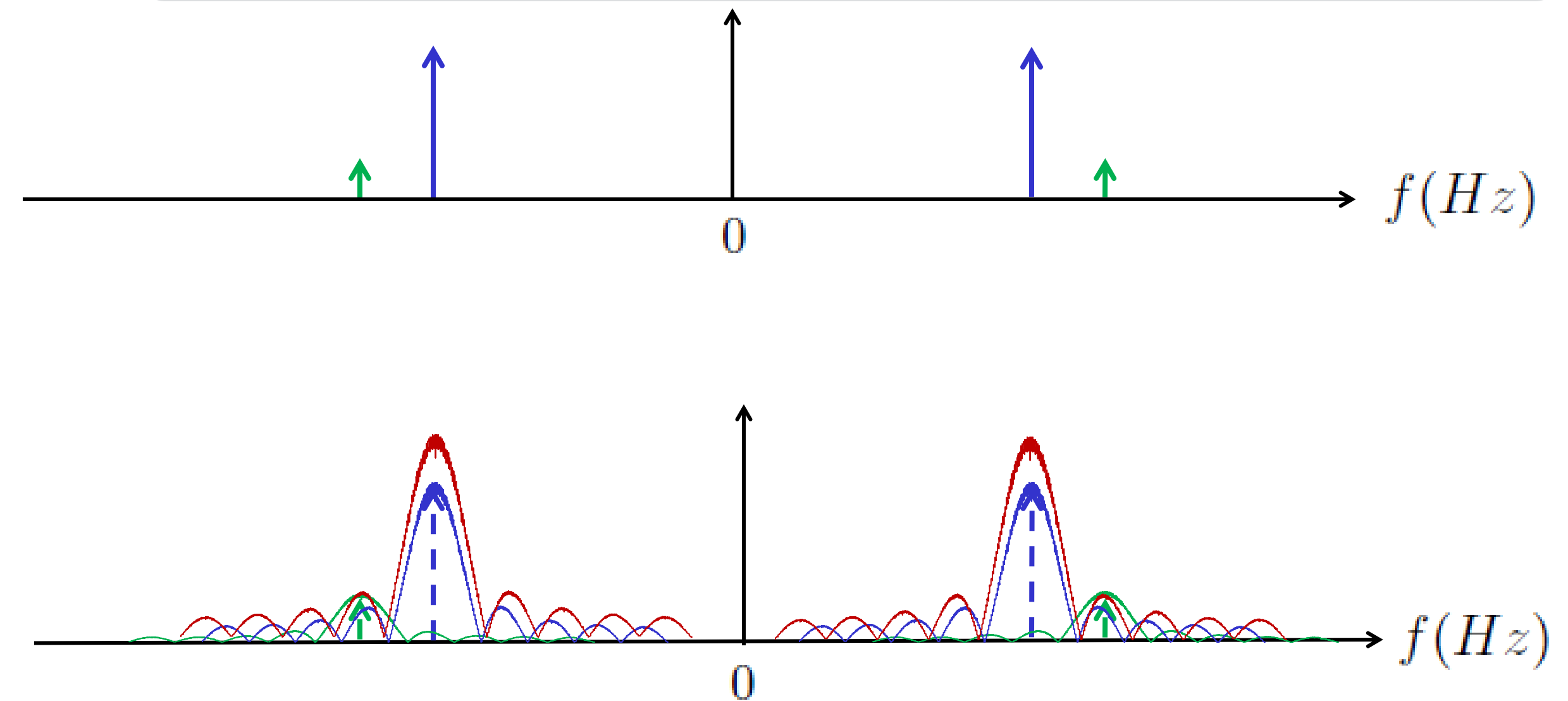
Exemple 1

Somme de deux cosinus proches en fréquences



Exemple 2

Somme de deux cosinus dont un de faible puissance



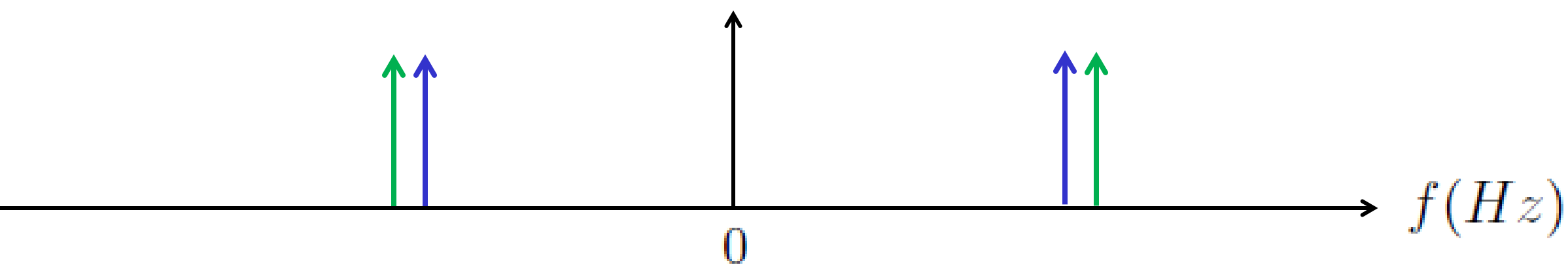
Transformée de Fourier Discrète

Signal de durée limitée

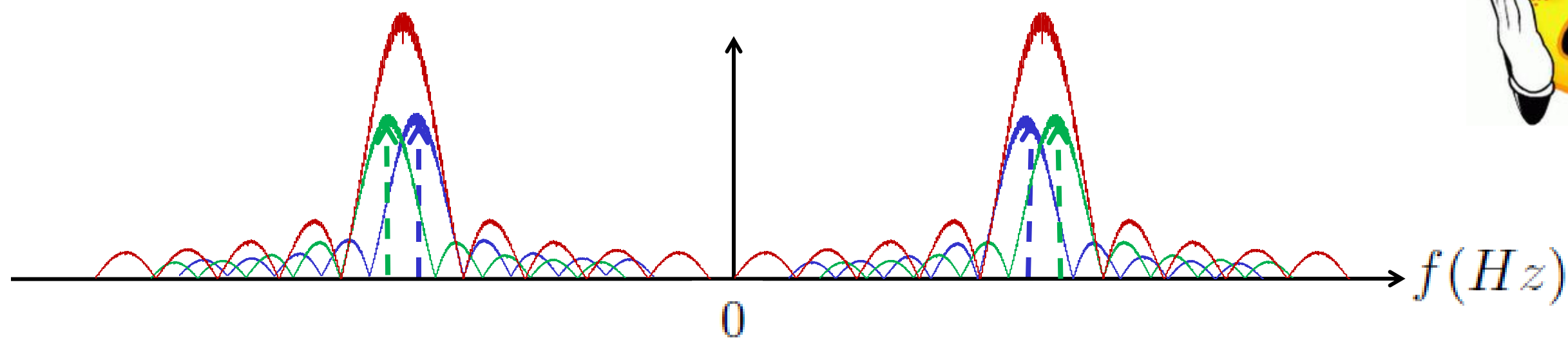
Problèmes posés :

Exemple 1

Somme de deux cosinus proches en fréquences

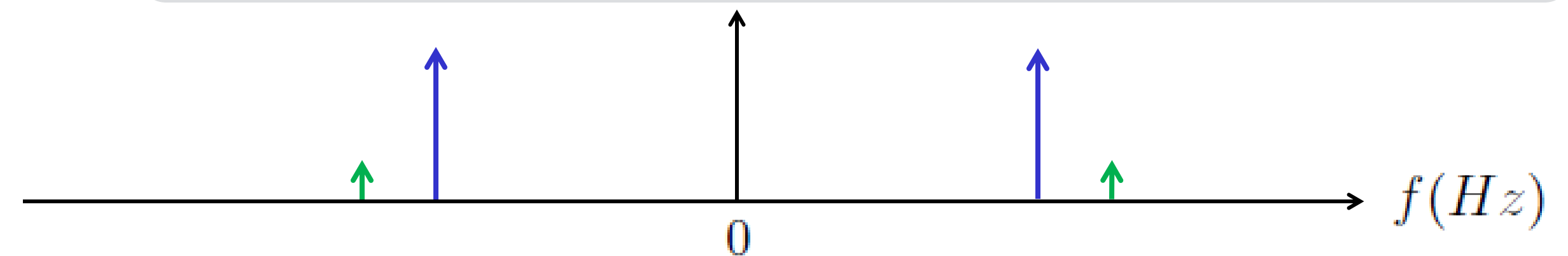


!! Un seul cosinus !!

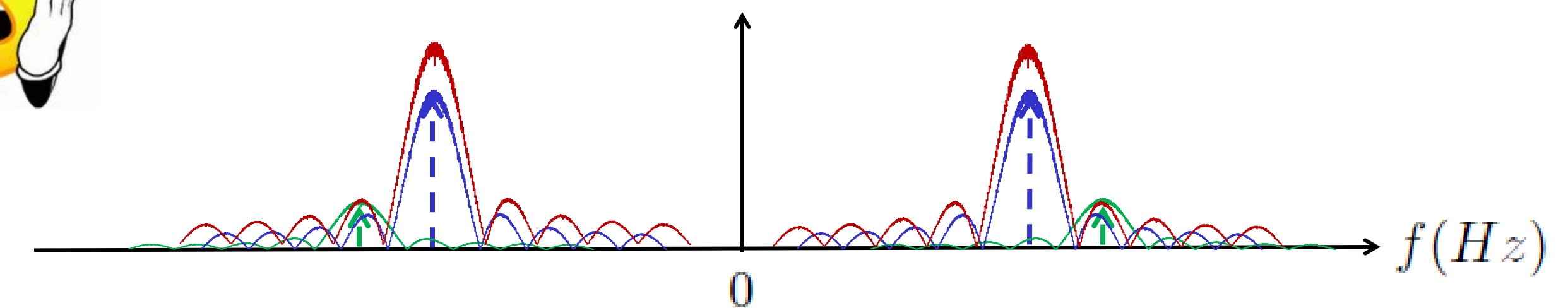


Exemple 2

Somme de deux cosinus dont un de faible puissance



!! Un seul cosinus !!



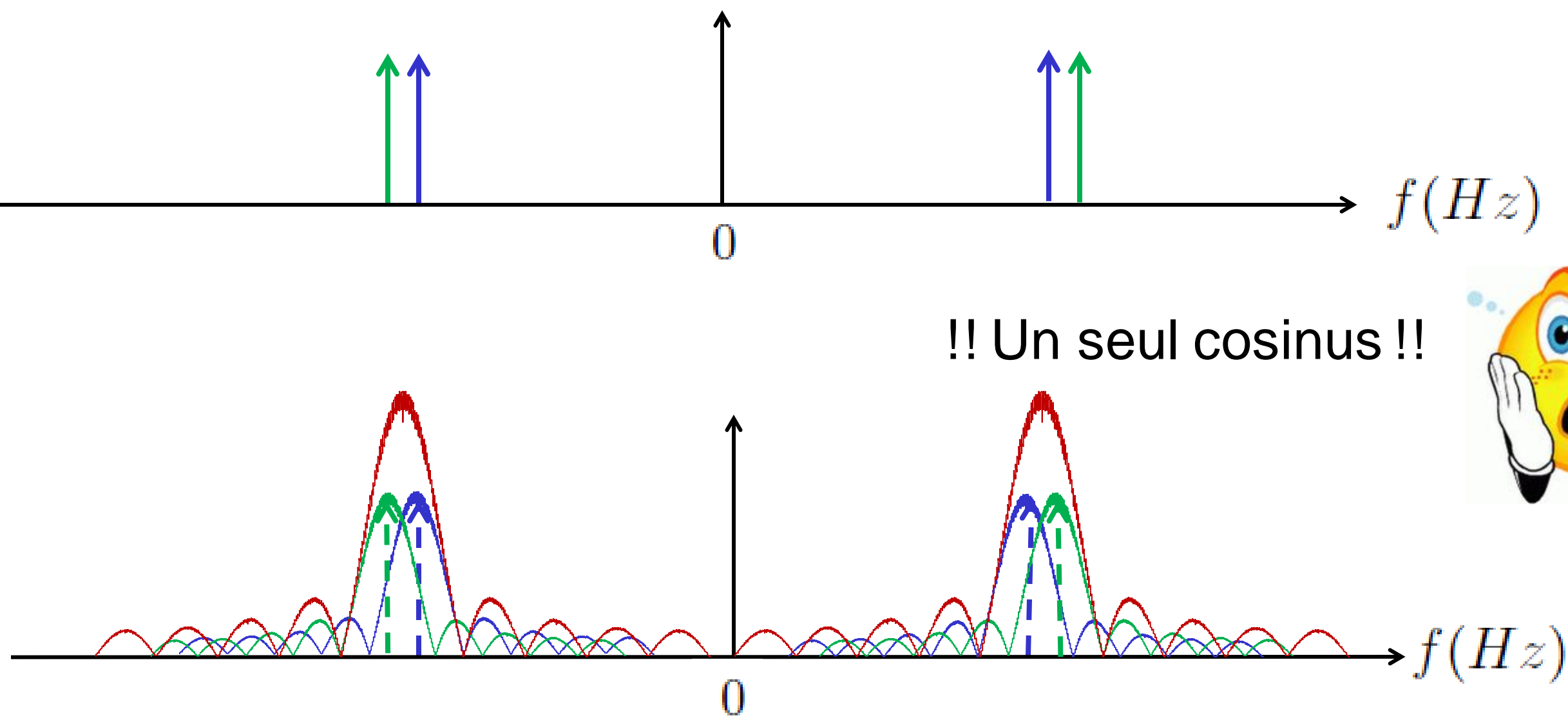
Transformée de Fourier Discrète

Signal de durée limitée

Problèmes posés :

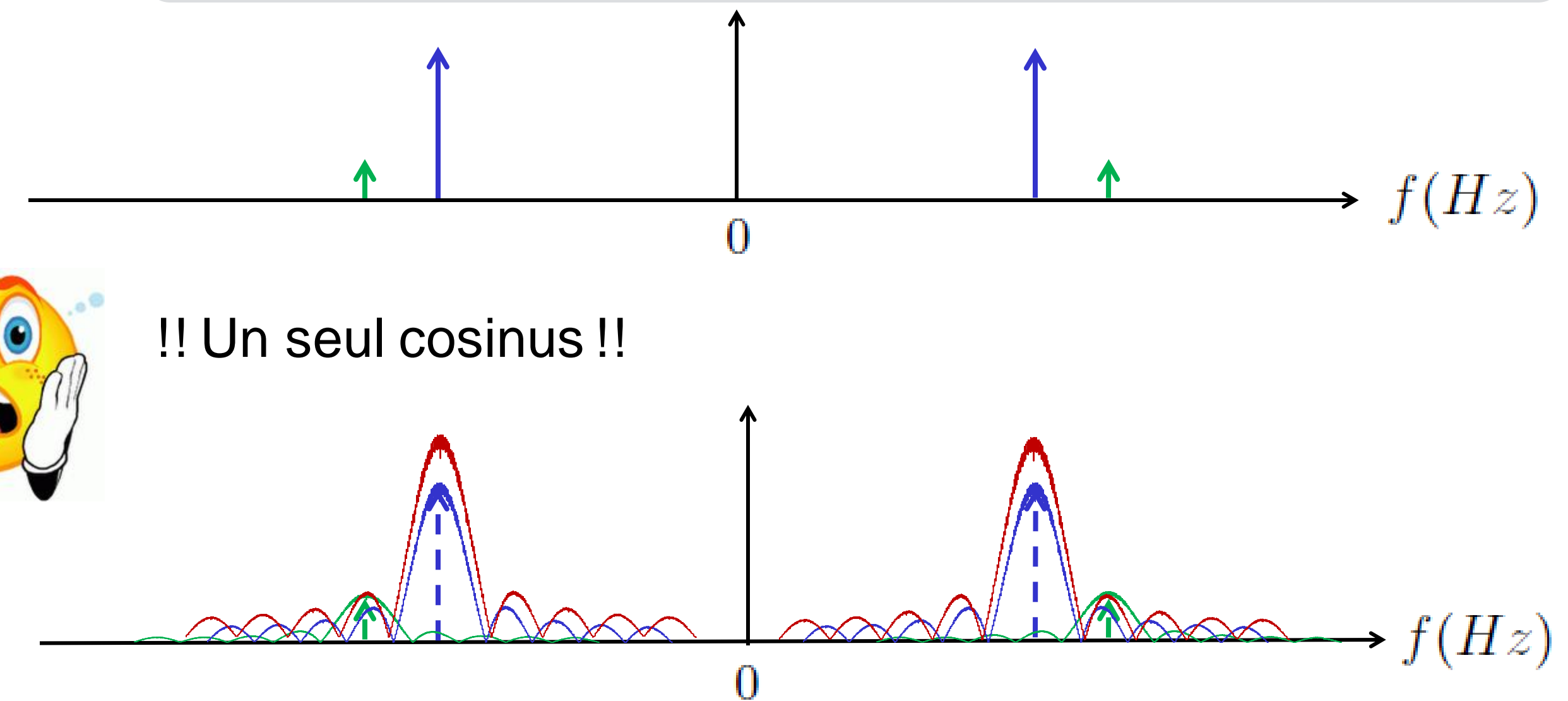
Exemple 1

Somme de deux cosinus proches en fréquences



Exemple 2

Somme de deux cosinus dont un de faible puissance



⇒ L'analyse spectrale NUMERIQUE aura :

un certain **pouvoir séparateur**

Capacité à séparer des motifs spectraux proches en fréquences

et

un certain **taux d'ondulation**

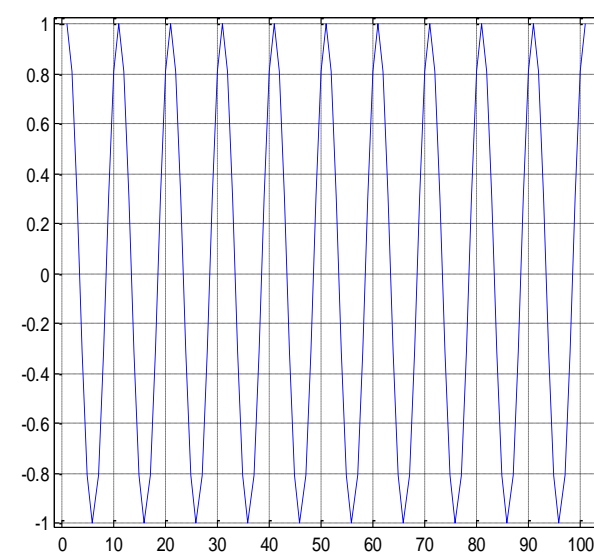
Masquage de motifs spectraux de faibles puissances

Transformée de Fourier Discrète

Signal de durée limitée

Exemple

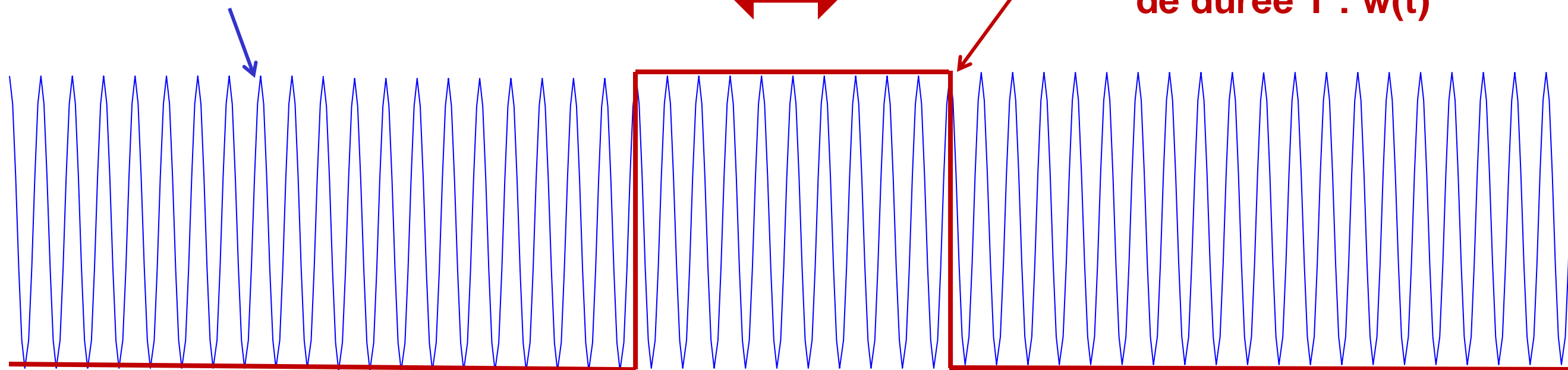
$$x(t) = \cos(2\pi f_0 t); f_0 = 100 \text{ Hz}$$



Signal de durée limitée

Signal de durée illimitée

x Fenêtre de troncature de durée T : w(t)

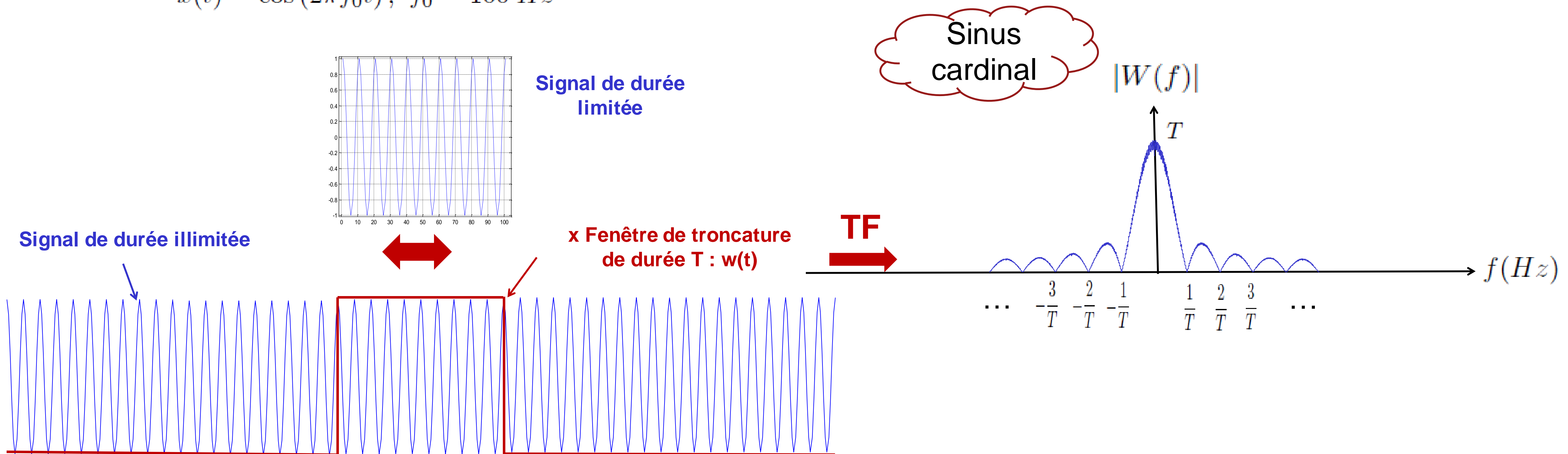


Transformée de Fourier Discrète

Signal de durée limitée

Exemple

$$x(t) = \cos(2\pi f_0 t); f_0 = 100 \text{ Hz}$$

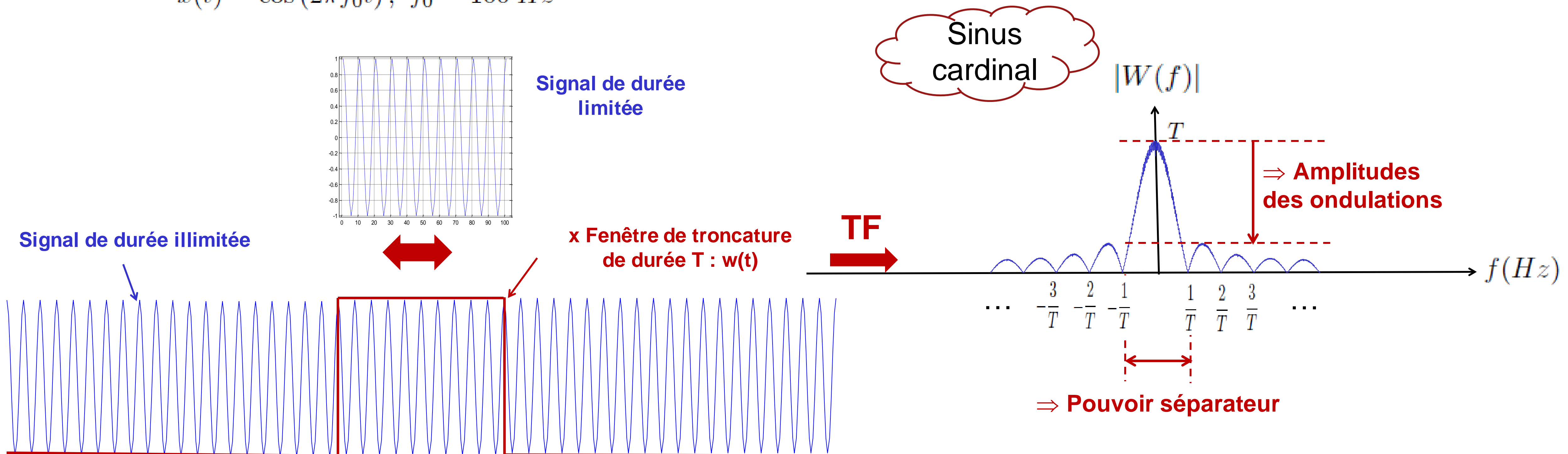


Transformée de Fourier Discrète

Signal de durée limitée

Exemple

$$x(t) = \cos(2\pi f_0 t); f_0 = 100 \text{ Hz}$$

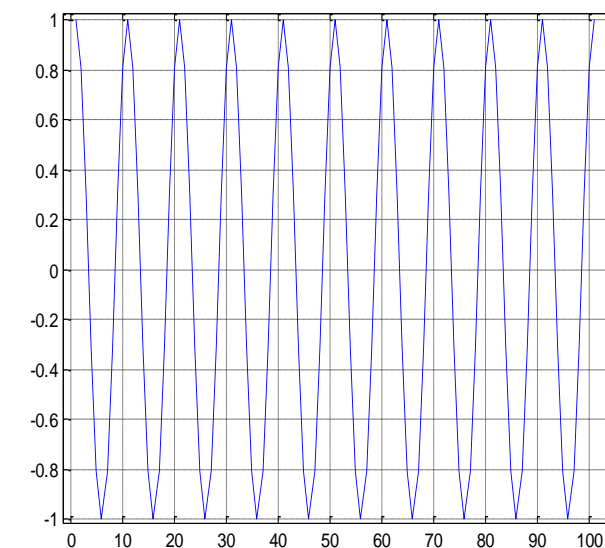


Transformée de Fourier Discrète

Signal de durée limitée

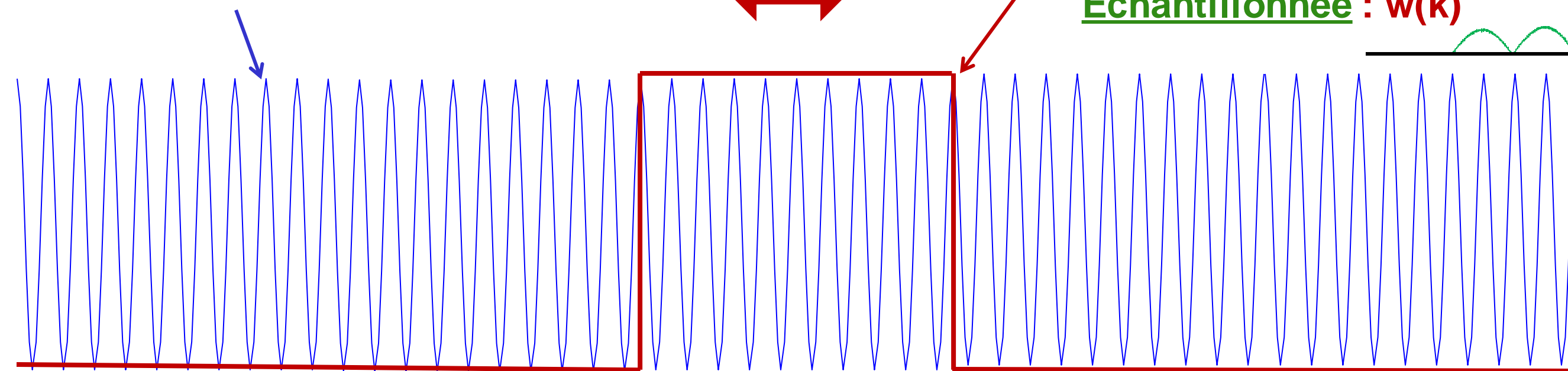
Exemple

$$x(t) = \cos(2\pi f_0 t); f_0 = 100 \text{ Hz}$$



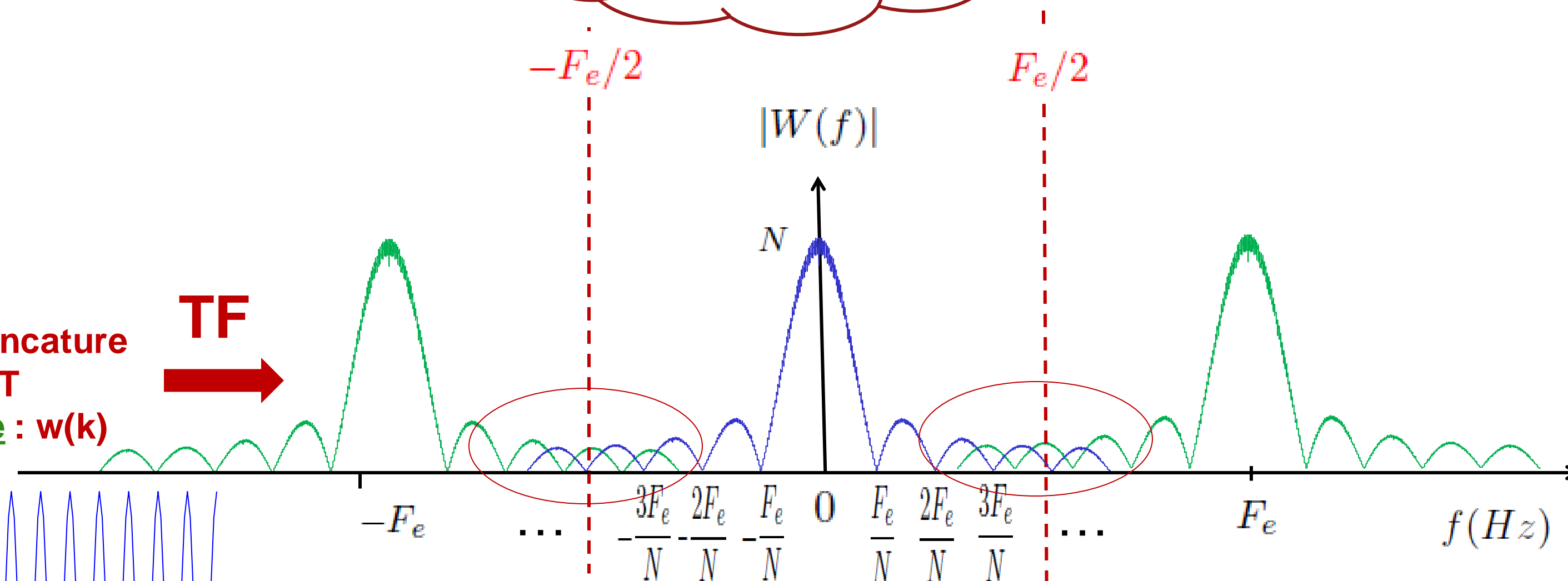
Signal de durée limitée

Signal de durée illimitée



x Fenêtre de troncature de durée T
Échantillonnée : $w(k)$

TF



Noyau de Dirichlet

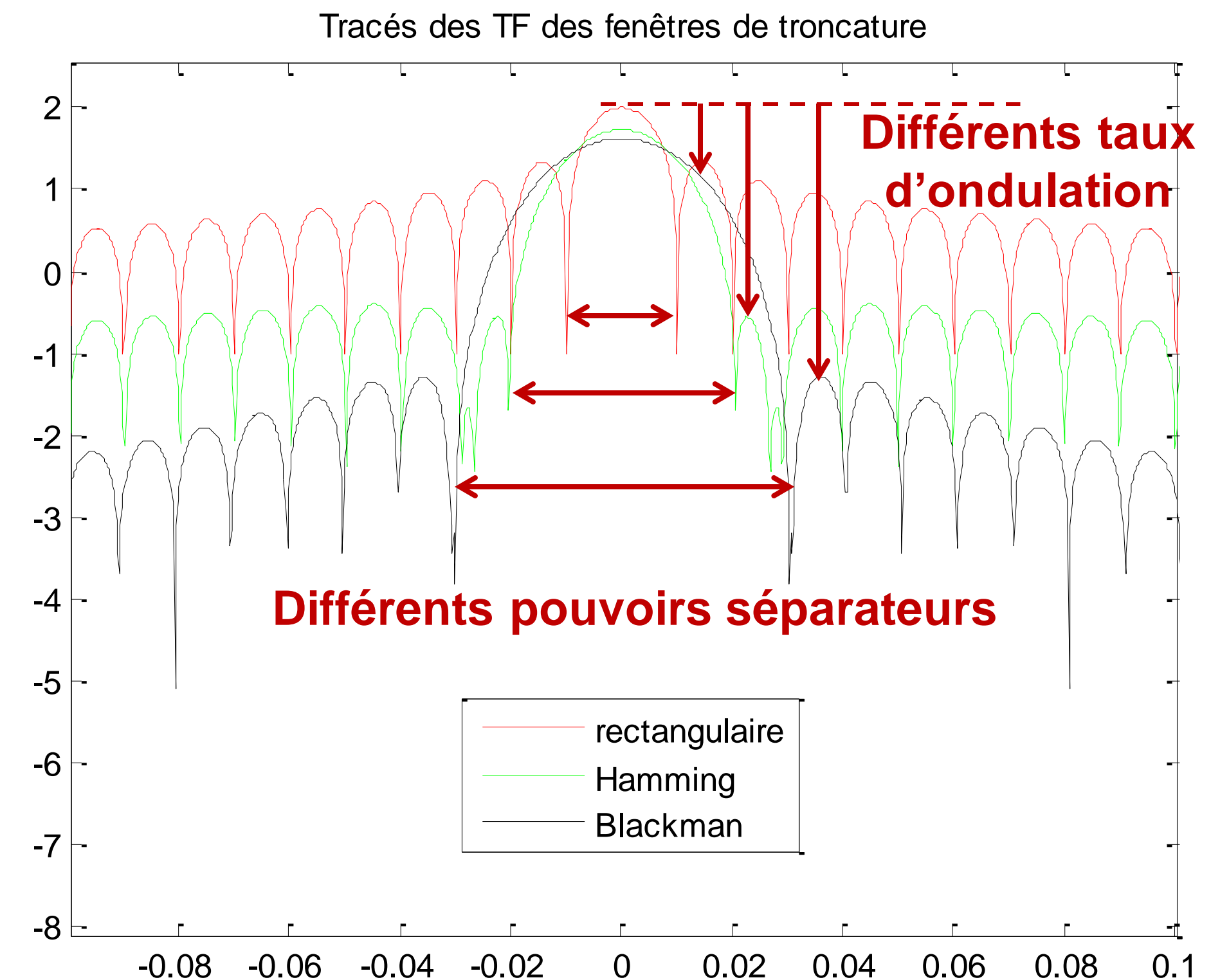
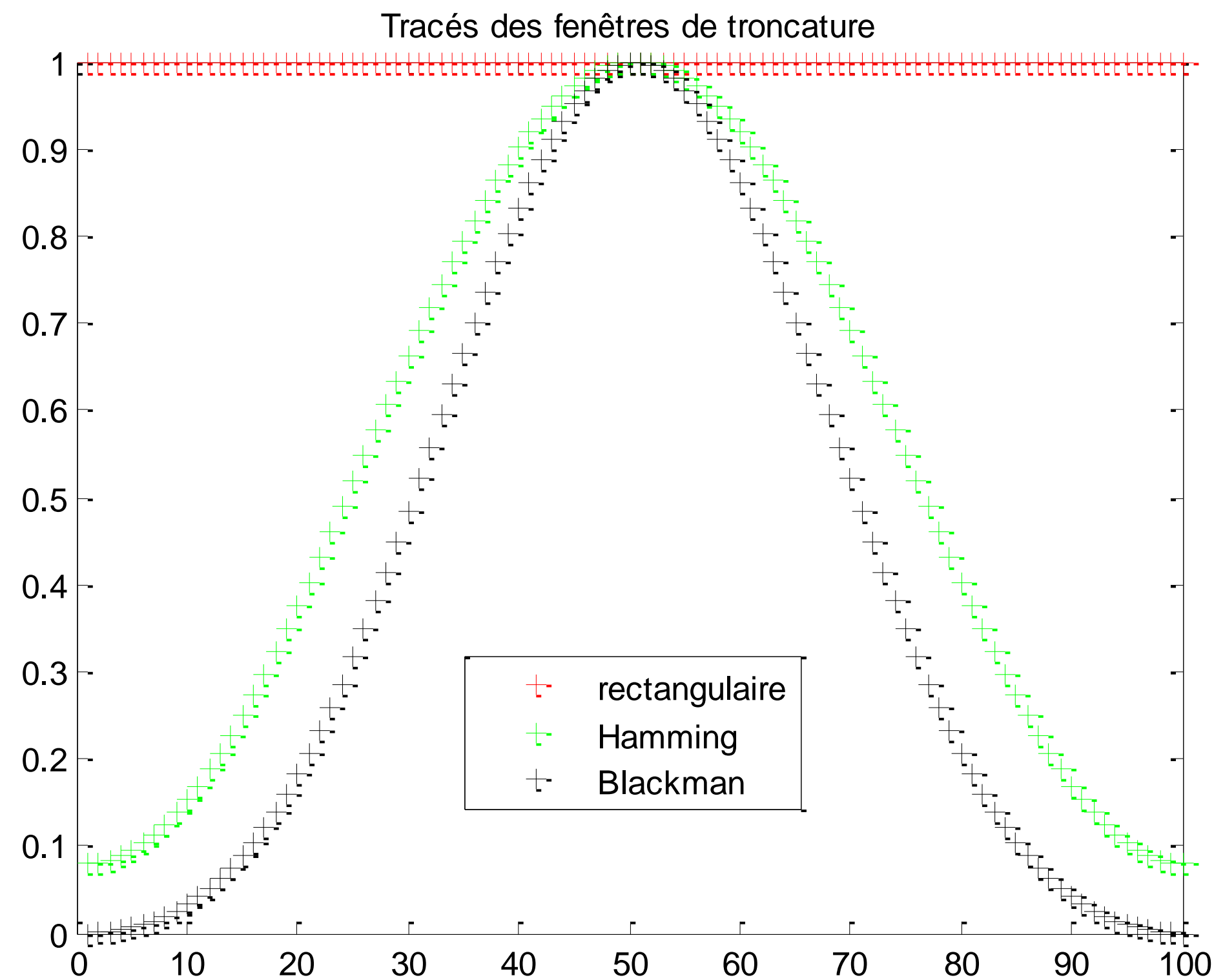
~~Sinus cardinal~~

Transformée de Fourier Discrète

Signal de durée limitée

Utiliser d'autres fenêtres de troncature (fenêtre de pondération, d'apodisation) ?

Exemples



Transformée de Fourier Discrète

Signal de durée limitée

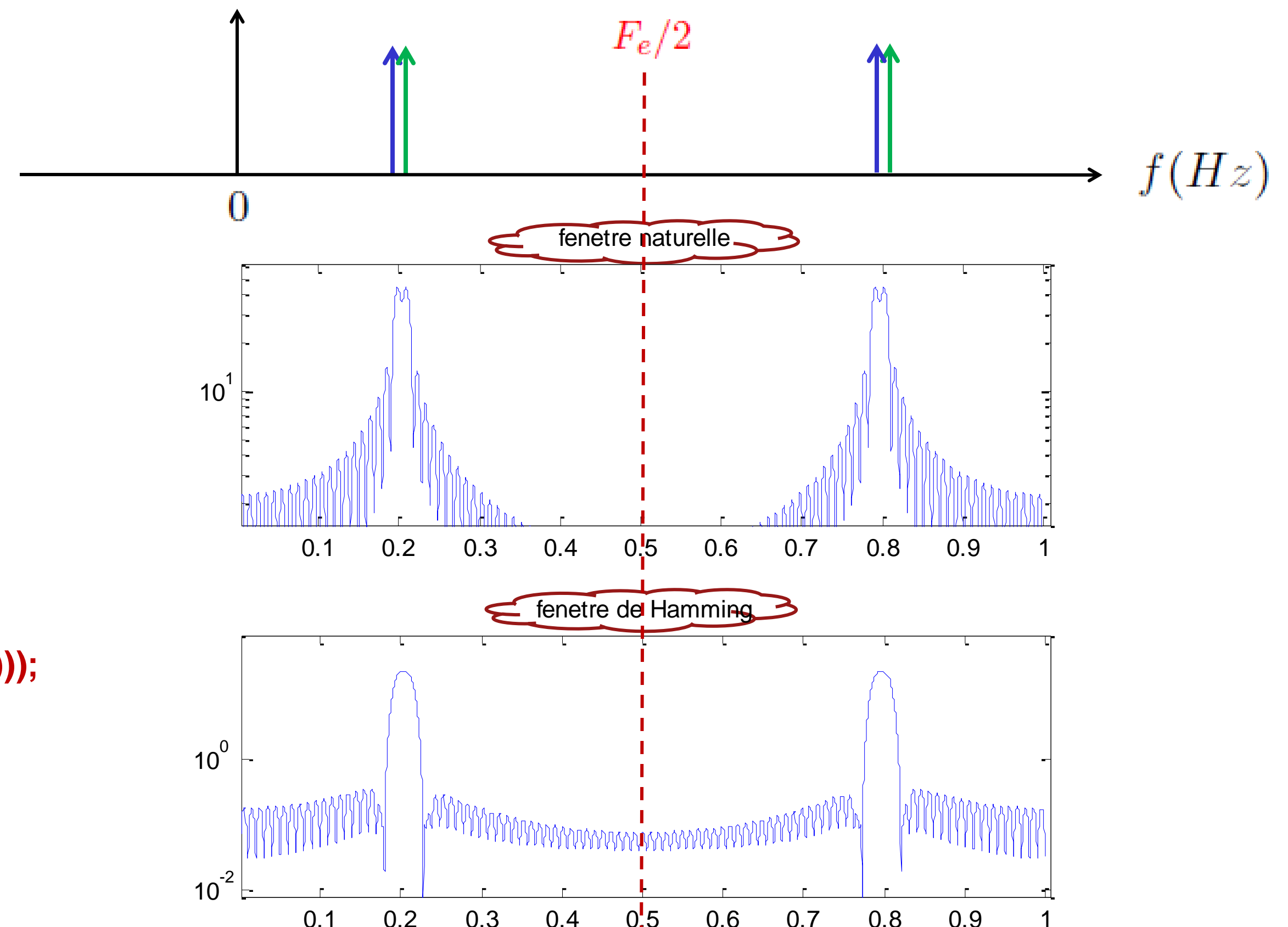
Utiliser d'autres fenêtres de troncature (fenêtre de pondération, d'apodisation) ?

Exemple 1 : somme de deux cosinus proches en fréquences

```
%Exemple1
%Paramètres
f1=200; %fréquence du cosinus 1
f2=207; %fréquence du cosinus 2
Fe=1000; %fréquence d'échantillonnage
Te=1/Fe; %période d'échantillonnage
N=100; %nombre d'échantillons
```

```
%Génération du signal
x1=cos(2*pi*f1*[0:Te:N*Te]);
x2=cos(2*pi*f2*[0:Te:N*Te]);
```

```
%fenêtre naturelle
x=x1+x2;
X_V1=fft(x,4096);
%fenêtre de hamming
w=window(@hamming,length(x));
x=(x1+x2).*w.;
X_V2=fft(x,4096);
%Tracés
figure
subplot(2,1,1)
plot(linspace(0,1,4096),log10(abs(X_V1)));
title('fenetre naturelle');
subplot(2,1,2)
plot(linspace(0,1,4096),log10(abs(X_V2)));
title('fenetre de Hamming');
```



Transformée de Fourier Discrète

Signal de durée limitée

Utiliser d'autres fenêtres de troncature (fenêtre de pondération, d'apodisation) ?

Exemple 2 : somme de deux cosinus proches de puissances différentes

```
%Exemple 2
%Paramètres
f1=200; %fréquence du cosinus 1
f2=320; %fréquence du cosinus 2
Fe=1000; %fréquence d'échantillonnage
Te=1/Fe; %période d'échantillonnage
N=100; %nombre d'échantillons
```

```
%Génération du signal
x1=cos(2*pi*f1*[0:Te:N*Te]);
x2=0.005*cos(2*pi*f2*[0:Te:N*Te]);
x=x1+x2;
```

%fenetre naturelle

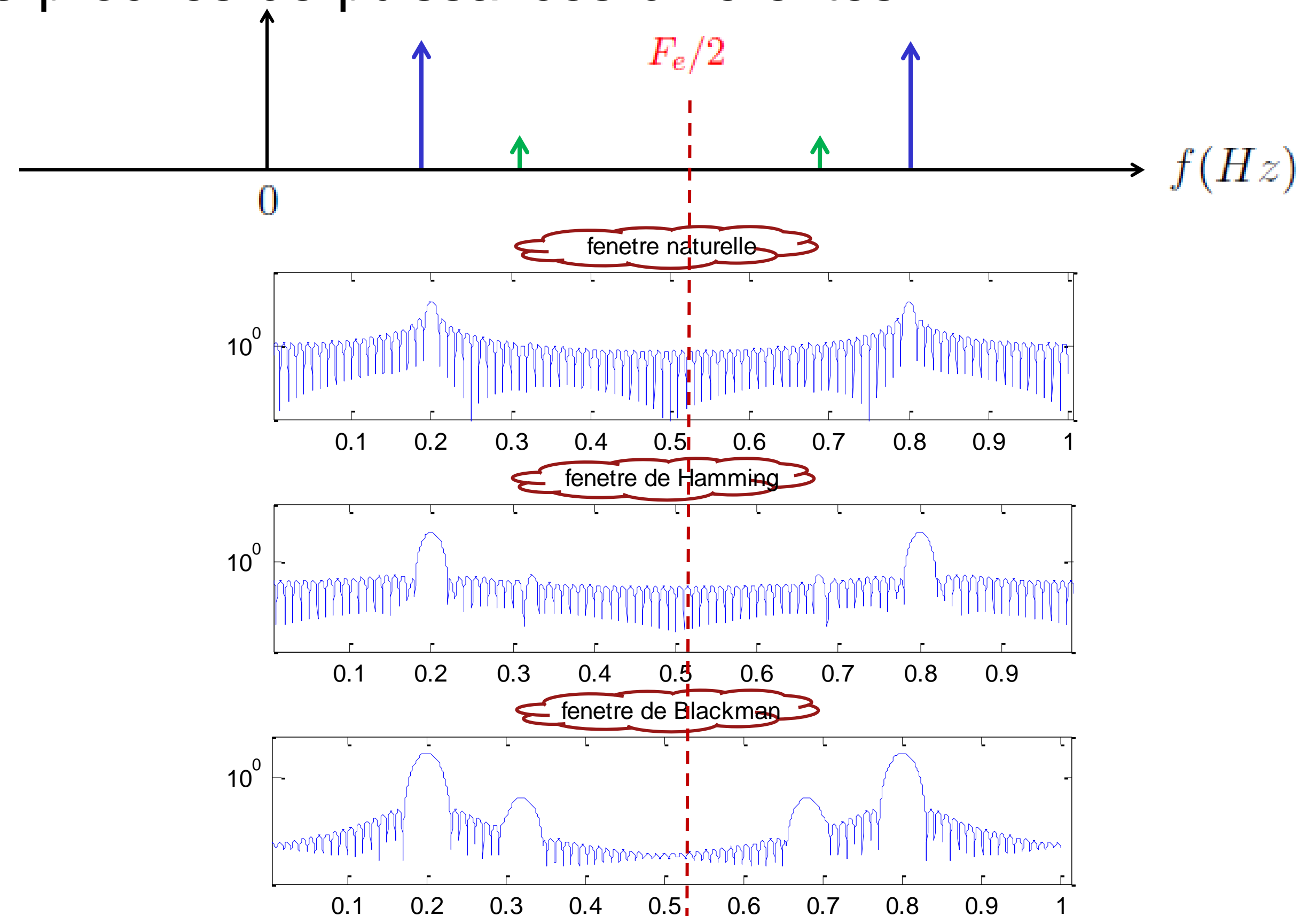
```
X=fft(x,4096);
figure
subplot(3,1,1)
semilogy(linspace(0,1,4096),abs(X));
axis([0 1 10^-5 10^5])
title('fenetre naturelle');
```

%fenetre de hamming

```
w=window(@hamming,length(x));
x=(x1+x2).*w.;
X=fft(x,4096);
subplot(3,1,2)
semilogy(linspace(0,1,4096),abs(X));
title('fenetre de Hamming');
```

%fenetre de blackman

```
w=window(@blackman,length(x));
%w=blackman(N);
x=(x1+x2).*w.;
X=fft(x,4096);
subplot(3,1,3)
semilogy(linspace(0,1,4096),abs(X));
title('fenetre de Blackman');
```

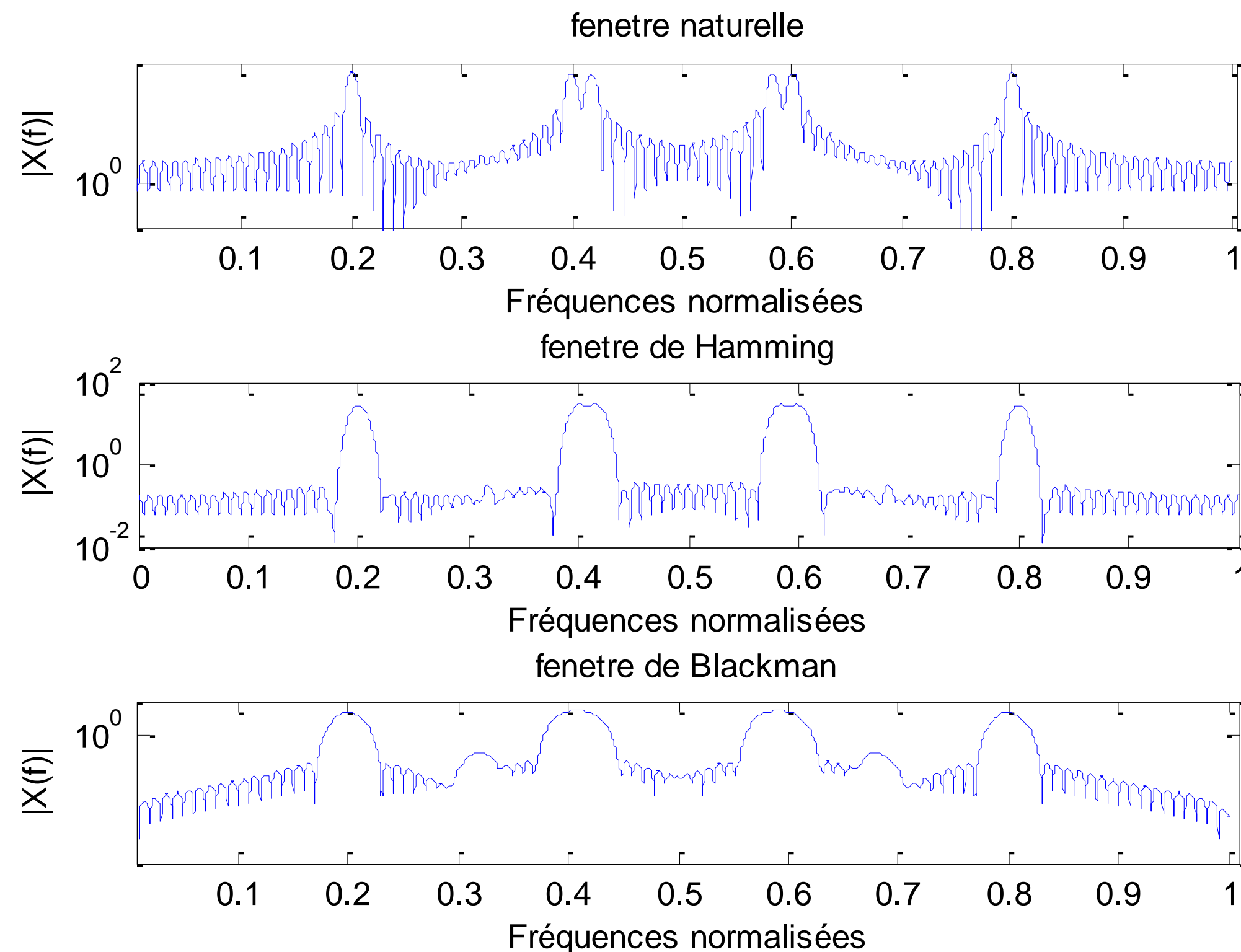


Transformée de Fourier Discrète

Signal de durée limitée

Utiliser d'autres fenêtres de troncature (fenêtre de pondération, d'apodisation) ?

Exemple 3



Ce signal est une somme de cosinus.

Il comprend :

- 1- Deux cosinus**
- 2- Trois cosinus**
- 3- Quatre cosinus**
- 4- Je ne sais pas répondre**

Signal ???

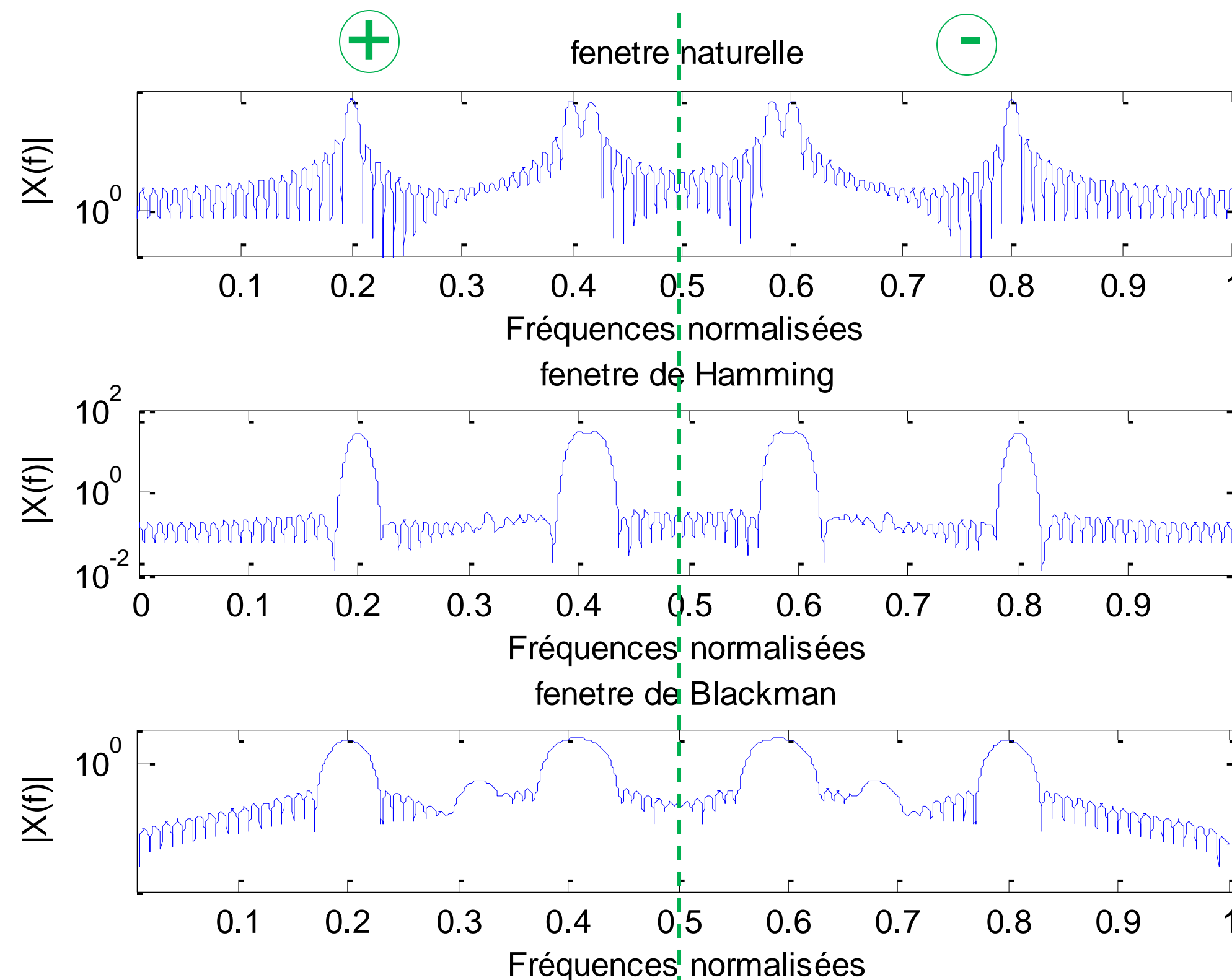


Transformée de Fourier Discrète

Signal de durée limitée

Utiliser d'autres fenêtres de troncature (fenêtre de pondération, d'apodisation) ?

Exemple 3



4 cosinus :
3 de puissances identiques
1 de plus faible puissance



3 cosinus
de puissances identiques



2 cosinus
de puissances identiques
Mais quelque chose de bizarre...



3 cosinus
de puissances différentes



Transformée de Fourier Discrète

Transformée de Fourier (TF)

$$X(f) = \int_{-\infty}^{+\infty} x(t)e^{-j2\pi ft}$$

Transformée de Fourier Discrète (TFD)

$$X(n) = \sum_{k=0}^{N-1} x(k)e^{-j2\pi \frac{kn}{N}}, \quad n = 0, \dots, N-1$$

Quels impacts ??



1- Echantillonnage temporel

$$x(t) \rightarrow \{x(kT_e)\}_{k=-\infty, \dots, +\infty}$$

2- Signal de durée limitée

$$x(t) \rightarrow x_L(t) = \begin{cases} x(t) & \text{pour } t \in [0, L] \\ 0 & \text{ailleurs} \end{cases}$$

⇒ Périodisation de la TFD

⇒ !! Respecter la condition de Shannon !!

⇒ !! Lecture des tracés !!

⇒ Distorsion de la TFD attendue (analyse spectrale numérique avec pouvoir séparateur limité et apparition d'ondulations)

⇒ Utilisation de plusieurs fenêtres de pondération

Transformée de Fourier Discrète

Signal échantillonné et de durée limitée

Exemple

$$x(t) = \cos(2\pi f_0 t); f_0 = 100 \text{ Hz}$$

Code Matlab :

```
%Paramètres
f0=100; %fréquence du cosinus
Fe=1000; %fréquence d'échantillonnage
Te=1/Fe; %période d'échantillonnage
N=101; %nombre d'échantillons

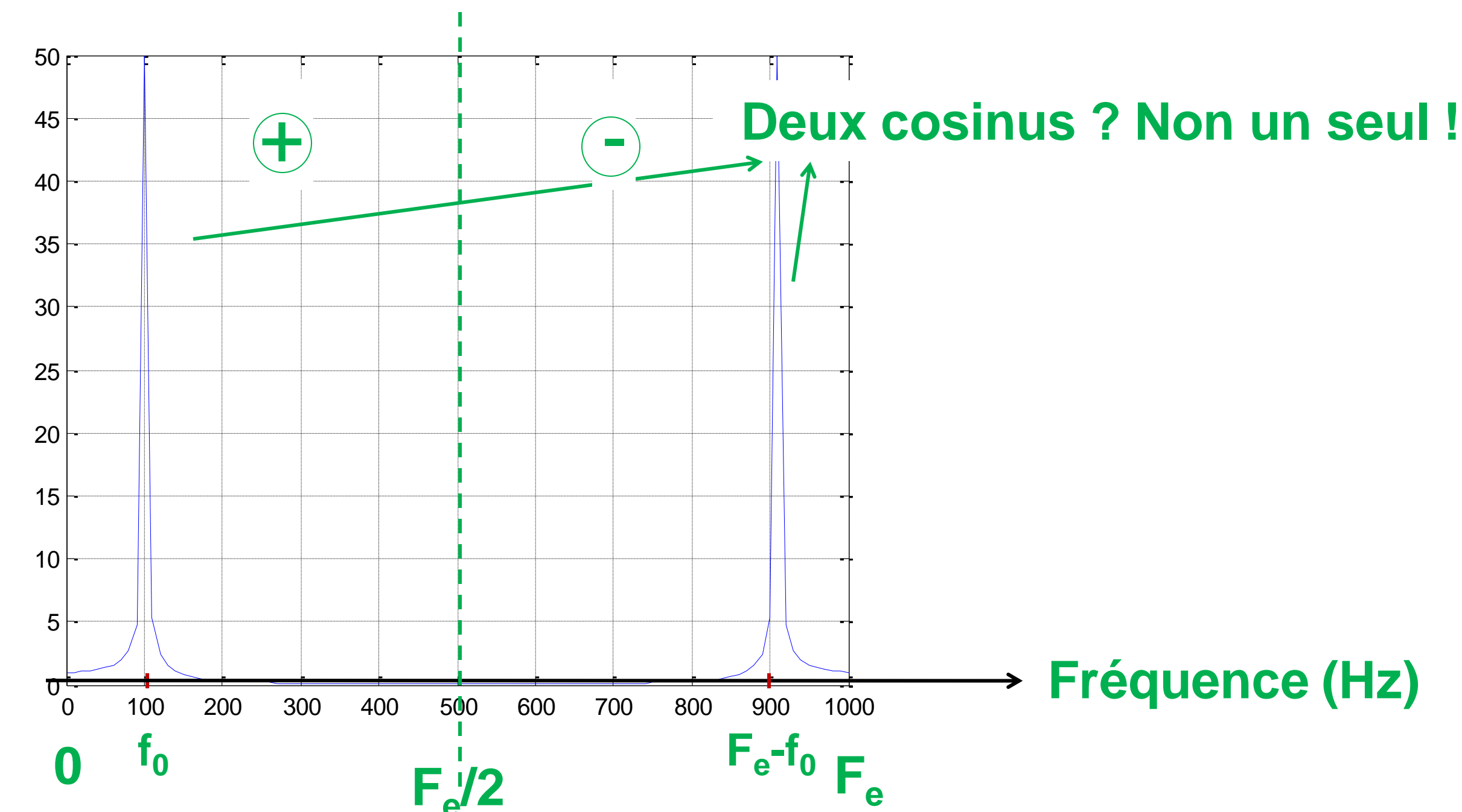
%Génération du signal
x=cos(2*pi*f0*[0:Te:(N-1)*Te]);

%Tracé du signal
figure; plot(x)

%Calcul de la TFD du signal
X=fft(x);

%Tracé du module de la TFD du signal
figure
plot(linspace(0,Fe,length(X)),abs(X))
```

Tracé du module de la TFD obtenu :



Transformée de Fourier Discrète

Signal échantillonné et de durée limitée

Exemple

$$x(t) = \cos(2\pi f_0 t); \quad f_0 = 100 \text{ Hz}$$

Code Matlab :

```
%Paramètres
f0=100;    %fréquence du cosinus
Fe=1000;  %fréquence d'échantillonnage
Te=1/Fe;  %période d'échantillonnage
N=101;    %nombre d'échantillons

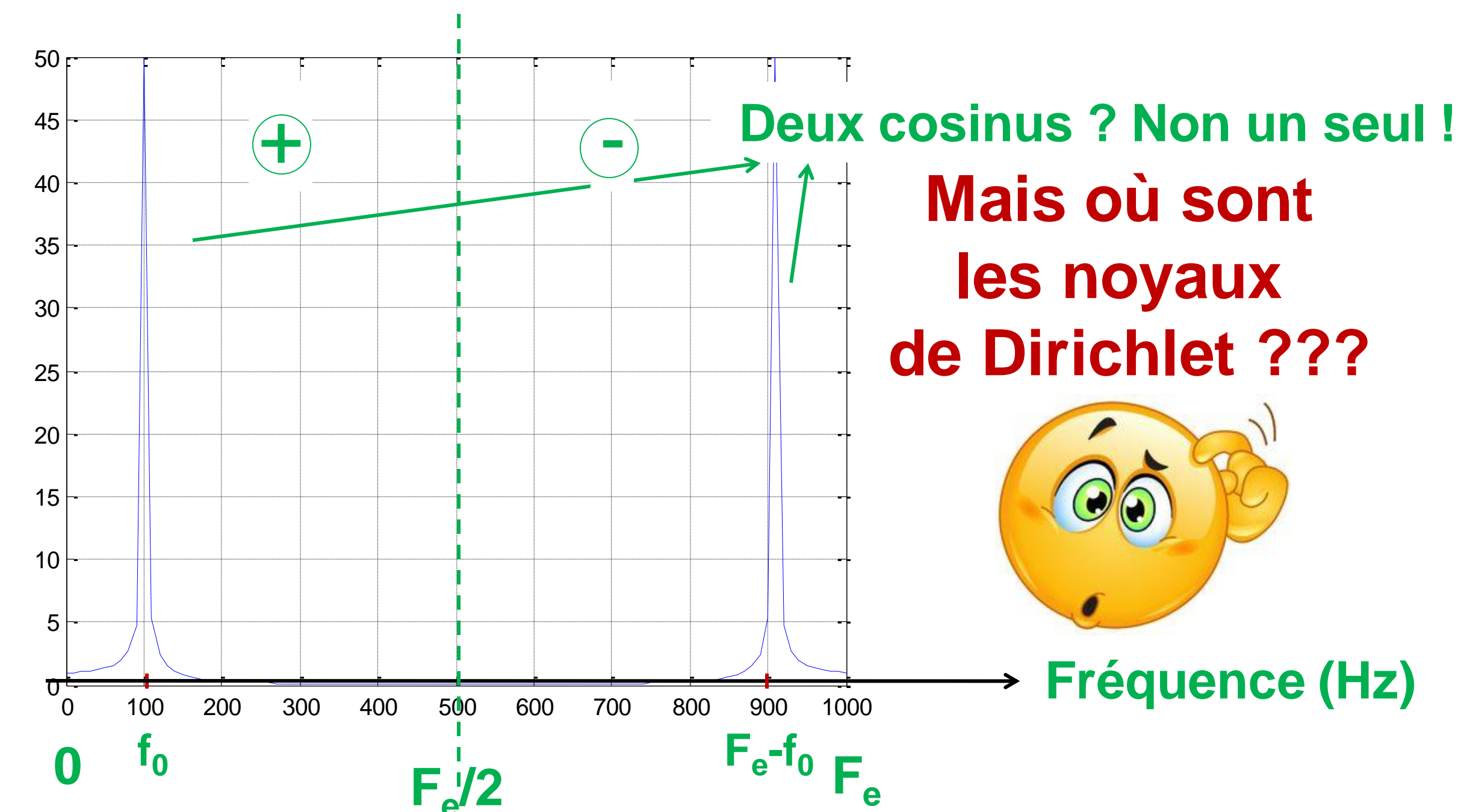
%Génération du signal
x=cos(2*pi*f0*[0:Te:(N-1)*Te]);

%Tracé du signal
figure; plot(x)

%Calcul de la TFD du signal
X=fft(x);

%Tracé du module de la TFD du signal
figure
plot(linspace(0,Fe,length(X)),abs(X))
```

Tracé du module de la TFD obtenu :

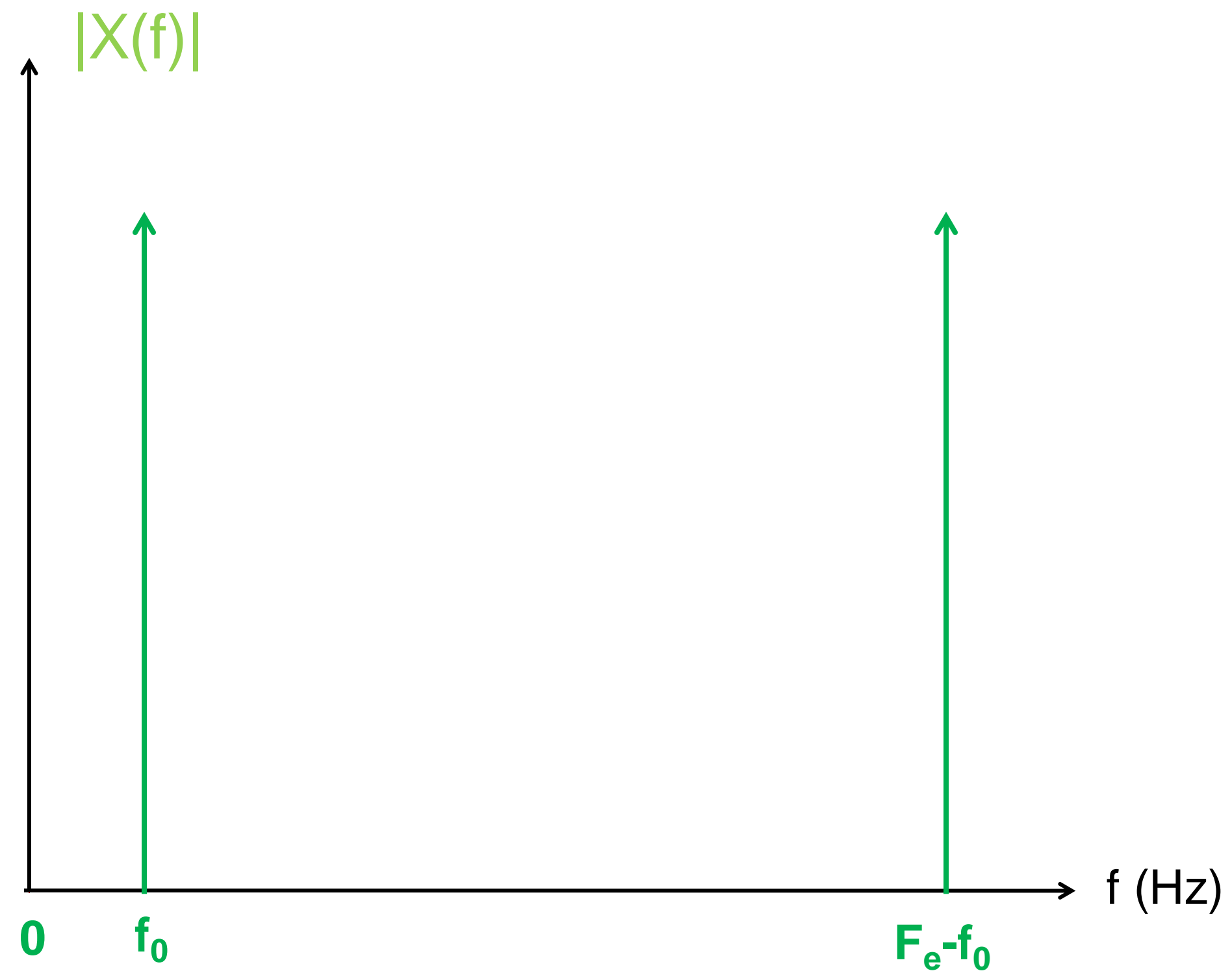


Transformée de Fourier Discrète

Echantillonnage de la TFD

Exemple

$$x(t) = \cos(2\pi f_0 t); \quad f_0 = 100 \text{ Hz}$$

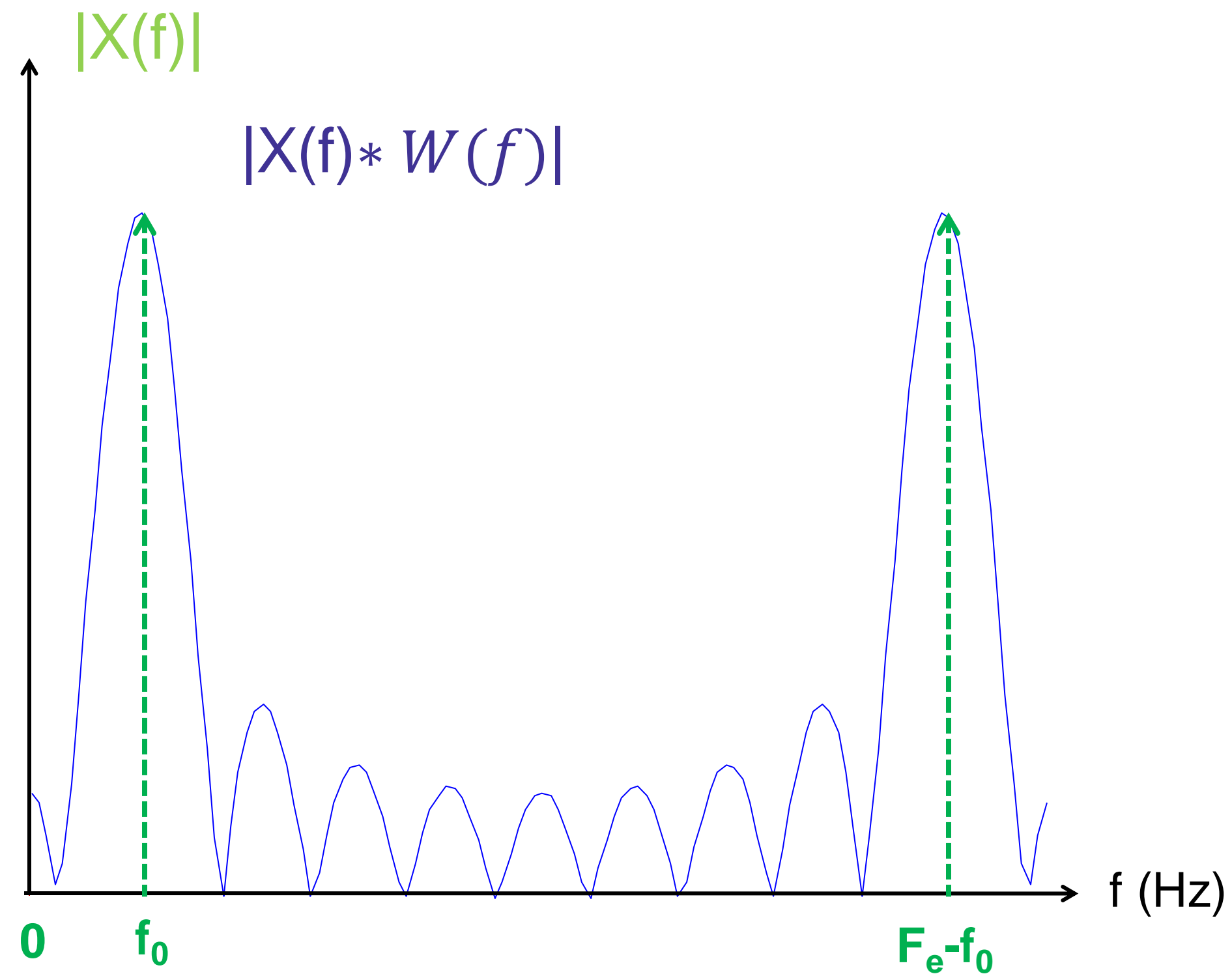


Transformée de Fourier Discrète

Echantillonnage de la TFD

Exemple

$$x(t) = \cos(2\pi f_0 t); \quad f_0 = 100 \text{ Hz}$$

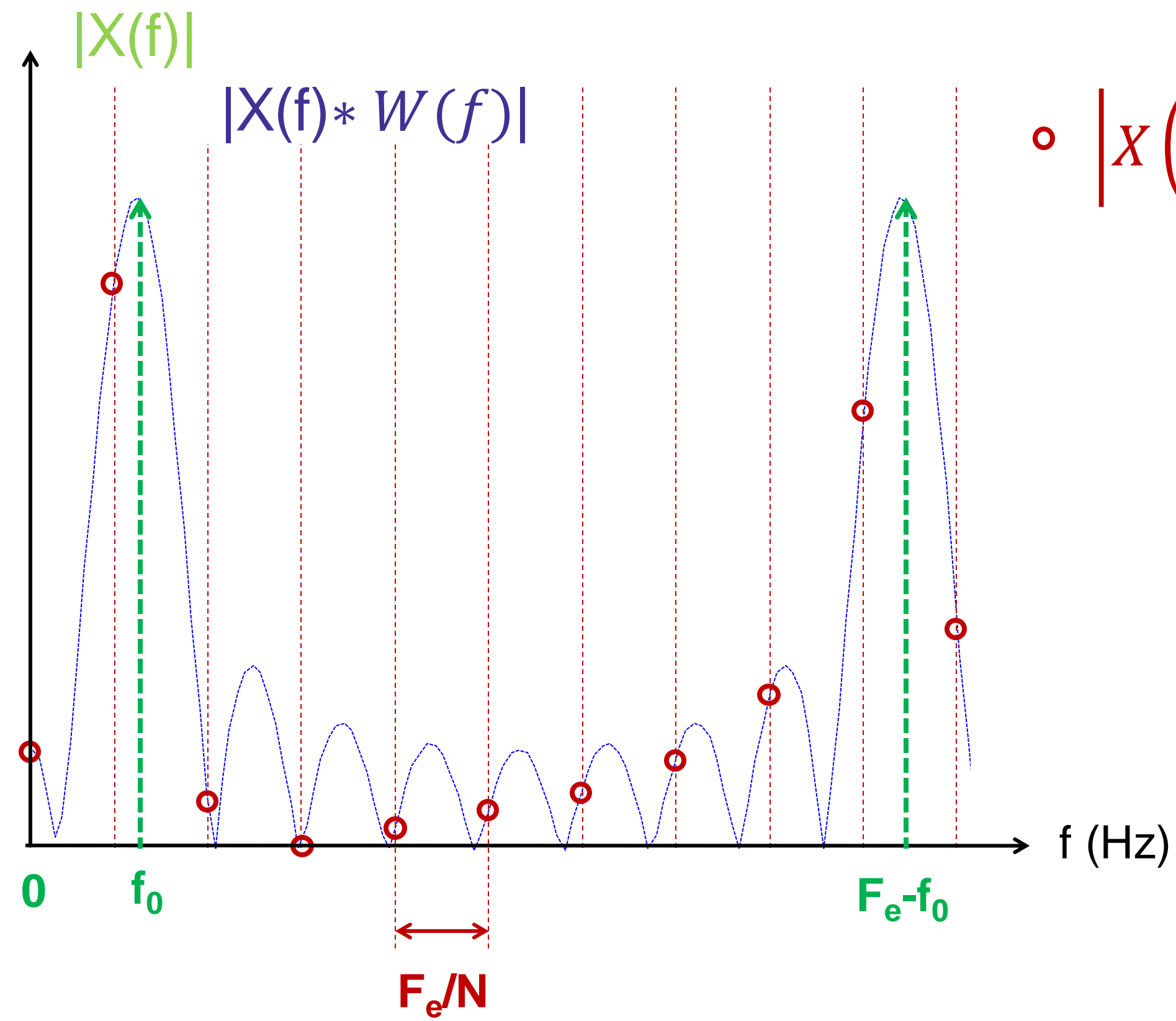


Transformée de Fourier Discrète

Echantillonnage de la TFD

Exemple

$$x(t) = \cos(2\pi f_0 t); \quad f_0 = 100 \text{ Hz}$$



- $\left| X \left(n \frac{F_e}{N} \right) \right|_{n=0, \dots, N-1}$

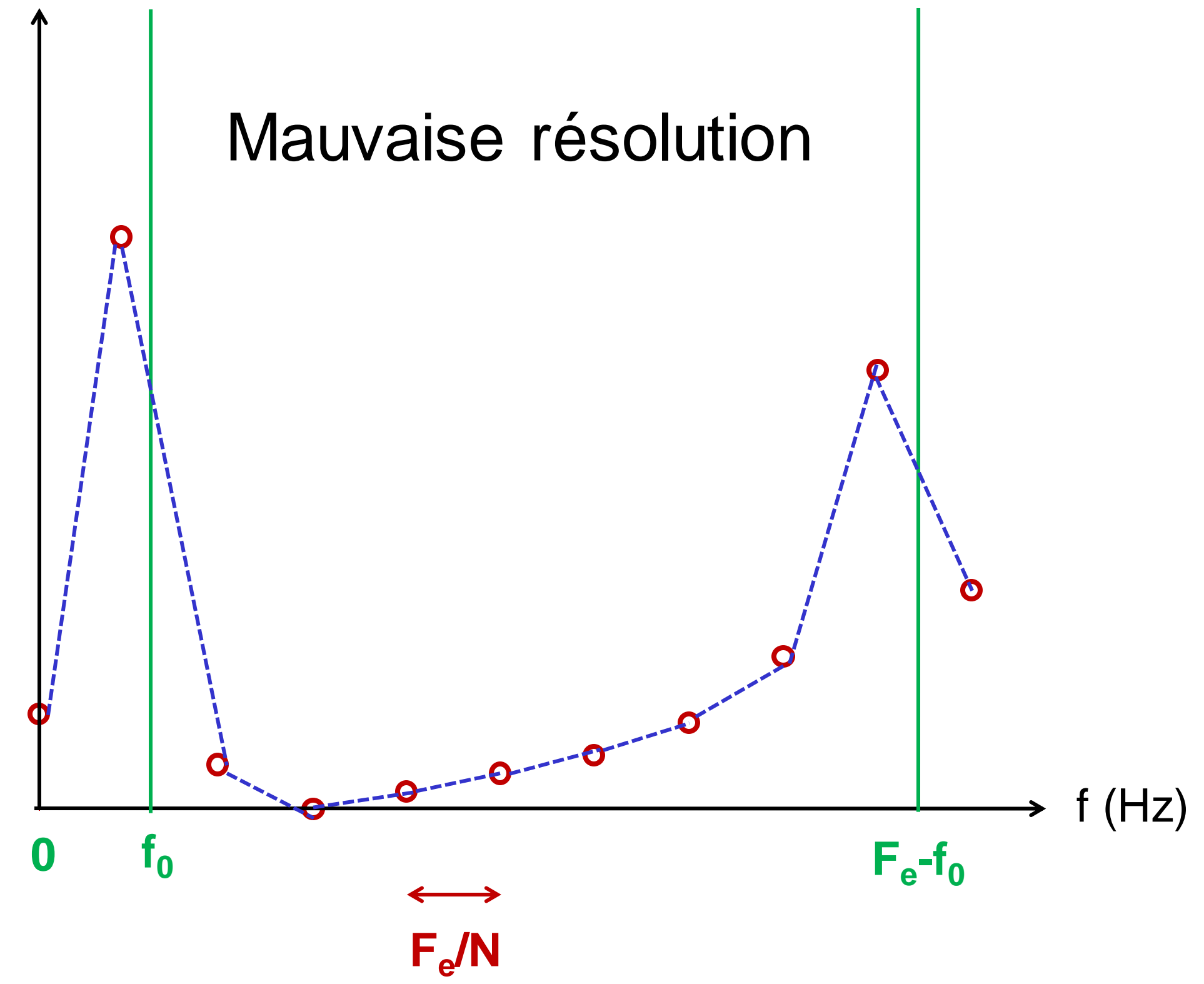
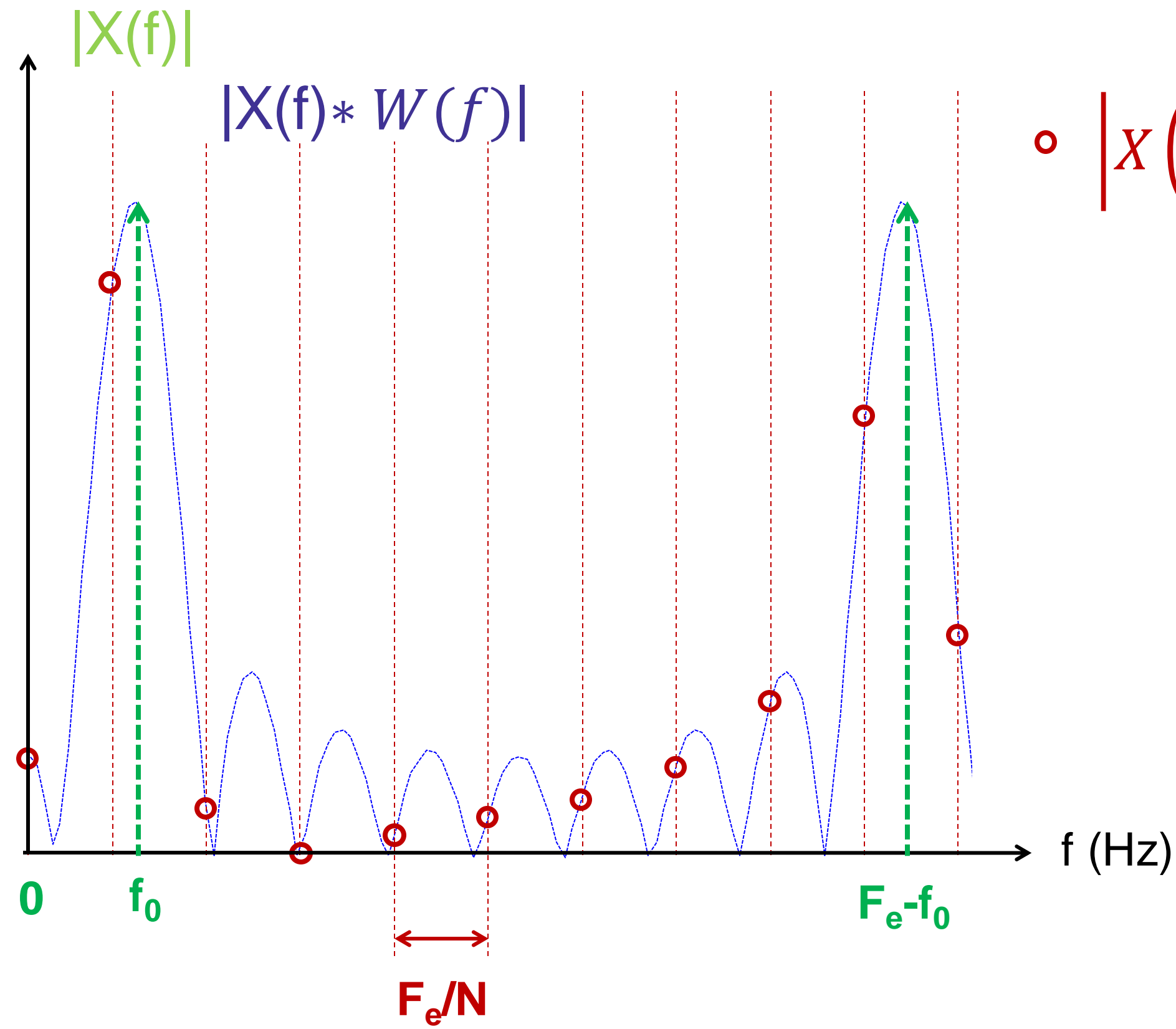
Transformée de Fourier Discrète

Echantillonnage de la TFD

Exemple

$$x(t) = \cos(2\pi f_0 t); \quad f_0 = 100 \text{ Hz}$$

- $\left| X\left(n \frac{F_e}{N}\right) \right|_{n=0, \dots, N-1}$



Transformée de Fourier Discrète

Echantillonnage de la TFD

Exemple

$$x(t) = \cos(2\pi f_0 t); \quad f_0 = 100 \text{ Hz}$$

Méthode du Zero padding :

$$y(k) \begin{cases} = x(k) & \text{for } k = 0, \dots, N-1 \\ = 0 & \text{for } k = N, \dots, MN-1 \end{cases}$$



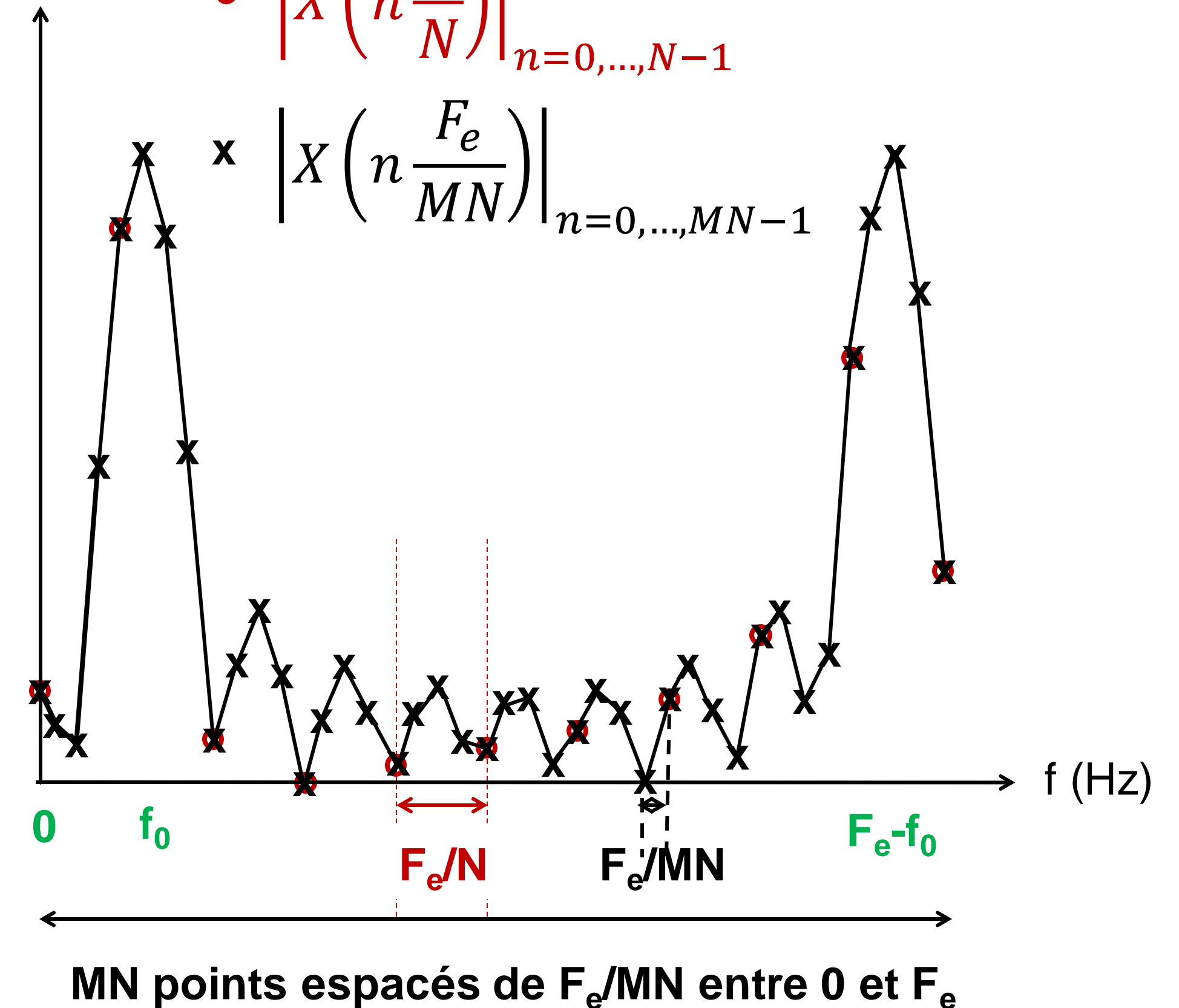
$$Y(n) = \sum_{k=0}^{N-1} x(k) e^{-j2\pi \frac{kn}{MN}}$$

$$\text{for } n = 0, \dots, MN-1$$

=> Interpolation de la TFD

$$\circ \left| X \left(n \frac{F_e}{N} \right) \right|_{n=0, \dots, N-1}$$

$$\times \left| X \left(n \frac{F_e}{MN} \right) \right|_{n=0, \dots, MN-1}$$



Transformée de Fourier Discrète

Echantillonnage de la TFD

Exemple

Code Matlab :

```
%Paramètres
f0=100;    %fréquence du cosinus
Fe=1000;  %fréquence d'échantillonnage
Te=1/Fe;  %période d'échantillonnage
N=100;    %nombre d'échantillons

%Génération du signal
x=cos(2*pi*f0*[0:Te:N*Te]);

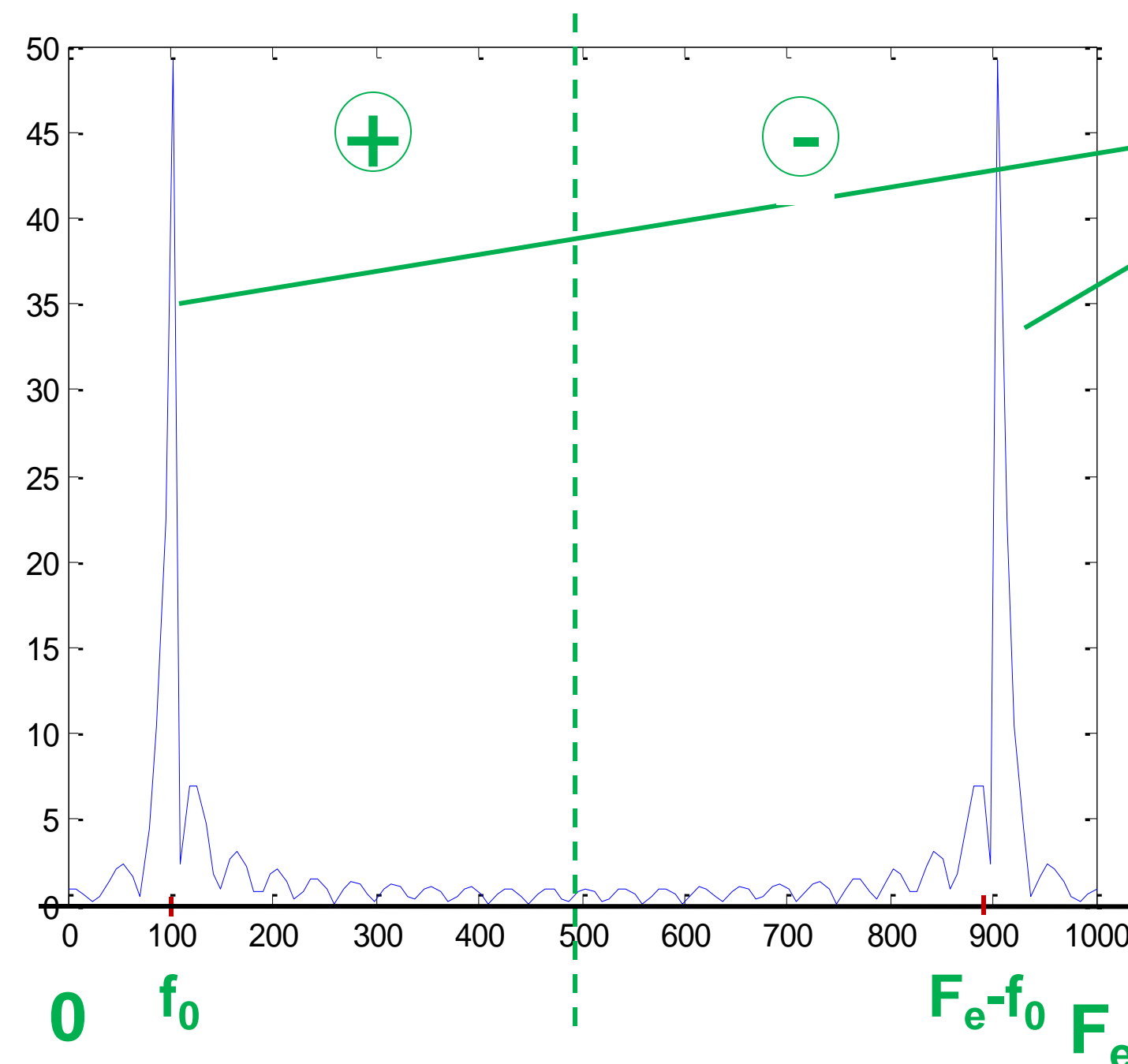
%Tracé du signal
figure; plot([0:Te:N*Te],x)

%Calcul de la TFD du signal
X=fft(x,128); Utilisation de Zero Padding

%Tracé du module de la TFD du signal
figure;
plot(linspace(0,Fe,length(X)),abs(X))
```

$$x(t) = \cos(2\pi f_0 t); f_0 = 100 \text{ Hz}$$

Tracé du module de la TFD obtenu :



Deux cosinus ? Non un seul !

**Voilà
les noyaux de Dirichlet !**



Fréquence (Hz)

Transformée de Fourier Discrète

Echantillonnage de la TFD

Exemple

$$x(t) = \cos(2\pi f_0 t); f_0 = 100 \text{ Hz}$$

Simulation sous Matlab :

```
%Paramètres
f0=100; %fréquence du cosinus
Fe=1000; %fréquence d'échantillonnage
Te=1/Fe; %période d'échantillonnage
N=100; %nombre d'échantillons

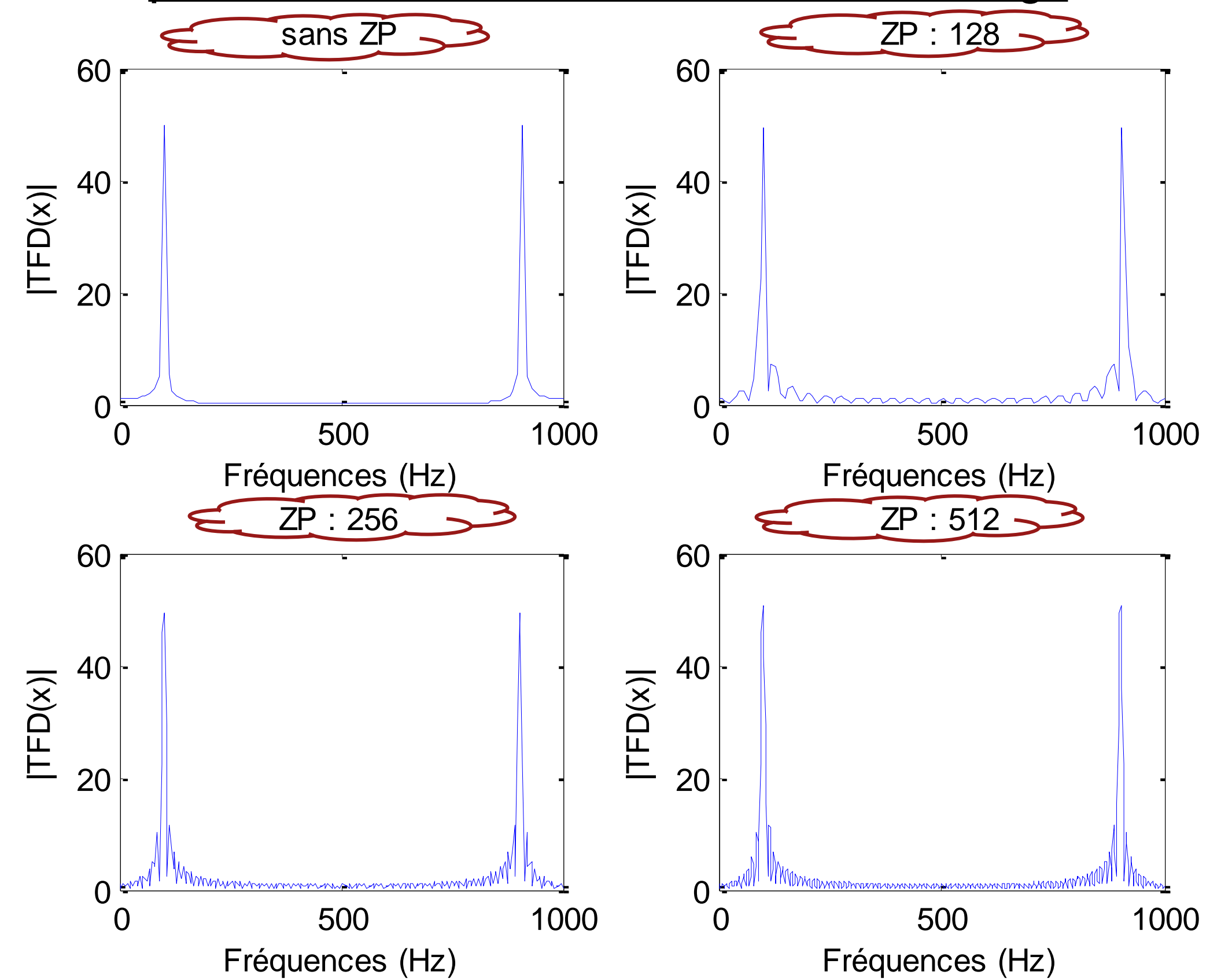
% Génération du signal
x=cos(2*pi*f0*[0:Te:N*Te]);

% Tracé du signal
figure; plot([0:Te:N*Te],x)

% Calcul de la TFD du signal
X1=fft(x);
X2=fft(x,128);
X3=fft(x,256);
X4=fft(x,512);

% Tracé du module de la TFD du signal
figure;
subplot(2,2,1)
plot(linspace(0,Fe,length(X1)),abs(X1))
xlabel('Fréquences (Hz)')
subplot(2,2,2)
plot(linspace(0,Fe,length(X2)),abs(X2))
xlabel('Fréquences (Hz)')
subplot(2,2,3)
plot(linspace(0,Fe,length(X3)),abs(X3))
xlabel('Fréquences (Hz)')
subplot(2,2,4)
plot(linspace(0,Fe,length(X4)),abs(X4))
xlabel('Fréquences (Hz)')
```

Tracé du module de la TFD du signal pour différentes valeurs de Zero Padding :



Transformée de Fourier Discrète

Transformée de Fourier (TF)

$$X(f) = \int_{-\infty}^{+\infty} x(t)e^{-j2\pi ft}$$

Quels impacts ??

Transformée de Fourier Discrète (TFD)

$$X(n) = \sum_{k=0}^{N-1} x(k)e^{-j2\pi \frac{kn}{N}}, \quad n = 0, \dots, N-1$$

1- Echantillonnage temporel

$$x(t) \rightarrow \{x(kT_e)\}_{k=-\infty, \dots, +\infty}$$

⇒ Périodisation de la TFD

⇒ !! Respecter la condition de Shannon !!

⇒ !! Lecture des tracés !!

2- Signal de durée limitée

$$x(t) \rightarrow x_L(t) = \begin{cases} x(t) & \text{pour } t \in [0, L] \\ 0 & \text{ailleurs} \end{cases}$$

⇒ Distorsion de la TFD attendue (analyse spectrale numérique avec pouvoir séparateur limité et apparition d'ondulations)

⇒ Utilisation de plusieurs fenêtres de pondération

3- Echantillonnage fréquentiel

$$X(f) \rightarrow \{X(n\Delta f)\}_{n=0, \dots, N-1}$$

⇒ Mauvaise visualisation de la TFD obtenue
(résolution insuffisante)

⇒ Interpolation fréquentielle par Zero Padding

Transformée de Fourier Discrète

Transformée de Fourier Discrète (TFD)

$$X(n) = \sum_{k=0}^{N-1} x(k) e^{-j2\pi \frac{kn}{N}}, \quad n = 0, \dots, N - 1$$

Transformée de Fourier Discrète Inverse (TFD⁻¹)

$$x(k) = \frac{1}{N} \sum_{n=0}^{N-1} X(n) e^{+j2\pi \frac{kn}{N}}, \quad k = 0, \dots, N - 1$$

Transformée de Fourier Discrète

Propriétés

→ Linéarité $TFD [x_1(k) + \lambda x_2(k)] = TFD [x_1(k)] + \lambda TFD [x_2(k)]$

→ Translation => rotation de phase $TFD [x(k - k_0)] = X(n) e^{-j2\pi \frac{k_0 n}{N}}$

→ Symétrie hermitienne $X(N - n) = X(-n) = X^*(n)$.

→ Convolution circulaire $X_1(n) X_2(n) \xrightarrow{TFD^{-1}} x_1(k) \otimes x_2(k) = \sum_{p=0}^{N-1} x_1(p) x_2([k - p]_{modulo N})$

→ Egalité de Parseval $\sum_{k=0}^{N-1} |x(k)|^2 = \frac{1}{N} \sum_{n=0}^{N-1} |X(n)|^2$

→ Algorithme de calcul rapide (Fast Fourier Transform Algorithm : FFT) : $N \log_2(N)$ MAC $\ll N^2$ pour N points

Transformée de Fourier Discrète

Propriétés

→ Linéarité $TFD [x_1(k) + \lambda x_2(k)] = TFD [x_1(k)] + \lambda TFD [x_2(k)]$

→ Translation => rotation de phase $TFD [x(k - k_0)] = X(n) e^{-j2\pi \frac{k_0 n}{N}}$

→ Symétrie hermitienne $X(N - n) = X(-n) = X^*(n)$.

!! La TFD et la TFD⁻¹ transforment un produit en produit de convolution circulaire !!

→ Convolution circulaire $X_1(n) X_2(n) \xrightarrow{TFD^{-1}} x_1(k) \otimes x_2(k) = \sum_{p=0}^{N-1} x_1(p) x_2([k - p]_{modulo N})$

→ Egalité de Parseval $\sum_{k=0}^{N-1} |x(k)|^2 = \frac{1}{N} \sum_{n=0}^{N-1} |X(n)|^2$

→ Algorithme de calcul rapide (Fast Fourier Transform Algorithm : FFT) : $N \log_2(N)$ MAC $\ll N^2$ pour N points

Transformée de Fourier Discrète

Convolution circulaire

Convolution lineaire (« classique ») :

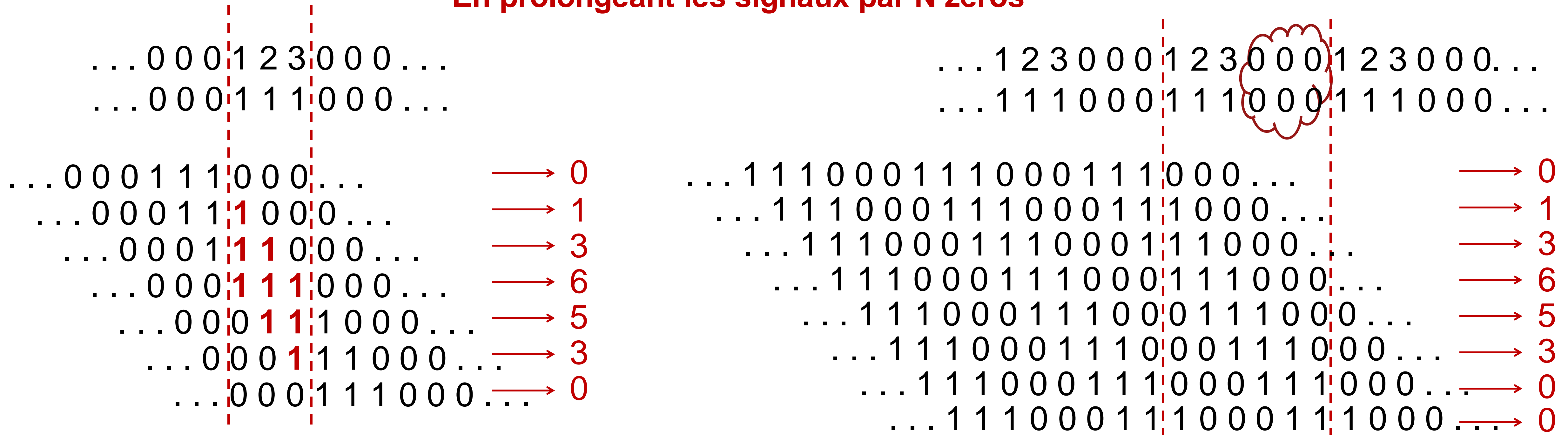
$$(x_1 * x_2)(k) = \sum_{p=-\infty}^{+\infty} x_1(p)x_2(k-p)$$

Convolution circulaire :

$$(x_1 \otimes x_2)(k) = \sum_{p=-\infty}^{+\infty} x_1(p)x_2((k-p)_{\text{modulo } N})$$



En prolongeant les signaux par N zéros



Transformée de Fourier Discrète

Algorithme de la FFT (Cooley Tuckey)

TFD d'ordre $N = 2^p \Rightarrow N^2$ opérations (+/x)

$$X(n) = \sum_{k=0}^{N-1} x(k) \times e^{-j2\pi \frac{kn}{MN}} = \sum_{k=0}^{N-1} x(k) \times W_N^{-kn} \quad n = 0, \dots, N-1$$

Transformée de Fourier Discrète

Algorithme de la FFT (Cooley Tuckey)

TFD d'ordre $N = 2^p \Rightarrow N^2$ opérations (+/x)

$$X(n) = \sum_{k=0}^{N-1} x(k) \times e^{-j2\pi \frac{kn}{N}} = \sum_{k=0}^{N-1} x(k) \times W_N^{-kn} \quad n = 0, \dots, N-1$$

Première décomposition $\Rightarrow N + 2(N/2)^2 = N + N^2/2 < N^2$ opérations (+/x)

$$X(n) = X_1(n) + W_N^{-n} \times X_2(n), \quad n = 0, \dots, N-1 \quad N \text{ opérations (+/x)}$$

$$\begin{array}{ccc} \text{Indices pairs} & & \text{Indices impairs} \\ \text{(TFD d'ordre } N/2) & X_1(n) = \sum_{i=0}^{N/2-1} x(2i) W_{N/2}^{-in}, \quad i = 0, \dots, N/2-1 & X_2(n) = \sum_{i=0}^{N/2-1} x(2i+1) W_{N/2}^{-in}, \quad i = 0, \dots, N/2-1 & \text{TFD d'ordre } N/2 \end{array}$$

Transformée de Fourier Discrète

Algorithme de la FFT (Cooley Tuckey)

TFD d'ordre $N = 2^p \Rightarrow N^2$ opérations (+/x)

$$X(n) = \sum_{k=0}^{N-1} x(k) \times e^{-j2\pi \frac{kn}{N}} = \sum_{k=0}^{N-1} x(k) \times W_N^{-kn} \quad n = 0, \dots, N-1$$

Première décomposition $\Rightarrow N + 2(N/2)^2 = N + N^2/2 < N^2$ opérations (+/x)

$$X(n) = X_1(n) + W_N^{-n} \times X_2(n), \quad n = 0, \dots, N-1 \quad N \text{ opérations (+/x)}$$

$$\begin{array}{ccc} \text{Indices pairs} & & \text{Indices impairs} \\ \text{(TFD d'ordre } N/2) & X_1(n) = \sum_{i=0}^{N/2-1} x(2i) W_{N/2}^{-in}, \quad i = 0, \dots, N/2-1 & X_2(n) = \sum_{i=0}^{N/2-1} x(2i+1) W_{N/2}^{-in}, \quad i = 0, \dots, N/2-1 & \text{TFD d'ordre } N/2 \end{array}$$

Deuxième décomposition $\Rightarrow 2(N/2) + 4(N/4)^2 = N + N^2/4 < N^2$ opérations (+/x)

$$\begin{array}{ccc} X_1(n) = X_{11}(n) + W_{N/2}^{-n} X_{12}(n) & & X_2(n) = X_{21}(n) + W_{N/2}^{-n} X_{22}(n) \\ \text{Indices pairs} & \text{Indices impairs} & \text{Indices pairs} & \text{Indices impairs} \end{array}$$

4 TFDs d'ordre N/4

Transformée de Fourier Discrète

Algorithme de la FFT (Cooley Tuckey)

TFD d'ordre $N = 2^p \Rightarrow N^2$ opérations (+/x)

$$X(n) = \sum_{k=0}^{N-1} x(k) \times e^{-j2\pi \frac{kn}{N}} = \sum_{k=0}^{N-1} x(k) \times W_N^{-kn} \quad n = 0, \dots, N-1$$

Première décomposition $\Rightarrow N + 2(N/2)^2 = N + N^2/2 < N^2$ opérations (+/x)

$$X(n) = X_1(n) + W_N^{-n} \times X_2(n), \quad n = 0, \dots, N-1 \quad N \text{ opérations (+/x)}$$

$$\begin{array}{ccc} \text{Indices pairs} & & \text{Indices impairs} \\ \text{(TFD d'ordre } N/2) & X_1(n) = \sum_{i=0}^{N/2-1} x(2i)W_{N/2}^{-in}, \quad i = 0, \dots, N/2-1 & X_2(n) = \sum_{i=0}^{N/2-1} x(2i+1)W_{N/2}^{-in}, \quad i = 0, \dots, N/2-1 & \text{TFD d'ordre } N/2 \end{array}$$

Deuxième décomposition $\Rightarrow 2(N/2) + 4(N/4)^2 = N + N^2/4 < N^2$ opérations (+/x)

$$\begin{array}{ccc} X_1(n) = X_{11}(n) + W_{N/2}^{-n} X_{12}(n) & & X_2(n) = X_{21}(n) + W_{N/2}^{-n} X_{22}(n) \\ \text{Indices pairs} & \text{Indices impairs} & \text{Indices pairs} & \text{Indices impairs} \end{array}$$

4 TFDs d'ordre N/4

⋮

$$p \frac{N}{2} \text{ TFD d'ordre } 2 \Rightarrow p \times \frac{N}{2} \times 2 = N \log_2(N) \text{ opérations (+/x)} \ll N^2$$

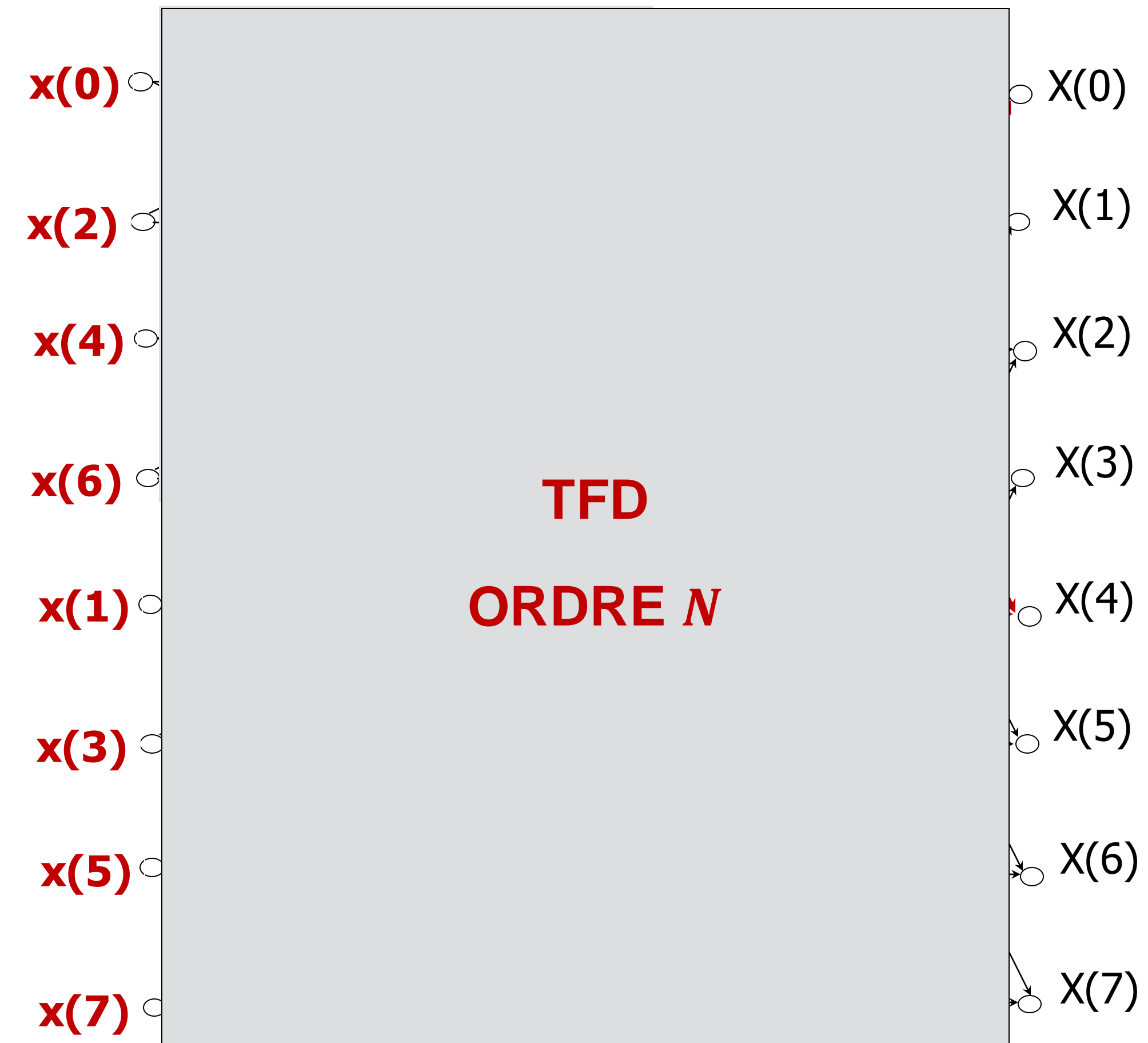
Transformée de Fourier Discrète

Algorithme de la FFT (Cooley Tuckey)

Exemple pour $N = 2^p = 2^3 = 8$ points de signal

$$X(n) = \sum_{k=0}^{N-1} x(k) e^{-j2\pi \frac{kn}{N}}, \quad n = 0, \dots, N - 1$$

$N^2 = 64$ opérations d'addition/multiplication (+/×)



Transformée de Fourier Discrète

Algorithme de la FFT (Cooley Tuckey)

Exemple pour $N = 2^p = 2^3 = 8$ points de signal

$$X(n) = X_1(n) + W_N^{-n} X_2(n), \quad n = 0, \dots, 7$$

sur $x(0), x(2), x(4), x(6)$

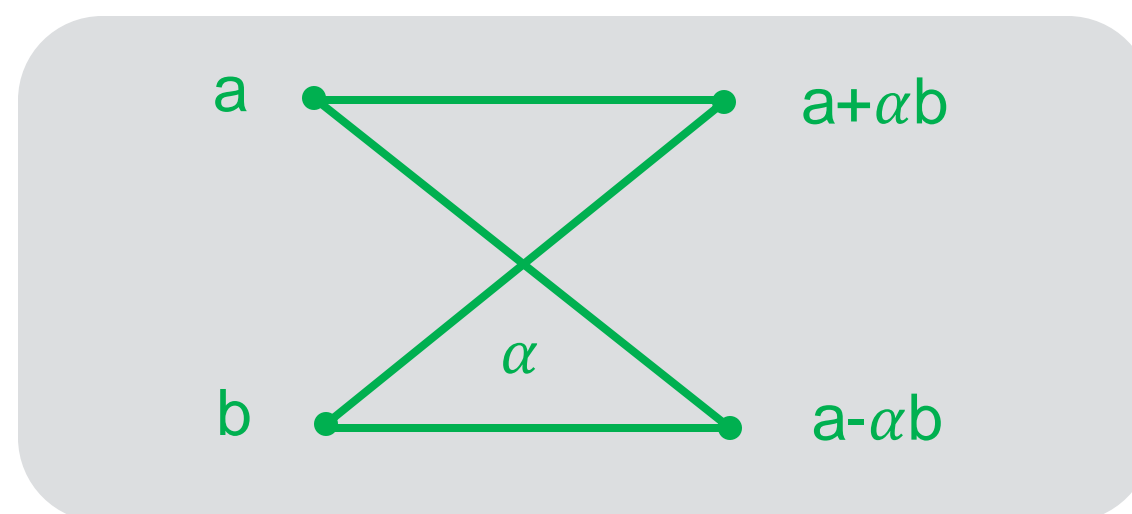
Etape 1

sur $x(1), x(3), x(5), x(7)$

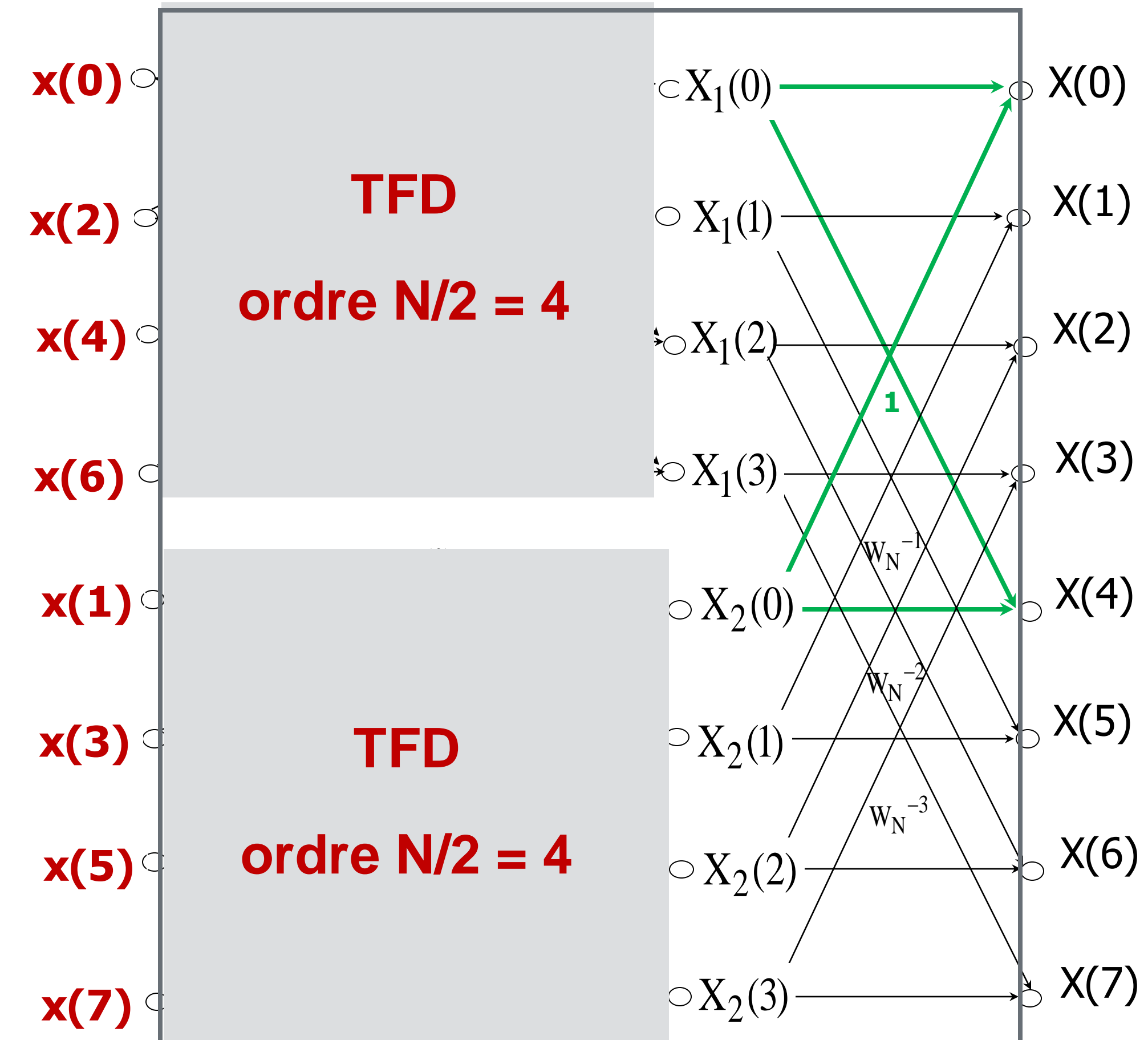
Indices pairs
(TFD d'ordre $N/2 = 4$)

Indices impairs
(TFD d'ordre $N/2 = 4$)

$$2 \times \left(\frac{N}{2}\right)^2 + N = \frac{N^2}{2} + N = 40 < N^2 = 64 \text{ opérations (+/\times)}$$



Papillon de la FFT
= 2 opérations +/\times



Transformée de Fourier Discrète

Algorithme de la FFT (Cooley Tuckey)

Exemple pour $N = 2^p = 2^3 = 8$ points de signal

$$X(n) = X_1(n) + W_N^{-n} X_2(n), \quad n = 0, \dots, 7$$

sur $x(0), x(2), x(4), x(6)$

Etape 1

sur $x(1), x(3), x(5), x(7)$

Indices pairs
(TFD d'ordre $N/2 = 4$)

Indices impairs
(TFD d'ordre $N/2 = 4$)

$$X_1(n) = X_{11}(n) + W_{N/2}^{-n} X_{12}(n), \quad n = 0, \dots, 3$$

$$X_2(n) = X_{21}(n) + W_{N/2}^{-n} X_{22}(n), \quad n = 0, \dots, 3$$

sur $x(0), x(4)$

sur $x(2), x(6)$

Etape 2

sur $x(1), x(5)$

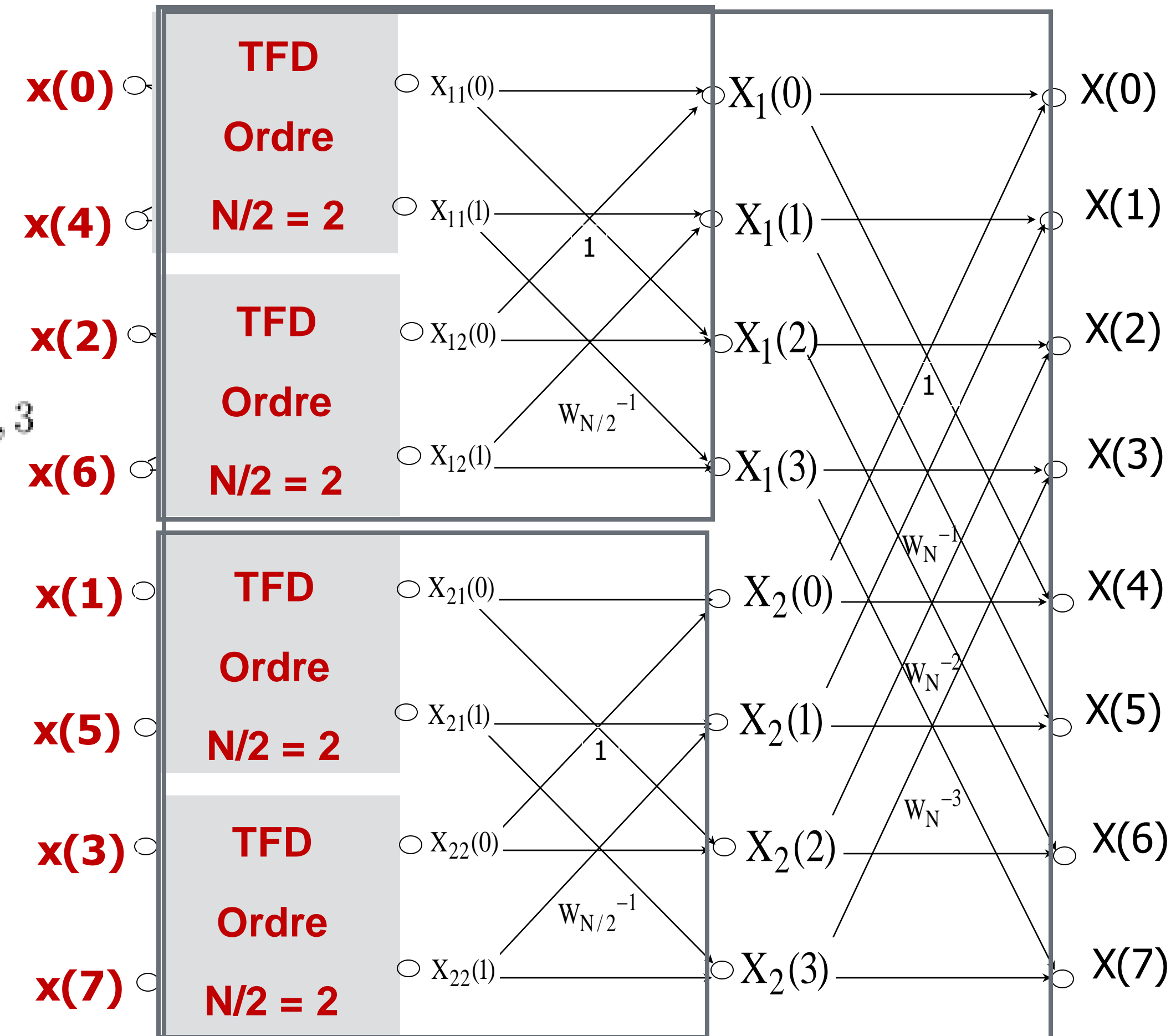
sur $x(3), x(7)$

Indices pairs
(TFD d'ordre $N/4=2$)

Indices impairs
(TFD d'ordre $N/4=2$)

Indices pairs
(TFD d'ordre $N/4=2$)

Indices impairs
(TFD d'ordre $N/4=2$)



Transformée de Fourier Discrète

Algorithme de la FFT (Cooley Tuckey)

Exemple pour $N = 2^p = 2^3 = 8$ points de signal

$$X(n) = X_1(n) + W_N^{-n} X_2(n), \quad n = 0, \dots, 7$$

sur $x(0), x(2), x(4), x(6)$

Etape 1

sur $x(1), x(3), x(5), x(7)$

Indices pairs
(TFD d'ordre $N/2 = 4$)

Indices impairs
(TFD d'ordre $N/2 = 4$)

$$X_1(n) = X_{11}(n) + W_{N/2}^{-n} X_{12}(n), \quad n = 0, \dots, 3$$

$$X_2(n) = X_{21}(n) + W_{N/2}^{-n} X_{22}(n), \quad n = 0, \dots, 3$$

sur $x(0), x(4)$

sur $x(2), x(6)$

Etape 2

sur $x(1), x(5)$

sur $x(3), x(7)$

Indices pairs
(TFD d'ordre $N/4=2$)

Indices impairs
(TFD d'ordre $N/4=2$)

Indices pairs
(TFD d'ordre $N/4=2$)

Indices impairs
(TFD d'ordre $N/4=2$)

$x(0)$ $X_{11}(0)$

$x(2)$ $X_{12}(0)$

$x(1)$ $X_{21}(0)$

$x(3)$ $X_{22}(0)$

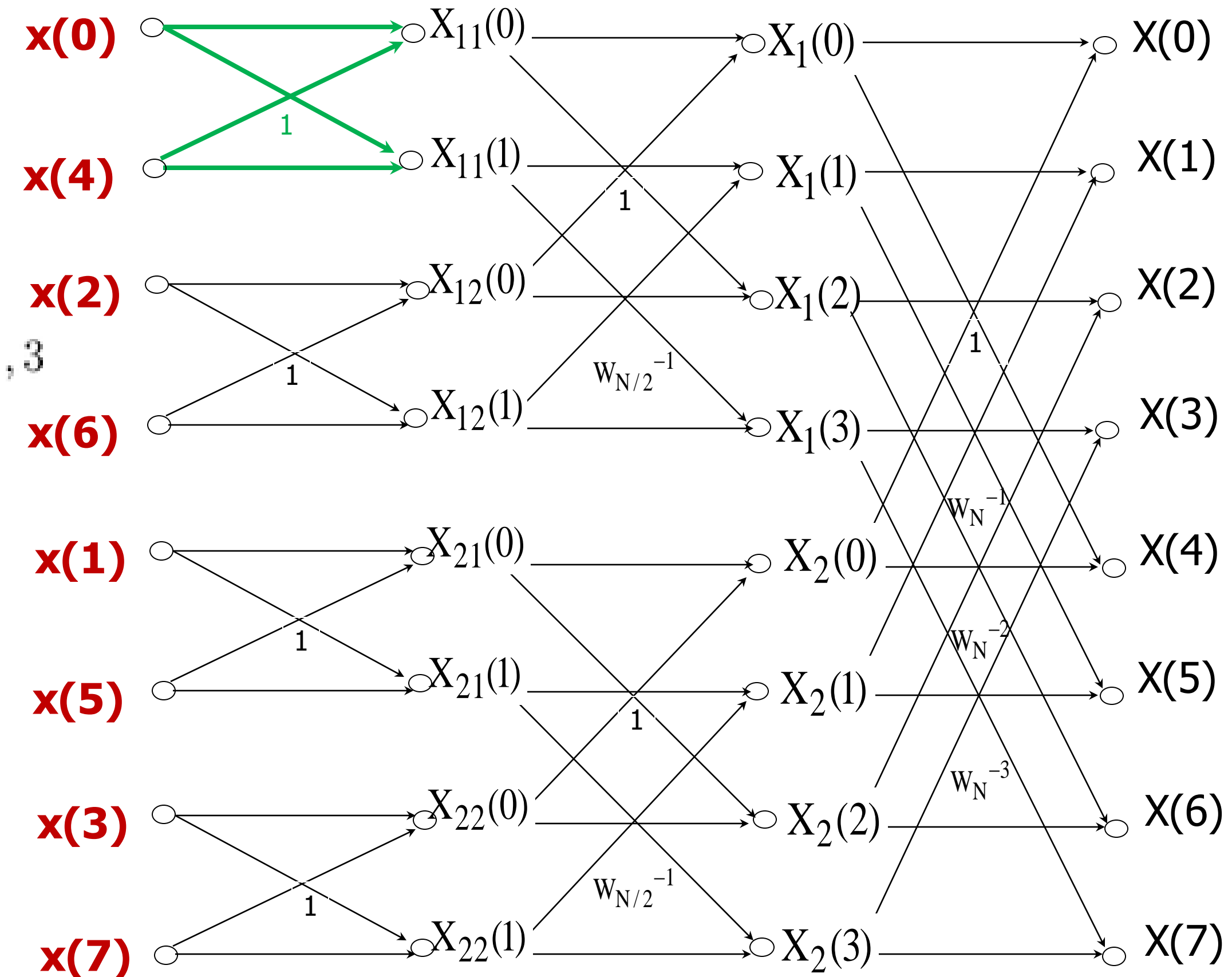
$x(4)$ $X_{11}(1)$

$x(6)$ $X_{12}(1)$

$x(5)$ $X_{21}(1)$

$x(7)$ $X_{22}(1)$

$$4 \times \left(\frac{N}{4}\right)^2 + 2 \times \left(\frac{N}{2}\right) = \frac{N^2}{4} + N = 24 < N^2 = 64 \text{ opérations (+/\times)}$$



Transformée de Fourier Discrète

Algorithme de la FFT (Cooley Tuckey)

Exemple pour $N = 2^p = 2^3 = 8$ points de signal

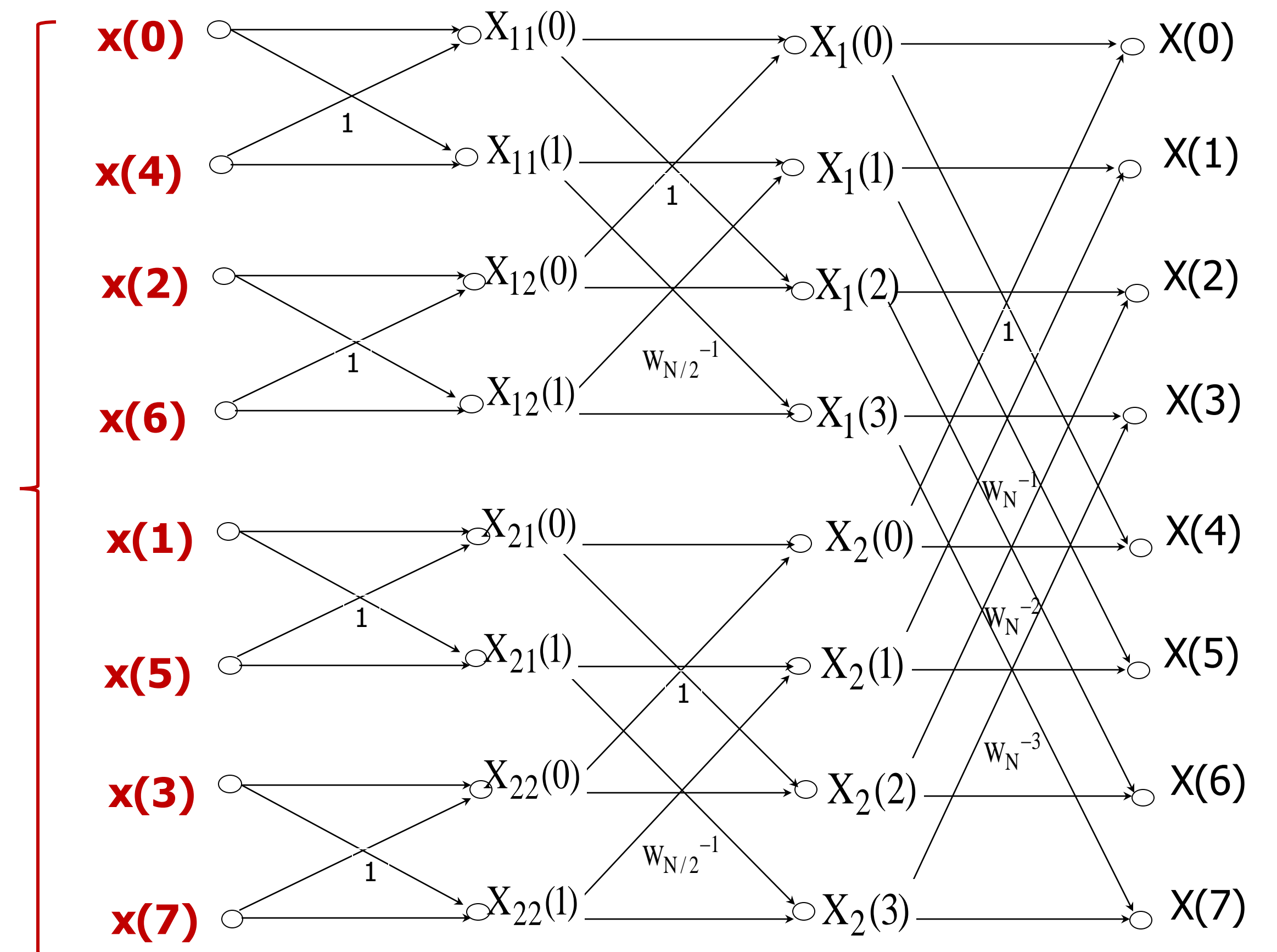
$$p \times \left(\frac{N}{2}\right) \times 2 = 24 < N^2 = 64 \text{ opérations (+/\times)}$$

Présentation des données à l'algorithme :

Entrelacement temporel

k	rep. binaire	renv. Bits	nouvel ind.	echantillon
0	"000"	"000"	0	x(0)
1	"001"	"100"	4	x(4)
2	"010"	"010"	2	x(2)
3	"011"	"110"	6	x(6)
4	"100"	"001"	1	x(1)
5	"101"	"101"	5	x(5)
6	"110"	"011"	3	x(3)
7	"111"	"111"	7	x(7)

algorithme de renversement de l'adresse binaire
(« bit reversal »)



Transformée de Fourier Discrète

En résumé

- Echantillonnage temporel => périodisation spectrale
 - Respecter la condition de Shannon
 - Attention à la lecture des tracés de la TFD, à la lecture de l'échelle fréquentielle
- Signal de durée limitée => distorsion de la TFD attendue (analyse spectrale numérique avec un pouvoir séparateur limité, apparition d'ondulations)
 - Utiliser plusieurs fenêtres de pondération du signal
 - => différents pouvoirs séparateurs, différents taux d'ondulation pour l'analyse spectrale numérique
- Echantillonnage spectral
 - Attention à la mauvaise visualisation de la TFD (résolution insuffisante)
 - => nécessité d'interpoler (méthode du zero padding)
 - TFD et TFD^{-1} transforment un produit en produit de convolution circulaire
 - => si besoin, convolution linéaire = convolution circulaire en prolongeant les signaux par des zéros
- Algorithme de calcul rapide : FFT = Fast Fourier Transform
 - Condition nombre de points de signal $N=2^p$ => décomposition en sous suites entrelacées
 - Temps de calcul : $N \log_2(N) \ll N^2$ (temps de calcul direct)

Traitement Numérique du signal

- 1- Signaux numériques
 - 2- Transformée de Fourier Discrète (TFD)
 - 3- Estimation des fonctions d'auto et d'inter corrélation**
 - 4- Estimation de la densité spectrale de puissance (DSP)
 - 5- Filtrage numérique linéaire
-

Fonctions d'inter et d'auto corrélation

→ Signaux déterministes

A énergie finie

$$R_{xy}(k) = \sum_{n=-\infty}^{+\infty} x(n)y^*(n-k)$$

A puissance moyenne finie non périodique

$$R_{xy}(k) = \lim_{N \rightarrow +\infty} \frac{1}{2N+1} \sum_{n=-N}^N x(n)y^*(n-k)$$

A puissance moyenne finie périodique de période N_0

$$R_{xy}(k) = \frac{1}{N_0} \sum_{n=0}^{N_0-1} x(n)y^*(n-k)$$

→ Signaux aléatoires

$$R_{xy}(k) = E [x(n)y^*(n-k)]$$

Fonctions d'inter et d'auto corrélation

→ Signaux aléatoires : première estimation possible

$$\hat{R}_{xy}(k) = \frac{1}{N} \sum_{n=0}^{N-1} x(n)y^*(n-k) \quad 0 \leq k \leq N-1$$

$$\hat{R}_{xy}(-k) = \hat{R}_{xy}^*(k)$$

(Symétrie hermitienne)

Exemple :

$$x(t) = \cos(2\pi f_0 t + \phi)$$

$$f_0 = 100 \text{ Hz};$$

$$\phi \text{ v.a. u.r. sur } [0, 2\pi]$$

Fonctions d'inter et d'auto corrélation

→ Signaux aléatoires : première estimation possible

$$\hat{R}_{xy}(k) = \frac{1}{N} \sum_{n=0}^{N-1} x(n)y^*(n-k) \quad 0 \leq k \leq N-1$$

$$\hat{R}_{xy}(-k) = \hat{R}_{xy}^*(k)$$

(Symétrie hermitienne)

Exemple :

$$x(t) = \cos(2\pi f_0 t + \phi)$$

$$f_0 = 100 \text{ Hz};$$

ϕ v.a. u.r. sur $[0, 2\pi]$

$$R_x(\tau) = \frac{A^2}{2} \cos(2\pi f_0 \tau)$$

Fonctions d'inter et d'auto corrélation

→ Signaux aléatoires : première estimation possible

$$\hat{R}_{xy}(k) = \frac{1}{N} \sum_{n=0}^{N-1} x(n)y^*(n-k) \quad 0 \leq k \leq N-1$$

$$\hat{R}_{xy}(-k) = \hat{R}_{xy}^*(k)$$

(Symétrie hermitienne)

Exemple :

$$x(t) = \cos(2\pi f_0 t + \phi)$$

$$f_0 = 100 \text{ Hz};$$

ϕ v.a. u.r. sur $[0, 2\pi]$

$$R_x(\tau) = \frac{A^2}{2} \cos(2\pi f_0 \tau)$$

Code Matlab :

```
%Paramètres
f0=100; %fréquence du cosinus
Fe=1000; %fréquence d'échantillonnage
Te=1/Fe; %période d'échantillonnage
N=100; %nombre d'échantillons

%Génération du signal
x=cos(2*pi*f0*[0:Te:N*Te]+rand*2*pi);

% Calcul et tracé de son autocorrélation biaisée
Rx=xcorr(x);
figure; plot([-N*Te:Te:N*Te],Rx);
xlabel('Temps (s)'); ylabel('R_x')
```

Fonctions d'inter et d'auto corrélation

→ Signaux aléatoires : première estimation possible

$$\hat{R}_{xy}(k) = \frac{1}{N} \sum_{n=0}^{N-1} x(n)y^*(n-k) \quad 0 \leq k \leq N-1$$

$$\hat{R}_{xy}(-k) = \hat{R}_{xy}^*(k)$$

(Symétrie hermitienne)

Exemple :

$$x(t) = \cos(2\pi f_0 t + \phi)$$

$$f_0 = 100 \text{ Hz};$$

ϕ v.a. u.r. sur $[0, 2\pi]$

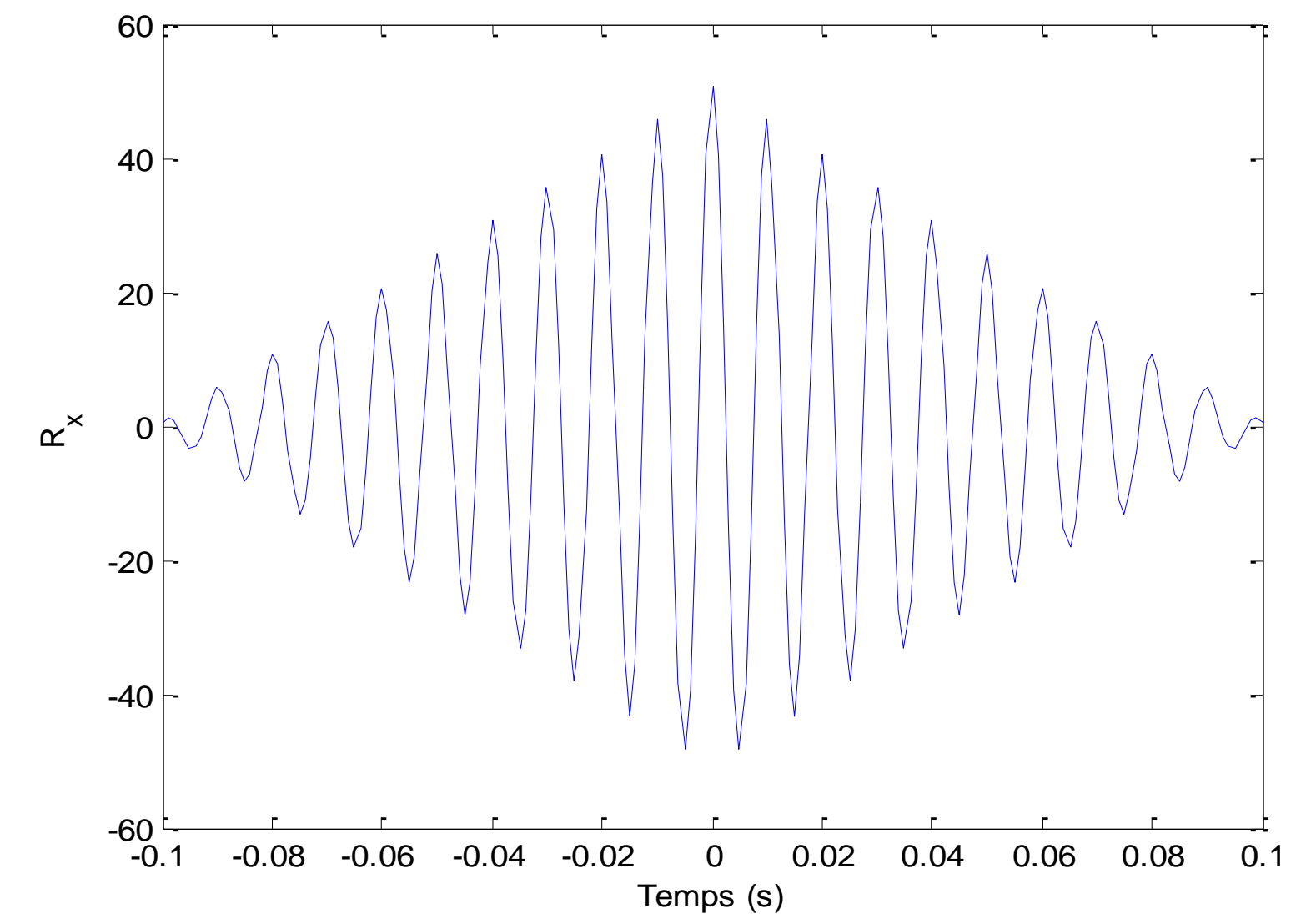
$$R_x(\tau) = \frac{A^2}{2} \cos(2\pi f_0 \tau)$$

Code Matlab :

```
%Paramètres
f0=100; %fréquence du cosinus
Fe=1000; %fréquence d'échantillonnage
Te=1/Fe; %période d'échantillonnage
N=100; %nombre d'échantillons

%Génération du signal
x=cos(2*pi*f0*[0:Te:N*Te]+rand*2*pi);

% Calcul et tracé de son autocorrélation biaisée
Rx=xcorr(x);
figure; plot([-N*Te:Te:N*Te],Rx);
xlabel('Temps (s)'); ylabel('R_x')
```



Fonctions d'inter et d'auto corrélation

→ Signaux aléatoires : première estimation possible

$$\hat{R}_{xy}(k) = \frac{1}{N} \sum_{n=0}^{N-1} x(n)y^*(n-k) \quad 0 \leq k \leq N-1$$

$$\hat{R}_{xy}(-k) = \hat{R}_{xy}^*(k)$$

(Symétrie hermitienne)

Exemple :

$$x(t) = \cos(2\pi f_0 t + \phi)$$

$$f_0 = 100 \text{ Hz};$$

ϕ v.a. u.r. sur $[0, 2\pi]$

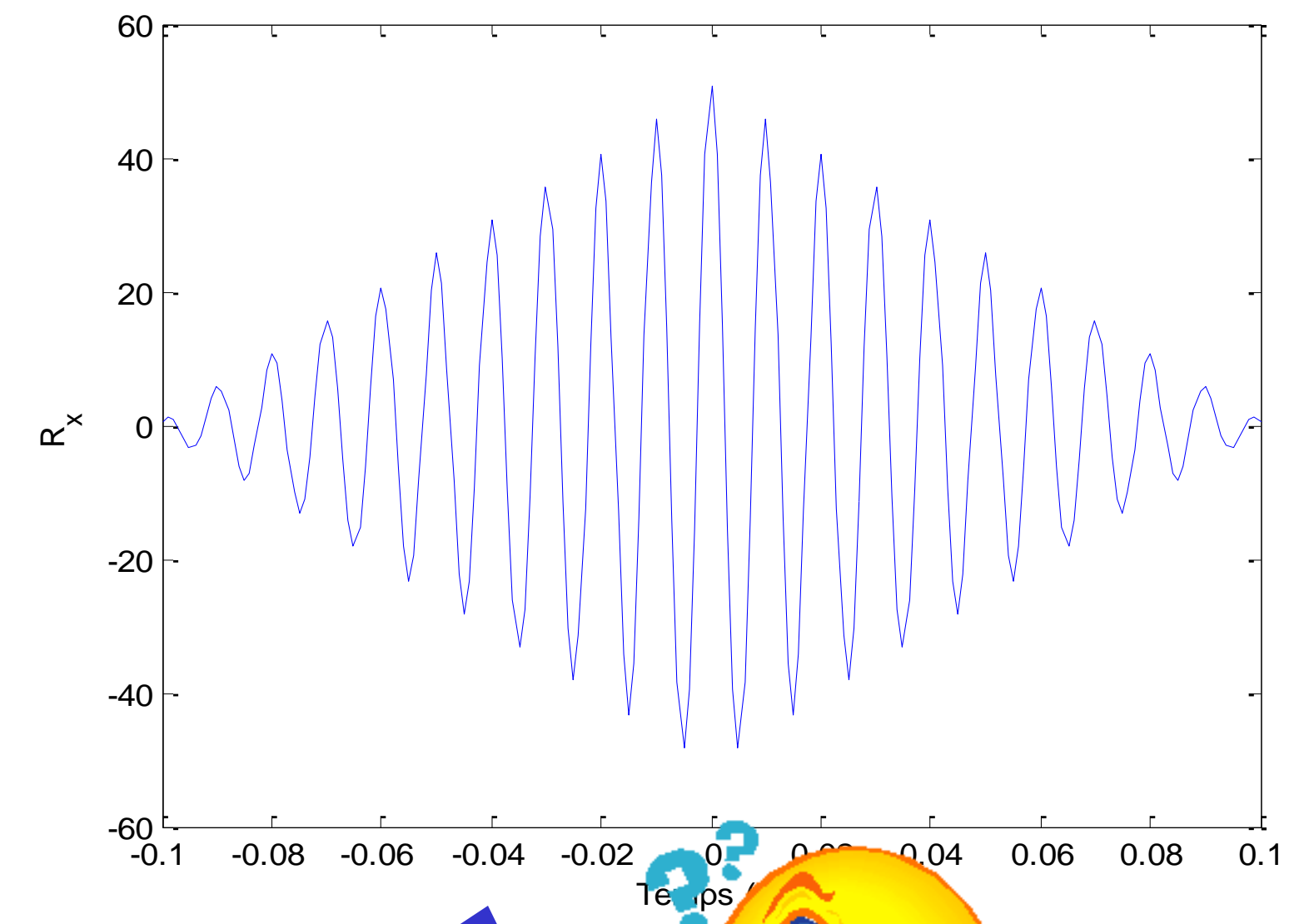
$$R_x(\tau) = \frac{A^2}{2} \cos(2\pi f_0 \tau)$$

Code Matlab :

```
%Paramètres
f0=100; %fréquence du cosinus
Fe=1000; %fréquence d'échantillonnage
Te=1/Fe; %période d'échantillonnage
N=100; %nombre d'échantillons

%Génération du signal
x=cos(2*pi*f0*[0:Te:N*Te]+rand*2*pi);

% Calcul et tracé de son autocorrélation biaisée
Rx=xcorr(x);
figure; plot([-N*Te:Te:N*Te],Rx);
xlabel('Temps (s)'); ylabel('R_x')
```



Fonctions d'inter et d'auto corrélation

→ Signaux aléatoires : première estimation possible

$$\hat{R}_{xy}(k) = \frac{1}{N} \sum_{n=0}^{N-1} x(n)y^*(n-k) \quad 0 \leq k \leq N-1$$

$$\hat{R}_{xy}(-k) = \hat{R}_{xy}^*(k)$$

(Symétrie hermitienne)

Fonctions d'inter et d'auto corrélation

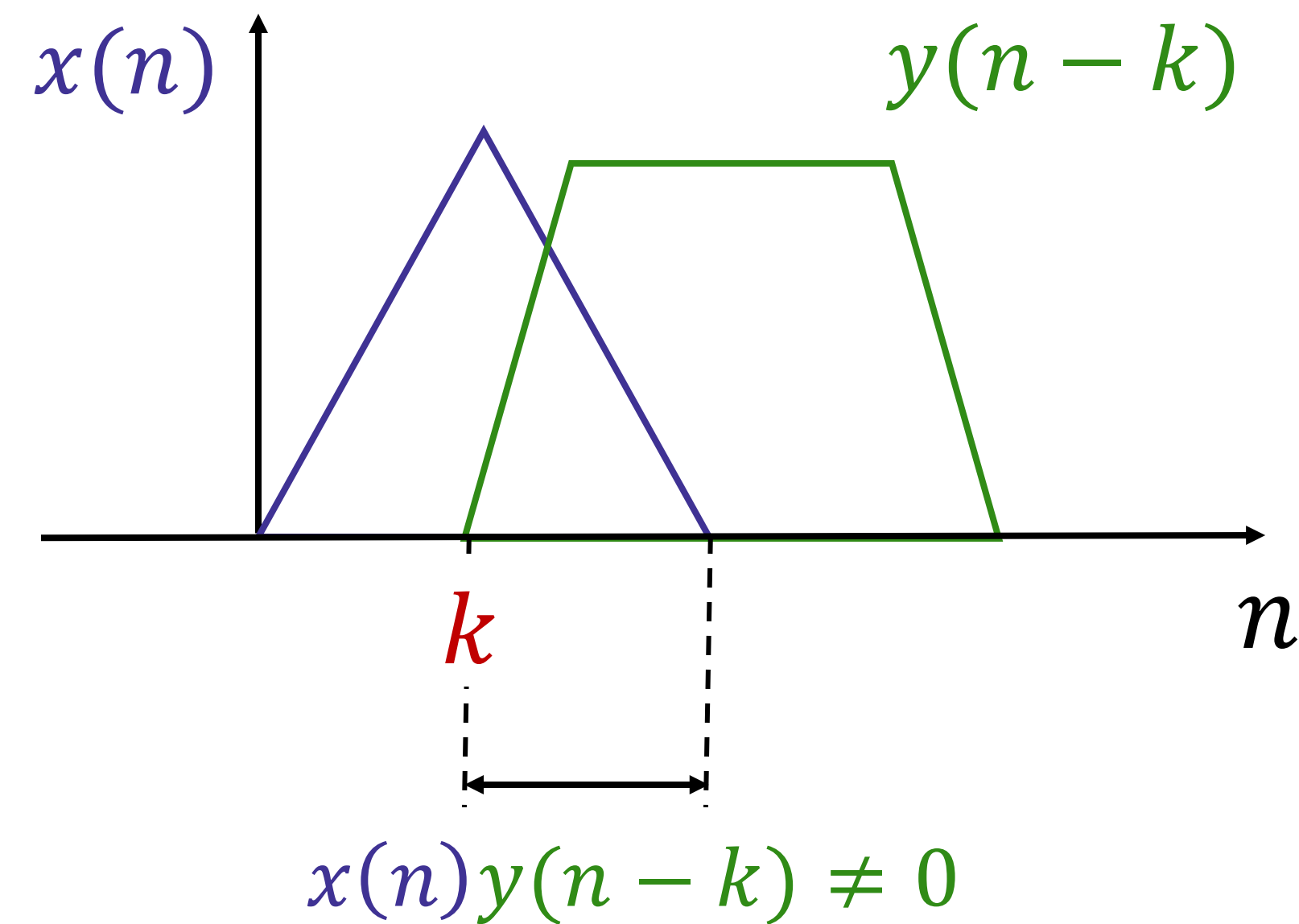
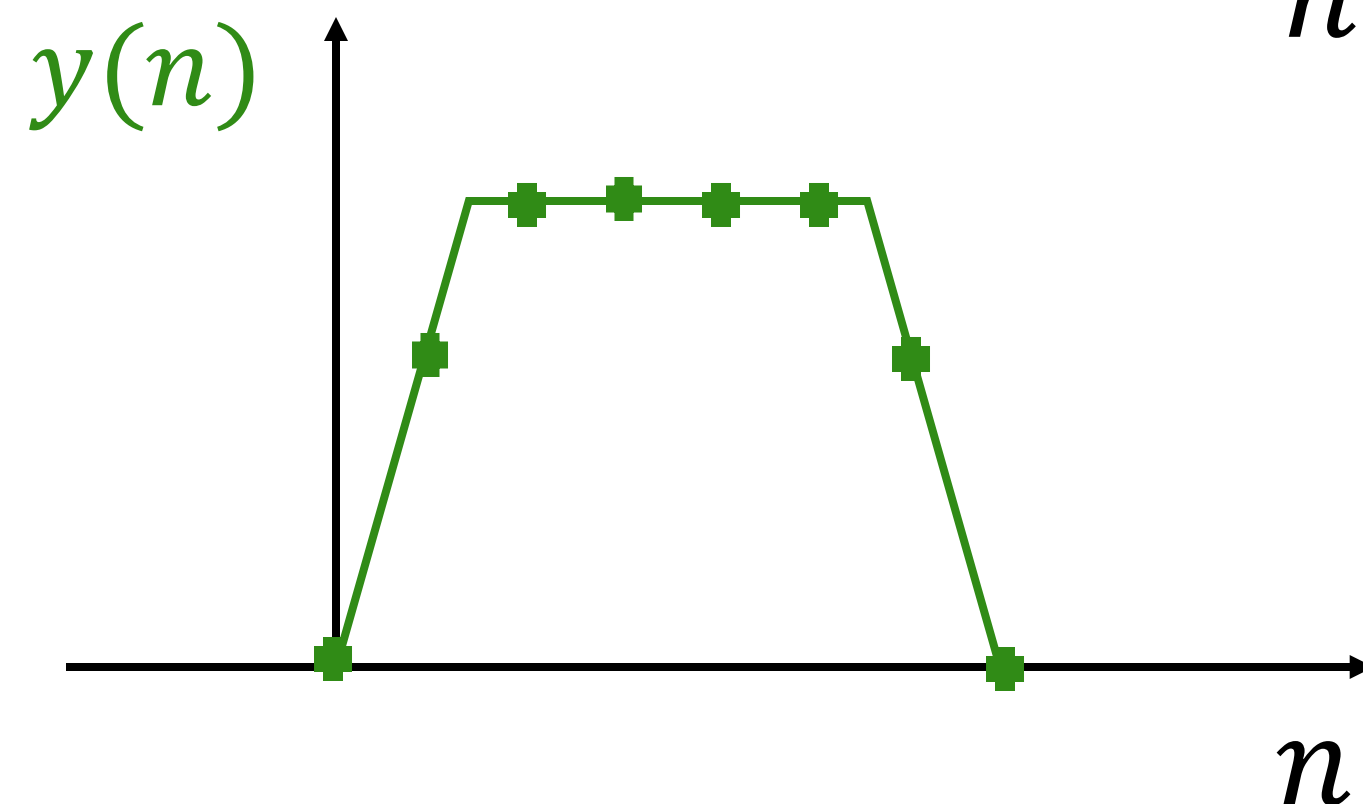
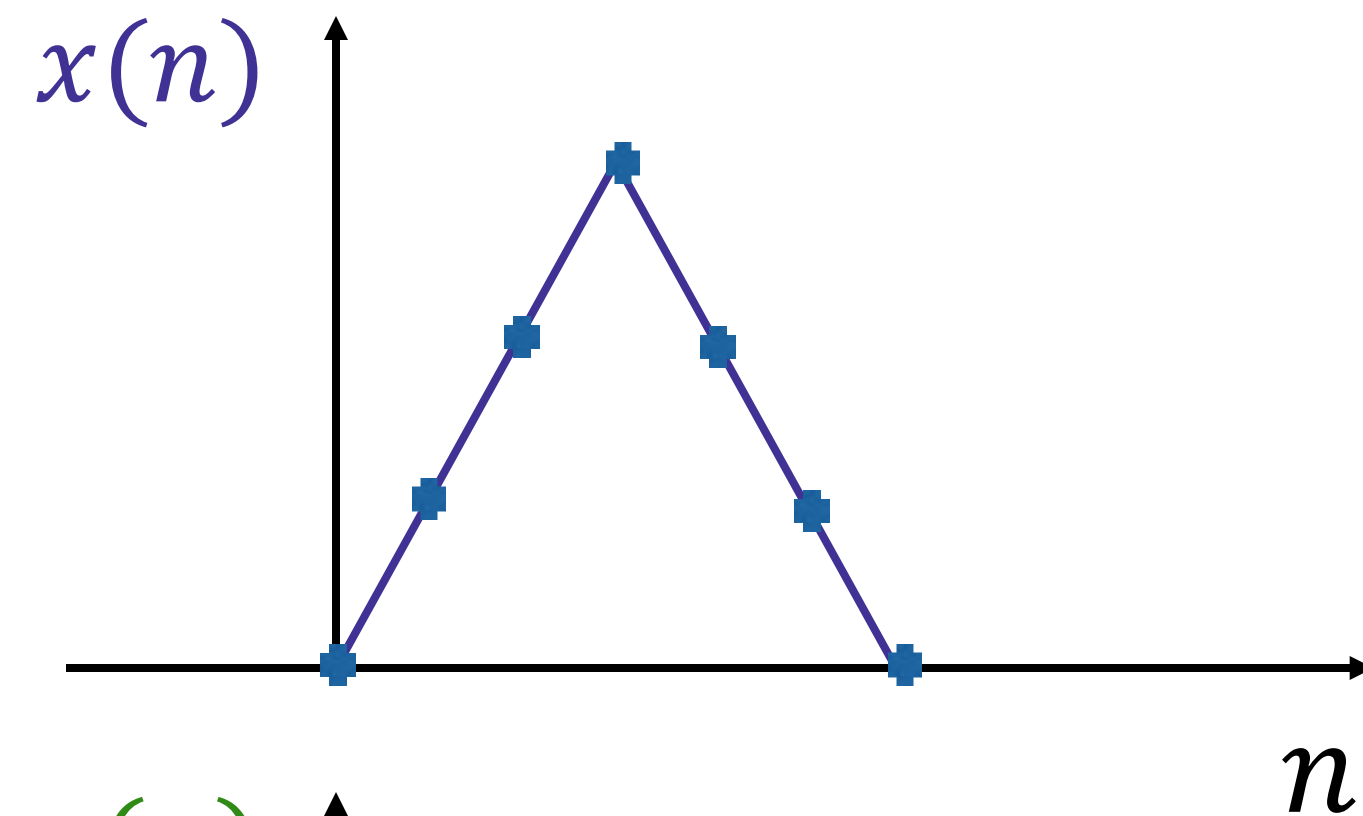
→ Signaux aléatoires : première estimation possible

$$\hat{R}_{xy}(k) = \frac{1}{N} \sum_{n=0}^{N-1} x(n)y^*(n-k) \quad 0 \leq k \leq N-1$$

$$\hat{R}_{xy}(-k) = \hat{R}_{xy}^*(k)$$

(Symétrie hermitienne)

Exemple :



Fonctions d'inter et d'auto corrélation

→ Signaux aléatoires : première estimation possible

$$\hat{R}_{xy}(k) = \frac{1}{N} \sum_{n=\cancel{0}}^{N-1} x(n)y^*(n-k) \quad 0 \leq k \leq N-1$$

$$\hat{R}_{xy}(-k) = \hat{R}_{xy}^*(k)$$

(Symétrie hermitienne)

Fonctions d'inter et d'auto corrélation

→ Signaux aléatoires : première estimation possible

$$\hat{R}_{xy}(k) = \frac{1}{N} \sum_{n=k}^{N-1} x(n)y^*(n-k) \quad 0 \leq k \leq N-1$$

$$\hat{R}_{xy}(-k) = \hat{R}_{xy}^*(k)$$

(Symétrie hermitienne)



$$E \left[\hat{R}_{xy}(k) \right] = \frac{N - |k|}{N} R_{xy}(k)$$

Fonctions d'inter et d'auto corrélation

→ Signaux aléatoires : première estimation possible

$$\hat{R}_{xy}(k) = \frac{1}{N} \sum_{n=k}^{N-1} x(n)y^*(n-k) \quad 0 \leq k \leq N-1$$

$$\hat{R}_{xy}(-k) = \hat{R}_{xy}^*(k)$$

(Symétrie hermitienne)

Exemple :

$$x(t) = \cos(2\pi f_0 t + \phi)$$

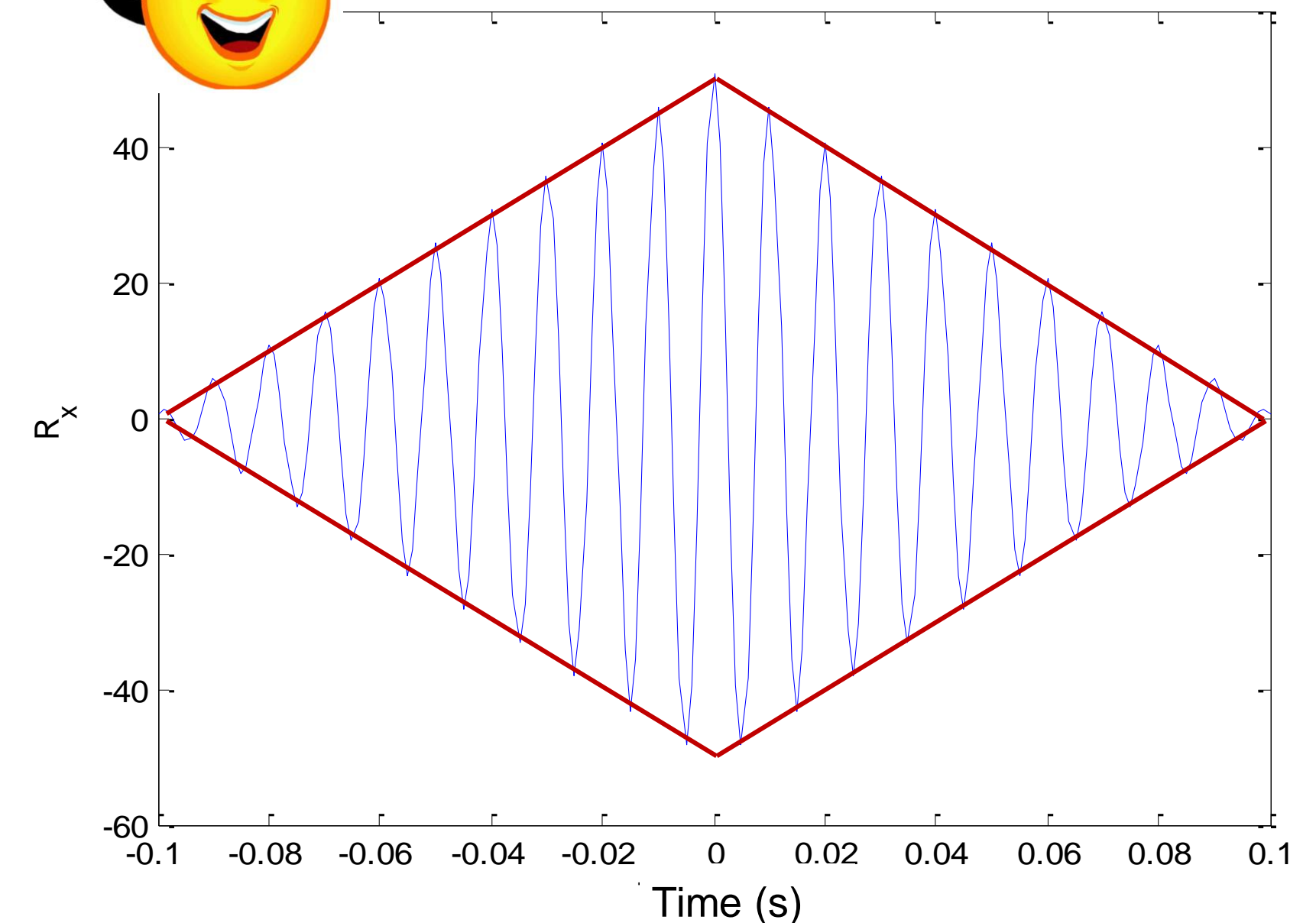
$$f_0 = 100 \text{ Hz};$$

ϕ v.a. u.r. sur $[0, 2\pi]$

$$R_x(\tau) = \frac{A^2}{2} \cos(2\pi f_0 \tau)$$

Biais Multiplicatif Triangulaire

$$E[\hat{R}_{xy}(k)] = \frac{N - |k|}{N} R_{xy}(k)$$



Fonctions d'inter et d'auto corrélation

→ Signaux aléatoires : première estimation possible

$$\hat{R}_{xy}(k) = \frac{1}{N} \sum_{n=k}^{N-1} x(n)y^*(n-k) \quad 0 \leq k \leq N-1$$

Estimateur biaisé

$$\hat{R}_{xy}(-k) = \hat{R}_{xy}^*(k)$$

(Symétrie hermitienne)

Fonctions d'inter et d'auto corrélation

→ Signaux aléatoires : première estimation possible

$$\hat{R}_{xy}(k) = \frac{1}{N} \sum_{n=k}^{N-1} x(n)y^*(n-k) \quad 0 \leq k \leq N-1$$

Estimateur biaisé

$$\hat{R}_{xy}(-k) = \hat{R}_{xy}^*(k)$$

(Symétrie hermitienne)

→ Signaux aléatoires : deuxième estimation possible

$$\hat{R}_{xy}(k) = \frac{1}{N-k} \sum_{n=k}^{N-1} x(n)y^*(n-k) \quad 0 \leq k \leq N-1$$

Estimateur non biaisé

$$\hat{R}_{xy}(-k) = \hat{R}_{xy}^*(k)$$

(Symétrie hermitienne)

Fonctions d'inter et d'auto corrélation

→ Signaux aléatoires : deuxième estimation possible

Estimateur non biaisé

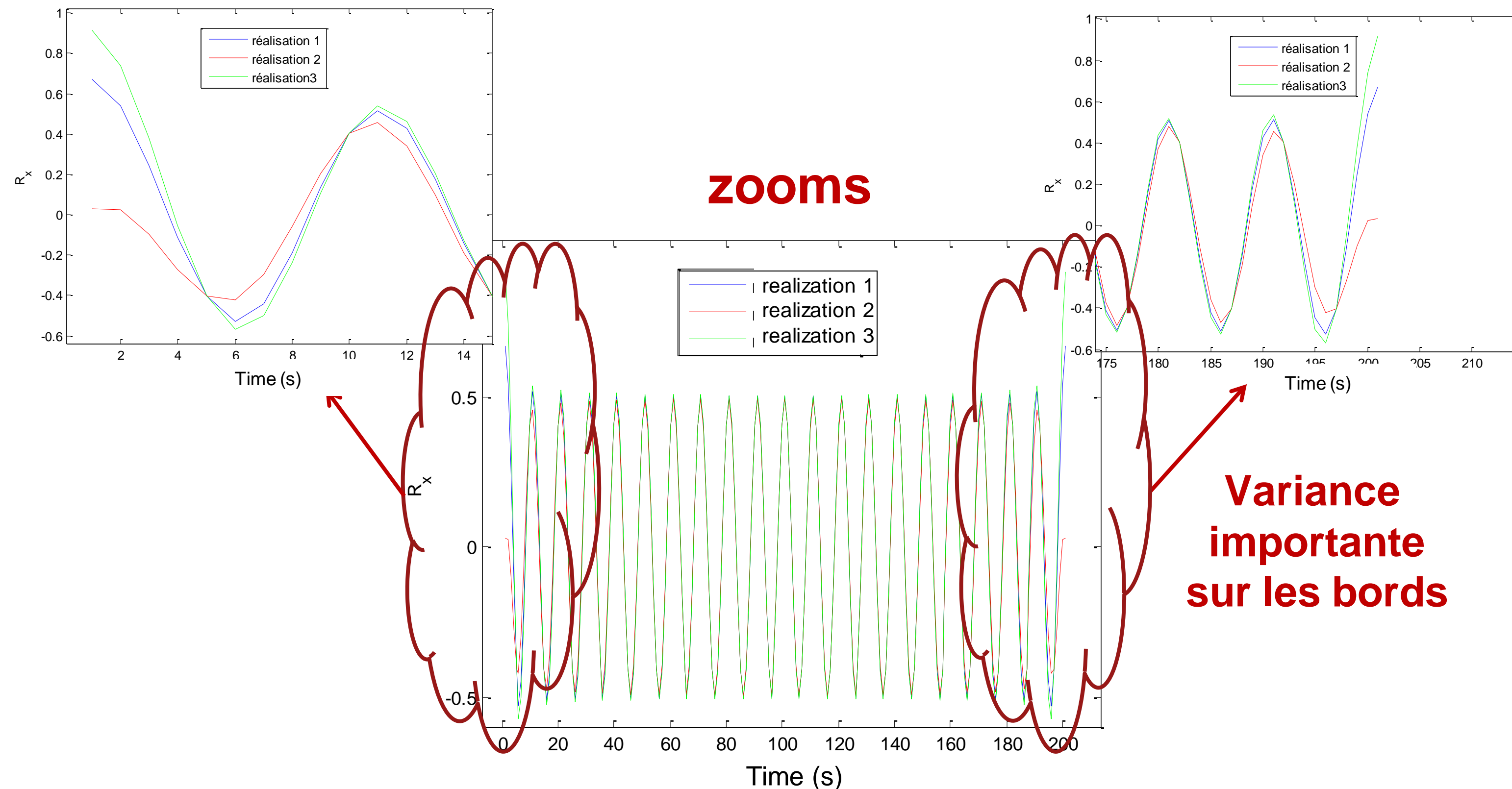
$$\hat{R}_{xy}(k) = \frac{1}{N-k} \sum_{n=k}^{N-1} x(n)y^*(n-k) \quad 0 \leq k \leq N-1 \quad \hat{R}_{xy}(-k) = \hat{R}_{xy}^*(k)$$

(Symétrie hermitienne)

Code Matlab :

```
%Paramètres
f0=100; %fréquence du cosinus
Fe=1000; %fréquence d'échantillonnage
Te=1/Fe; %période d'échantillonnage
N=100; %nombre d'échantillons

% Calcul et tracé de son autocorrélation non biaisée
% pour différentes réalisations de signal
x1=cos(2*pi*f0*[0:Te:N*Te]+rand*2*pi);
Rx1=xcorr(x1,'unbiased');
x2=cos(2*pi*f0*[0:Te:N*Te]+rand*2*pi);
Rx2=xcorr(x2,'unbiased');
x3=cos(2*pi*f0*[0:Te:N*Te]+rand*2*pi);
Rx3=xcorr(x3,'unbiased');
figure
plot(Rx1); hold on; plot(Rx2,'r'); plot(Rx3,'g')
legend('réalisation 1','réalisation 2','réalisation3')
xlabel('Temps (s)'); ylabel('R_x')
```



Fonctions d'inter et d'auto corrélation

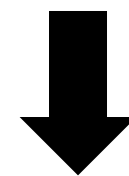
→ Estimation dans le domaine fréquentiel

Pour :

$$\hat{R}_{xy}(k) \propto \sum_{n=-\infty}^{+\infty} x(n)y^*(n-k), \quad k = 0, \dots, N-1$$

Convolution linéaire :

$$(x_1 * x_2)(k) = \sum_{n=-\infty}^{+\infty} x_1(n)x_2(k-n)$$



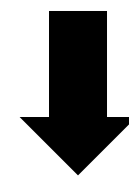
$$\hat{R}_{xy}(k) \propto x(k) * y^*(-k), \quad k = 0, \dots, N-1$$

Fonctions d'inter et d'auto corrélation

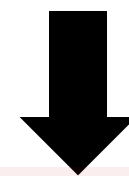
→ Estimation dans le domaine fréquentiel

Pour :
$$\hat{R}_{xy}(k) \propto \sum_{n=-\infty}^{+\infty} x(n)y^*(n-k), k = 0, \dots, N-1$$

Convolution linéaire :
$$(x_1 * x_2)(k) = \sum_{n=-\infty}^{+\infty} x_1(n)x_2(k-n)$$



$$\hat{R}_{xy}(k) \propto x(k) * y^*(-k), k = 0, \dots, N-1$$



$$\hat{R}_{xy}(k) \propto TFD^{-1} [X(n)Y^*(n)], 0 \leq n \leq N-1$$

Estimateur fréquentiel

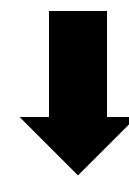
Fonctions d'inter et d'auto corrélation

→ Estimation dans le domaine fréquentiel

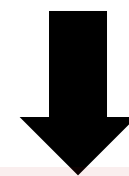
Pour :
$$\hat{R}_{xy}(k) \propto \sum_{n=-\infty}^{+\infty} x(n)y^*(n-k), k = 0, \dots, N-1$$

N^2 opérations (+/×)
Pour des signaux de taille N points

Convolution linéaire :
$$(x_1 * x_2)(k) = \sum_{n=-\infty}^{+\infty} x_1(n)x_2(k-n)$$



$$\hat{R}_{xy}(k) \propto x(k) * y^*(-k), k = 0, \dots, N-1$$



$$\hat{R}_{xy}(k) \propto TFD^{-1} [X(n)Y^*(n)], 0 \leq n \leq N-1$$

Estimateur fréquentiel

Temps de calcul : **$N + 3N \log_2(N) \ll N^2$ opérations (+/×)**

Fonctions d'inter et d'auto corrélation

→ Estimation dans le domaine fréquentiel

Pour :
$$\hat{R}_{xy}(k) \propto \sum_{n=-\infty}^{+\infty} x(n)y^*(n-k), k = 0, \dots, N-1$$

N^2 opérations (+/×)

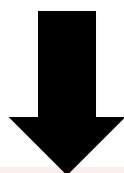
Pour des signaux de taille N points

Convolution linéaire :
$$(x_1 * x_2)(k) = \sum_{n=-\infty}^{+\infty} x_1(n)x_2(k-n)$$



$$\hat{R}_{xy}(k) \propto x(k) * y^*(-k), k = 0, \dots, N-1$$

!! Condition : si la TFD transforme un produit en produit de convolution linéaire !!



$$\hat{R}_{xy}(k) \propto TFD^{-1} [X(n)Y^*(n)], 0 \leq n \leq N-1$$

Estimateur fréquentiel

Temps de calcul : **$N + 3N \log_2(N) \ll N^2$ opérations (+/×)**

Traitement Numérique du signal

- 1- Signaux numériques
 - 2- Transformée de Fourier Discrète (TFD)
 - 3- Estimation des fonctions d'auto et d'inter corrélation
 - 4- Estimation de la densité spectrale de puissance (DSP)
 - 5- Filtrage numérique linéaire
-

Densité spectrale de puissance

- **Deux estimateurs de base : définition**

→ Corrélogramme

$$\hat{S}_x(n) = TFD \left[\hat{R}_x(k) \right]$$

Densité spectrale de puissance

- **Deux estimateurs de base : définition**

→ Corrélogramme

$$\hat{S}_x(n) = \boxed{TFD} \left[\hat{R}_x(k) \right]$$

Vue avant
Vu avant



$$\hat{R}_x(k) = \frac{1}{N} \sum_{n=0}^{N-1} x(n)x^*(n-k)$$
$$\hat{R}_x(k) = \frac{1}{N-k} \sum_{n=0}^{N-1} x(n)x^*(n-k)$$

Densité spectrale de puissance

- **Deux estimateurs de base : définition**

→ Corrélogramme

$$\hat{S}_x(n) = \boxed{TFD} [\hat{R}_x(k)]$$

Vue avant
Vu avant

Corrélogramme biaisé
Corrélogramme non biaisé

→ Périodogramme

$$\hat{S}_x(n) = \frac{1}{N} |TFD[x(k)]|^2$$

$$\hat{R}_x(k) = \frac{1}{N} \sum_{n=0}^{N-1} x(n)x^*(n-k)$$
$$\hat{R}_x(k) = \frac{1}{N-k} \sum_{n=0}^{N-1} x(n)x^*(n-k)$$

Densité spectrale de puissance

- **Deux estimateurs de base : définition**

→ Corrélogramme

$$\hat{S}_x(n) = \boxed{TFD} [\hat{R}_x(k)]$$

Vue avant
Vu avant

Corrélogramme biaisé
Corrélogramme non biaisé

$$\hat{R}_x(k) = \frac{1}{N} \sum_{n=0}^{N-1} x(n)x^*(n-k)$$

$$\hat{R}_x(k) = \frac{1}{N-k} \sum_{n=0}^{N-1} x(n)x^*(n-k)$$

→ Périodogramme

$$\hat{S}_x(n) = \frac{1}{N} |\boxed{TFD}[x(k)]|^2$$

Vue avant

Remarque : périodogramme \Leftrightarrow corrélogramme « biaisé »

Densité spectrale de puissance

• Deux estimateurs de base : définition

→ Corrélogramme

$$\hat{S}_x(n) = \boxed{TFD} \left[\hat{R}_x(k) \right]$$

Vue avant

Corrélogramme biaisé
Corrélogramme non biaisé

$$\hat{R}_x(k) = \frac{1}{N} \sum_{n=0}^{N-1} x(n)x^*(n-k)$$

$$\hat{R}_x(k) = \frac{1}{N-k} \sum_{n=0}^{N-1} x(n)x^*(n-k)$$

→ Périodogramme

$$\hat{S}_x(n) = \frac{1}{N} \left| \boxed{TFD} [x(k)] \right|^2$$

Vue avant

Remarque : périodogramme \Leftrightarrow corrélogramme « biaisé »

• Deux estimateurs de base : Inconvénients

→ Estimateurs non consistants

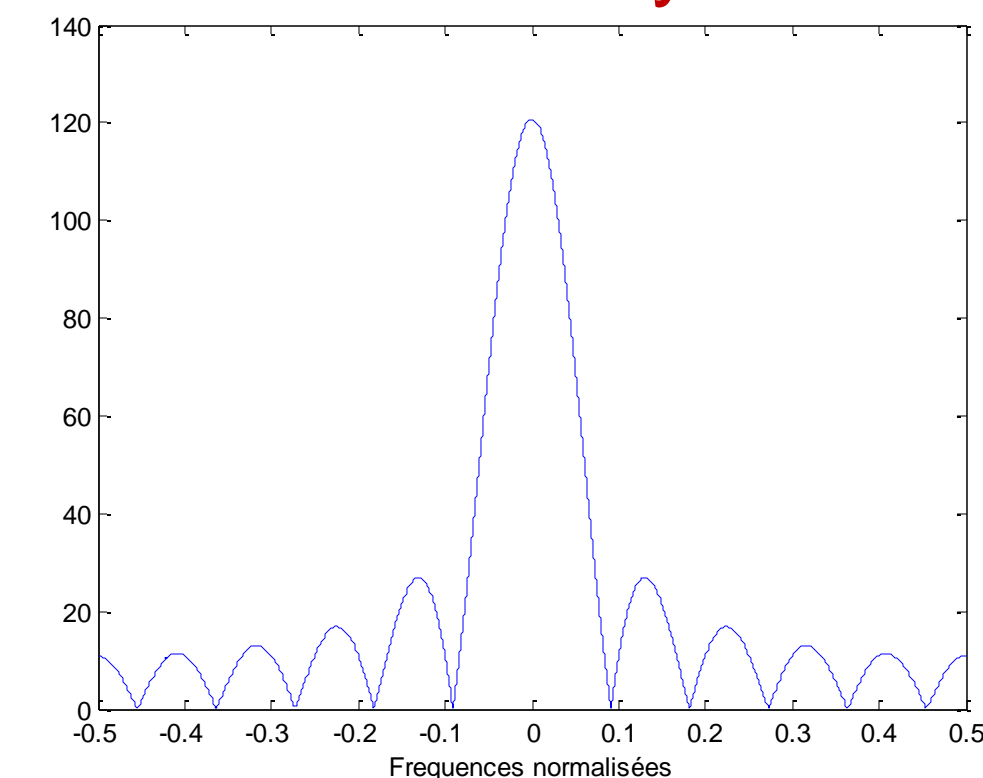
- Biais convolutif : $E \left[\hat{S}_x(n) \right] = S_x(n) * W(n)$
- Variance indépendante de la durée d'observation du signal :

$$Var \left[\hat{S}_x(n) \right] \xrightarrow{N \rightarrow \infty} S_x^2(n)$$

Exemple : périodogramme \Leftrightarrow corrélogramme « biaisé »

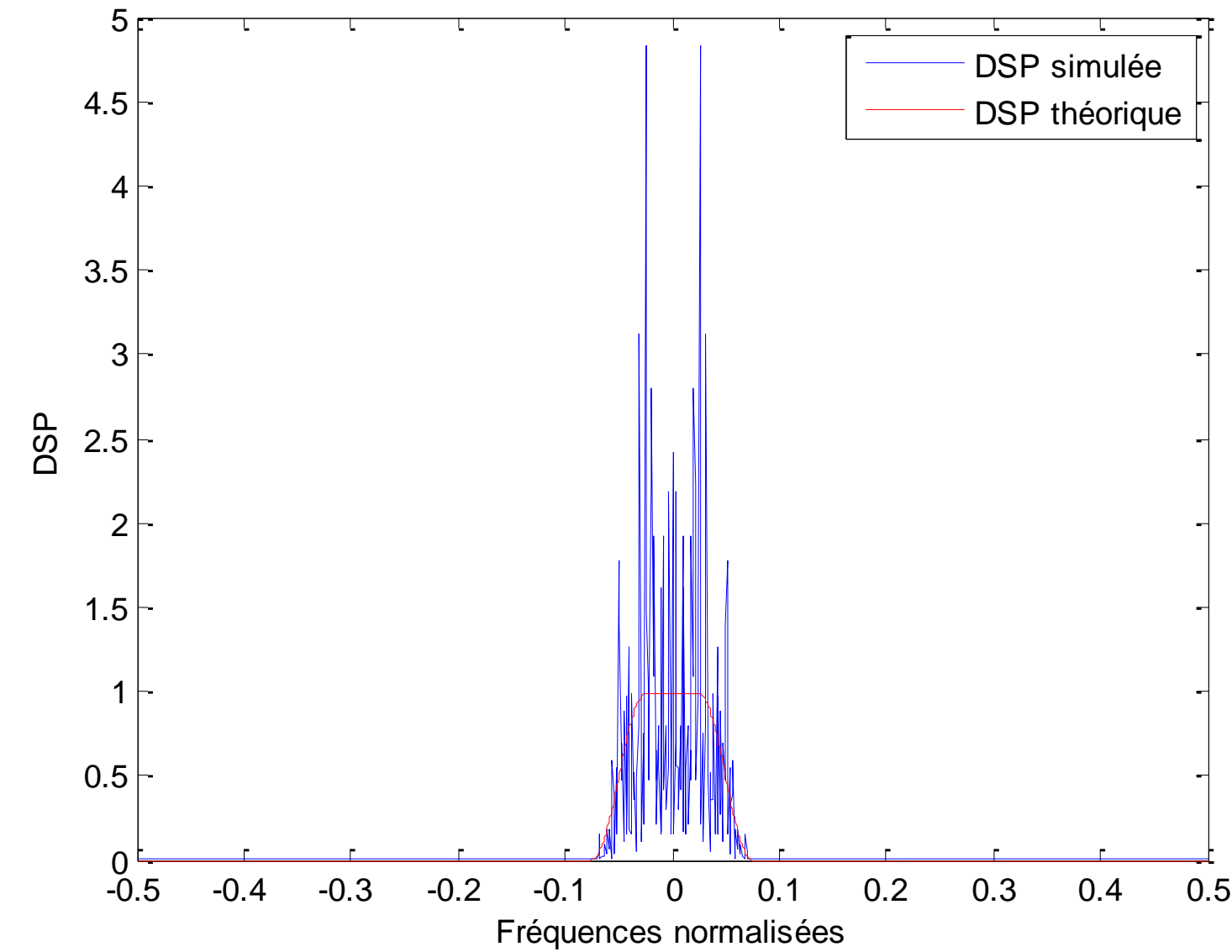
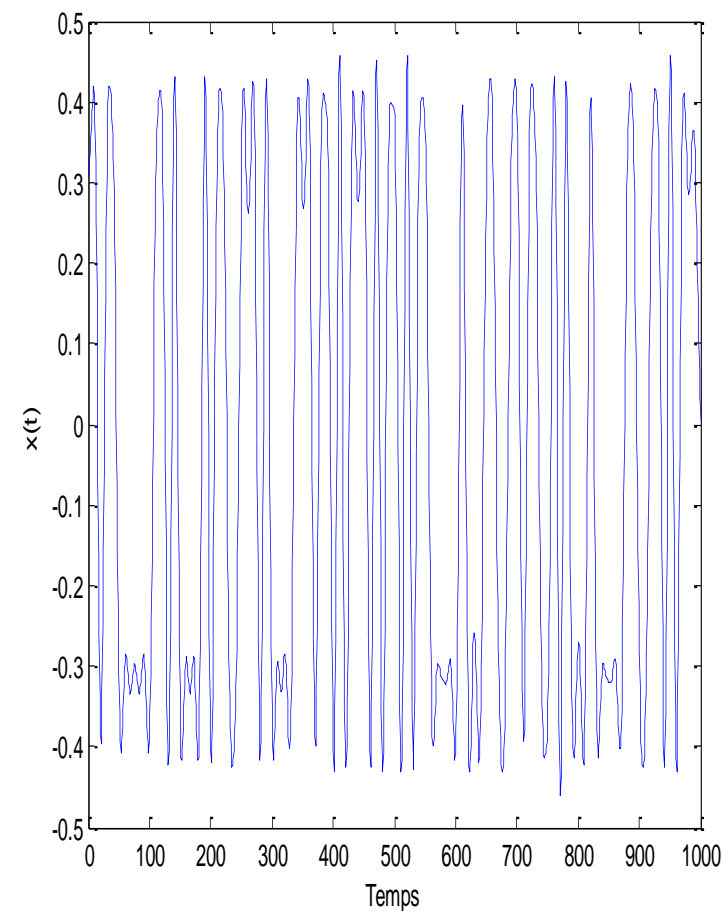
$$E \left[\hat{S}_x(n) \right] = S_x(n) * \boxed{TFD \left[1 - \frac{|k|}{N} \right]}$$

Biais convolutif : Noyau de Fejer



Densité spectrale de puissance

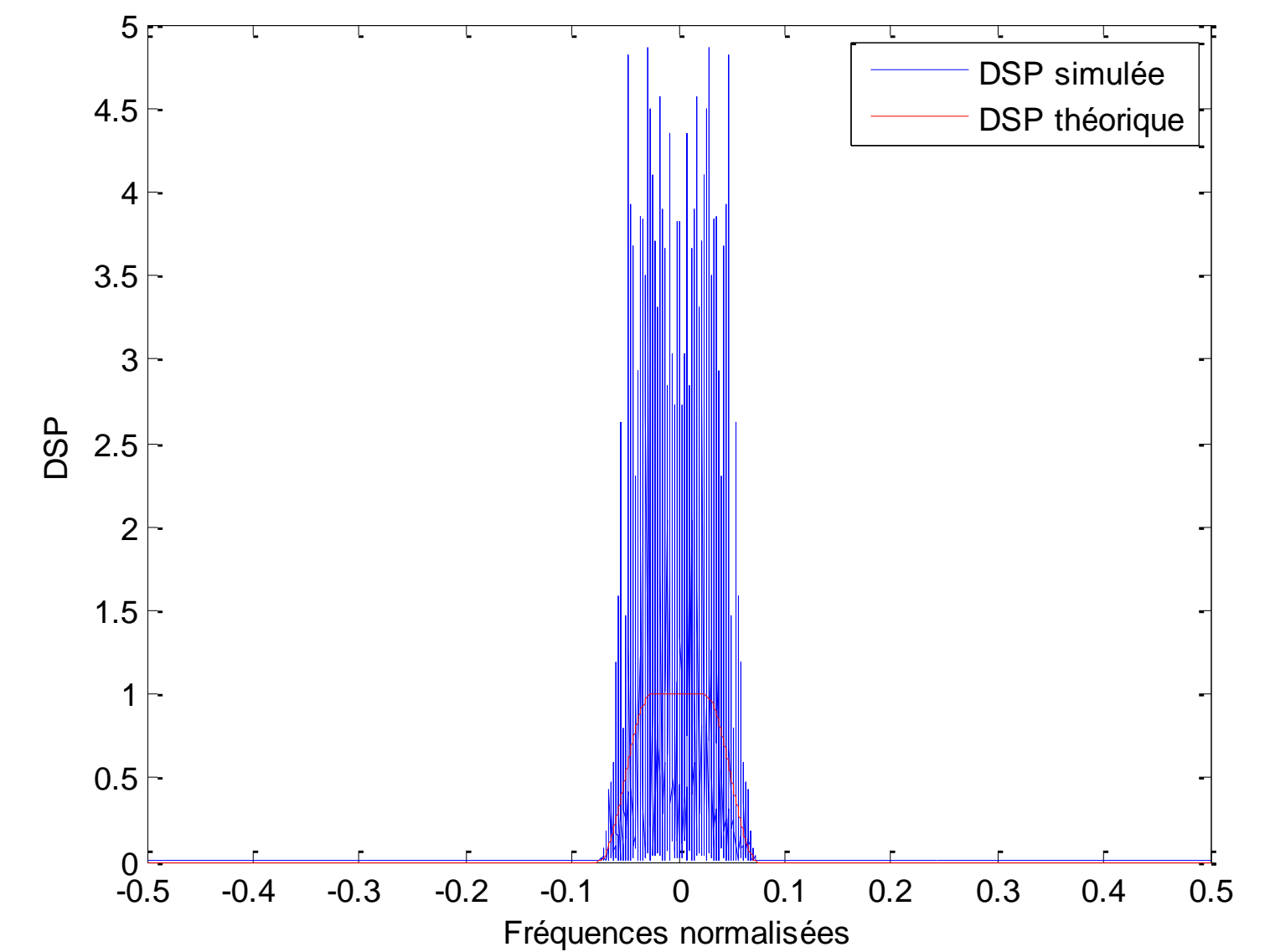
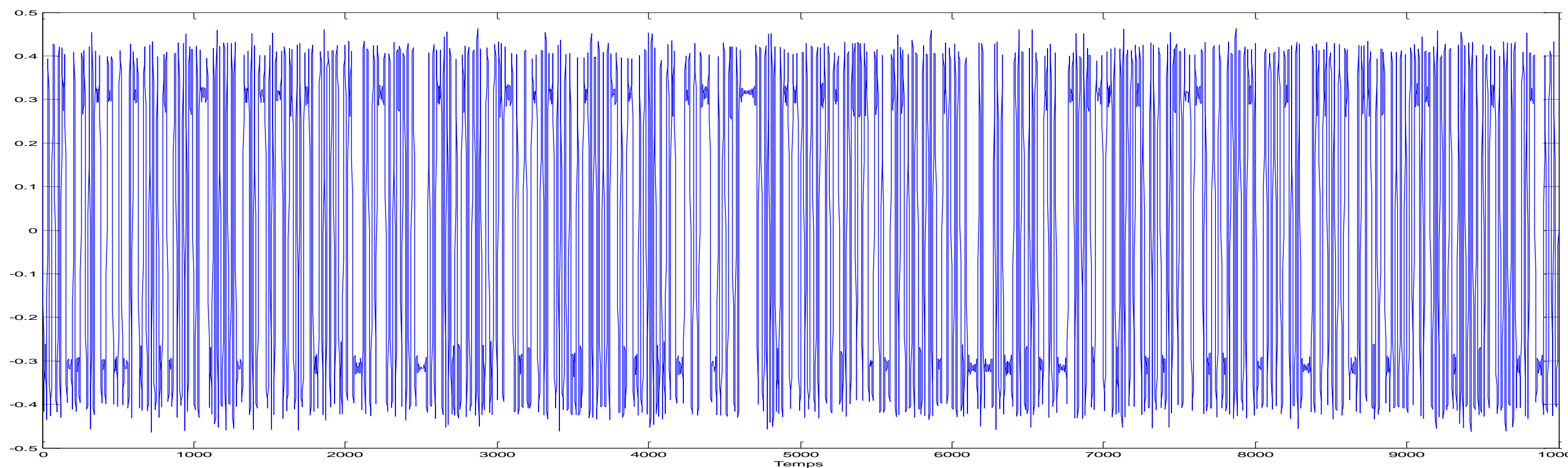
1 000 échantillons de signal



Exemple : périodogramme \Leftrightarrow corrélogramme « biaisé »

variance indépendante de la durée
d'observation du signal

10 000 échantillons de signal

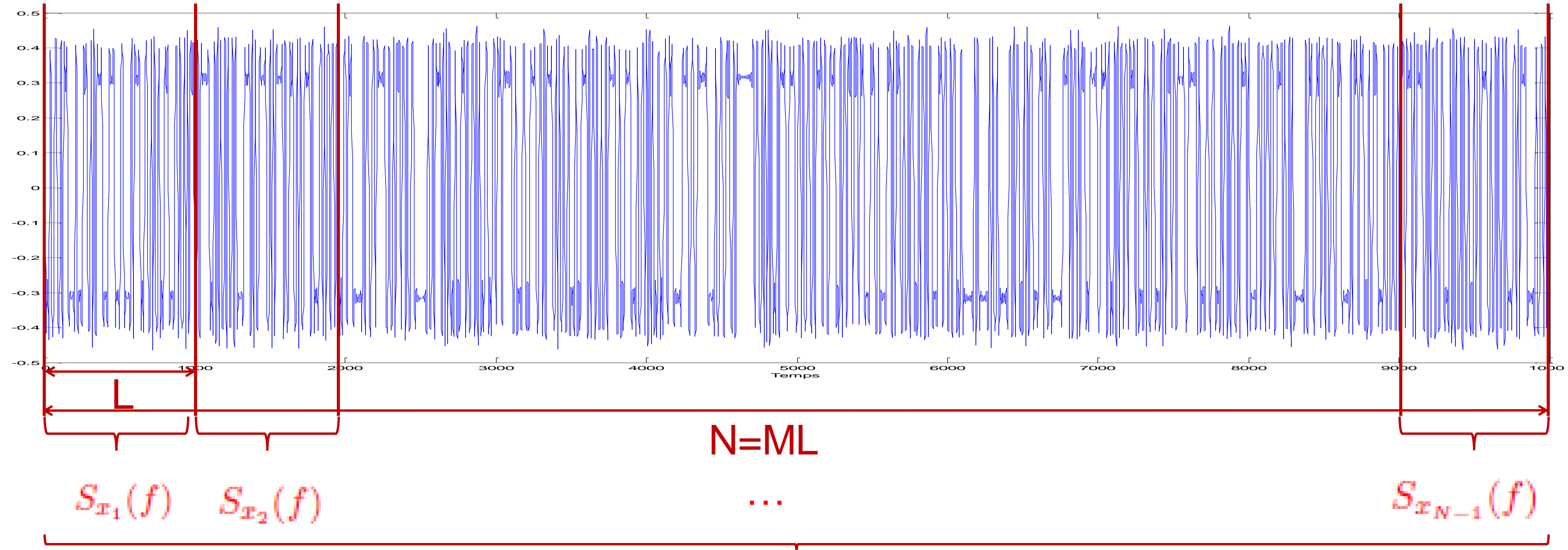


Densité spectrale de puissance

- **Autres estimateurs**

→ Périodogramme cumulé (Bartlett)

Objectif : diminuer la variance d'estimation de la DSP

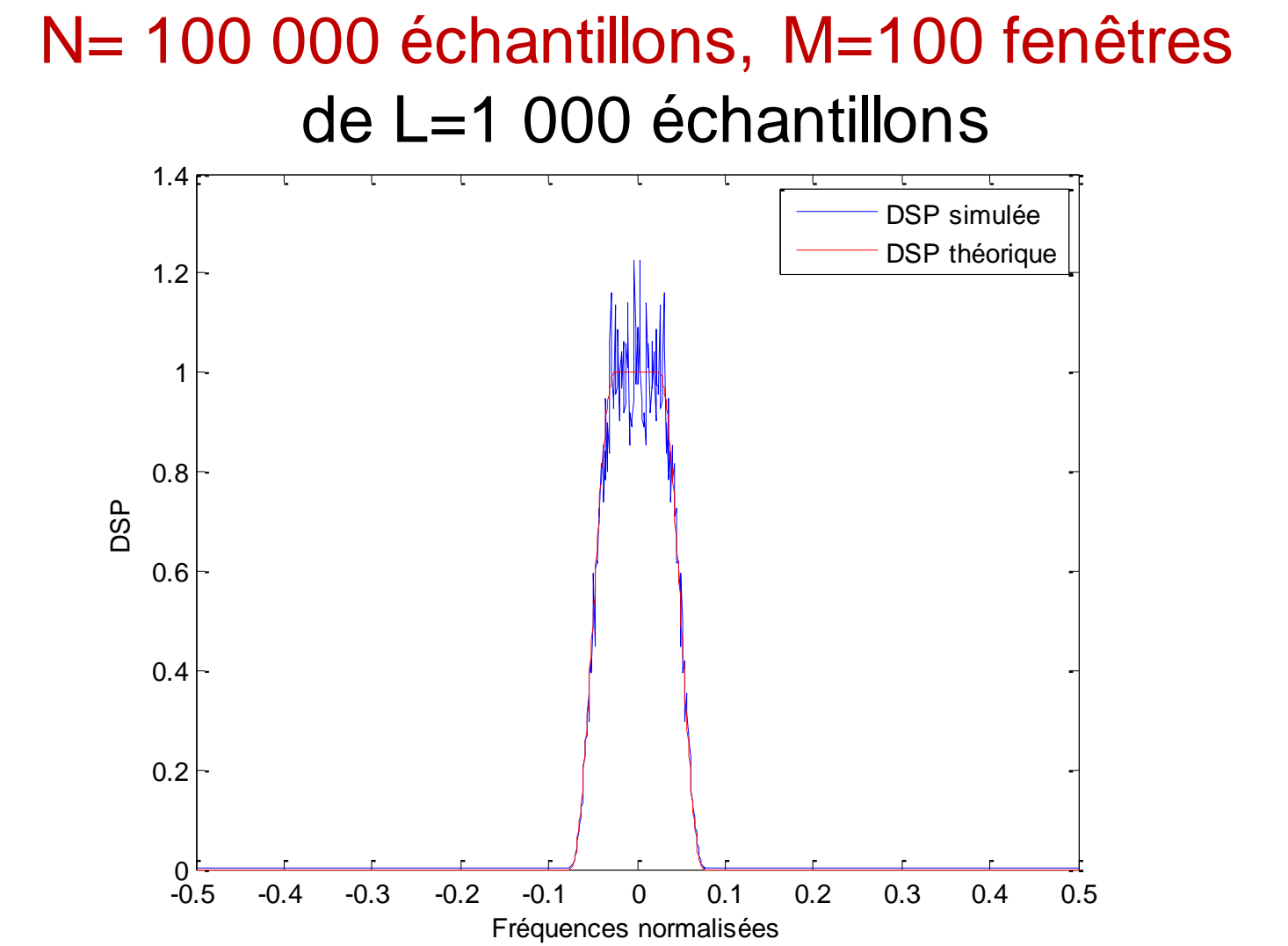
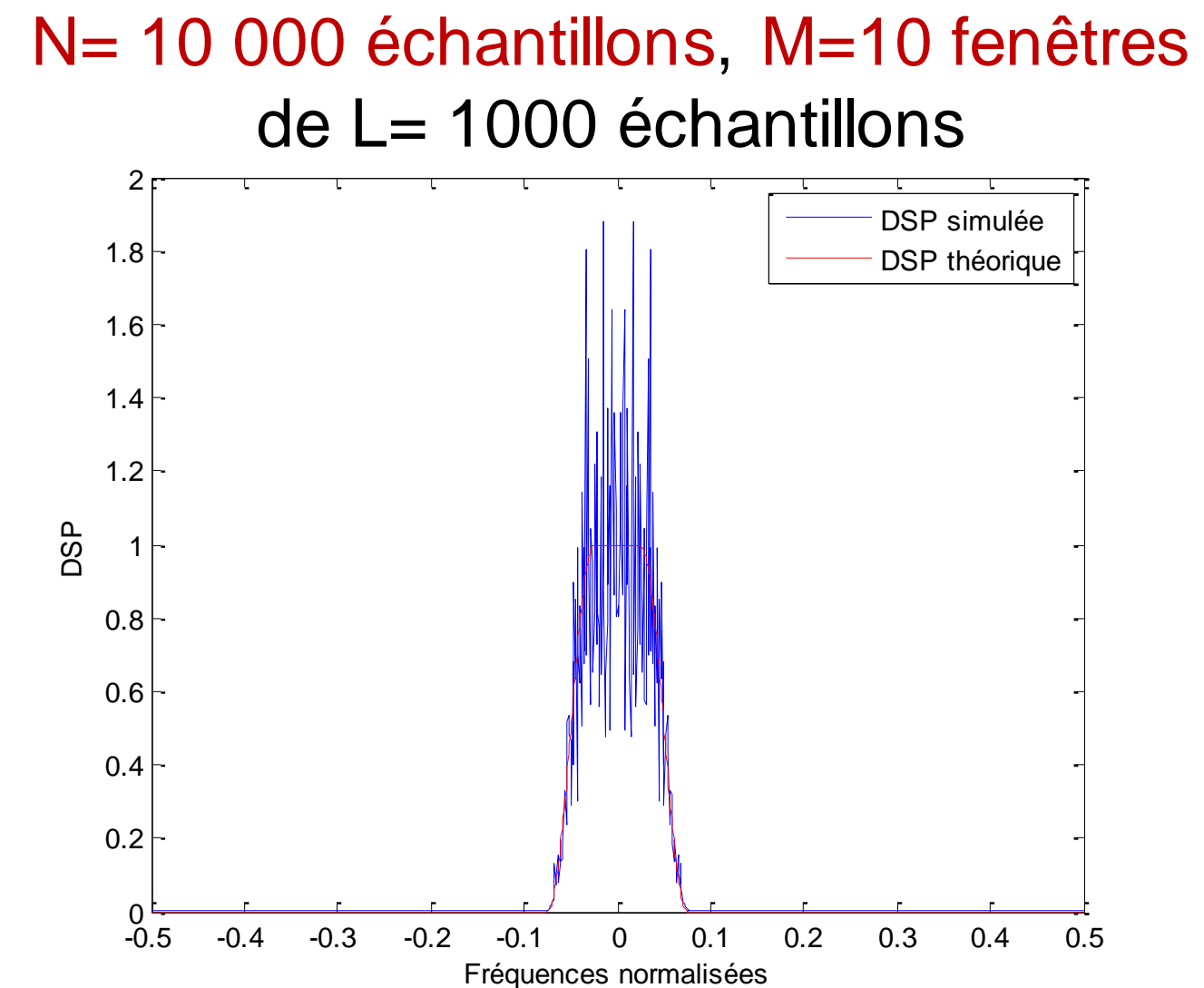
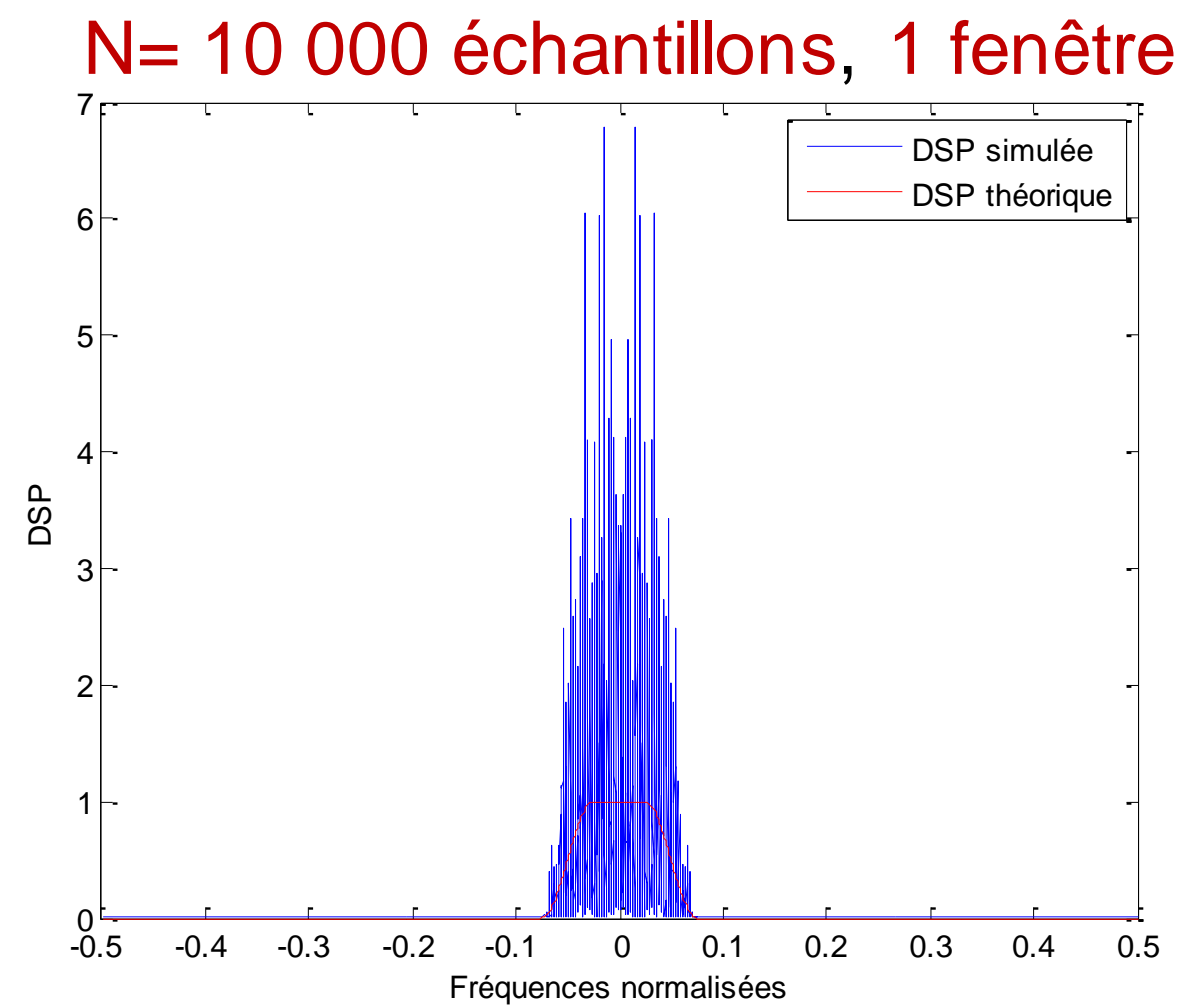


$$S_x(f) = \frac{1}{M} \sum_{i=1}^M S_{x_i}(f)$$

Densité spectrale de puissance

- **Autres estimateurs**

→ Périodogramme cumulé (Bartlett)



Inconvénients :

- Diminution de la résolution spectrale : pas de calcul du spectre en F_e/L au lieu de F_e/N
- Pour une durée d'observation du signal donnée augmentation du biais : lobe central de $W(n)$ de largeur $2/L$ au lieu de $2/N$.

Densité spectrale de puissance

- **Autres estimateurs**

→ Périodogramme modifié: $\hat{S}_x(n) = \frac{1}{N} |TFD [x(k) \times w(k)]|^2$

→ Corrélogramme modifié: $\hat{S}_x(n) = TFD [\hat{R}_x(k) \times w(k)]$

Fenêtre de pondération

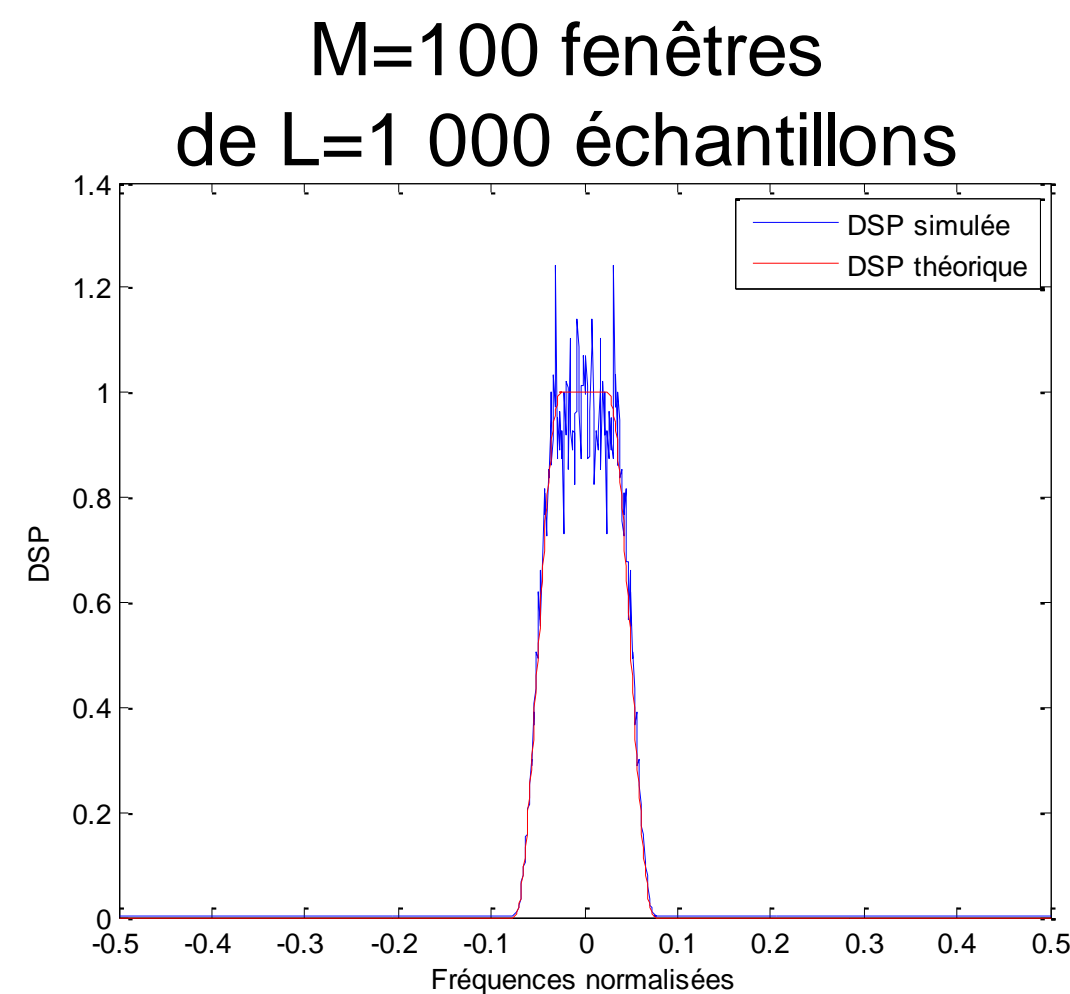
Inconvénient: lissage des variations importantes, diminution du pouvoir séparateur

→ Périodogramme de Welch = périodogramme cumulé et modifié

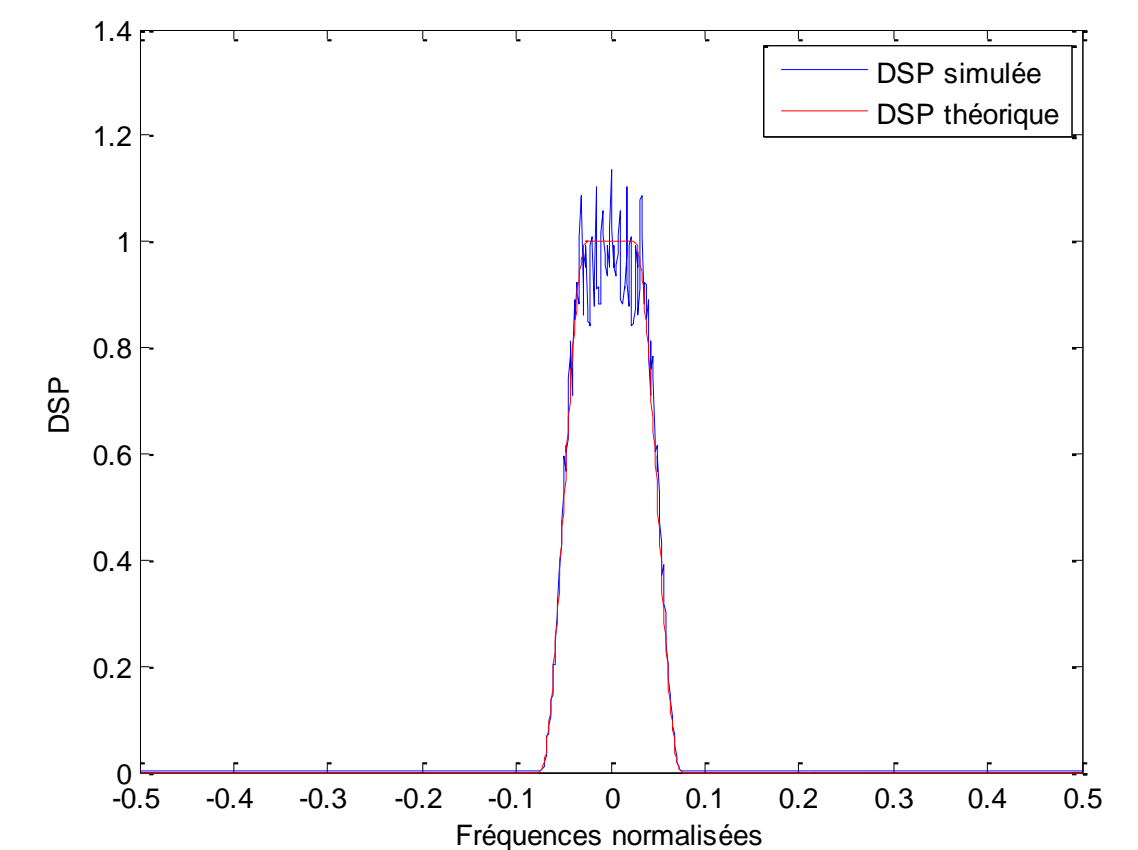
- Fenêtre glissante => M' > M fenêtres de taille L en les autorisant à se recouvrir
- Périodogramme modifié sur chaque tranche de signal

- Exemple :

N= 100 000 échantillons

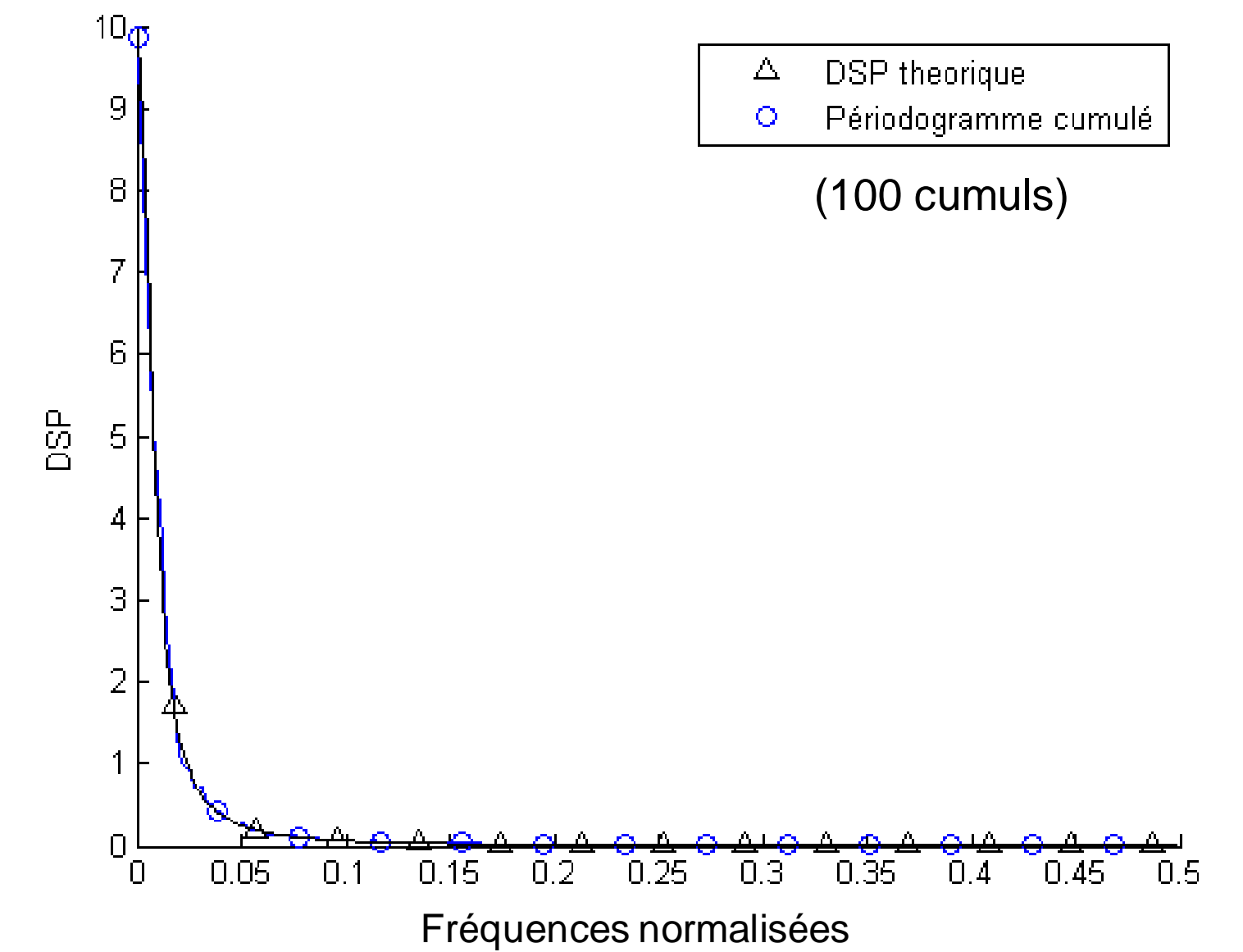
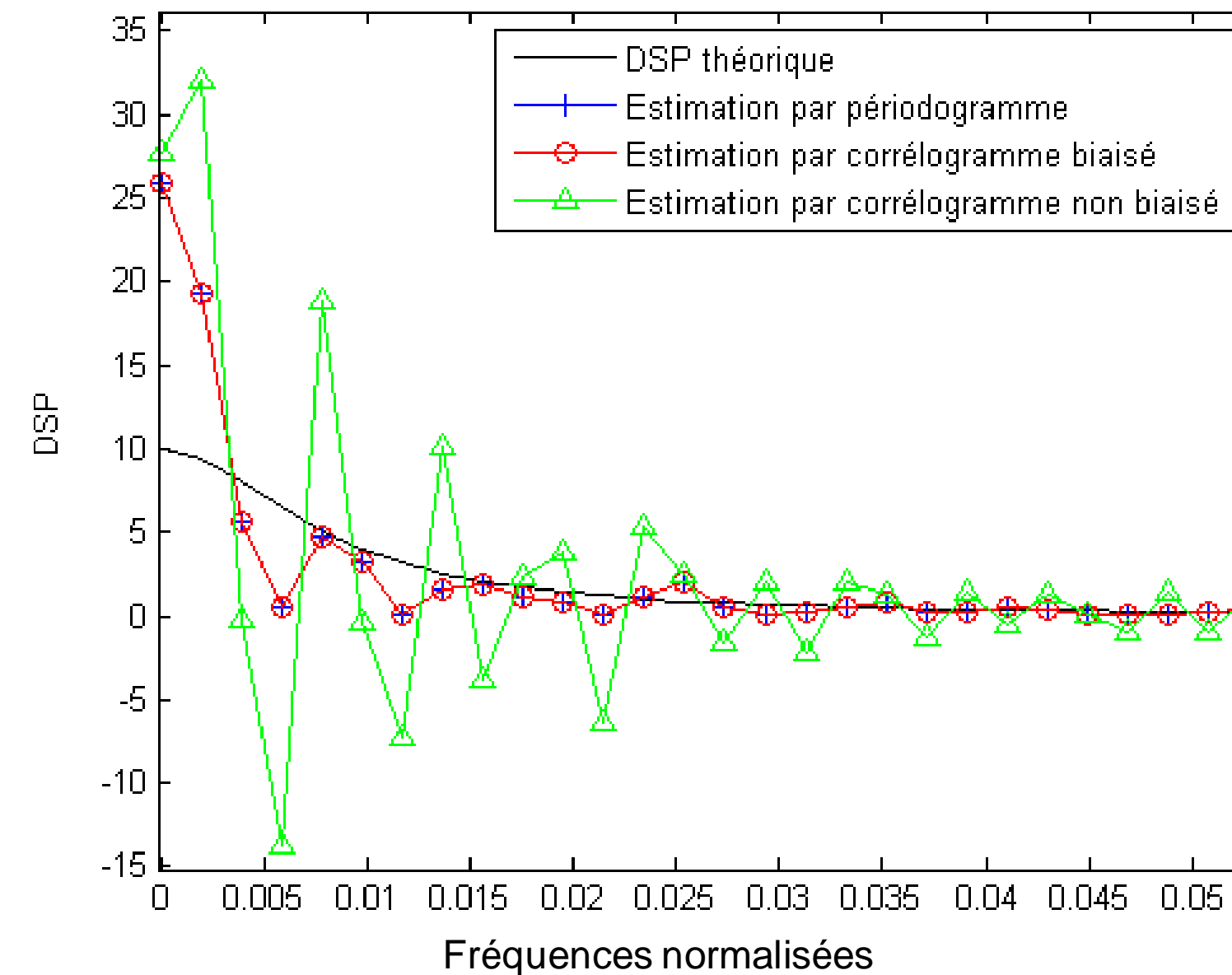
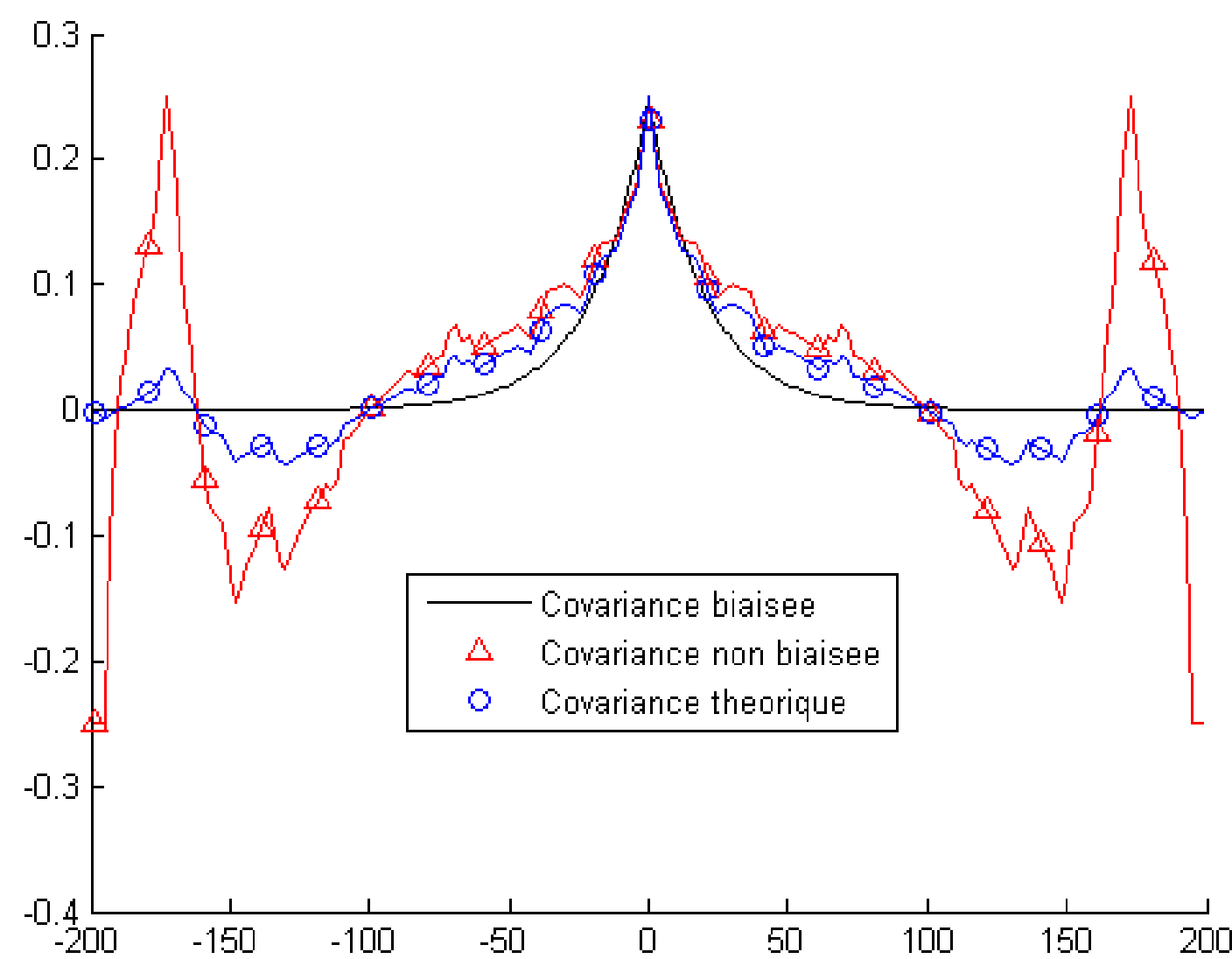


M=100 fenêtres de L=1 000 échantillons
Recouvrement de L/2, fenêtrage de Hamming



Densité spectrale de puissance

- Exemple sur une ligne d'image SAR (Synthetic Aperture Radar)



Remarque : l'estimation de la DSP par périodogramme (ou corrélogramme biaisé) est plus proche de la DSP théorique, ce qui est généralement le cas pour des signaux réels.

Traitement Numérique du signal

- 1- Signaux numériques
 - 2- Transformée de Fourier Discrète (TFD)
 - 3- Estimation des fonctions d'auto et d'inter corrélation
 - 4- Estimation de la densité spectrale de puissance (DSP)
 - 5- Filtrage numérique linéaire
-

Filtrage numérique

- **Rappel : la transformée de Laplace**

→ Définition :

$$X(p) = TL[x(t)] = \int_0^{+\infty} x(t)e^{-pt} dt, \quad p \in \mathbb{C}$$

→ Outil d'étude des systèmes linéaires invariants dans le temps **ANALOGIQUES**

$$x(t) \longrightarrow \boxed{h(t) \begin{matrix} \xrightarrow{TL} \\ \xleftarrow{TL^{-1}} \end{matrix} H(p)} \longrightarrow y(t) = x(t) * h(t) \xrightarrow{TL} Y(p) = \underbrace{H(p)}_{\text{Fonction de transfert}} X(p)$$

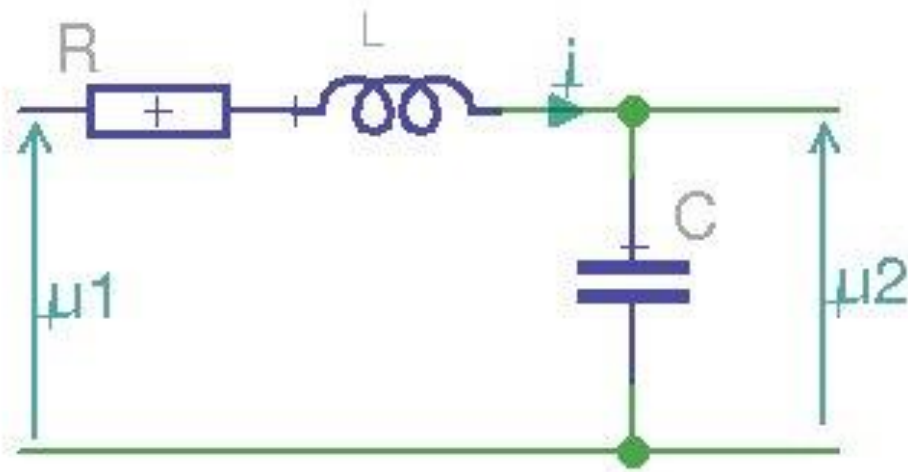
- Étude temporelle (réponse impulsionnelle, réponse à une rampe): stabilité (pôles de $H(p)$ à partie réelle négative), rapidité (temps de montée, temps de réponse à $x\%$), précision (erreur statique, erreur de trainage)
- Étude fréquentielle (réponse à une entrée sinusoïdale) : diagrammes de Bode => fréquence de coupure, bande passante, atténuation en bande coupée, résonance ...

Réponse en fréquence $\underbrace{H(f)}_{\text{Réponse en fréquence}} = [H(p)]_{p=j\omega=j2\pi f} \quad (TL = TF)$

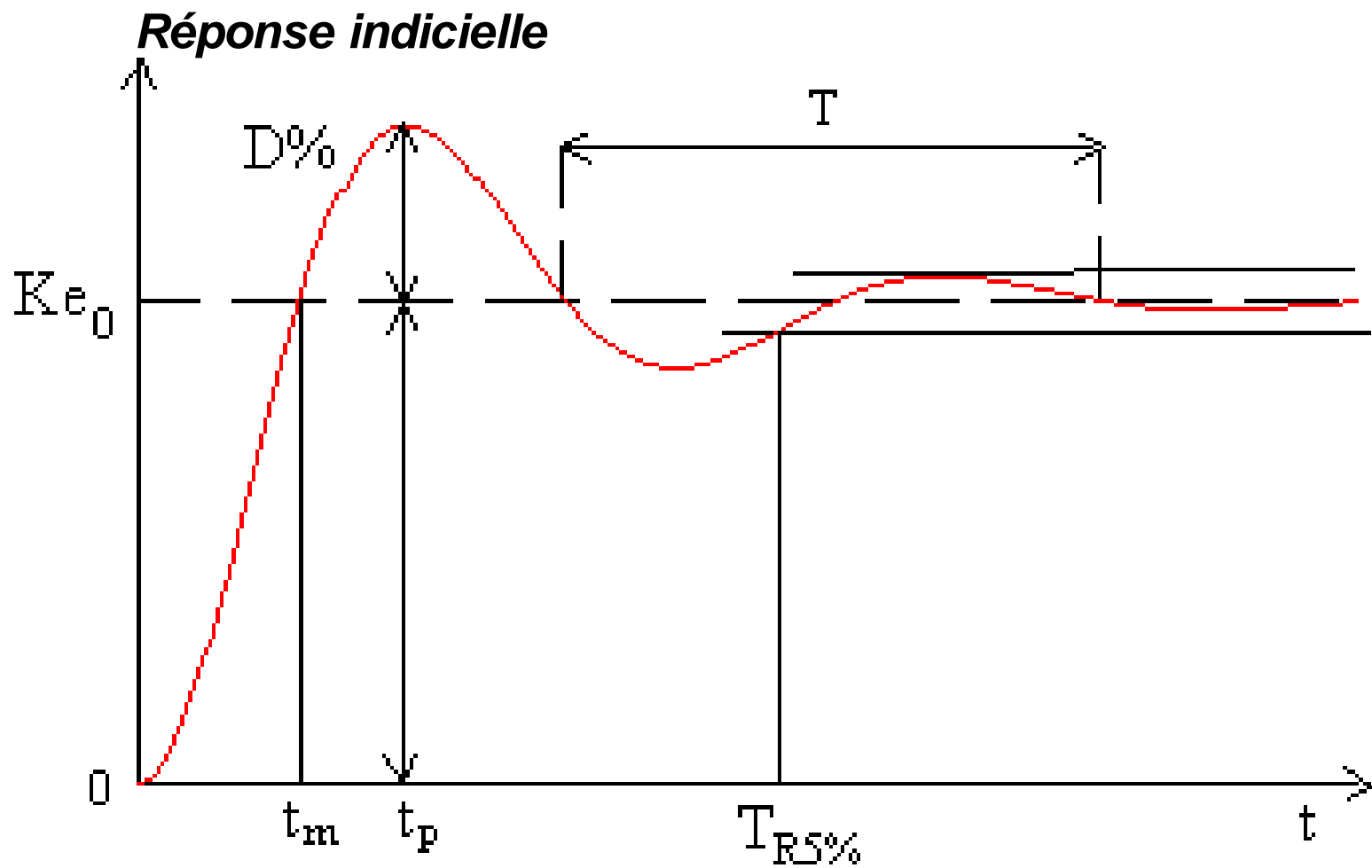
Filtrage numérique

- Rappel : la transformée de Laplace

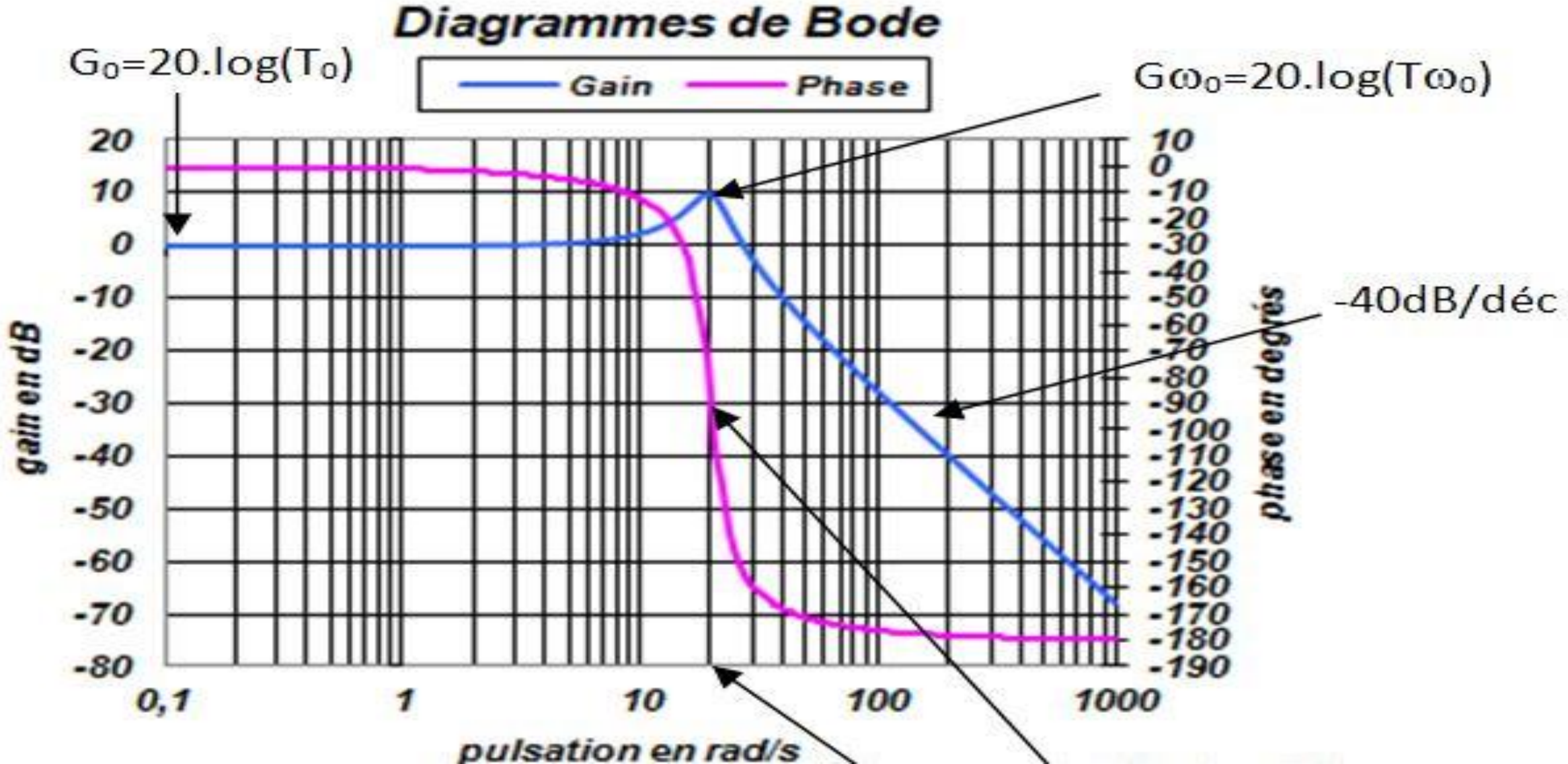
→ Exemple :



Étude temporelle



Étude fréquentielle



Filtrage numérique

- **La transformée en z**

→ Définition :

$$X(z) = TZ [x(n)] = \sum_{n=-\infty}^{+\infty} x(n)z^{-n}, z \in \mathbb{C}$$

Filtrage numérique

- **La transformée en z**

→ Définition :
$$X(z) = TZ [x(n)] = \sum_{n=-\infty}^{+\infty} x(n)z^{-n}, z \in \mathbb{C}$$

→ Outil d'étude des systèmes linéaires invariants dans le temps NUMERIQUES

$$x(n) \longrightarrow \boxed{h(n) \begin{matrix} \xrightarrow{TZ} \\ \xleftarrow{TZ^{-1}} \end{matrix} H(z)} \longrightarrow y(n) = x(n) * h(n) \xrightarrow{TZ} Y(z) = \underline{H(z)}X(z)$$

Fonction de transfert

- Étude temporelle : stabilité, rapidité, précision
- Étude fréquentielle :

$$\underline{H(\tilde{f})} = [H(z)]_{z=j2\pi\tilde{f}} \quad (TZ = TFD)$$

Réponse en fréquence

$$\tilde{f} = \frac{f}{F_e} \quad (\text{fréquence normalisée})$$

Filtrage numérique

- **La transformée en z**

→ Définition :
$$X(z) = TZ [x(n)] = \sum_{n=-\infty}^{+\infty} x(n)z^{-n}, z \in \mathbb{C}$$

→ Outil d'étude des systèmes linéaires invariants dans le temps NUMERIQUES

$$x(n) \longrightarrow \boxed{h(n) \begin{array}{c} \xrightarrow{TZ} \\ \xleftarrow{TZ^{-1}} \end{array} H(z)} \longrightarrow y(n) = x(n) * h(n) \xrightarrow{TZ} Y(z) = \underline{H(z)}X(z)$$

Fonction de transfert

- Étude temporelle : stabilité, rapidité, précision
- Étude fréquentielle :

$$\underline{H(\tilde{f})} = [H(z)]_{z=j2\pi\tilde{f}} \quad (TZ = TFD)$$

$$\tilde{f} = \frac{f}{F_e} \quad (\text{fréquence normalisée})$$

→ Principales propriétés :

Réponse en fréquence

- Linéarité : $TZ [ax(n) + by(n)] = aTZ [x(n)] + bTZ [y(n)]$
- Décalage temporel : $TZ [x(n - n_0)] = z^{-n_0}TZ [x(n)]$
- Produit de convolution : $TZ [x(n) * y(n)] = X(z)Y(z)$

Filtrage numérique

- **La transformée en z**

→ Définition :
$$X(z) = TZ [x(n)] = \sum_{n=-\infty}^{+\infty} x(n)z^{-n}, z \in \mathbb{C}$$

→ Outil d'étude des systèmes linéaires invariants dans le temps NUMERIQUES

$$x(n) \longrightarrow \boxed{h(n) \begin{matrix} \xrightarrow{TZ} \\ \xleftarrow{TZ^{-1}} \end{matrix} H(z)} \longrightarrow y(n) = x(n) * h(n) \xrightarrow{TZ} Y(z) = \underline{H(z)}X(z)$$

Fonction de transfert

- Étude temporelle : stabilité, rapidité, précision
- Étude fréquentielle :

$$\underline{H(\tilde{f})} = [H(z)]_{z=j2\pi\tilde{f}} \quad (TZ = TFD)$$

Réponse en fréquence

→ Principales propriétés :

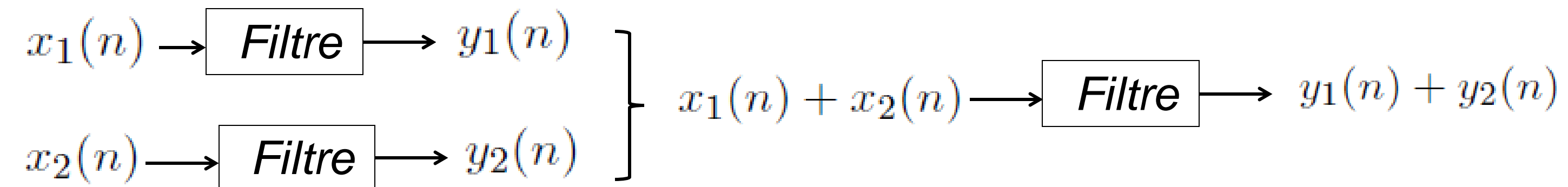
- Linéarité : $TZ [ax(n) + by(n)] = aTZ [x(n)] + bTZ [y(n)]$
- Décalage temporel : $TZ [x(n - n_0)] = z^{-n_0}TZ [x(n)]$
- Produit de convolution : $TZ [x(n) * y(n)] = X(z)Y(z)$

Voir Poly pour plus de détails (domaine d'existence, TZ inverse ...)

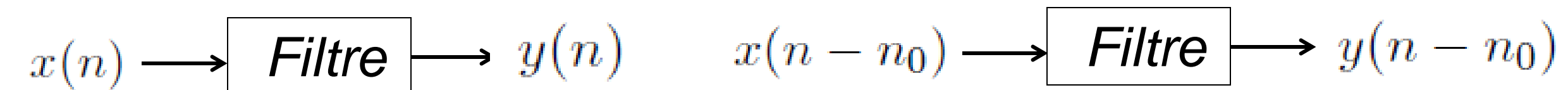
Filtrage numérique

- **Filtres linéaires invariants dans le temps**

→ Linéarité :

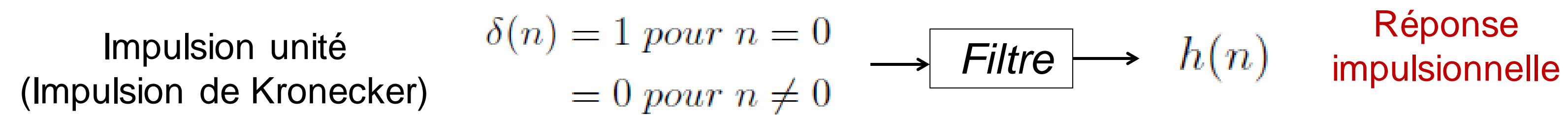


→ Invariance dans le temps :



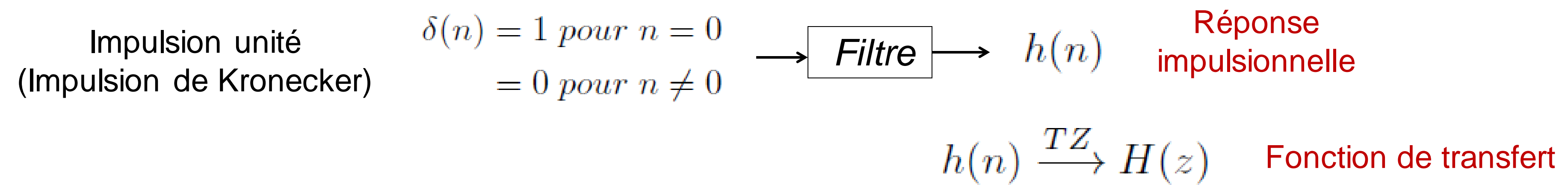
Filtrage numérique

- Réponse impulsionnelle et fonction de transfert



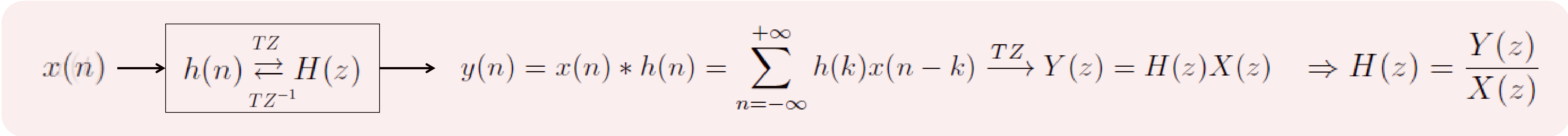
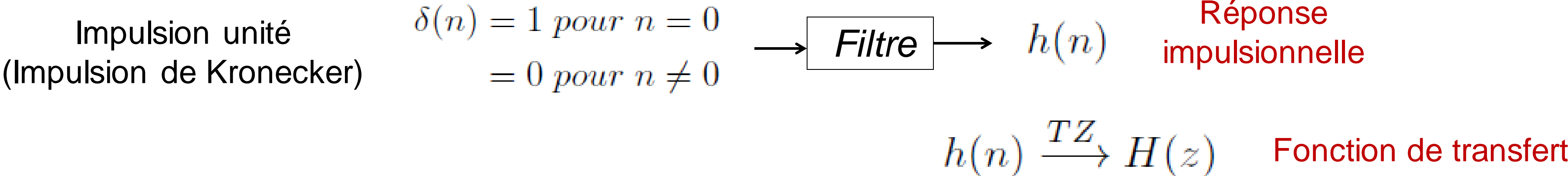
Filtrage numérique

- Réponse impulsionnelle et fonction de transfert



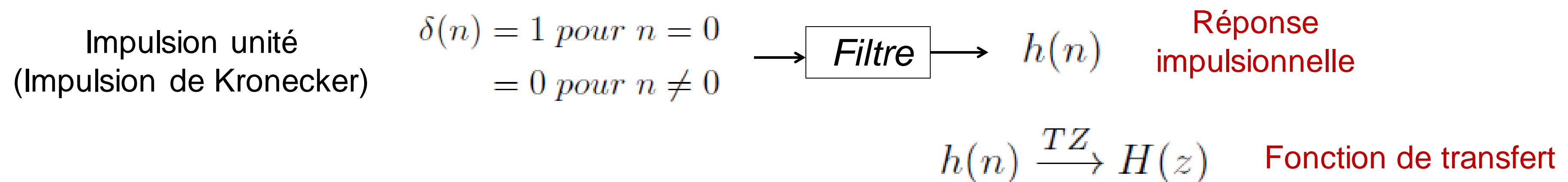
Filtrage numérique

- Réponse impulsionnelle et fonction de transfert



Filtrage numérique

- Réponse impulsionnelle et fonction de transfert



$x(n) \longrightarrow$ $h(n) \xrightleftharpoons[TZ^{-1}]{TZ} H(z)$ \longrightarrow $y(n) = x(n) * h(n) = \sum_{k=-\infty}^{+\infty} h(k)x(n-k) \xrightarrow{TZ} Y(z) = H(z)X(z) \Rightarrow H(z) = \frac{Y(z)}{X(z)}$

- Réponse en fréquence et temps de propagation de groupe

\rightarrow Réponse en fréquence (ou réponse harmonique) :

$$H(\tilde{f}) = [H(z)]_{z=e^{j2\pi\tilde{f}}} \quad (TZ = TFD)$$

$$\tilde{f} = \frac{f}{F_e} \quad (\text{fréquence normalisée})$$

\rightarrow Temps de propagation de groupe (TPG) :

$$TPG(\tilde{f}) = -\frac{1}{2\pi} \frac{d\Phi_H(\tilde{f})}{d\tilde{f}}$$

Remarque : $|H(\tilde{f})|^2 = [H(z)H(z^{-1})]_{z=e^{j2\pi\tilde{f}}}$

Filtrage numérique

- **Conditions de réalisabilité (données sur la réponse impulsionnelle)**

→ Causalité :

$$h(n) = 0 \text{ pour } n < 0.$$

→ Stabilité (entrée bornée => sortie bornée) :

$$\sum_{n=-\infty}^{+\infty} |h(n)| < \infty$$

→ Réponse impulsionnelle réelle

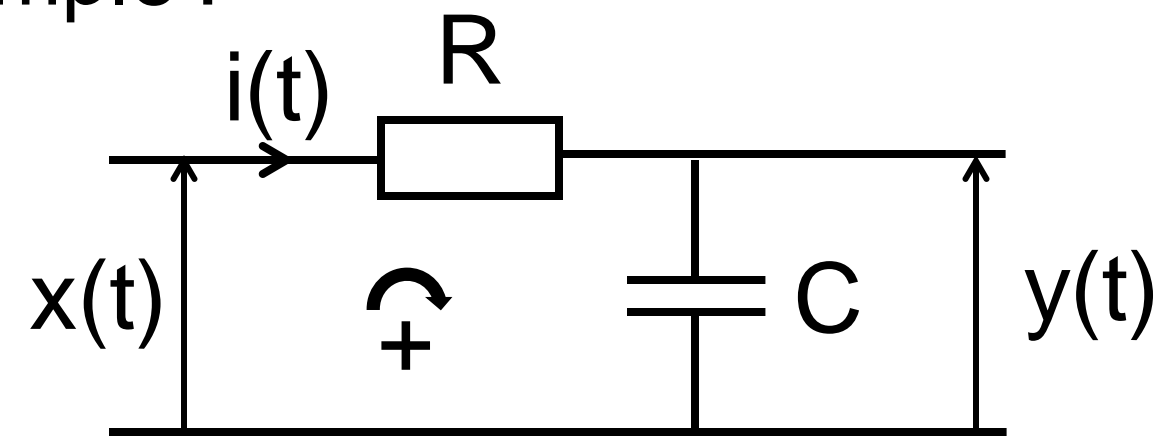
$$h(n) \in \mathbb{R}$$

Filtrage numérique

- **Filtres numériques RATIONNELS**

→ Définis par analogie avec les filtres analogiques :

Exemple :



$$TL \begin{cases} y(t) = x(t) - RC \frac{dy(t)}{dt} \\ H(p) = \frac{Y(p)}{X(p)} = \frac{1}{1 + RCp} \end{cases}$$

Équation différentielle en temporel

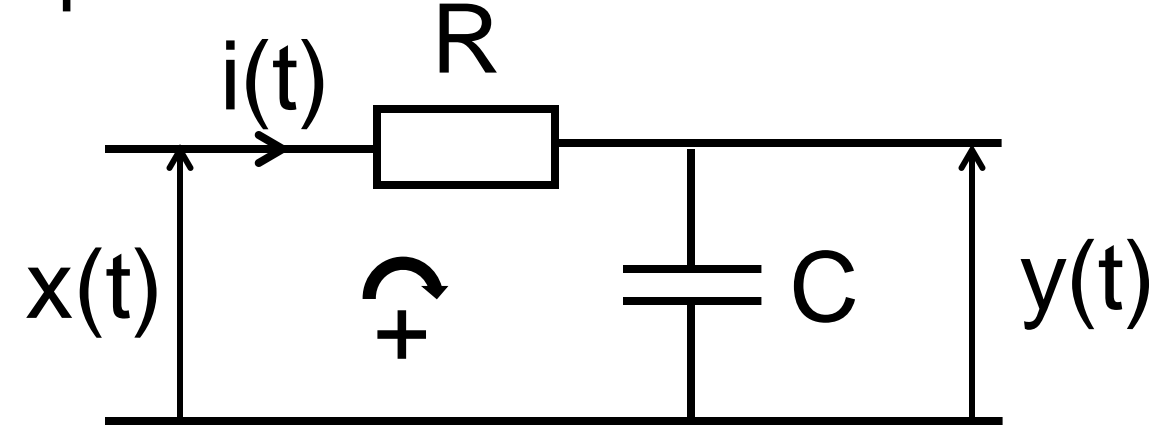
Fonction de transfert rationnelle en p

Filtrage numérique

- Filtres numériques RATIONNELS**

→ Définis par analogie avec les filtres analogiques :

Exemple :



$$y(t) = x(t) - RC \frac{dy(t)}{dt}$$

$$H(p) = \frac{Y(p)}{X(p)} = \frac{1}{1 + RCp}$$

Équation différentielle en temporel

Fonction de transfert rationnelle en p

$$H(z) = \frac{Y(z)}{X(z)} = \frac{\sum_{k=0}^{N-1} b_k z^{-k}}{\sum_{k=0}^{M-1} a_k z^{-k}}$$

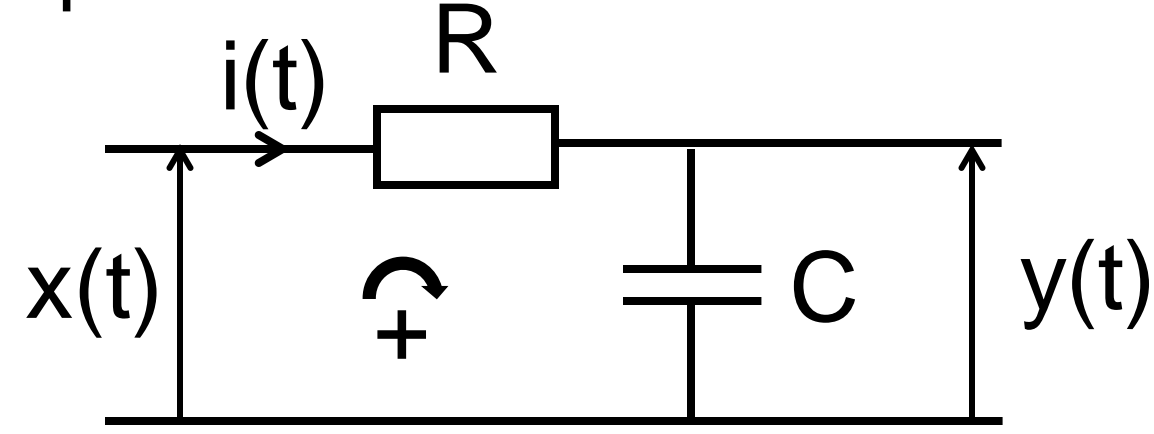
Fonction de transfert RATIONNELLE en z

Filtrage numérique

- Filtres numériques RATIONNELS**

→ Définis par analogie avec les filtres analogiques :

Exemple :



TL

$$y(t) = x(t) - RC \frac{dy(t)}{dt}$$

$$H(p) = \frac{Y(p)}{X(p)} = \frac{1}{1 + RCp}$$

Équation différentielle en temporel

Fonction de transfert rationnelle en p

TZ⁻¹

$$H(z) = \frac{Y(z)}{X(z)} = \frac{\sum_{k=0}^{N-1} b_k z^{-k}}{\sum_{k=0}^{M-1} a_k z^{-k}}$$

Fonction de transfert **RATIONNELLE** en z

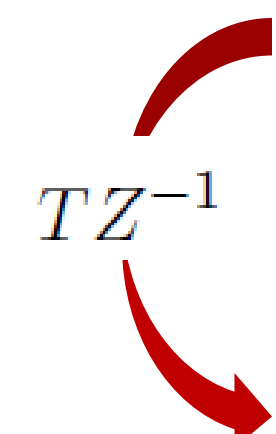
$$y(n) = - \sum_{k=1}^{M-1} a_k y(n-k) + \sum_{k=0}^{N-1} b_k x(n-k)$$

Équation récurrente en temporel
(Remarque : on impose $a_0 = 1$)

Filtrage numérique

- **Filtres numériques RATIONNELS**

→ Définition :

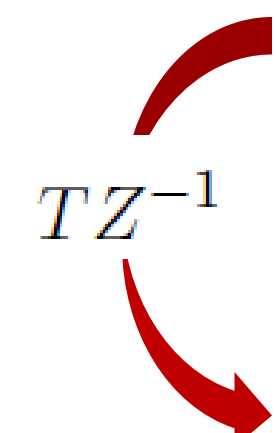

$$H(z) = \frac{Y(z)}{X(z)} = \frac{\sum_{k=0}^{N-1} b_k z^{-k}}{\sum_{k=0}^{M-1} a_k z^{-k}} \quad \text{Fonction de transfert RATIONNELLE en } z$$
$$y(n) = - \sum_{k=1}^{M-1} a_k y(n-k) + \sum_{k=0}^{N-1} b_k x(n-k) \quad \text{Équation récurrente en temporel}$$

(Remarque : on impose $a_0 = 1$)

Filtrage numérique

- **Filtres numériques RATIONNELS**

→ Définition :


$$H(z) = \frac{Y(z)}{X(z)} = \frac{\sum_{k=0}^{N-1} b_k z^{-k}}{\sum_{k=0}^{M-1} a_k z^{-k}} \quad \text{Fonction de transfert RATIONNELLE en } z$$
$$y(n) = - \sum_{k=1}^{M-1} a_k y(n-k) + \sum_{k=0}^{N-1} b_k x(n-k) \quad \text{Équation récurrente en temporel}$$

(Remarque : on impose $a_0 = 1$)

Définis par deux jeux de coefficients

$$(a_0 = 1)y(n) = - \sum_{k=1}^{M-1} a_k y(n-k) + \sum_{k=0}^{N-1} b_k x(n-k)$$

Filtrage numérique

- Filtres numériques RATIONNELS**

→ Définition :

$$H(z) = \frac{Y(z)}{X(z)} = \frac{\sum_{k=0}^{N-1} b_k z^{-k}}{\sum_{k=0}^{M-1} a_k z^{-k}} \quad \text{Fonction de transfert RATIONNELLE en } z$$
$$y(n) = - \sum_{k=1}^{M-1} a_k y(n-k) + \sum_{k=0}^{N-1} b_k x(n-k) \quad \text{Équation récurrente en temporel}$$

(Remarque : on impose $a_0 = 1$)

Définis par deux jeux de coefficients

$$(a_0 = 1)y(n) = - \sum_{k=1}^{M-1} a_k y(n-k) + \sum_{k=0}^{N-1} b_k x(n-k)$$

%filtrage sous Matlab

```
y=filter(B,A,x);
```

Signal filtré

Signal à filtrer

**Définition du filtre
à utiliser (deux tableaux
de coefficients)**

Filtrage numérique

- Filtres numériques RATIONNELS**

→ Définition :

$$H(z) = \frac{Y(z)}{X(z)} = \frac{\sum_{k=0}^{N-1} b_k z^{-k}}{\sum_{k=0}^{M-1} a_k z^{-k}} \quad \text{Fonction de transfert RATIONNELLE en } z$$

TZ^{-1}

$$y(n) = - \sum_{k=1}^{M-1} a_k y(n-k) + \sum_{k=0}^{N-1} b_k x(n-k) \quad \text{Équation récurrente en temporel}$$

(Remarque : on impose $a_0 = 1$)

Définis par deux jeux de coefficients

$$(a_0 = 1)y(n) = - \sum_{k=1}^{M-1} a_k y(n-k) + \sum_{k=0}^{N-1} b_k x(n-k)$$

Système bouclé

$$y(n) = - \sum_{k=1}^{M-1} a_k y(n-k) + \sum_{k=0}^{N-1} b_k x(n-k)$$

%filtrage sous Matlab

```
y=filter(B,A,x);
```

Signal filtré

Signal à filtrer

**Définition du filtre
à utiliser (deux tableaux
de coefficients)**

Filtrage numérique

- Filtres numériques RATIONNELS**

→ Définition :

$$H(z) = \frac{Y(z)}{X(z)} = \frac{\sum_{k=0}^{N-1} b_k z^{-k}}{\sum_{k=0}^{M-1} a_k z^{-k}} \quad \text{Fonction de transfert RATIONNELLE en } z$$

TZ^{-1}

$$y(n) = - \sum_{k=1}^{M-1} a_k y(n-k) + \sum_{k=0}^{N-1} b_k x(n-k) \quad \text{Équation récurrente en temporel}$$

(Remarque : on impose $a_0 = 1$)

Définis par deux jeux de coefficients

$$(a_0 = 1)y(n) = - \sum_{k=1}^{M-1} a_k y(n-k) + \sum_{k=0}^{N-1} b_k x(n-k)$$

%filtrage sous Matlab

Signal filtré \leftarrow `y=filter(B,A,x);` \leftarrow Signal à filtrer

Définition du filtre
à utiliser (deux tableaux de coefficients)

Système bouclé

$$y(n) = - \sum_{k=1}^{M-1} a_k y(n-k) + \sum_{k=0}^{N-1} b_k x(n-k)$$

➔
$$h(n) = - \sum_{k=1}^{M-1} a_k h(n-k), \text{ pour } n \geq N$$

Filtres de type RII = à Réponse Impulsionnelle Infinie

Filtrage numérique

- **Stabilité des filtres numériques RATIONNELS**

→ Condition sur les pôles de la fonction de transfert (démonstration dans le poly) :

$$H(z) = \frac{\sum_{k=0}^{N-1} b_k z^{-k}}{\sum_{k=0}^{M-1} a_k z^{-k}} = \sum_{k=0}^{M-1} \frac{A_k}{1 - p_k z^{-1}}$$

(hypothèse : $N < M$)

TZ^{-1}

$$h(n) = \sum_{k=0}^{M-1} A_k p_k^n u(n) \quad (\text{solution causale}^{(1)})$$



**Condition de stabilité
des filtres numériques rationnels**

$$\sum_{n=-\infty}^{+\infty} |h(n)| < \infty \quad \text{si } |p_k| < 1 \quad \forall k$$

Filtrage numérique

Stabilité des filtres numériques RATIONNELS

→ Condition sur les pôles de la fonction de transfert (démonstration dans le poly) :

$$H(z) = \frac{\sum_{k=0}^{N-1} b_k z^{-k}}{\sum_{k=0}^{M-1} a_k z^{-k}} = \sum_{k=0}^{M-1} \frac{A_k}{1 - p_k z^{-1}}$$

(hypothèse : $N < M$)

TZ^{-1}

$$h(n) = \sum_{k=0}^{M-1} A_k p_k^n u(n) \quad (\text{solution causale}^{(1)})$$

Condition de stabilité des filtres numériques rationnels

$$\sum_{n=-\infty}^{+\infty} |h(n)| < \infty \quad \text{si } |p_k| < 1 \quad \forall k$$

→ Condition sur les coefficients (a_k, b_k) (voir exercice 4 dans le poly) :

- Filtres du 1^{er} ordre

$$H(z) = \frac{b_0 + b_1 z^{-1}}{1 + a_1 z^{-1}}$$

$$|a_1| < 1$$

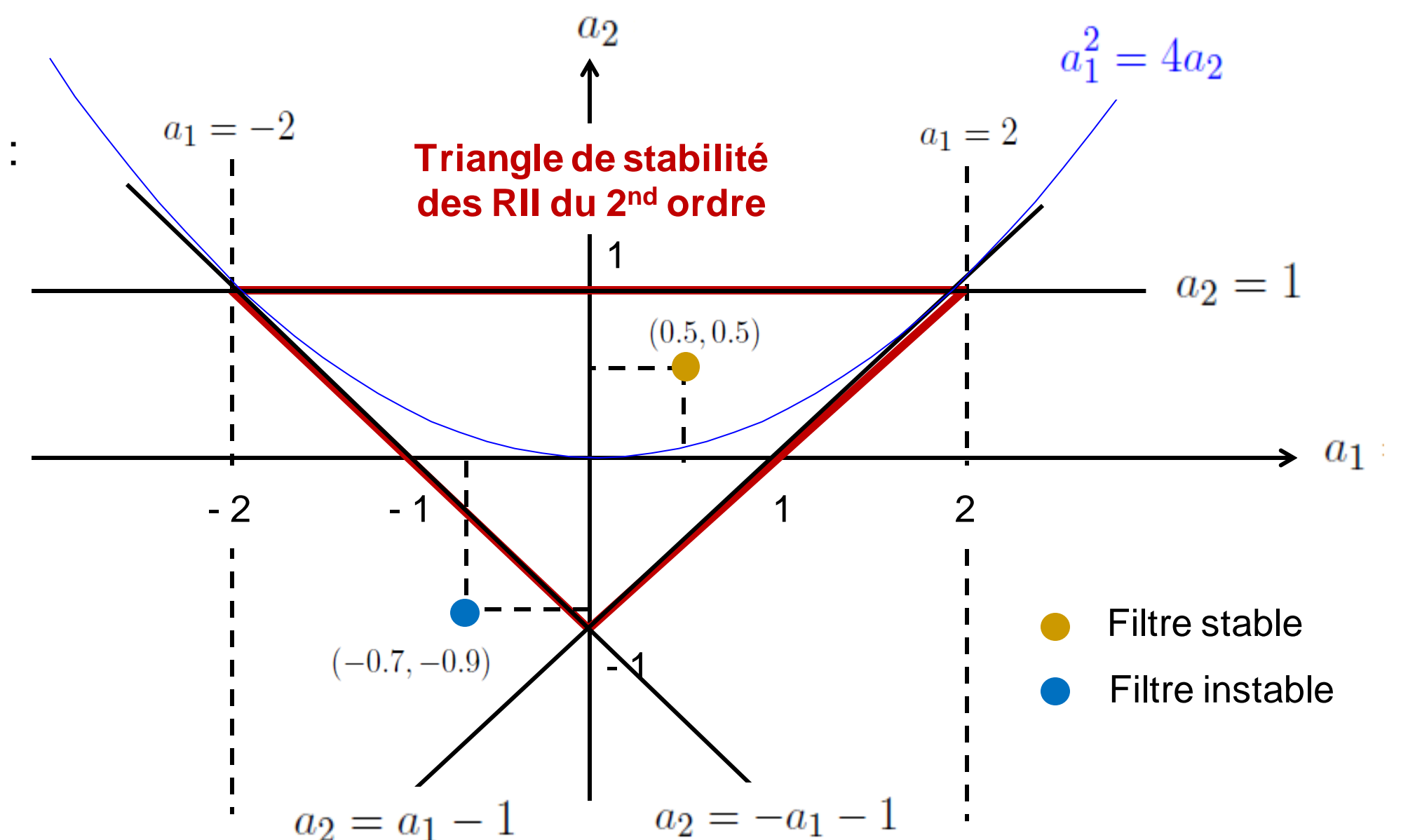
Condition de stabilité des RII du 1^{er} ordre

- Filtres du 2nd ordre

$$H(z) = \frac{b_0 + b_1 z^{-1} + b_2 z^{-2}}{1 + a_1 z^{-1} + a_2 z^{-2}}$$

$$(a_1, a_2) \in \text{triangle de stabilité}$$

Condition de stabilité des RII du 2nd ordre



⁽¹⁾ La TZ inverse n'est pas unique. Elle sera différente selon le contour choisi dans le domaine de convergence pour la calculer : voir exercices poly sur la TZ.

Filtrage numérique

- **Filtres numériques RATIONNELS à réponse impulsionnelle finie (type RIF)**

→ Définition :

$$y(n) = - \sum_{k=1}^{M-1} a_k y(n-k) + \sum_{k=0}^{N-1} b_k x(n-k) \quad \xrightarrow{TZ} \quad H(z) = \frac{Y(z)}{X(z)} = \sum_{k=0}^{N-1} b_k z^{-k}$$

Équation récurrente en temporel sans boucle de réaction

Filtrage numérique

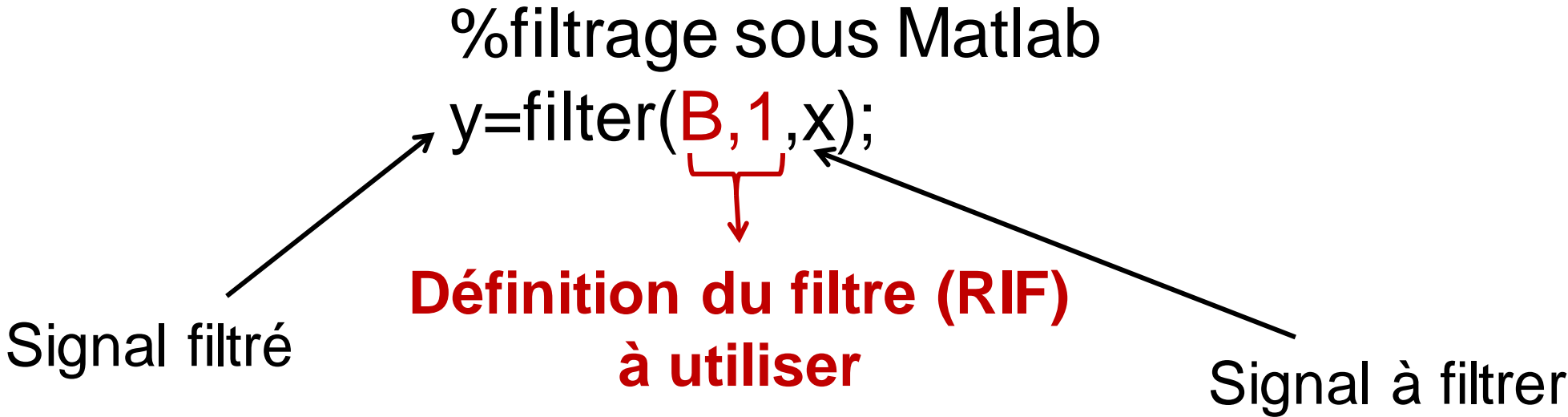
- Filtres numériques RATIONNELS à réponse impulsionnelle finie (type RIF)**

→ Définition :

$$y(n) = - \sum_{k=1}^{M-1} a_k y(n-k) + \sum_{k=0}^{N-1} b_k x(n-k) \quad \xrightarrow{TZ} \quad H(z) = \frac{Y(z)}{X(z)} = \sum_{k=0}^{N-1} b_k z^{-k}$$

Équation récurrente en temporel sans boucle de réaction

Définis par un seul jeu de coefficients



```
y=conv(x,B,'same');
```

'same' returns the central part of the convolution that is the same size as x.

Filtrage numérique

- Filtres numériques RATIONNELS à réponse impulsionnelle finie (type RIF)**

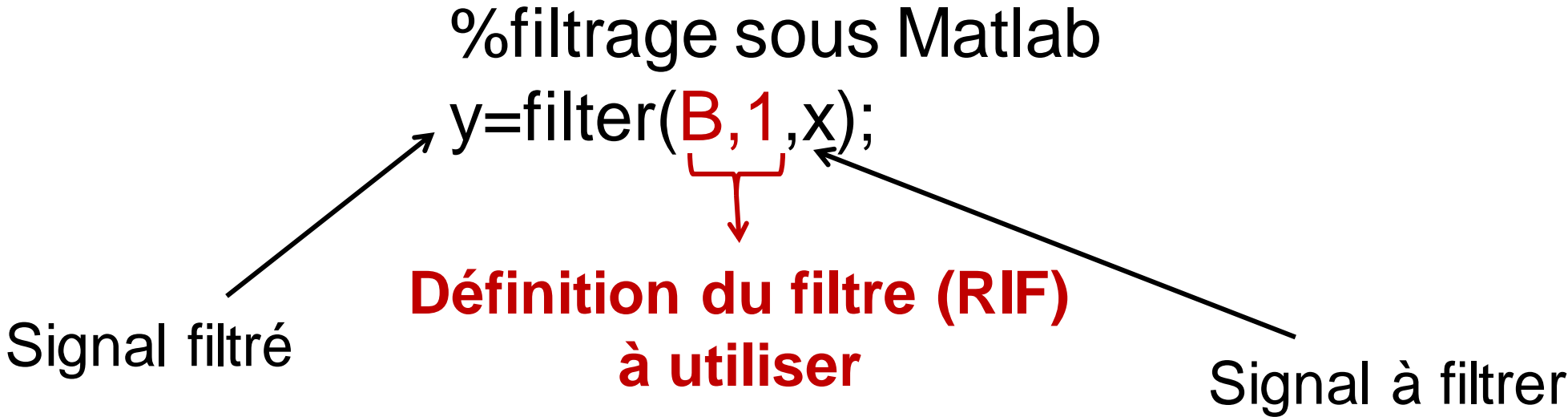
→ Définition :

$$y(n) = - \sum_{k=1}^{M-1} a_k y(n-k) + \sum_{k=0}^{N-1} b_k x(n-k) \quad \xrightarrow{TZ} \quad H(z) = \frac{Y(z)}{X(z)} = \sum_{k=0}^{N-1} b_k z^{-k}$$

Équation récurrente en temporel sans boucle de réaction

Définis par un seul jeu de coefficients

Systeme non bouclé



$$y(n) = \sum_{k=0}^{N-1} b_k x(n-k) = \sum_{k=0}^{N-1} h(k) x(n-k)$$

`y=conv(x,B,'same');`
 'same' returns the central part of the convolution that is the same size as x.

- Filtres non récurrents
- Inconditionnellement stables
- Remarque : $b_k = h(k)$ mais pour un filtre rendu causal (voir plus loin)

Filtrage numérique

- **Synthèse et implantation des filtres numériques rationnels**

Spécifications à respecter :

GABARIT

Filtrage numérique

- **Synthèse et implantation des filtres numériques rationnels**

Spécifications à respecter :

GABARIT

? COEFFICIENTS ?

$$\{a_k\}_{k=0,\dots,M-1}$$

$$\{b_k\}_{k=0,\dots,N-1}$$

Définissant un filtre respectant le gabarit fixé

Filtrage numérique

- **Synthèse et implantation des filtres numériques rationnels**

Spécifications à respecter :

GABARIT



SYNTHÈSE



COEFFICIENTS

$$\{a_k\}_{k=0,\dots,M-1}$$

$$\{b_k\}_{k=0,\dots,N-1}$$

Définissant un filtre respectant le gabarit fixé

Filtrage numérique

- Synthèse et implantation des filtres numériques rationnels**

Spécifications à respecter :

GABARIT



COEFFICIENTS

$$\{a_k\}_{k=0, \dots, M-1}$$

$$\{b_k\}_{k=0, \dots, N-1}$$

IMPLANTATION sous Matlab ← Définissant un filtre respectant le gabarit fixé → **IMPLANTATION** en temps réel :

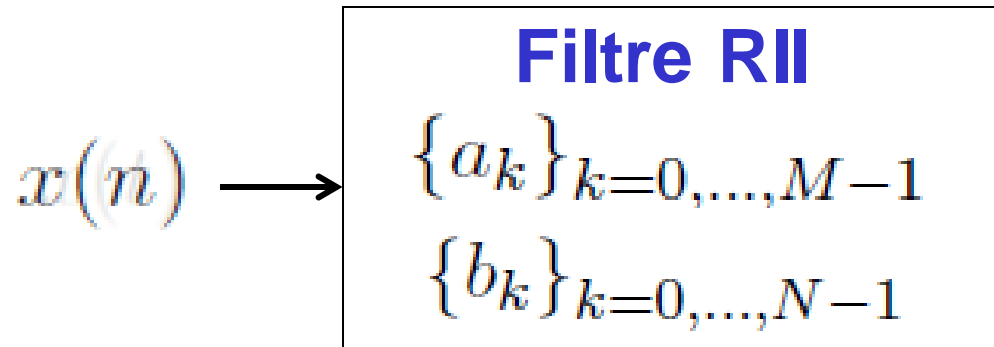
Tableaux de coefficients définissant le filtre à utiliser

```
y=filter(B,A,x);
```

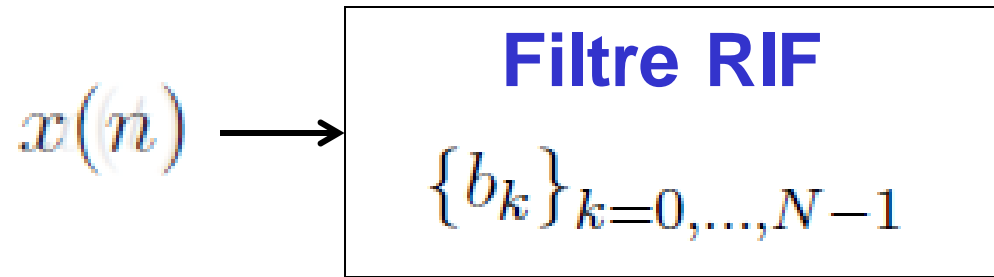
Signal filtré

Signal à filtrer

Remarque : A=[1] pour les filtres RIF



$$y(n) = - \sum_{k=1}^{M-1} a_k y(n - k) + \sum_{k=0}^{N-1} b_k x(n - k)$$



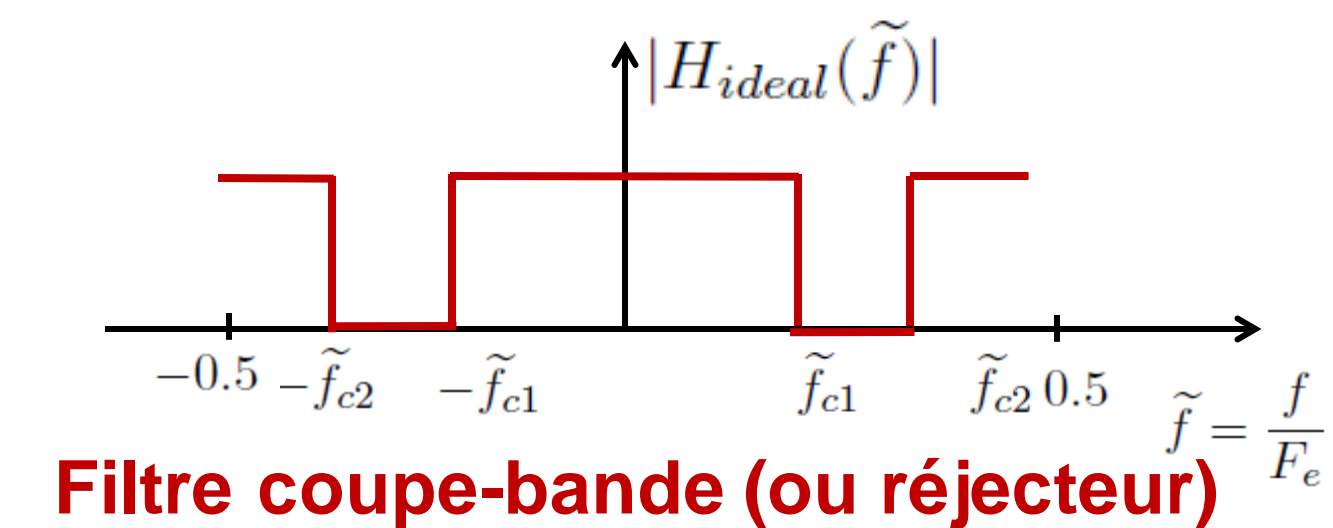
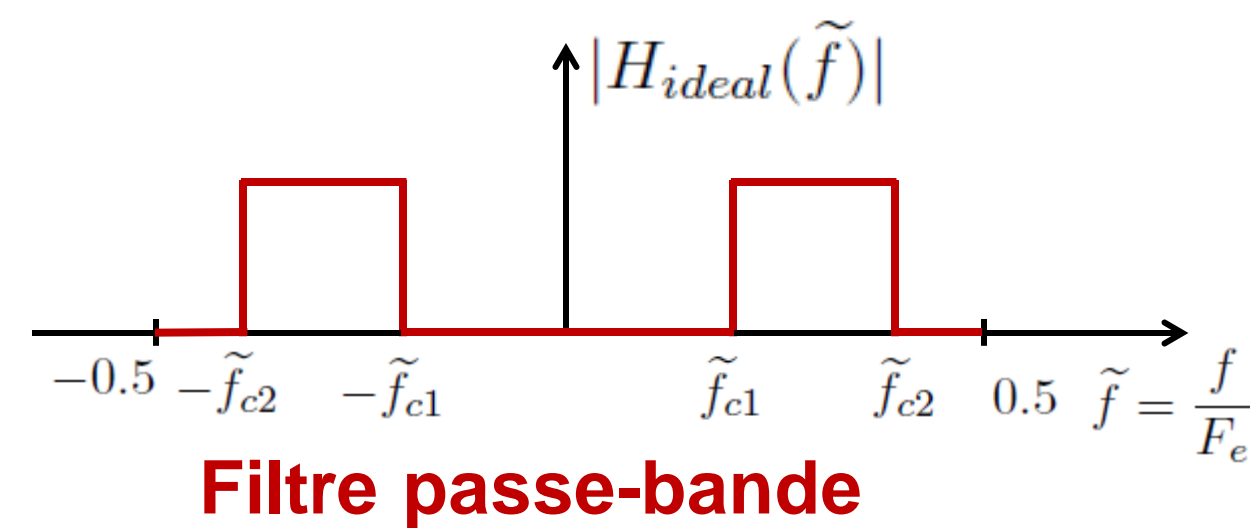
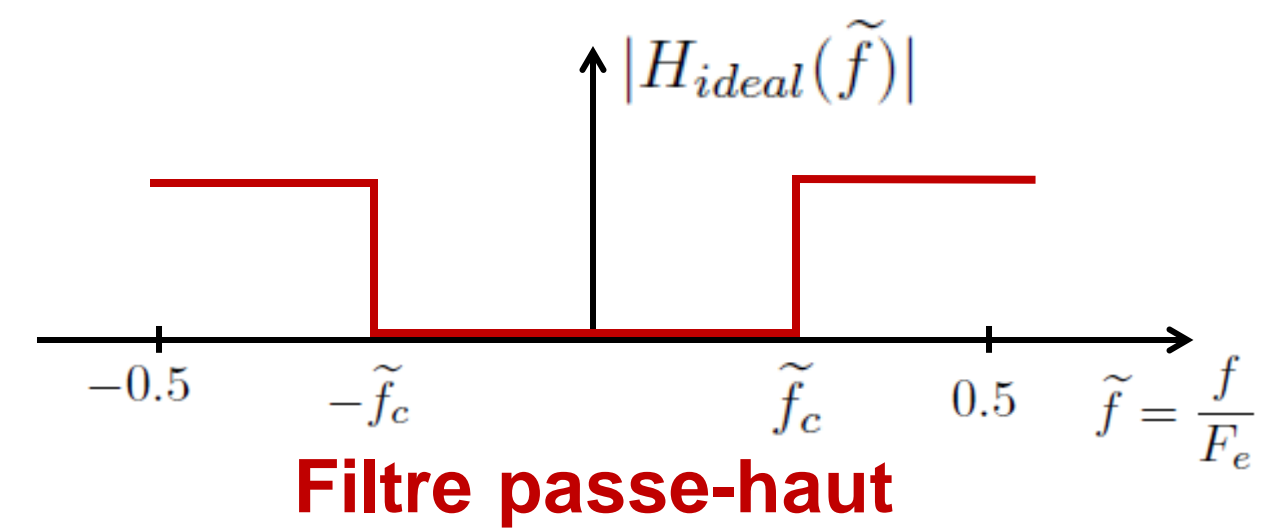
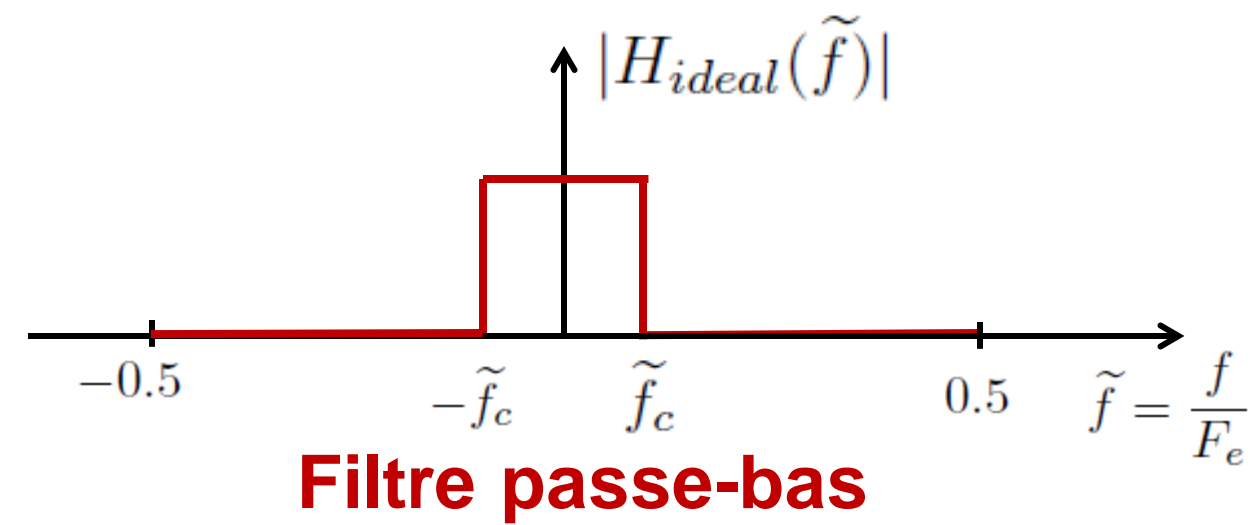
$$y(n) = \sum_{k=0}^{N-1} b_k x(n - k)$$

À réaliser en T_e secondes (période d'échantillonnage)

Filtrage numérique

- Synthèse et implantation des filtres numériques rationnels**

→ Réponses en fréquence cibles idéales



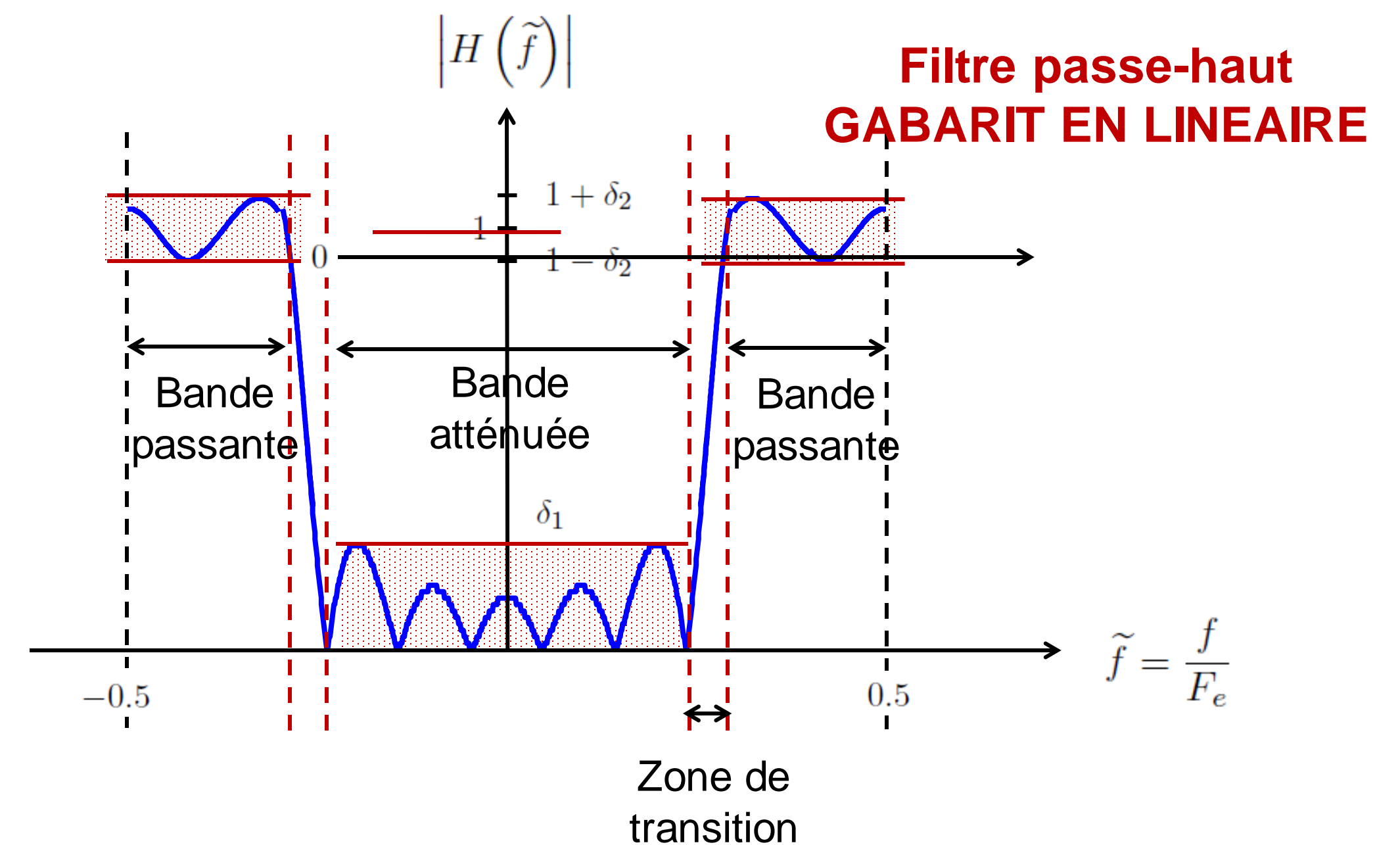
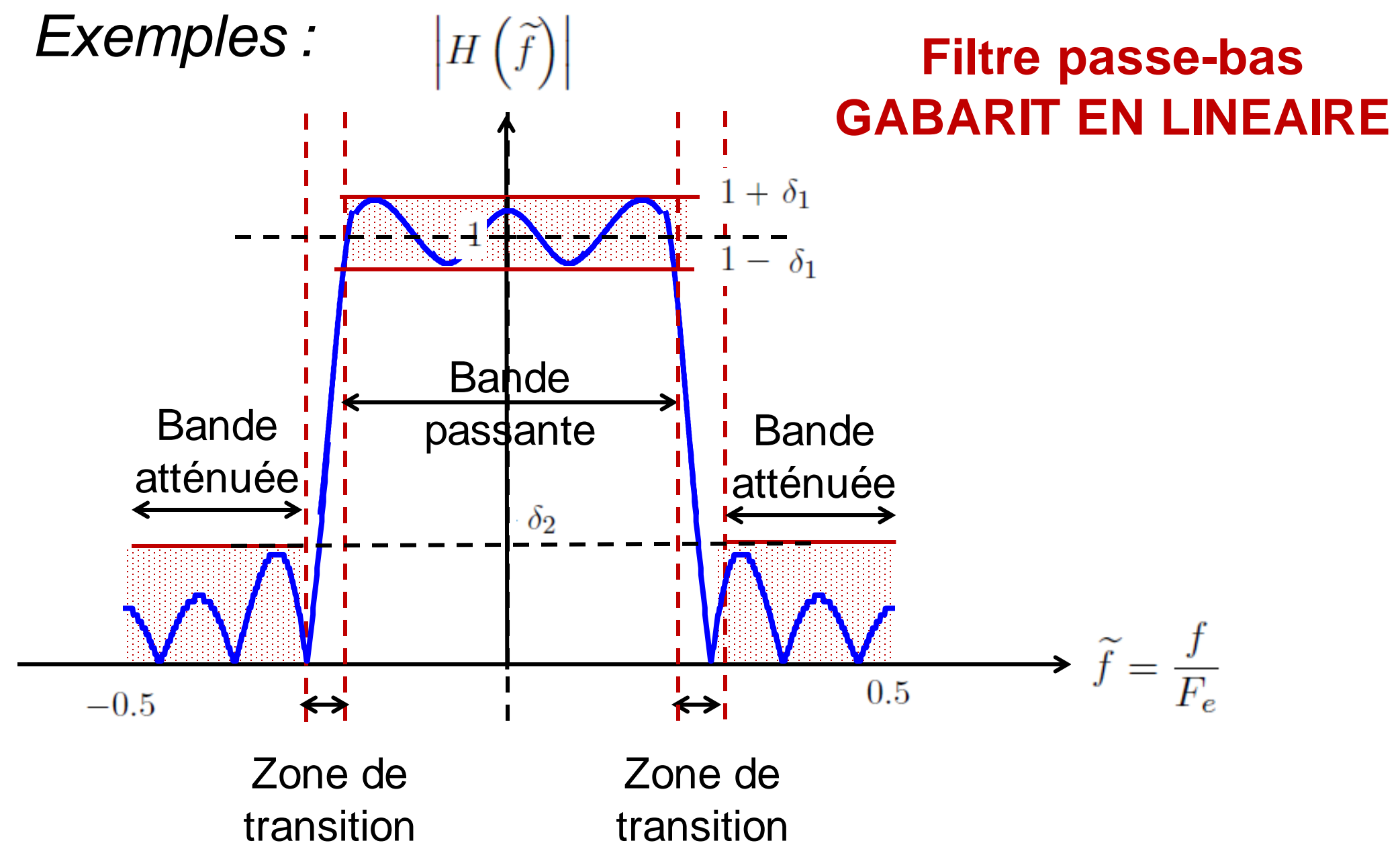
Filtrage numérique

- **Synthèse et implantation des filtres numériques rationnels**

→ Notion de gabarit à respecter

- Sur le module de la réponse en fréquence

Exemples :



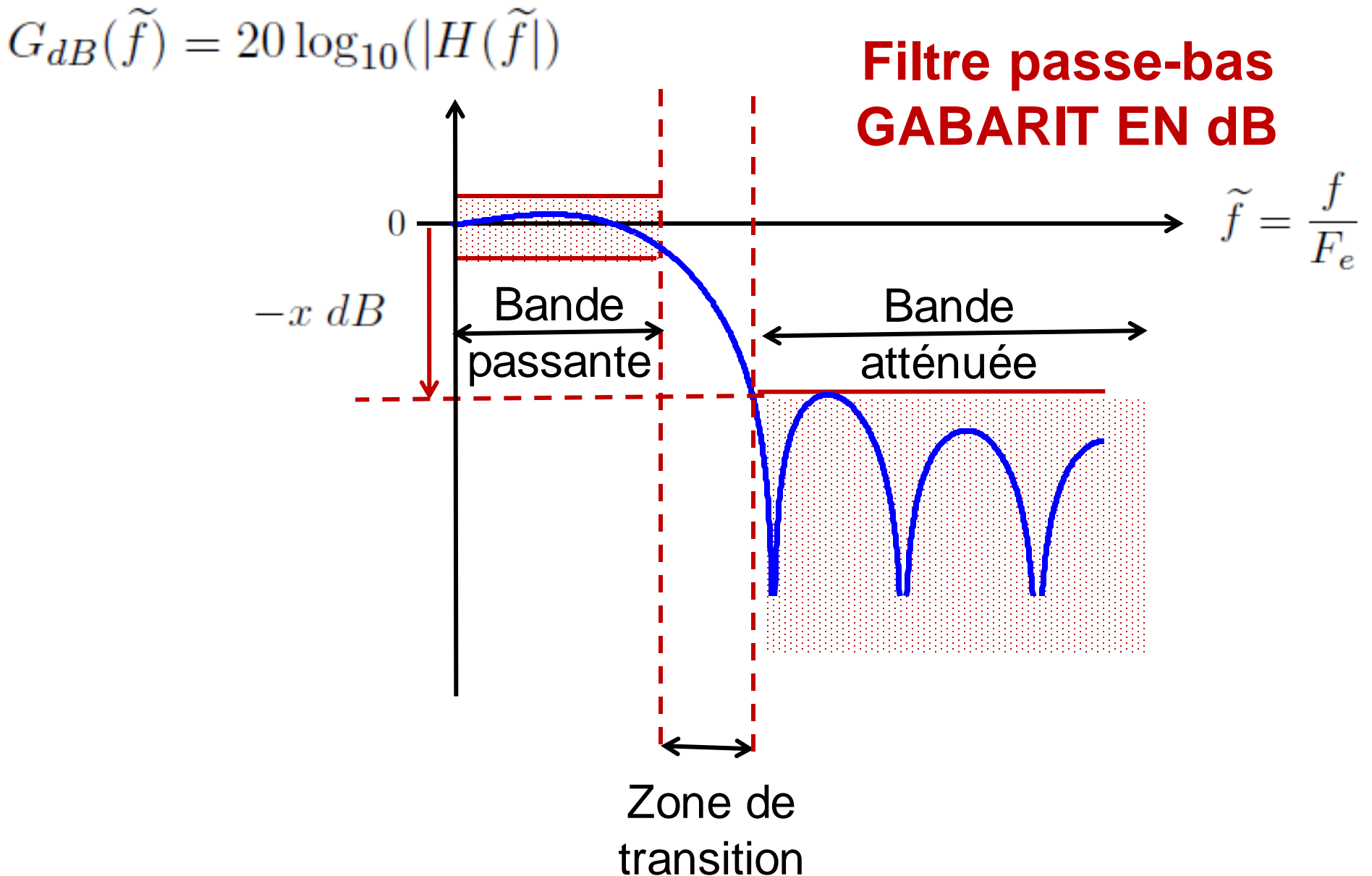
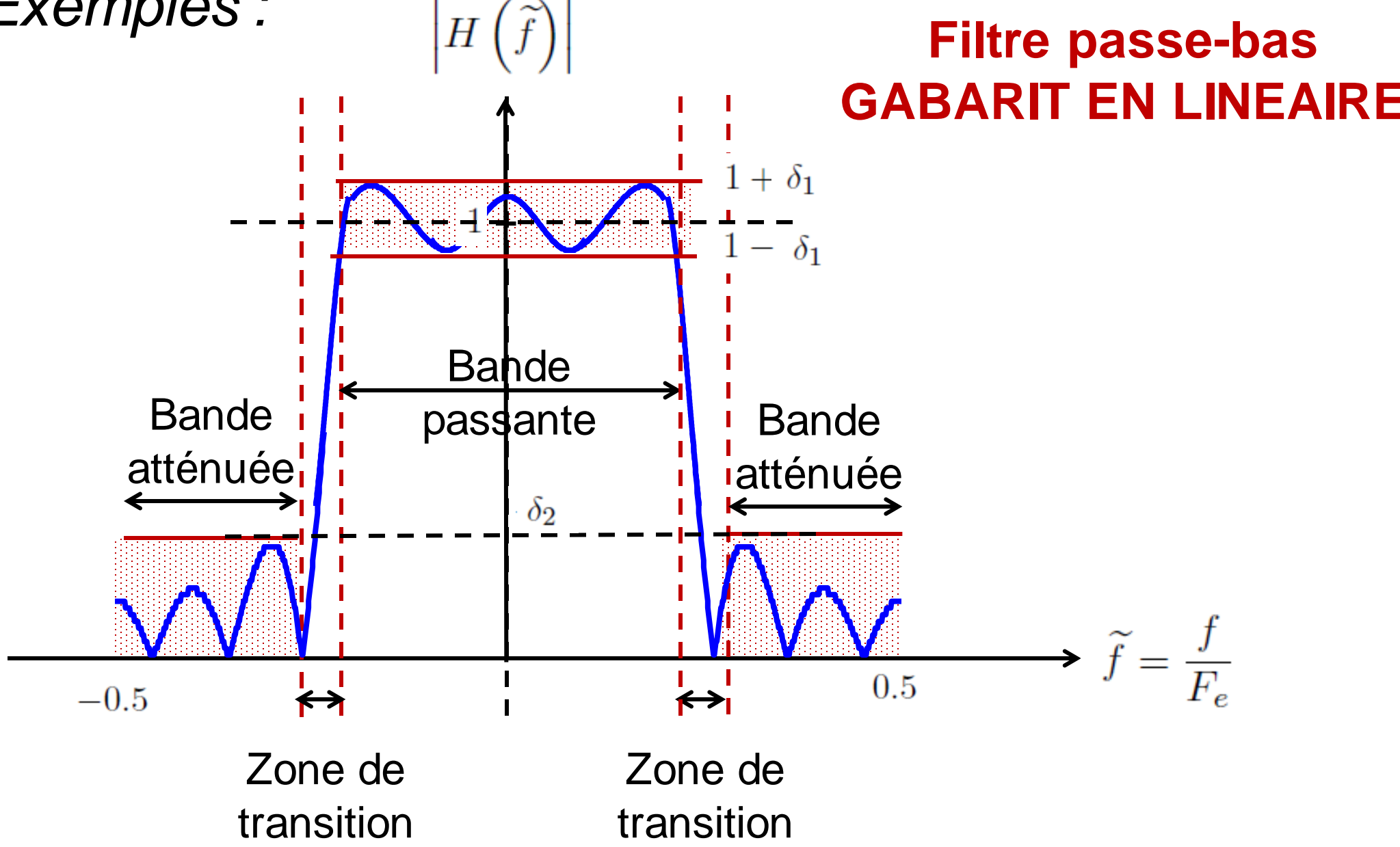
- Sur la phase de la réponse en fréquence : filtres de phase ou passe-tout

Filtrage numérique

- Synthèse et implantation des filtres numériques rationnels**

- Notion de gabarit à respecter
 - Sur le module de la réponse en fréquence

Exemples :



- Sur la phase de la réponse en fréquence : filtres de phase ou passe-tout

Filtrage numérique

- Synthèse et implantation des filtres numériques rationnels**

Spécifications à respecter :

GABARIT



Synthèse de **RIF**

Synthèse de **RII**

Deux méthodes différentes

COEFFICIENTS

$$\{a_k\}_{k=0,\dots,M-1}$$

$$\{b_k\}_{k=0,\dots,N-1}$$

Le filtre qui respecte le gabarit n'est pas unique



d'un filtre respectant le gabarit fixé

IMPLANTATION sous Matlab

Tableaux de coefficients définissant le filtre à utiliser

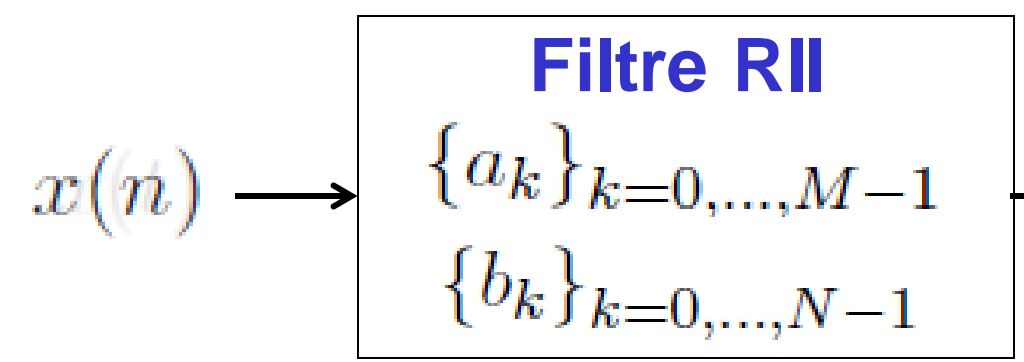
```
y=filter(B,A,x);
```

Signal filtré

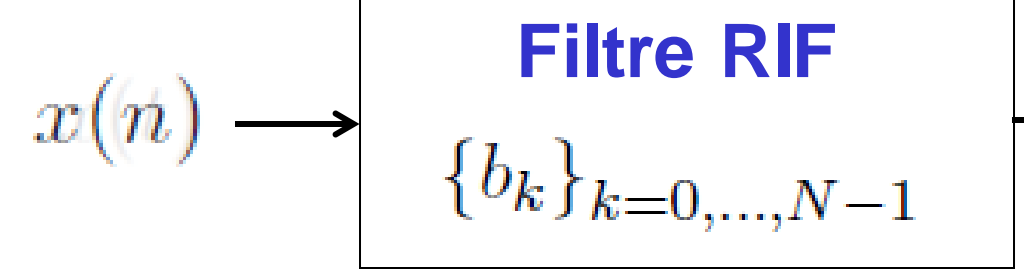
Signal à filtrer

Remarque : A=[1] pour les filtres RIF

IMPLANTATION en temps réel :



$$y(n) = - \sum_{k=1}^{M-1} a_k y(n - k) + \sum_{k=0}^{N-1} b_k x(n - k)$$



$$y(n) = \sum_{k=0}^{N-1} b_k x(n - k)$$

À réaliser en T_e secondes (période d'échantillonnage)

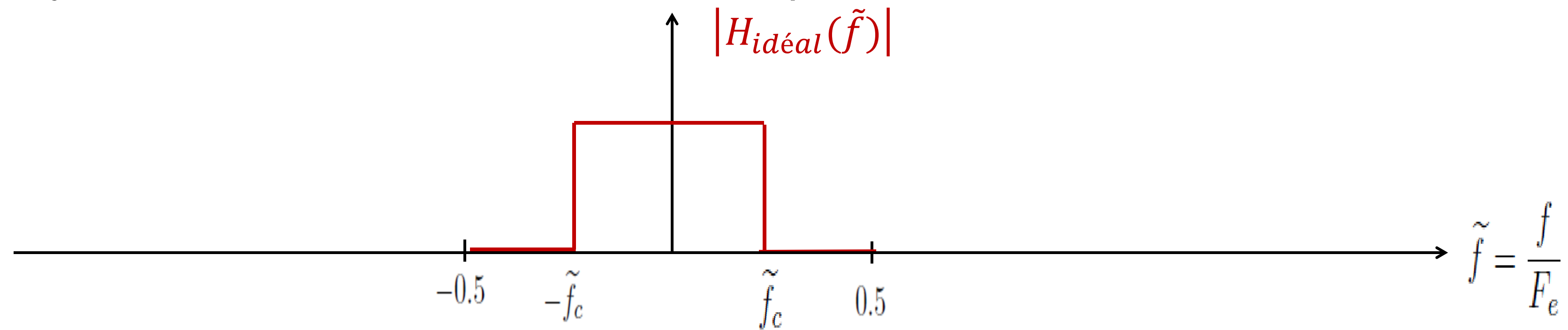
Filtrage numérique

- **Synthèse des filtres numériques de type RIF**

Filtrage numérique

- **Synthèse des filtres numériques de type RIF**

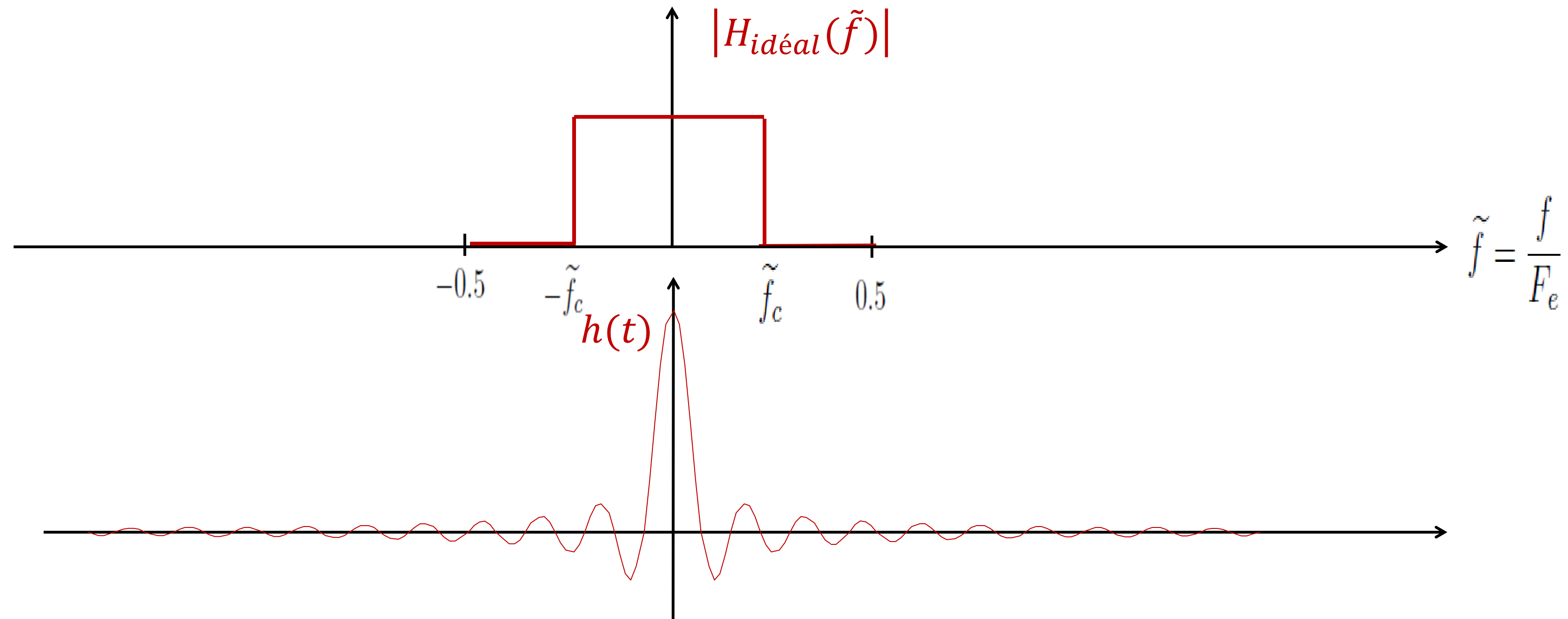
→ Exemple : synthèse d'un filtre passe-bas numérique



Filtrage numérique

- **Synthèse des filtres numériques de type RIF**

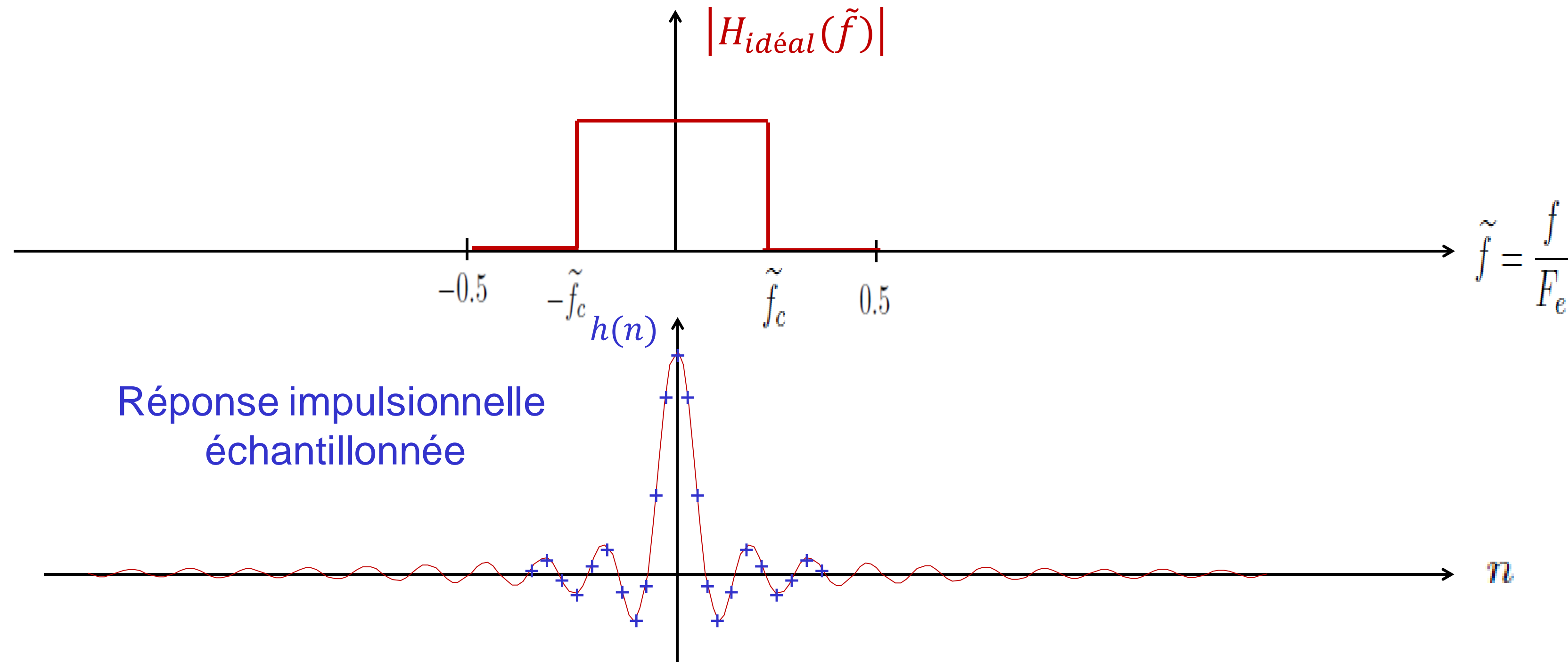
→ Exemple : synthèse d'un filtre passe-bas numérique



Filtrage numérique

- **Synthèse des filtres numériques de type RIF**

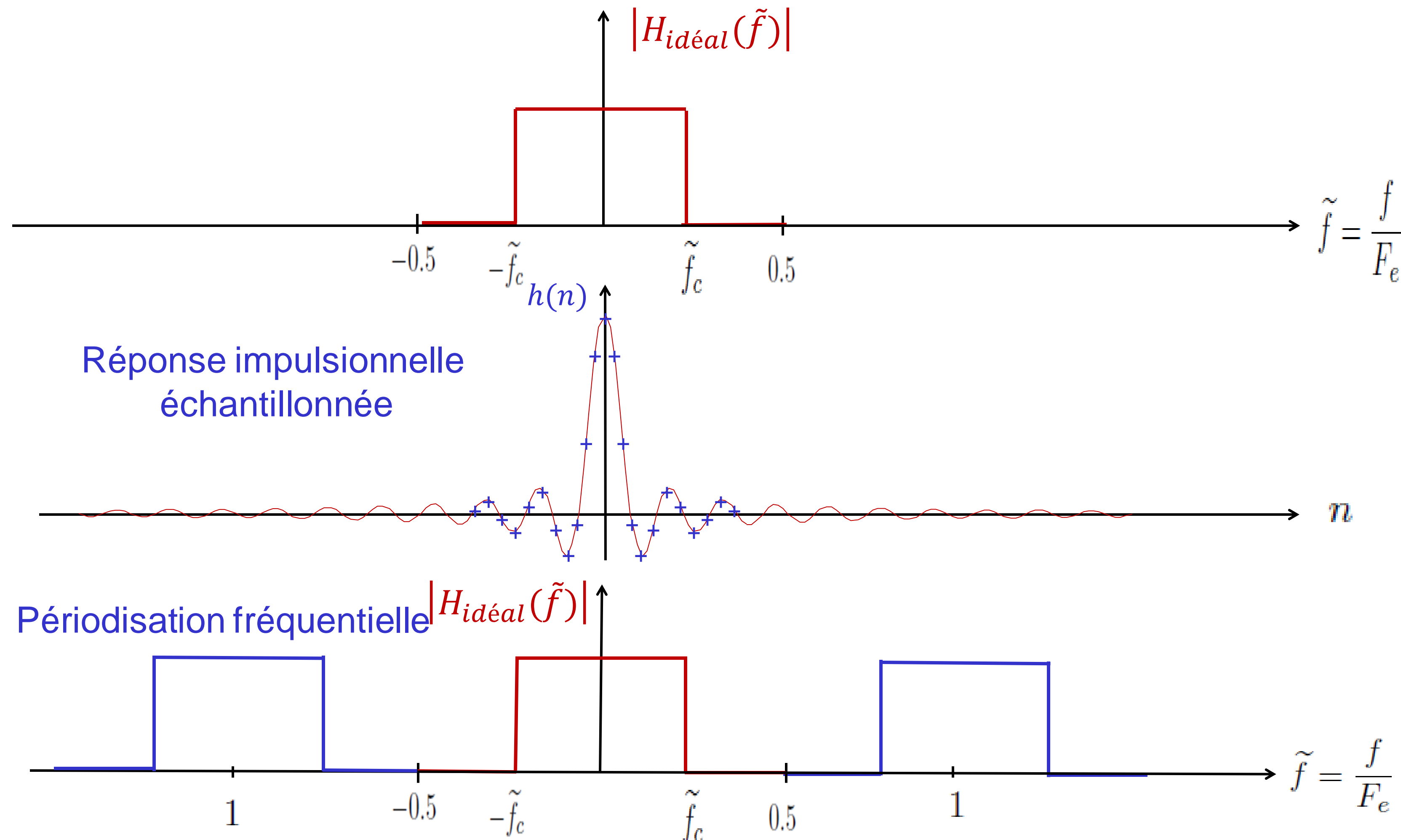
→ Exemple : synthèse d'un filtre passe-bas numérique



Filtrage numérique

- **Synthèse des filtres numériques de type RIF**

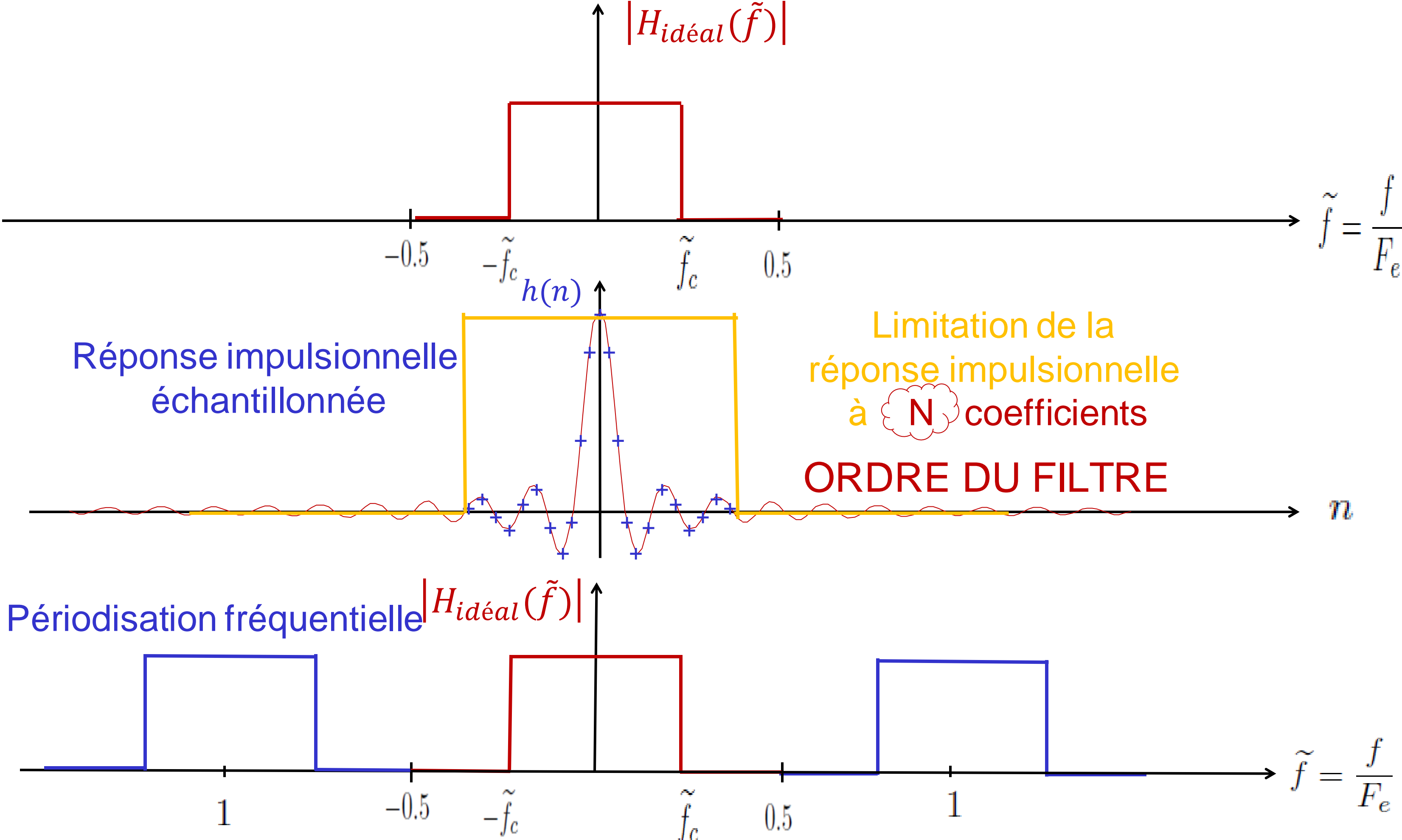
→ Exemple : synthèse d'un filtre passe-bas numérique



Filtrage numérique

- Synthèse des filtres numériques de type RIF**

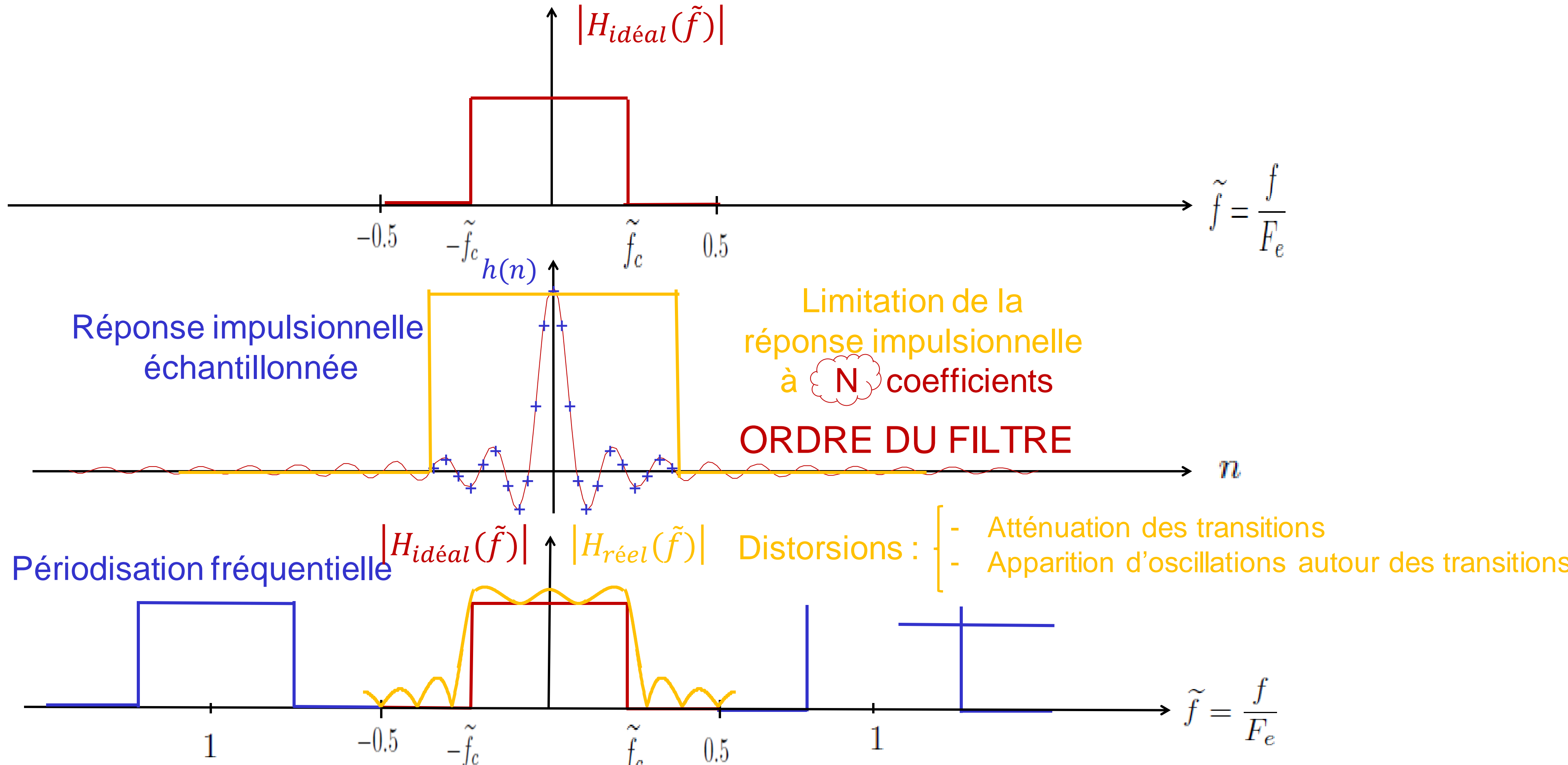
→ Exemple : synthèse d'un filtre passe-bas numérique



Filtrage numérique

- Synthèse des filtres numériques de type RIF**

→ Exemple : synthèse d'un filtre passe-bas numérique

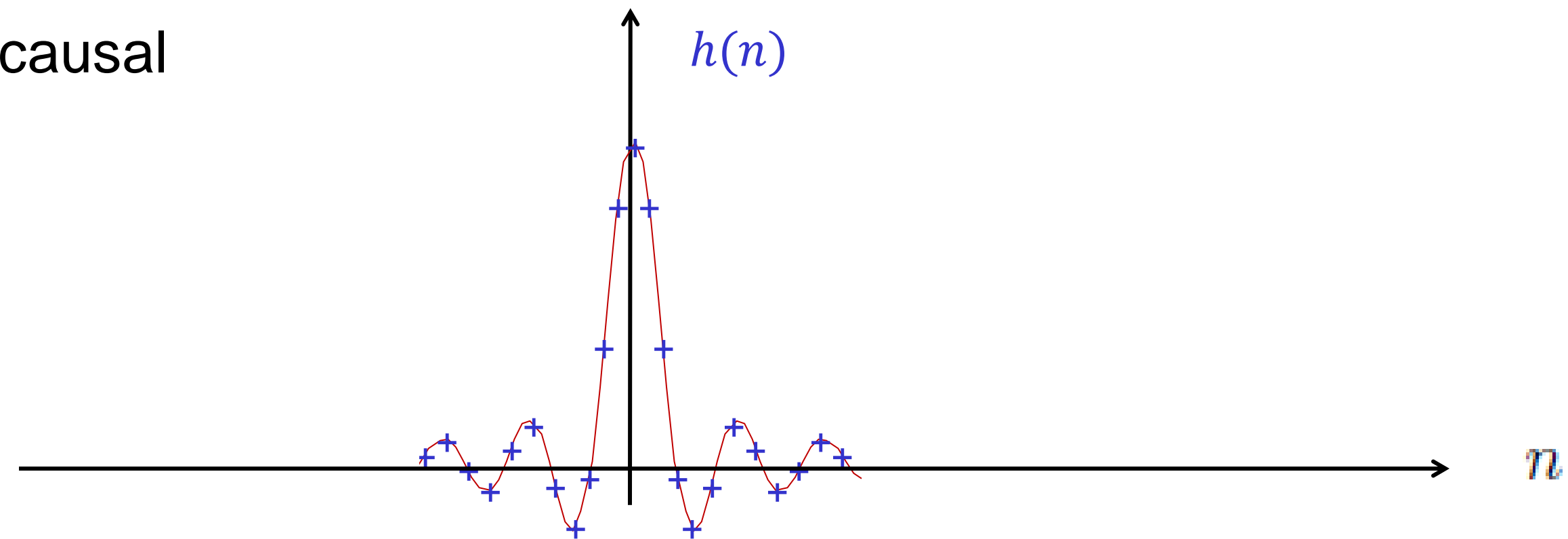


Filtrage numérique

- **Synthèse des filtres numériques de type RIF**

→ Exemple : synthèse d'un filtre passe-bas numérique

- Filtres non causal

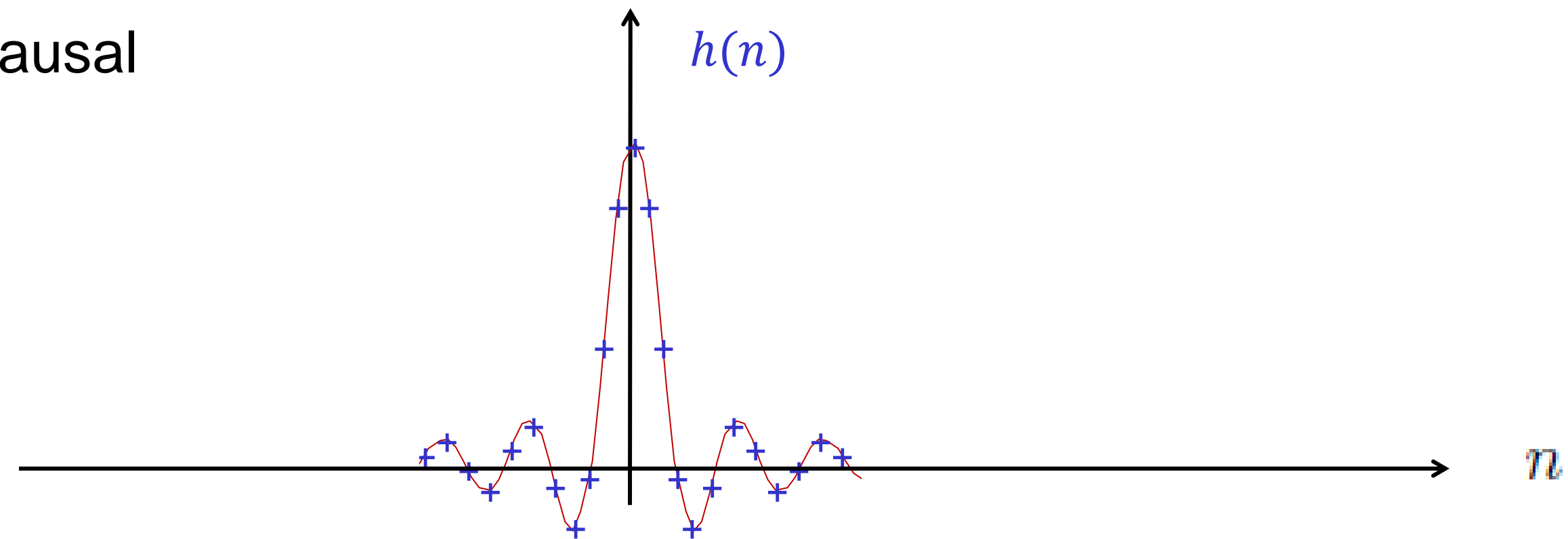


Filtrage numérique

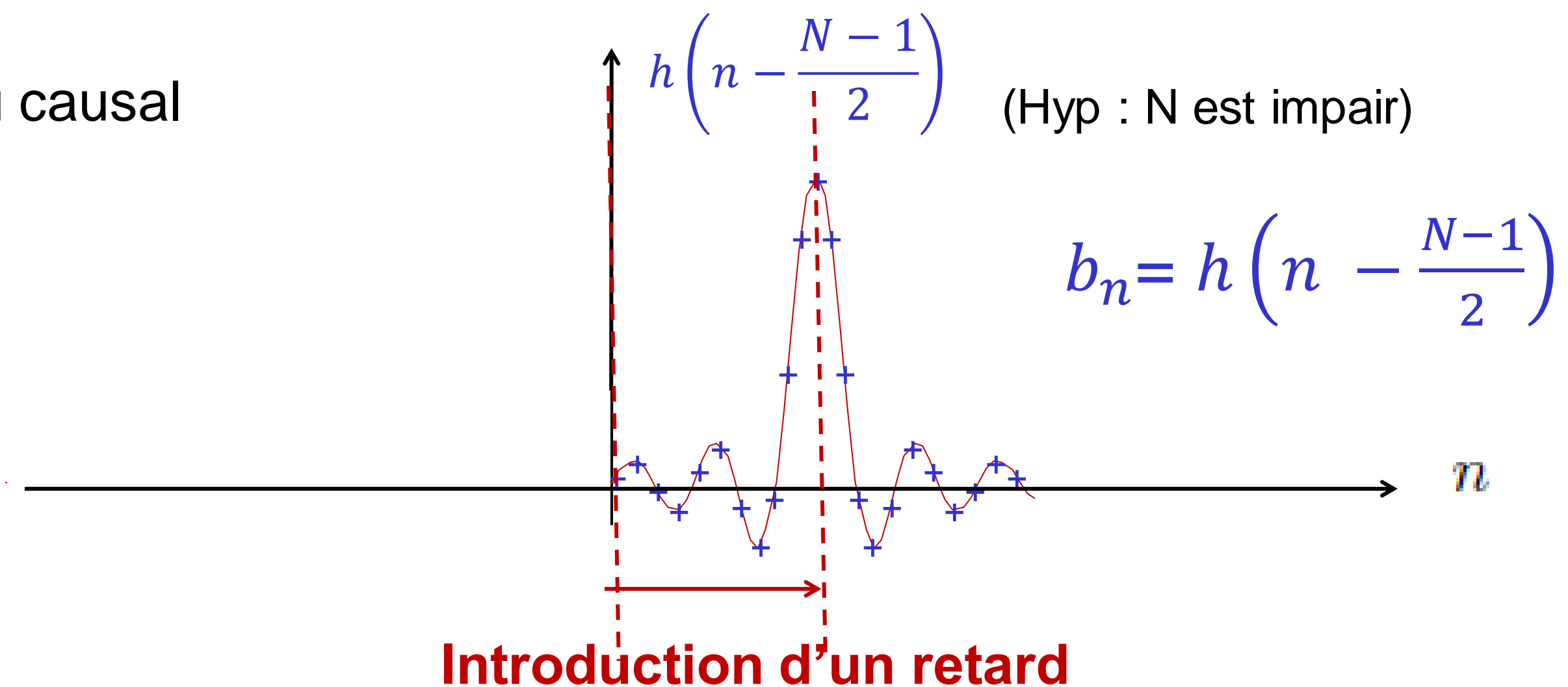
- **Synthèse des filtres numériques de type RIF**

→ Exemple : synthèse d'un filtre passe-bas numérique

- Filtre non causal



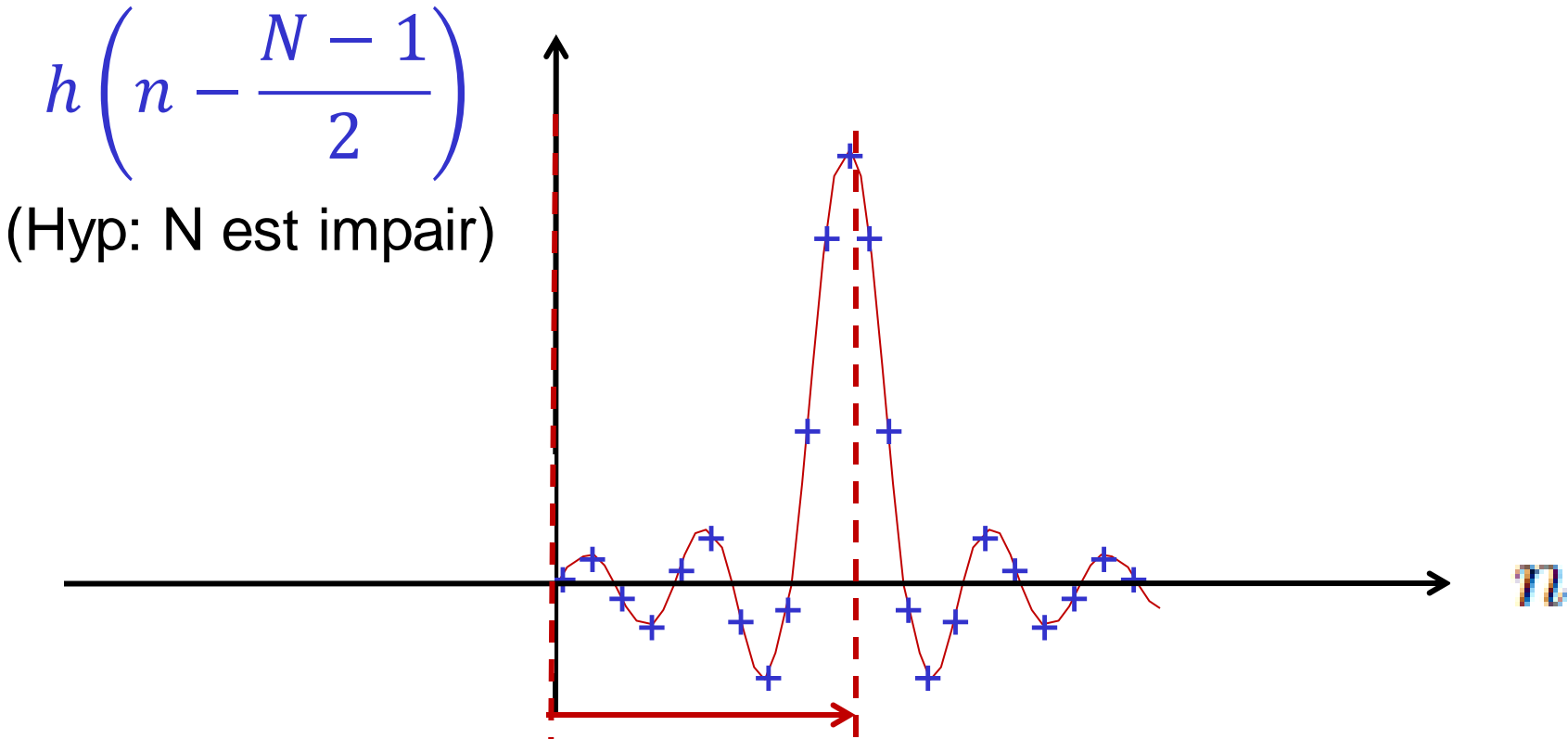
- Filtre rendu causal



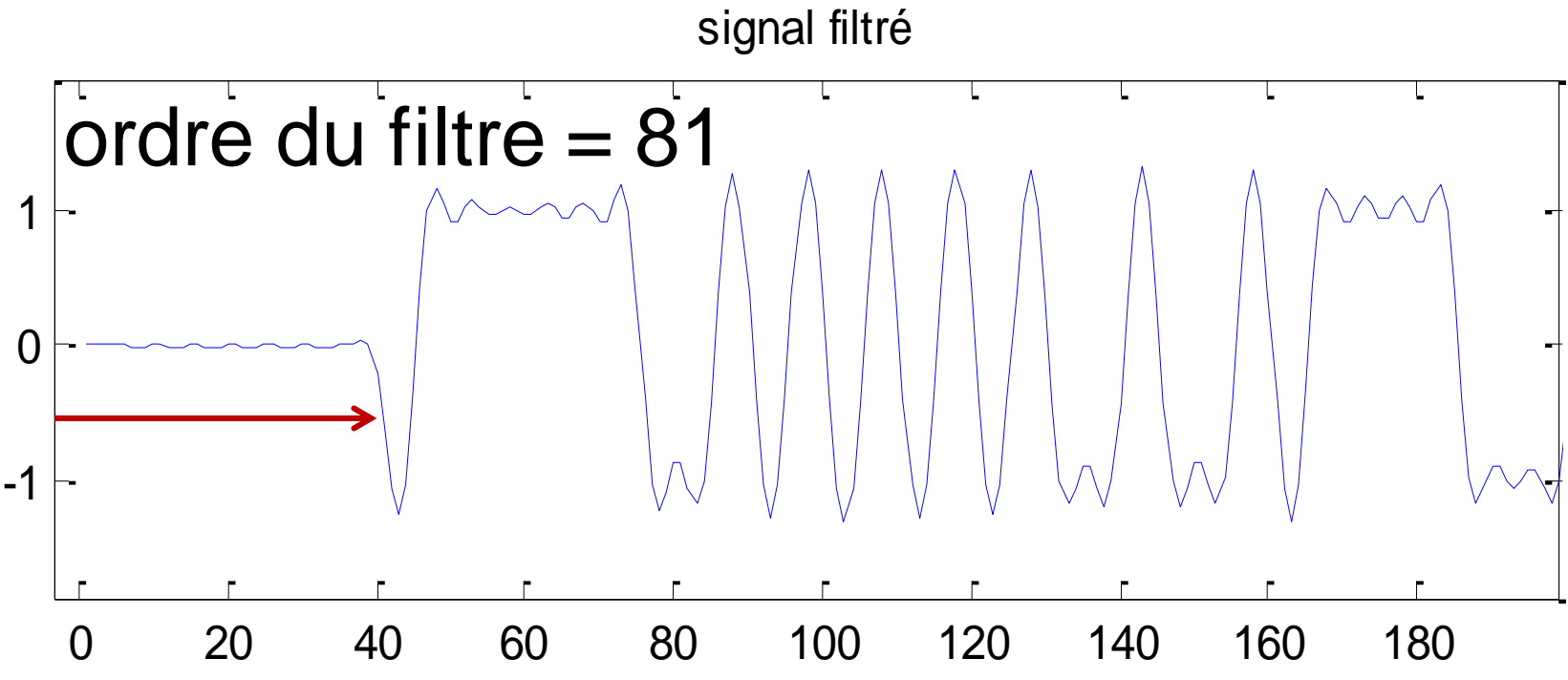
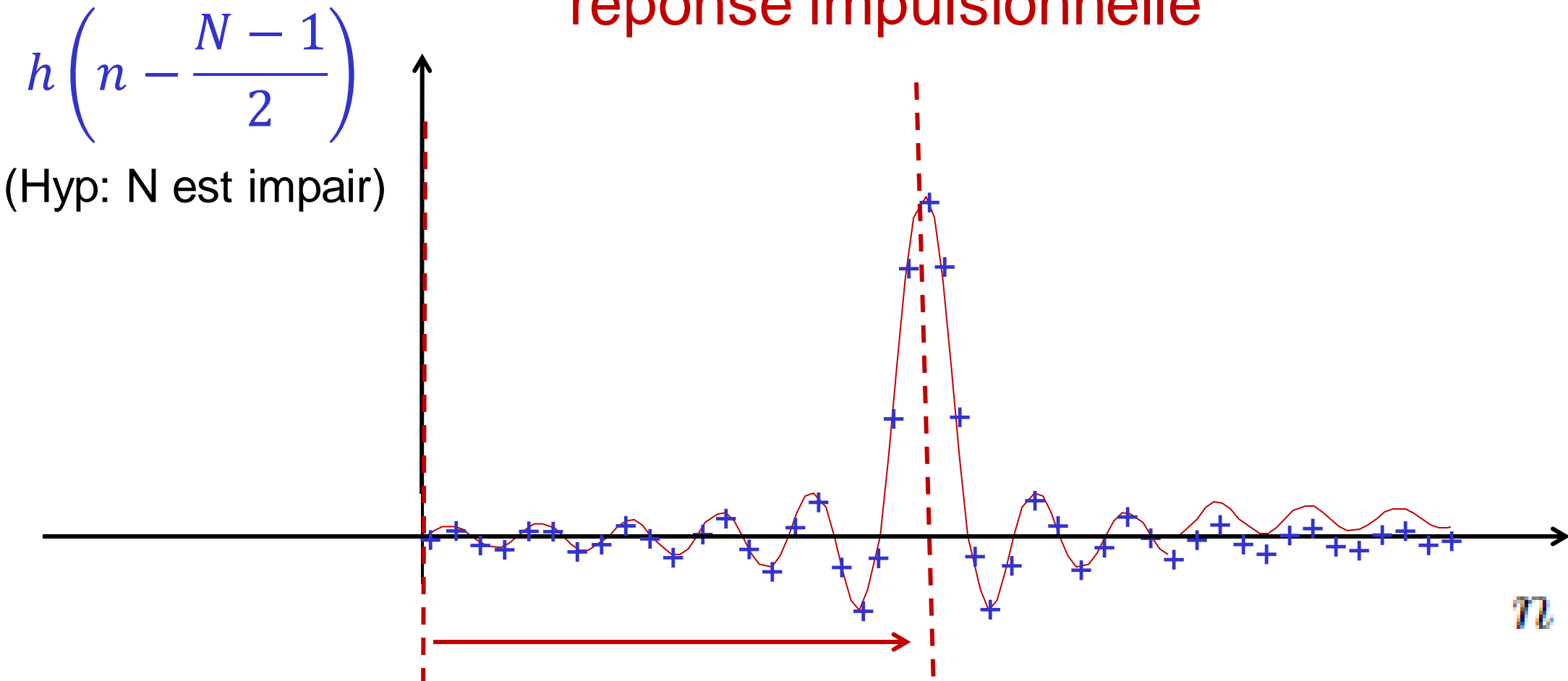
Filtrage numérique

- Synthèse des filtres numériques de type RIF**

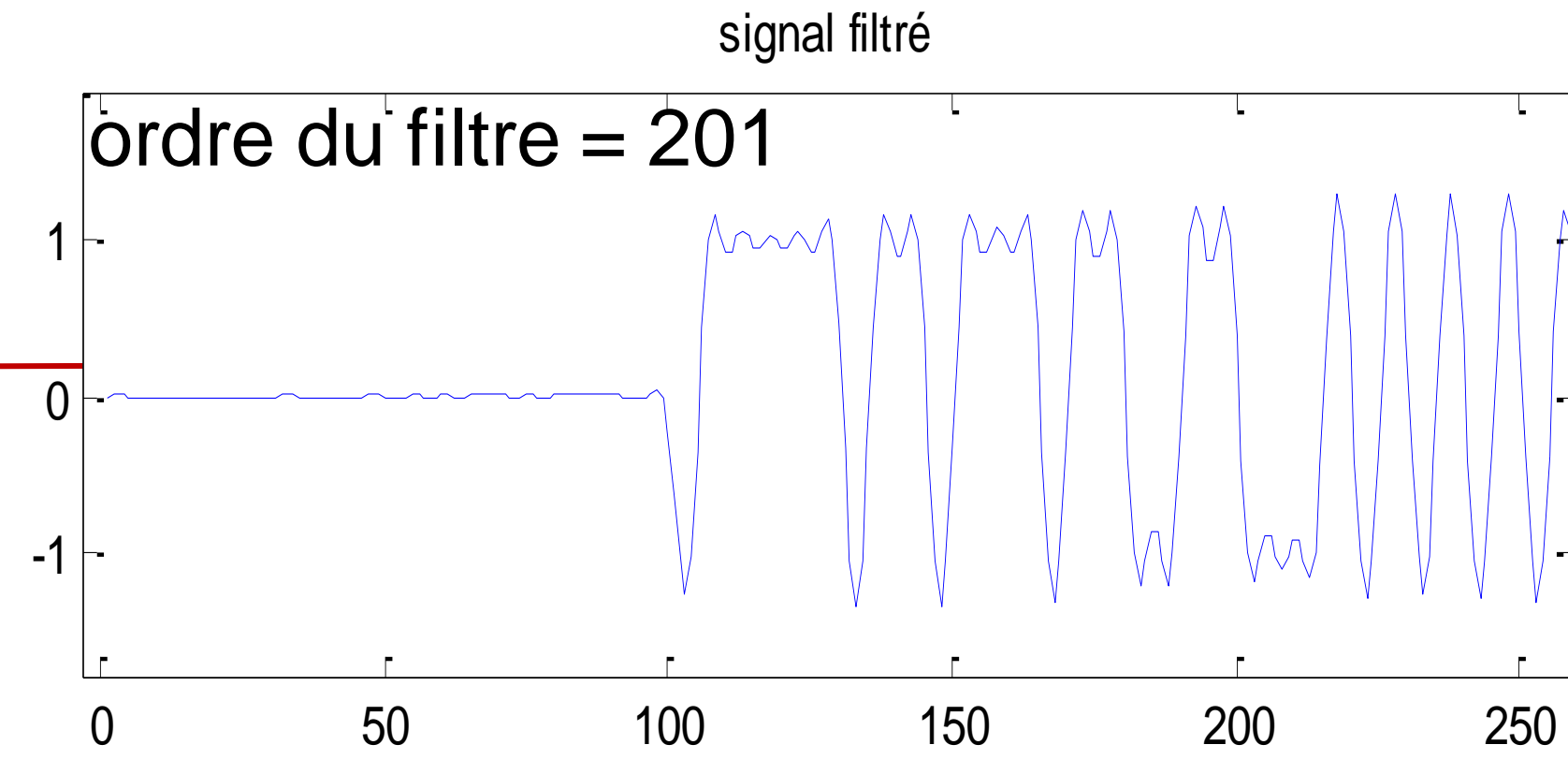
→ Exemple : synthèse d'un filtre passe-bas numérique



Introduction d'un retard sur la réponse impulsionnelle



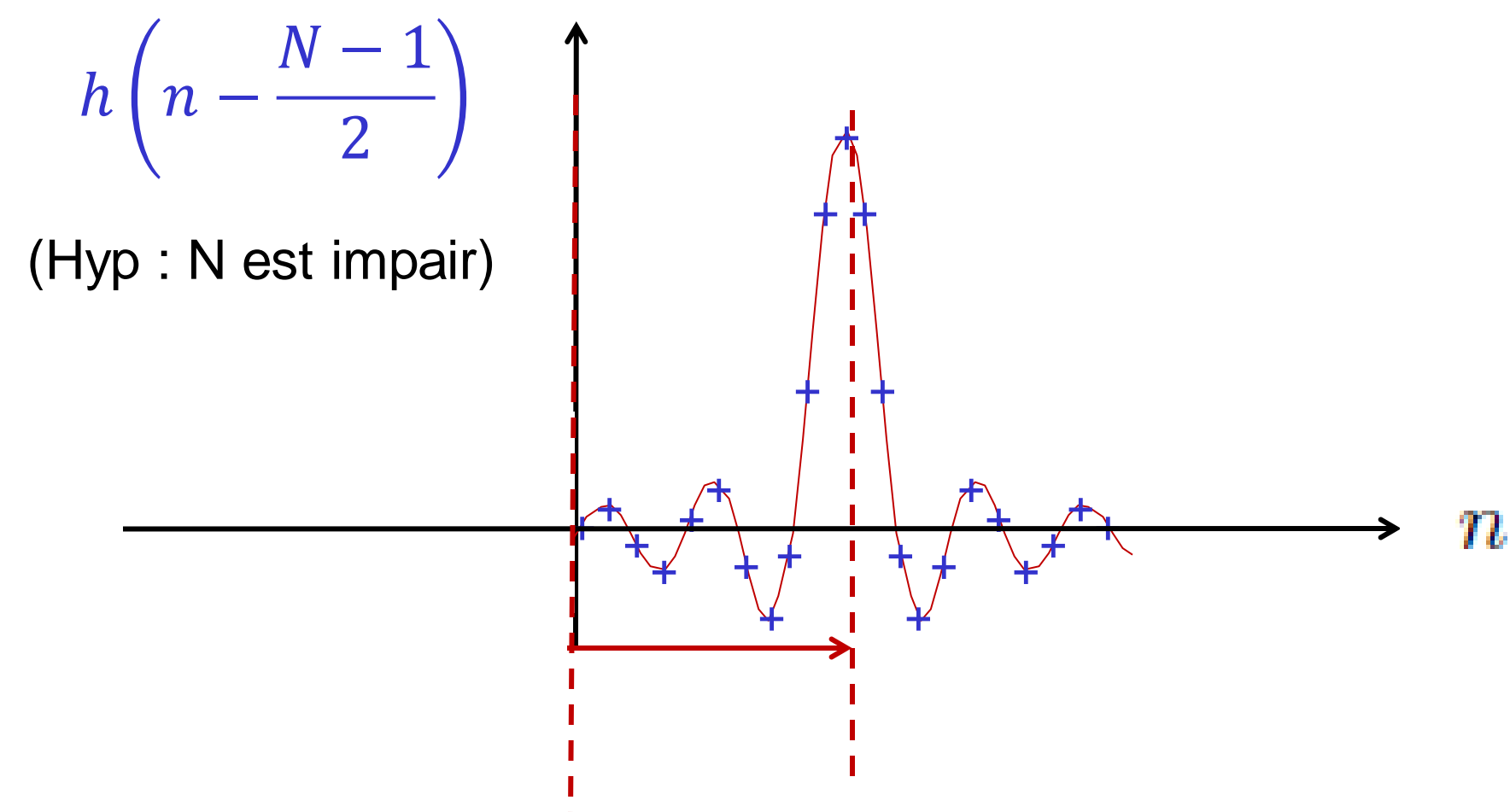
Introduction d'un retard sur le signal filtré



Filtrage numérique

- Synthèse des filtres numériques de type RIF**

→ Exemple : synthèse d'un filtre passe-bas numérique



$$\text{Retard} = \frac{\text{Ordre} - 1}{2} \times T_e$$

Retard \Rightarrow Constante ajoutée au TPG :

$$\left| H_{\text{causal}}(\tilde{f}) \right| = \left| H_{\text{non causal}}(\tilde{f}) \right|$$

$$TPG_{\text{filtre causal}}(\tilde{f}) = \underbrace{TPG_{\text{filtre non causal}}(\tilde{f})}_{\text{Constant si } h(n) \text{ pair ou impair (voir poly)}} + \frac{N-1}{2}$$

Constant si $h(n)$ pair ou impair
(voir poly)

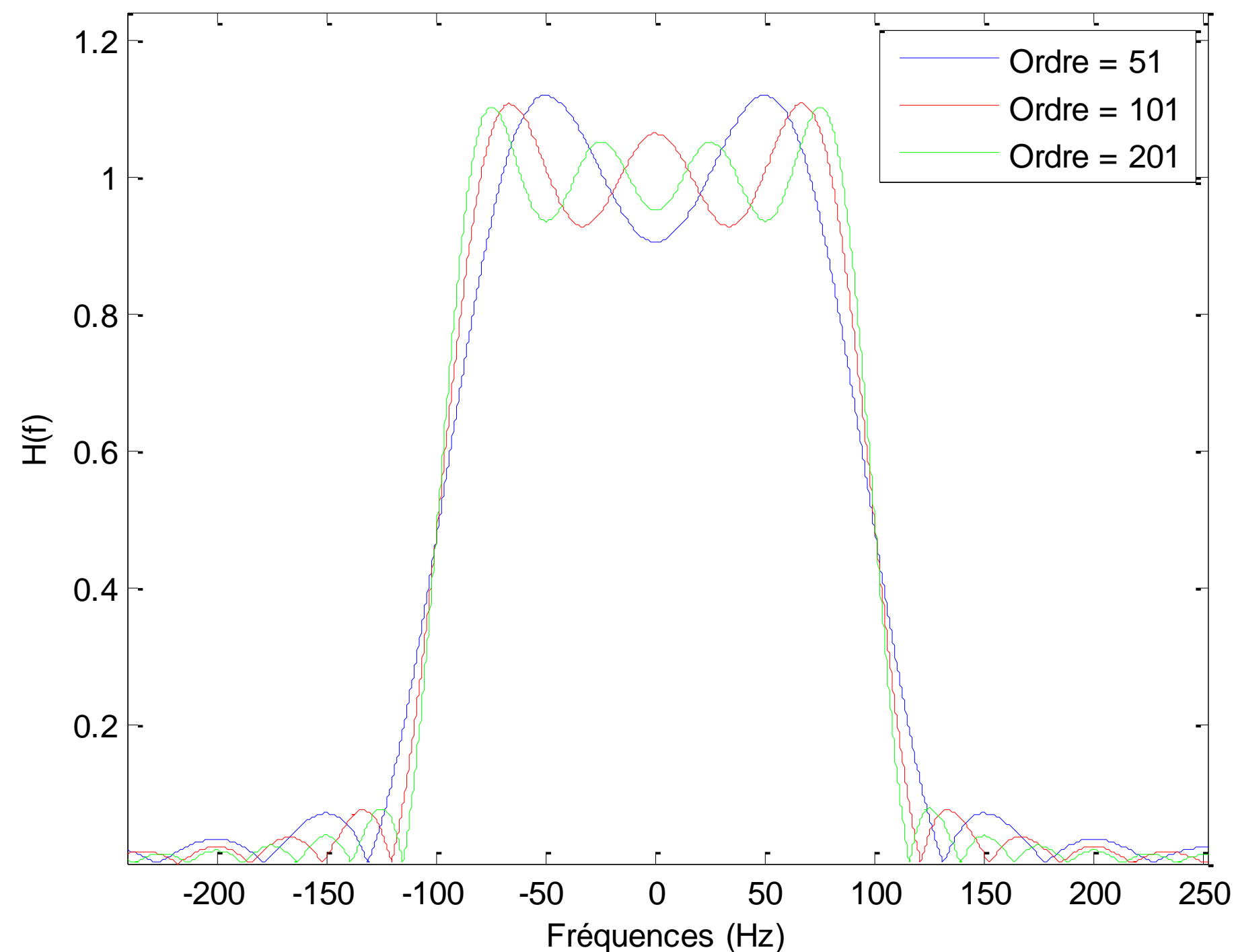
Le TPG d'un filtre RIF est constant si sa réponse impulsionnelle est paire ou impaire

Filtrage numérique

- **Synthèse des filtres numériques de type RIF**

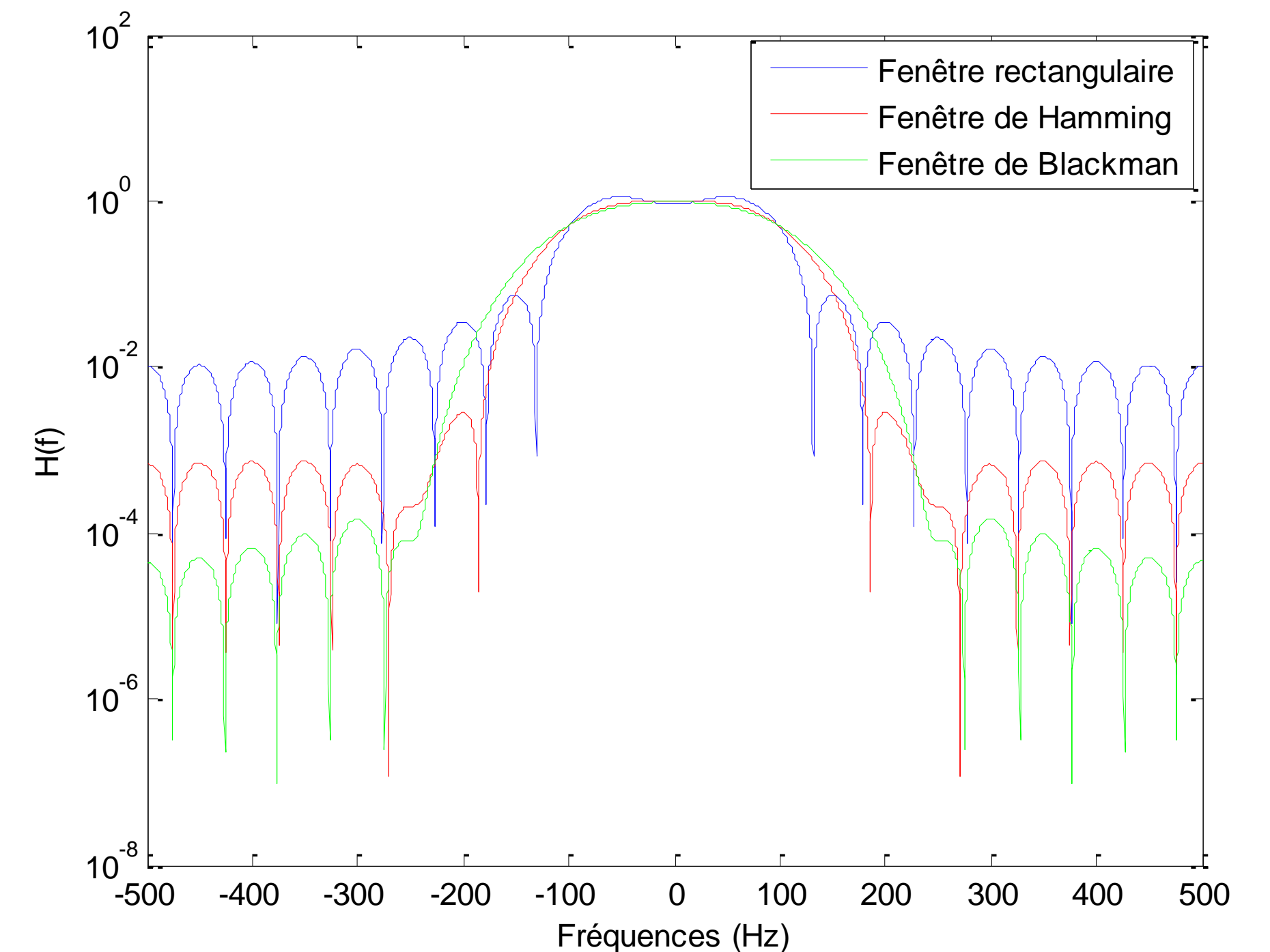
→ Paramètres permettant de respecter le gabarit : ORDRE et FENETRE DE TRONCATURE

→ Influence de l'ordre
(fenêtre rectangulaire)



Atténuation plus ou moins importantes des transitions

→ Influence de la fenêtre de troncature
(ordre fixé à 21)



Ondulations plus ou moins importantes autour des transitions

Filtrage numérique

- **Synthèse des filtres numériques de type RII**

Filtrage numérique

- **Synthèse des filtres numériques de type RII**

Utilisation des bibliothèques
de modèles analogiques :
Butterworth, Tchebycheff, Cauer, Bessel...

Filtrage numérique

- **Synthèse des filtres numériques de type RII**

Spécifications à respecter :

$$H(\tilde{f})$$

Utilisation des bibliothèques
de modèles analogiques :
Butterworth, Tchebycheff, Cauer, Bessel...

Fonction de transfert :

$$H(z)$$

Filtrage numérique

- **Synthèse des filtres numériques de type RII**

Spécifications à respecter :

$$H(\tilde{f})$$

Spécifications à respecter :

$$H(f)$$



Utilisation des bibliothèques
de modèles analogiques :
Butterworth, Tchebycheff, Causer, Bessel...



Fonction de transfert :

$$H(p)$$

Fonction de transfert :

$$H(z)$$

Filtrage numérique

- **Synthèse des filtres numériques de type RII**

Spécifications à respecter :

$$H(\tilde{f})$$



Spécifications à respecter :

$$H(f)$$

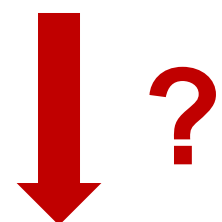


Utilisation des bibliothèques
de modèles analogiques :
Butterworth, Tchebycheff, Causer, Bessel...



Fonction de transfert :

$$H(p)$$



Fonction de transfert :

$$H(z)$$

Filtrage numérique

- Synthèse des filtres numériques de type RII

Spécifications à respecter :

$$H(\tilde{f})$$

$$\downarrow ? \quad f = \tilde{f}F_e$$

Spécifications à respecter :

$$H(f)$$



Utilisation des bibliothèques
de modèles analogiques :
Butterworth, Tchebycheff, Cauer, Bessel...



Fonction de transfert :

$$H(p)$$

$$\downarrow ?$$

Fonction de transfert :

$$H(z)$$

TRANSFORMÉE BILINAIRE :

$$H(z) = [H(p)]_{p = \frac{2}{T_e} \frac{1-z^{-1}}{1+z^{-1}}}$$

Stabilité et réponse en fréquence conservées

Filtrage numérique

- Synthèse des filtres numériques de type RII

Spécifications à respecter :

$$H(\tilde{f})$$

↓ ? $f = \tilde{f}F_e$

Spécifications à respecter :

$$H(f)$$



Utilisation des bibliothèques
de modèles analogiques :
Butterworth, Tchebycheff, Caue, Bessel...



Fonction de transfert :

$$H(p)$$



Fonction de transfert :

$$H(z)$$

TRANSFORMEE BILINAIRE :

$$H(z) = [H(p)]_{p = \frac{2}{T_e} \frac{1-z^{-1}}{1+z^{-1}}}$$

Stabilité et réponse en fréquence conservées
MAIS Distorsion de l'axe des fréquences:

$$\tilde{f} = \frac{1}{\pi} \arctan(\pi f T_e)$$

Filtrage numérique

- Synthèse des filtres numériques de type RII**

Spécifications à respecter :

$$H(\tilde{f})$$



$$f = \tilde{f} F_e$$

$$f = \frac{1}{\pi T_e} \tan(\pi \tilde{f})$$

Spécifications à respecter :

$$H(f)$$



Utilisation des bibliothèques de modèles analogiques :
Butterworth, Tchebycheff, Causer, Bessel...



Fonction de transfert :

$$H(p)$$



Fonction de transfert :

$$H(z)$$

TRANSFORMEE BILINAIRE :

$$H(z) = [H(p)]_{p = \frac{2}{T_e} \frac{1-z^{-1}}{1+z^{-1}}}$$

Stabilité et réponse en fréquence conservées
MAIS Distorsion de l'axe des fréquences:

$$\tilde{f} = \frac{1}{\pi} \arctan(\pi f T_e)$$



Filtrage numérique

- Synthèse des filtres numériques de type RII**

Spécifications à respecter :

$$H(\tilde{f})$$



$$f = \tilde{f} F_e$$

$$f = \frac{1}{\pi T_e} \tan(\pi \tilde{f})$$

Spécifications à respecter :

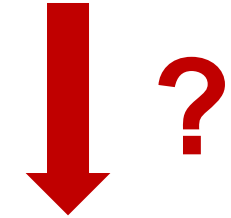
$$H(f)$$

Prédistorsion

Utilisation des bibliothèques de modèles analogiques :
Butterworth, Tchebycheff, Causer, Bessel...

Fonction de transfert :

$$H(p)$$



Fonction de transfert :

$$H(z)$$

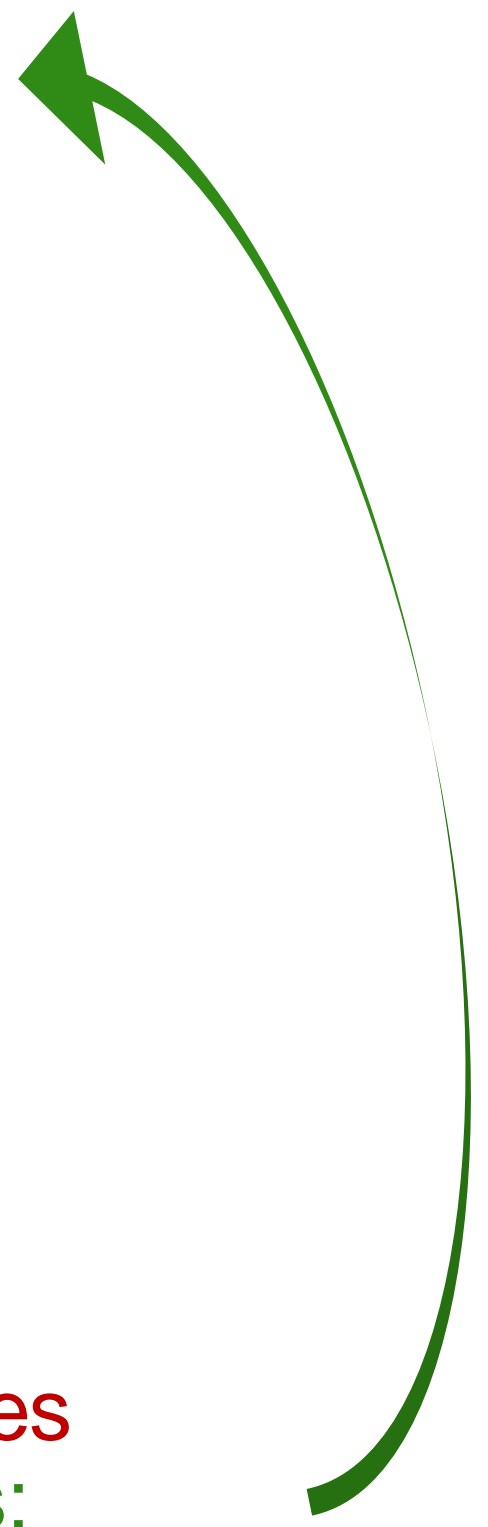
TRANSFORMEE BILINAIRE :

$$H(z) = [H(p)]_{p = \frac{2}{T_e} \frac{1-z^{-1}}{1+z^{-1}}}$$

Stabilité et réponse en fréquence conservées
MAIS Distorsion de l'axe des fréquences:

$$\tilde{f} = \frac{1}{\pi} \arctan(\pi f T_e)$$

Voir poly d'exercices pour un exemple de synthèse de filtre passe-bas RII

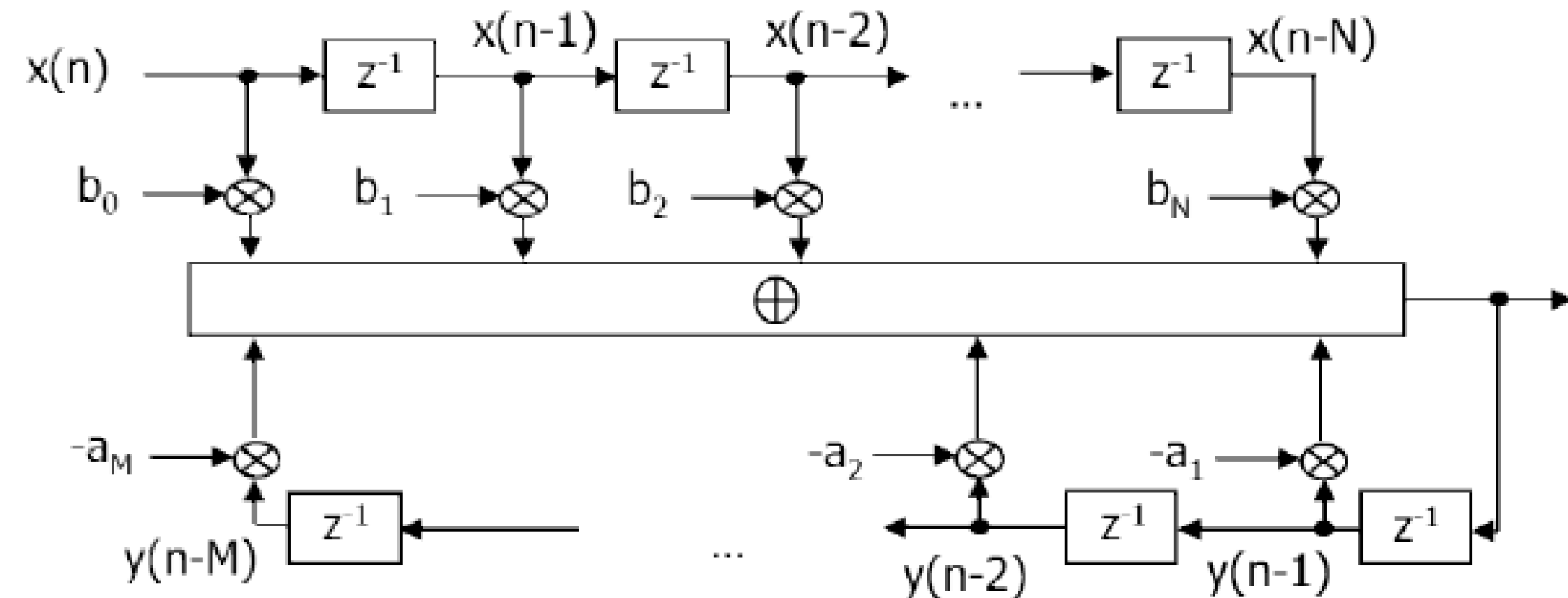


Filtrage numérique

- **Implantation des filtres numériques**

→ Structure directe :

$$y(n) = - \sum_{k=1}^{M-1} a_k y(n - k) + \sum_{k=0}^{N-1} b_k x(n - k)$$



M+N+1 opération +/x, 2 files d'attente

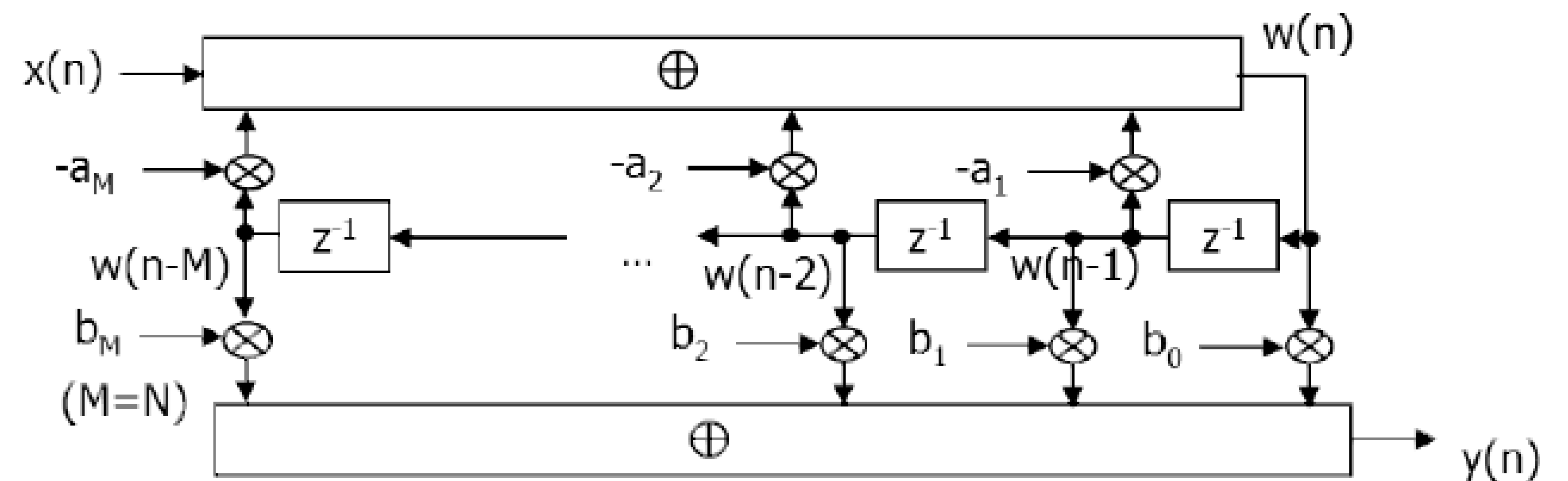
Filtrage numérique

- **Implantation des filtres numériques**

→ Structure canonique :

$$W(z) = \frac{X(z)}{\sum_{k=0}^{M-1} a_k z^{-k}}$$

$$\left\{ \begin{array}{l} w(n) = - \sum_{k=1}^{M-1} a_k w(n-k) + x(n) \\ y(n) = \sum_{k=0}^{N-1} b_k w(n-k) \end{array} \right. \quad (M=N)$$



M+N+1 opération +/x, **1** file d'attente

Filtrage numérique

- **Implantation des filtres numériques**

→ Structures décomposées :

→ Série (ou cascade) :

$$H(z) = G \prod_{i=0}^{M-1} H_i(z)$$



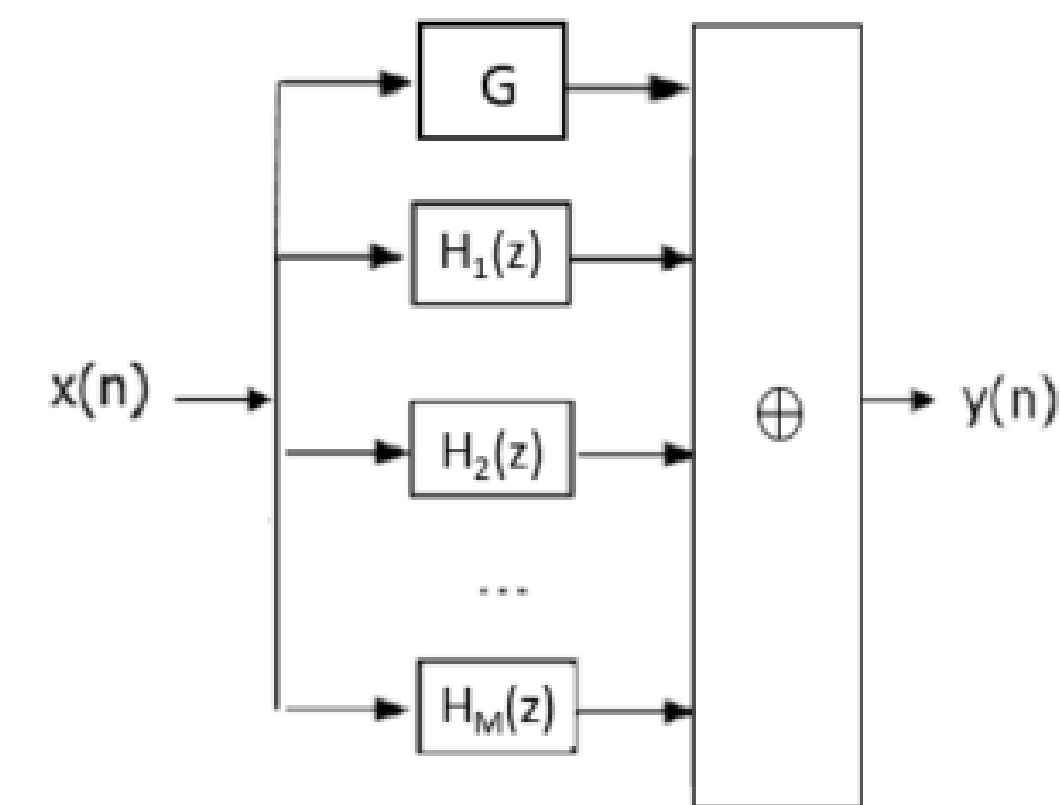
$H_i(z)$ Cellules du premier ou du deuxième ordre :

$$H_i(z) = \frac{b_0 + b_1 z^{-1}}{1 + a_1 z^{-1}}$$

$$H_i(z) = \frac{b_0 + b_1 z^{-1} + b_2 z^{-2}}{1 + a_1 z^{-1} + a_2 z^{-2}}$$

→ Parallèle :

$$H(z) = G + \sum_{i=0}^{M-1} H_i(z)$$



$H_i(z)$ Cellules du premier ou du deuxième ordre :

$$H_i(z) = \frac{b_0}{1 + a_1 z^{-1}}$$

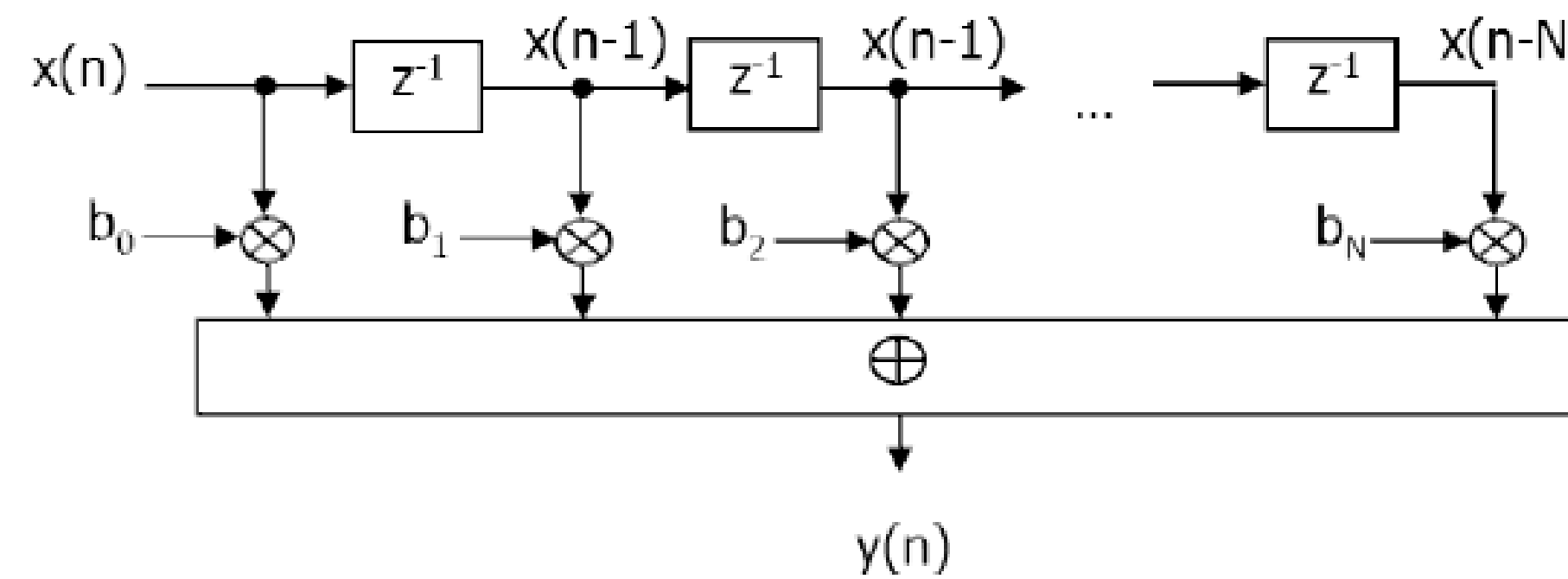
$$H_i(z) = \frac{b_0 + b_1 z^{-1}}{1 + a_1 z^{-1} + a_2 z^{-2}}$$

Filtrage numérique

- **Implantation des filtres numériques**

→ Structure non réursive :

$$y(n) = \sum_{k=0}^{N-1} b_k x(n - k)$$



Références

- "Traitement numérique du signal, théorie et pratique", M. Bellanger, Masson, collection CNET-ENST.
- "Traitement numérique des signaux", M. Kunt, Dunod, Traité d'électricité, d'électronique et d'électrotechnique.
- "Traitement numérique du signal, Une introduction", A.W.M. Van Den Enden et N.A.M. Verhoeckx, Masson
- "Introduction au traitement du signal", P. Duvaut, F. Michaut, M. Chuc, Hermes, Collection traitement du signal
- Documents sur la variable complexe, la transformée de Laplace et la transformée en z :
<http://dobigeon.perso.enseeiht.fr/teaching/complexe.html>
- "Introduction to digital filters, with audio applications", J.O. Smith, BookSurge, 2007
- "Digital signal processing : fundamentals and applications", Tan Li, Jiang Jean, Elsevier, 2013.
- Alan V. Oppenheim, Ronald W. Schaffer et J. R. Buck, Discrete-time signal processing, Upper Saddle River, N.J., Prentice Hall, 3^{ème} édition, 2009.
- Signal and Systems, by Simon Haykin and Barry Van Veen, Wiley, 2^{nde} édition, 2002.
- John G. Proakis, Dimitri G. Manolakis, Digital Signal Processing: Principles, Algorithms and Applications, Pearson Education, 4^{ème} édition, 2006.